

THÈSE

présentée par

Thomas KRAJEWSKI

pour obtenir le grade de

Docteur de l'Université de Provence

spécialité :

Physique des Particules, Physique Mathématique et Modélisation

GÉOMÉTRIE NON COMMUTATIVE ET INTERACTIONS FONDAMENTALES

Soutenue le 10 Décembre 1998, devant le Jury composé de

A. Connes (Président)
B. Iochum (Directeur de thèse)
V.F.R. Jones
D. Kastler
F. Lizzi (Rapporteur)
E. de Rafael
T. Schücker

Remerciements

En général, il est impossible d'écrire une thèse isolé dans une forteresse en reconstituant jour après jour toutes les lois de la Physique, par exemple en regardant des pommes tomber ou bien en prenant un bain...

Aussi, je dois beaucoup à toutes les personnes qui m'ont aidé un jour ou l'autre. Il me tient à cœur de les remercier ici.

En particulier, je remercie chaleureusement mon directeur de thèse. Bruno Iochum, pour la confiance dont il m'a témoigné. Son souci de rigueur, dans les explications et les démonstrations, m'a été de la plus grande utilité. Je dois aussi beaucoup à Thomas Schücker, qui n'a jamais ménagé son temps pour me donner des explications, ainsi qu'à Raimar Wulkenhaar avec qui j'ai eu le plaisir de collaborer. Tous trois m'ont aidé à transformer quelques pages obscures en une thèse que j'espère présentable.

Je tiens aussi à exprimer toute ma gratitude aux membres de Jury ainsi qu'à José Maria Gracia-Bondía qui a été rapporteur mais n'a malheureusement pas pu être présent lors de la soutenance. Malgré un emploi du temps chargé, ils ont accepté d'évaluer mon travail et certains d'entre eux m'ont d'ores et déjà rendu de grands services en me fournissant des explications, des critiques ou de nouvelles perspectives de travail.

Pendant mon séjour au Centre de Physique Théorique de Marseille, j'ai pu bénéficier d'excellentes conditions de travail, tant sur le plan matériel que scientifique. En particulier, j'adresse mes remerciements au directeur du laboratoire, Pierre Chiappetta, ainsi qu'à l'ensemble du personnel administratif.

De plus, l'ambiance stimulante du séminaire de géométrie non commutative ainsi que du groupe "interactions fondamentales" m'a permis de progresser énormément au cours de ces dernières années, par des discussions avec (entre autres et en sus des personnes déjà remerciées) Rafaele Buffa, Robert Coquereaux, Max Hasler, Carl Herrmann, Ctirad Klimčik, Marc Knecht, Chris Korthals-Altes, Serge Lazzarini, Pierre Martinetti, Carlo Rovelli, Daniel Testard et Koumarane Valavane.

Une mention spéciale pour ce dernier qui va, en compagnie d'Anna-Maria Kiss, m'aider à organiser le traditionnel pot de thèse.

Enfin, tout cela n'aurait jamais été possible sans le soutien de ma famille, à laquelle je suis infiniment redevable.

Table des matières

Introduction	9
1 Géométrie spectrale non commutative	15
1.1 Les axiomes de la géométrie non commutative	15
1.1.1 Les triplets spectraux	15
1.1.2 Caractérisation des variétés à spin	17
1.1.3 La distance géodésique	23
1.1.4 Les axiomes de la géométrie non commutative	25
1.2 Symétries	28
1.2.1 Symétries et automorphismes	28
1.2.2 Automorphismes intérieurs et fluctuations de la métrique	29
1.2.3 Connexions et théories de jauge	32
1.2.4 Application à la construction de triplets spectraux	35
1.3 Théorie de Yang-Mills	36
1.3.1 L'algèbre différentielle	36
1.3.2 Courbure et identités de Bianchi	42
1.3.3 Action de Yang-Mills	45
1.3.4 Une inégalité en dimension 4	47
1.3.5 Action de Chern-Simons	51
1.4 La formule de l'indice	54
1.4.1 Le problème de l'indice	54
1.4.2 Spectre de dimension	60
1.4.3 Théorème local de l'indice	61
1.4.4 Théorème de l'indice en dimension impaire	62

2 Classification des triplets spectraux finis	65
2.1 Les axiomes de la géométrie non commutative finie	65
2.1.1 Définition et premières conséquences	65
2.1.2 Réalité	67
2.1.3 Orientabilité	68
2.1.4 Dualité de Poincaré	69
2.1.5 Condition d'ordre un	71
2.1.6 S^0 -réalité	72
2.2 Solution générale	73
2.2.1 La matrice de multiplicité	73
2.2.2 Opérateurs du premier ordre	75
2.2.3 La conjugaison de charge	77
2.2.4 La chiralité	78

2.2.5	L'opérateur de Dirac	79
2.2.6	S^0 -réalité	81
2.2.7	Une approche diagrammatique	82
2.3	Théories de jauge	83
2.3.1	Symétries et théories de jauge	83
2.3.2	Détermination des 1-formes	85
2.3.3	Application à la construction de triplets spectraux	88
2.4	Distances associées aux triplets spectraux finis	91
2.4.1	Généralités	91
2.4.2	Distances et chemins	96
2.4.3	Un exemple simple	100
2.4.4	Un exemple plus compliqué	105
2.5	Algèbres réelles	108
2.5.1	La matrice de multiplicité	108
2.5.2	La chiralité	110
2.5.3	Dualité de Poincaré	110
3	Construction de modèles en physique. . .	111
3.1	Le modèle d'espace-temps	111
3.1.1	Généralités	111
3.1.2	Produit tensoriel de triplets spectraux	112
3.1.3	Le carré de l'opérateur de Dirac	115
3.1.4	Action spectrale	118
3.1.5	Termes gravitationnels	120
3.2	Théorie de jauge	123
3.2.1	Les fermions et leur représentation	123
3.2.2	Constantes de couplage non abéliennes	124
3.2.3	Champs de jauge abéliens et conditions d'unimodularité	126
3.2.4	Anomalies	128
3.3	Les champs scalaires	130
3.3.1	Les champs scalaires et leurs lois de transformation	130
3.3.2	Couplages de Yukawa	131
3.3.3	Le potentiel scalaire	132
3.3.4	Brisure spontanée de symétrie et masses	137
3.4	Le modèle standard	140
3.4.1	Le triplet spectral	140
3.4.2	Matrice de multiplicité et diagramme	142
3.4.3	Dualité de Poincaré et neutrino massif	143
3.4.4	Les bosons de jauge	144
3.4.5	Le potentiel scalaire	145
4	Le tore non commutatif	149
4.1	Le triplet spectral	149
4.1.1	L'algèbre	149
4.1.2	L'opérateur de Dirac et l'espace de Hilbert	154
4.1.3	Vérification des axiomes	155
4.1.4	Calcul différentiel	157

4.1.5	Les symétries et le tenseur énergie-impulsion	161
4.2	Théorie de Yang-Mills	166
4.2.1	Les champs de jauge	166
4.2.2	Equations du mouvement et identités de Bianchi	168
4.2.3	Le spectre de dimension du tore non commutatif	171
4.2.4	Une application du théorème de l'indice en dimension 4	172
4.2.5	Invariance de jauge de l'action de Chern-Simons	174
4.3	Symétrie BRS et règles de Feynman	178
4.3.1	Généralités	178
4.3.2	La fixation de jauge	180
4.3.3	Symétrie BRS	184
4.3.4	Règles de Feynman	187
4.3.5	Vers une théorie quantique	190
	Conclusion	193
A	Algèbres d'opérateurs	197
A.1	Algèbres involutives et états	197
A.2	Algèbres de von Neumann	198
A.3	C*-algèbres	199
A.4	Opérateurs compacts et trace de Dixmier	201
B	K-théorie	205
B.1	Fibrés vectoriels en géométrie non commutative	205
B.2	Le groupe $K_0(\mathcal{A})$	206
B.3	Groupes d'ordre supérieurs et périodicité de Bott	206
B.4	Calcul fonctionnel holomorphe	207
C	Cohomologie cyclique	209
C.1	Cohomologie cyclique	209
C.2	La cohomologie cyclique périodique	211
C.3	Couplage avec la K-théorie	213

Introduction

Le début de ce siècle a vu l'émergence de deux nouvelles théories qui ont complètement bouleversé le monde de la physique : la théorie de la relativité générale et la mécanique quantique. Ces deux révolutions sont à l'origine de la grande majorité des développements de la physique théorique de notre siècle, y compris les avancées les plus récentes.

La mécanique quantique est une théorie de l'infiniment petit qui cherche à décrire des systèmes physiques dont l'action est une quantité de même ordre de grandeur que la constante de Planck $\hbar = 1,05 \cdot 10^{-34}$ J.s. Cette constante a été introduite par Planck dans son étude du corps noir, qui a été amené à faire l'hypothèse suivante : l'action ne peut varier que par multiples entiers de \hbar .

Ultérieurement, la mécanique quantique a été développée sur la base de l'hypothèse de Planck, et s'applique à des systèmes physiques très généraux, allant de l'atome aux systèmes macroscopiques décrits par le biais de la physique statistique. Le point central de cette théorie est le principe d'incertitude de Heisenberg, qui peut être formulé comme suit : Il n'est pas possible de mesurer simultanément la position et l'impulsion d'une particule car l'incertitude Δx sur la mesure de sa position et l'incertitude Δp sur son impulsion doivent satisfaire à la relation $\Delta x \cdot \Delta p \simeq \hbar$. Ceci a pour conséquence que la notion de trajectoire dans l'espace des phases n'a plus de sens et est une première invitation à reconsidérer nos conceptions actuelles de la géométrie.

Le formalisme mathématique de la mécanique quantique est la théorie des espaces de Hilbert. L'état du système physique considéré est un vecteur d'un certain espace de Hilbert et les observables sont des opérateurs hermitiens agissant sur cet espace de Hilbert, le spectre d'une observable correspondant aux différentes valeurs que cette observable peut prendre lors d'une mesure physique.

En conséquence, la position x et l'impulsion p d'une particule sont remplacées, en mécanique quantique, par des opérateurs \hat{x} et \hat{p} agissant sur un certain espace de Hilbert. Cet espace n'est autre que l'espace $L^2(\mathbb{R})$ des fonctions de carré sommable de la variable x et les opérateurs \hat{x} et \hat{p} sont définis par

$$\hat{x}\Psi(x) = x\Psi(x) \quad \text{et} \quad \hat{p}\Psi(x) = -i\hbar \frac{d}{dx}\Psi(x)$$

pour tout $\Psi \in L^2(\mathbb{R})$. Il est remarquable que le commutateur de ces deux opérateurs soit non nul,

$$[\hat{x}, \hat{p}] = i\hbar,$$

et que cette règle de commutation ait pour conséquence la relation d'incertitude de Heisenberg. Puisque \hat{x} et \hat{p} engendrent l'algèbre des observables quantiques, cette algèbre non commutative doit remplacer l'algèbre des fonctions sur l'espace des phases classique. Par conséquent, la géométrie de l'espace des phases quantique fait appel aux coordonnées non commutatives \hat{x} et \hat{p} .

Parallèlement, la théorie de la relativité générale, qui a obtenu des succès remarquables, se base sur une conception géométrique de l'espace-temps qui est assimilé à une variété munie d'une métrique $g_{\mu\nu}$. Contrairement à la plupart des autres théories physiques, cette métrique n'est pas donnée à priori mais est une variable dynamique comme peut l'être, par exemple, la coordonnée ou l'impulsion d'une particule. La dynamique de cette théorie est gouvernée par les équations d'Einstein,

$$\mathcal{R}_{\mu\nu} - \frac{1}{2}g_{\mu\nu}\mathcal{R} = \frac{8\pi G}{c^4}T_{\mu\nu},$$

qui relie le tenseur de Ricci $\mathcal{R}_{\mu\nu}$ et la courbure scalaire \mathcal{R} , qui dépendent de la métrique $g_{\mu\nu}$, au contenu matériel de l'espace-temps décrit par le tenseur énergie-impulsion $T_{\mu\nu}$. La constante G est la constante de Newton $G = 6,67 \cdot 10^{-11} \text{ N}\cdot\text{m}^2\cdot\text{kg}^{-2}$ et $c = 3 \cdot 10^8 \text{ km}\cdot\text{s}^{-1}$ désigne la vitesse de la lumière dans le vide .

Ces équations ont pour conséquence que toute concentration importante de matière ou d'énergie en un point donné entraîne une courbure de l'espace-temps. Au-delà d'un certain seuil, cette courbure est si importante que même la lumière ne peut plus quitter le voisinage de ce point. Il apparaît donc une sorte de singularité et on en peut plus obtenir la moindre information en provenance de cette région de l'espace-temps.

Supposons maintenant que nous voulions localiser une particule dans l'espace-temps avec une précision arbitraire. D'après le principe de Heisenberg, l'incertitude sur son impulsion devient alors arbitrairement grande et nous devons pour cela disposer de particules incidentes d'énergie très élevée. Suivant la discussion précédente, cette importante concentration d'énergie donne naissance à une singularité, si bien qu'il est impossible de localiser une particule dans l'espace-temps avec une précision supérieure à un certain seuil [DFR].

Cette incertitude minimale sur la position d'une particule est égale à la longueur de Planck

$$l_P = \sqrt{\frac{G\hbar}{c^3}} \simeq 1,6 \cdot 10^{-33} \text{ cm}.$$

Si on ramène cette longueur à une échelle d'énergie, on trouve une énergie qui est de l'ordre de 10^{19} GeV , ce qui est considérable et évidemment hors de portée des accélérateurs de particules. Les considérations développées à une telle échelle d'énergie sont donc uniquement de nature théorique, même s'il est possible d'en déduire quelques conséquences sur les théories valables à l'échelle d'énergie du modèle standard qui est de l'ordre de la centaine de GeV.

Cela implique qu'il doit exister des relations d'incertitude pour les coordonnées de l'espace-temps lui-même. En suivant l'analogie avec l'espace des phases et la mécanique quantique, cela nous amène tout naturellement à supposer que les coordonnées de l'espace-temps sont elles aussi des éléments d'une algèbre non commutative. Bien entendu, ces relations d'incertitude ne peuvent être décelées à l'échelle macroscopique et nous supposons toujours que cette structure non commutative de l'algèbre des coordonnées n'est importante qu'à l'échelle de la longueur de Planck.

Les principales théories qui décrivent les interactions fondamentales, que ce soient les théories de Yang-Mills ou la relativité générale, sont des objets de nature géométrique. En effet, leur formulation la plus naturelle et la plus élégante se fait en utilisant le langage des espaces fibrés [N]. Par conséquent, si nous voulons construire une théorie susceptible de décrire la physique à l'échelle de Planck, nous devons étendre ces concepts géométriques à des espaces dont les coordonnées ne forment plus nécessairement une algèbre commutative. Cette nouvelle géométrie, qui se base sur une algèbre de coordonnées non commutative prend tout naturellement le nom de *géométrie non commutative*.

A priori, il existe autant de géométries non commutative que de possibilités de choisir les relations définissant l'algèbre des coordonnées. De plus, pour une algèbre donnée, il y a en général plusieurs généralisations possibles des concepts géométriques. Toutes ces constructions peuvent être regroupées selon que l'accent est mis sur tel ou tel aspect de la géométrie. Avant d'étudier plus en détail notre sujet, donnons quelques exemples de géométries non commutative, en renvoyant à [Ma] pour une discussion plus détaillée.

L'exemple le plus connu de la communauté des physiciens des particules est certainement la supersymétrie. En effet, la supersymétrie est une forme très particulière de géométrie non commutative, puisqu'elle contient, outre les coordonnées ordinaires, des variables de Grassmann satisfaisant à des relations du type $\theta_i\theta_j + \theta_j\theta_i = 0$. Il est alors possible de définir l'analogue de la dérivation et de l'intégration par rapport aux coordonnées θ_j . L'utilisation de concepts géométriques dans le cadre de la supersymétrie se révèle alors extrêmement utile et permet de simplifier de nombreux calculs.

Un autre exemple de géométrie non commutative est formé par la théorie des groupes quantiques. Dans cette théorie, l'accent est mis sur la notion de symétrie. En géométrie ordinaire, une symétrie est décrite par l'action d'un groupe sur un certain espace. Puisque l'on doit travailler avec l'algèbre des coordonnées plutôt qu'avec les points, cette action se traduit par une coaction de l'algèbre des fonctions sur le groupe sur l'algèbre des coordonnées. Dans certains cas, il est possible de rendre ces deux algèbres non commutatives tout en préservant la coaction de l'une sur l'autre. L'algèbre des fonctions sur un groupe possède une structure très riche, appelée algèbre de Hopf, due à la loi de multiplication sur le groupe. Lorsque cette algèbre est une déformation d'une algèbre de fonction sur un groupe ordinaire, elle prend le nom de groupe quantique [CP].

L'exemple le plus simple d'espace non commutatif admettant une symétrie quantique est certainement le plan quantique. Celui-ci est décrit par deux coordonnées x et y satisfaisant à la relation $xy = qyx$, où q est un nombre complexe non nul. Il est possible de définir une déformation $SL_q(2)$ de l'algèbre des fonctions sur le groupe $SL(2)$ qui coagit sur le plan quantique. On peut alors construire l'analogue des formes différentielles sur le plan quantique et ces formes sont assujetties à une condition de covariance par rapport à cette coaction.

Dans ce travail, nous étudierons essentiellement l'approche développée par A. Connes dans [C5] ainsi que dans [C7], renvoyant à [C4], à [Land] et à [V] pour une introduction pédagogique.

En se basant sur l'analogie avec la mécanique quantique, cette théorie fait appel à des algèbres de coordonnées qui sont toujours représentées comme des sous-algèbres de l'algèbre des opérateurs d'un certain espace de Hilbert. Ainsi, la majorité des opérations se font dans le cadre de l'espace de Hilbert et nous avons à notre disposition le puissant arsenal de l'analyse fonctionnelle, qui devient indispensable lorsqu'il s'agit de travailler avec des algèbres de dimension infinie. Malheureusement le prix à payer est assez lourd car il nous est absolument impossible de travailler avec des algèbres qui ne sont pas semi-simples, comme par exemple l'algèbre de Grassmann de la supersymétrie ou certains groupes quantiques lorsque le paramètre de déformation est une racine de l'unité.

Plus précisément, la démarche employée en géométrie non commutative est la suivante :

- Partant d'un ensemble X muni d'une certaine structure géométrique (structure d'espace topologique ou mesurable, ou de variété différentiable, ...), on formule la théorie sous-jacente à l'aide de sous-algèbres adéquates de l'algèbre des fonctions à valeurs complexes définies sur X .
- On étend ensuite tous les résultats de la théorie précédente qui ne font pas usage de la commutativité de l'algèbre.

Cette démarche est illustrée par le lien entre C^* -algèbres et topologie générale (cf Appendice A). Dans un premier temps, on montre que l'algèbre des fonctions continues sur un espace topologique localement compact est une C^* -algèbre commutative et que toute C^* -algèbre commutative est l'algèbre des fonctions continues sur un espace localement compact. On définit alors la donnée d'un espace topologique non commutatif comme étant la donnée d'une C^* -algèbre non commutative, et on étend la plupart des définitions et des théorèmes de topologie qui ne reposent pas sur la commutativité de l'algèbre des coordonnées. De plus, les symétries, qui sont décrites dans le cas commutatif par les homéomorphismes, correspondent dans le cas non commutatif aux automorphismes de l'algèbre \mathcal{A} .

Bien d'autres aspects de la géométrie et de la topologie peuvent être étendus au cas non commutatif en utilisant ce procédé. Par exemple, il est possible de définir de manière purement algébrique la notion de fibré vectoriel qui nous mène à la K-théorie (cf Appendice B). D'un autre côté, s'il n'est pas possible pour l'instant de caractériser ainsi l'algèbre des fonctions lisses sur une variété, on peut toujours définir de manière axiomatique les formes différentielles et leur intégration. Cette théorie se généralise au cas non commutatif par le biais de la notion de cycle, qui est à la base de la cohomologie cyclique (Appendice C). Sur le plan purement mathématique, cette construction atteint son apogée avec la définition du couplage de la cohomologie cyclique avec la K-théorie par l'intermédiaire du caractère de Chern.

Les théories de jauge peuvent aussi être définies en utilisant la notion de module projectifs et de connexion. Afin de pouvoir définir l'analogue non commutatif de la relativité générale ainsi que le couplage de cette théorie avec des fermions, la notion qui intéresse le physicien des hautes énergies est celle de variété à spin. Cette dernière peut être caractérisée de manière purement algébrique à l'aide de la notion de *triplet spectral* $(\mathcal{A}, \mathcal{H}, \mathcal{D})$ [C7]. Puisque nous reviendrons largement sur la définition de cette notion, contentons-nous de définir un tel triplet comme étant une algèbre involutive \mathcal{A} jouant le rôle de l'algèbre des coordonnées, représentée sur un espace de Hilbert \mathcal{H} . \mathcal{D} est un opérateur agissant sur \mathcal{H} qui généralise l'opérateur de Dirac.

A partir de ce triplet spectral, on définit un calcul différentiel qui permet la construction de théories de Yang-Mills, en incluant la généralisation de configurations ayant une topologie non triviale. Dans ce formalisme, le rôle des transformations de jauge est joué par les éléments unitaires de l'algèbre \mathcal{A} . Tout comme en théorie des champs ordinaire, l'invariance sous ces transformations de jauge nous amène à remplacer l'opérateur de Dirac usuel par un opérateur de Dirac covariant, qui contient un champ de jauge. La dynamique de la théorie est alors gouvernée par le *principe d'action spectrale*, qui stipule que l'action ne dépend que du spectre de l'opérateur de Dirac covariant.

Lorsque le triplet spectral est le produit du triplet spectral relatif à la géométrie de l'espace-temps par un *triplet spectral fini* (i.e. tel que \mathcal{A} et \mathcal{H} soient de dimension finie) judicieusement choisi, la construction précédente permet de retrouver le modèle standard couplé à la théorie de la gravitation. Outre l'interprétation géométrique du boson de Higgs comme une connexion associée à la composante discrète de l'espace-temps, ce modèle impose de nombreuses contraintes aux masses et aux constantes de couplage du modèle standard. En particulier, ce modèle permet de prédire une masse du boson de Higgs de l'ordre de 200 GeV [CIKS2].

L'objet de cette thèse est la construction et l'étude de différents modèles physiques que l'on peut construire à l'aide de la géométrie non commutative. Cela inclut l'analyse de toutes les théories de Yang-Mills-Higgs que l'on peut obtenir en utilisant un triplet spectral proche du modèle standard. Cependant, nous nous sommes aussi efforcé d'étudier des triplets spectraux d'un type différent, comme par exemple le tore non commutatif. De façon générale, nous avons considéré ces objets comme servant de base à des constructions géométriques permettant de

généraliser certains aspects de la théorie des champs ordinaire, étant entendu que l'expression "théorie des champs" désigne un système dynamique ayant un nombre infini de degrés de liberté et susceptible d'une certaine interprétation géométrique.

Ce travail est divisé en quatre chapitres d'une importance égale.

Dans un premier temps, nous rappelons les bases axiomatiques de la géométrie non commutative, ainsi que quelques constructions classiques que nous utiliserons par la suite, comme celle de l'algèbre différentielle ou des théories de jauge. Nous introduisons aussi le caractère de Chern ainsi que la version locale du théorème de l'indice. En nous basant sur ces constructions, nous proposons une définition de l'action de Chern-Simons en géométrie non commutative et nous étudions ses propriétés sous les transformations de jauge. En utilisant la forme de Chern-Simons, nous donnons également une nouvelle démonstration d'un résultat relatif à la minoration de nature topologique de l'action de Yang-Mills pour un triplet spectral de dimension 4.

Le second chapitre est consacré à une étude détaillée des triplets spectraux finis. Nous donnons la forme simplifiée des axiomes dans ce cas ainsi que leur solution générale et nous proposons une interprétation diagrammatique de la solution précédente. Ce chapitre inclut également l'étude d'objets associés à ces triplets spectraux comme les théories de jauge ou les distances.

Ensuite, nous utilisons les résultats précédents pour étudier systématiquement tous les modèles qui peuvent être construits à l'aide du produit tensoriel de la géométrie de l'espace-temps usuel par un triplet spectral fini. Ces modèles sont des modèles de Yang-Mills-Higgs couplés à la gravitation dont nous analysons les secteurs fermionique et bosonique en nous servant autant que possible de la méthode diagrammatique.

Le dernier chapitre est consacré à l'étude du tore non commutatif. Nous commençons par un bref rappel de ses propriétés algébriques et nous vérifions que les axiomes de la géométrie non commutative sont satisfaits. Ensuite, nous étudions les théories de jauge sur le tore non commutatif en utilisant les méthodes du chapitre 1 ; en particulier nous vérifions l'invariance de jauge de l'action de Chern-Simons ainsi que la quantification de la borne topologique de l'action de Yang-Mills en dimension 4. Enfin, nous terminons cette étude par la quantification de la théorie de Yang-Mills : nous étendons la symétrie BRS, donnons les règles de Feynman associées et terminons en donnant les principales caractéristiques de cette théorie.

Trois appendices suivent le corps de cette thèse. Ceux-ci n'ont d'autre prétention que de fournir au lecteur un recueil de définitions et de résultats classiques en géométrie non commutative, lui évitant de la sorte des renvois trop nombreux à la littérature existante.

Chapitre 1

Géométrie spectrale non commutative

1.1 Les axiomes de la géométrie non commutative

1.1.1 Les triplets spectraux

La démarche employée en géométrie non commutative peut être résumée en deux étapes.

- Partant d'un espace géométrique X (c'est-à-dire que X est un espace mesurable ou topologique, ou encore une variété différentiable), on formule la théorie mathématique sous-jacente à l'aide de certaines sous-algèbres de l'algèbre des fonctions à valeurs complexes définies sur X .
- Ensuite, on généralise les définitions et théorèmes de la théorie qui ne font pas appel à la commutativité de l'algèbre.

Dans le cas des espaces mesurables et des espaces topologiques, cette démarche ne faisait intervenir que l'algèbre des fonctions correspondantes (fonctions mesurables et fonctions continues), représentée dans un espace de Hilbert \mathcal{H} , ainsi que leurs généralisations non commutatives qui sont les algèbres de von Neumann et les C^* -algèbres (cf Appendice A).

Par contre, pour construire l'analogie non commutatif du calcul différentiel et de la géométrie riemannienne, nous sommes amenés à introduire un autre objet qui est un opérateur \mathcal{D} sur \mathcal{H} . Dans le cas d'une variété munie d'une structure riemannienne à spin, cet opérateur n'est autre que l'opérateur de Dirac.

Par exemple, dans le cas général non commutatif, nous considérons les éléments de \mathcal{A} comme généralisant les fonctions et nous voulons pouvoir définir la différentielle d'un élément $x \in \mathcal{A}$, en conservant la plupart des propriétés et usuelles de la différentielle. De plus, il est nécessaire que cette définition de la différenciation coïncide, dans le cas commutatif, avec la définition usuelle.

La solution de ce problème fait appel à l'opérateur de Dirac \mathcal{D} [C5]. En effet, pour tout $x \in \mathcal{A}$, nous définissons la dérivée extérieure de la 0-forme $\pi(x) \in \Omega_{\mathcal{D}}^0(\mathcal{A})$, où π désigne la représentation de \mathcal{A} dans l'algèbre des opérateurs sur \mathcal{H} , par

$$d\pi(x) = [\mathcal{D}, \pi(x)], \quad (1.1)$$

Nous verrons ultérieurement que cette définition, ainsi que ses généralisations d'ordre supérieur, vérifie toutes les propriétés de la différentielle (cf §1.3.1).

Bornons-nous pour le moment à étudier le cas commutatif. Nous choisissons une variété riemannienne \mathcal{M} de dimension n munie d'une structure de spin et $\mathcal{A} = C^\infty(\mathcal{M})$ n'est autre que l'algèbre involutive des fonctions lisses définies sur \mathcal{M} et à valeurs complexes. L'espace

de Hilbert \mathcal{H} est le complété $L^2(\mathcal{M}, \mathcal{S})$ pour la norme L^2 de l'espace des spineurs de carré intégrable, sur lequel \mathcal{A} est représentée par simple multiplication.

Enfin, \mathcal{D} est l'opérateur de Dirac, donné en coordonnées locales par $\mathcal{D} = i\gamma^\mu(\partial_\mu + \omega_\mu)$, où γ^μ désigne les matrices de Dirac hermitiennes reliées à la métrique $g_{\mu\nu}$ par

$$\gamma^\mu\gamma^\nu + \gamma^\nu\gamma^\mu = 2g^{\mu\nu}. \quad (1.2)$$

Bien entendu, ∂_μ est la dérivation par rapport à la coordonnée locale x^μ et nous utilisons la convention d'Einstein pour les indices grecs uniquement : la somme sur tout indice répété en position haute et basse est sous-entendue. ω^μ est la connexion spinorielle qui n'est autre que la connexion de Levi-Civita exprimée en partie dans la base des "vielbeins". Cette connexion ne jouera aucun rôle avant le chapitre 3, aussi nous contenterons nous de noter qu'elle commute avec l'action des fonctions.

Il est alors très facile de calculer le commutateur de \mathcal{D} avec l'action d'une fonction $f \in C^\infty(\mathcal{M})$,

$$[\mathcal{D}, \pi(f)] = [i\gamma^\mu(\partial_\mu + \omega_\mu), f] = i\gamma^\mu(\partial_\mu f + f\partial_\mu - f\partial_\mu) = i\gamma^\mu\partial_\mu f. \quad (1.3)$$

En identifiant $i\gamma^\mu$ et la forme différentielle dx^μ , nous pouvons considérer que $[\mathcal{D}, \pi(f)]$ est analogue à la différentielle $df = \partial_\mu f dx^\mu$. Nous verrons que cette construction se généralise aux formes différentielles de tous ordres.

Le second outil indispensable en géométrie différentielle est la théorie de l'intégration par rapport à la forme volume $\sqrt{g} d^n x$ déterminée par la structure riemannienne. Celle-ci se reformule à l'aide de la trace de Dixmier (cf Appendice A) de la manière suivante,

$$\int_{\mathcal{M}} \sqrt{g} d^n x f = \left(2^{n-[n/2]} \pi^{n/2} \Gamma(n/2 + 1)\right) \text{Tr}_\omega \left(\pi(x)|\mathcal{D}|^{-n}\right), \quad (1.4)$$

où Tr_ω est la trace de Dixmier. Cela nous amène à définir l'analogie de l'intégrale d'un élément $a \in \mathcal{A}$ par

$$\int a ds^n = \left(2^{n-[n/2]} \pi^{n/2} \Gamma(n/2 + 1)\right) \text{Tr}_\omega \left(\pi(a)|\mathcal{D}|^{-n}\right), \quad (1.5)$$

où on a noté $ds = \sqrt{D^2}$.

L'utilisation de la trace de Dixmier dans le cas général nous amène à imposer une condition de décroissance aux valeurs propres de $|\mathcal{D}|^{-n}$ (voir l'axiome de dimension).

Ainsi, il apparait que l'objet fondamental en géométrie non commutative est un triplet $(\mathcal{A}, \mathcal{H}, \mathcal{D})$, appelé triplet spectral [C5].

Définition 1.1.1 *Un triplet spectral est un triplet $(\mathcal{A}, \mathcal{H}, \mathcal{D})$ formé d'une algèbre involutive \mathcal{A} munie d'une représentation involutive π sur un espace de Hilbert \mathcal{H} . \mathcal{D} est un opérateur non borné et hermitien à résolvante compacte et tel que $[\mathcal{D}, \pi(x)]$ soit borné pour tout $x \in \mathcal{A}$.*

Dans tout ce qui suit, l'algèbre \mathcal{A} n'intervient que par sa représentation en tant qu'opérateurs sur \mathcal{H} . Si cette représentation n'est pas injective, son noyau \mathcal{J} est un idéal bilatère et l'algèbre \mathcal{A}/\mathcal{J} a une représentation fidèle. Puisque les théories construites à partir de \mathcal{A} et de \mathcal{A}/\mathcal{J} sont identiques, nous supposons toujours π fidèle.

Les propriétés de \mathcal{D} sont motivées par l'analogie avec le cas classique. Dans ce cas, \mathcal{H} est l'espace de Hilbert obtenu en complétant pour la norme L^2 l'espace des sections du fibré spinoriel. Les nouveaux éléments introduits par cette complétion ne sont pas dérivables, aussi l'opérateur de Dirac est un opérateur non borné, défini uniquement sur un sous-espace dense de \mathcal{H} .

\mathcal{D} est un opérateur à résolvante compacte signifie que pour tout nombre complexe non réel λ l'opérateur $(\mathcal{D} - \lambda)^{-1}$ est compact. De manière équivalente, \mathcal{D} a un noyau de dimension finie et son inverse, défini sur l'orthogonal de son noyau, est un opérateur compact. En conséquence, la suite décroissante des valeurs propres de $|\mathcal{D}|^{-1}$ tend vers 0 et son taux de décroissance permet de minorer la dimension de l'espace.

Enfin, puisque dans le cas commutatif la différentielle d'une fonction f , donnée par

$$df = [\mathcal{D}, f] = i\gamma^\mu \partial_\mu f, \quad (1.6)$$

est un opérateur borné, nous supposons que $[\mathcal{D}, \pi(x)]$ est borné pour tout $x \in \mathcal{A}$. Cette hypothèse s'avèrera nécessaire pour pouvoir définir la théorie de l'intégration des formes différentielles en utilisant la trace de Dixmier.

Lorsque la dimension de l'espace est paire, la construction de l'analogue non commutatif des formes différentielles et de leur intégration fait intervenir de manière cruciale une \mathbb{Z}_2 -graduation γ , qui dans le cas commutatif n'est autre que la graduation γ^{n+1} de l'algèbre de Clifford. Aussi supposons-nous que lorsque n est pair, le triplet spectral $(\mathcal{A}, \mathcal{H}, \mathcal{D})$ est pair dans le sens suivant.

Définition 1.1.2 *Un triplet spectral est pair s'il existe une involution hermitienne γ , appelée chiralité, qui anticommute avec \mathcal{D} et commute avec $\pi(x)$ pour tout $x \in \mathcal{A}$.*

Dans le cas commutatif, il est possible de caractériser, lorsqu'elles existent, les structures spinorielles sur une variété compacte à l'aide des triplets spectraux. Cependant, nous devons supposer que ces derniers satisfont à d'autres hypothèses que nous donnons dans la suite [C7].

1.1.2 Caractérisation des variétés à spin

Pour commencer, nous allons caractériser les structures de spin sur une variété compacte \mathcal{M} de dimension n à l'aide des triplets spectraux $(\mathcal{A}, \mathcal{H}, \mathcal{D})$, où \mathcal{A} est l'algèbre des fonctions C^∞ sur \mathcal{M} à valeurs complexes.

La première condition que nous devons imposer à l'opérateur de Dirac est relative au taux de décroissance des valeurs propres de l'opérateur compact $ds = |\mathcal{D}|^{-1}$. En effet, nous voulons pouvoir définir l'intégrale d'un élément de \mathcal{A} à l'aide de la formule (1.4), ce qui implique que $|\mathcal{D}|^{-n} = ds^n$ doit être un infinitésimal d'ordre 1. En prenant la racine n -ième, on est amené à supposer que \mathcal{D} satisfait à l'axiome suivant.

Axiome 1 (Dimension) *Pour une géométrie de dimension n , $ds = |\mathcal{D}|^{-1}$ est un infinitésimal d'ordre $1/n$.*

Nous donnons dans l'Appendice A la définition et les principales propriétés des infinitésimaux. Rappelons cependant que par définition, un opérateur compact est un infinitésimal d'ordre $\alpha > 0$ si la suite décroissante de ses valeurs propres $(\lambda_k)_{k \in \mathbb{N}}$ satisfait à

$$\lambda_k \underset{k \rightarrow +\infty}{=} O\left(\frac{1}{k^\alpha}\right). \quad (1.7)$$

Ainsi, \mathcal{D} est un opérateur non borné dont les valeurs propres croissent au moins aussi vite que la suite $k^{1/n}$ pour une variété de dimension n .

Ensuite, il nous faut imposer à l'opérateur de Dirac d'être un opérateur différentiel d'ordre un. Pour caractériser algébriquement ces opérateurs, supposons que \mathcal{D} soit un opérateur différentiel et $f \in C^\infty(\mathcal{M})$ une fonction. Dans ce cas, il est facile de montrer, en utilisant un

système de coordonnées locales, que \mathcal{D} est un opérateur différentiel d'ordre k si et seulement si $[\mathcal{D}, f]$ est un opérateur différentiel d'ordre $k - 1$. Puisque les opérateurs différentiels d'ordre 0 sont ceux qui commutent avec les fonctions, \mathcal{D} est un opérateur différentiel d'ordre un si et seulement si il vérifie la condition suivante.

Axiome 2 (Ordre un) *Pour toutes fonctions $a, b \in \mathcal{A}$, on a $[[\mathcal{D}, \pi(a)], \pi(b)] = 0$.*

En général, l'opérateur de Dirac et son carré sont des opérateurs non bornés ce qui induit certaines complications, en particulier lorsqu'on est amené à faire commuter \mathcal{D}^2 avec des éléments de $\pi(\mathcal{A})$ et $[\mathcal{D}, \pi(\mathcal{A})]$. Pour remédier à cela, nous ferons l'hypothèse suivante.

Axiome 3 (Régularité) *Pour toute fonction $a \in \mathcal{A}$, $\pi(a)$ et $[\mathcal{D}, \pi(a)]$ appartiennent à l'intersection des domaines de toutes les puissances δ^k de la dérivation δ définie par $\delta(b) = [[\mathcal{D}, b]$ lorsque b appartient à l'algèbre engendrée par $\pi(\mathcal{A})$ et $[\mathcal{D}, \pi(\mathcal{A})]$.*

L'axiome suivant permet de caractériser algébriquement la chiralité γ en dimension paire. Il convient de noter que c'est le seul axiome faisant explicitement référence à l'intégralité de la dimension.

Axiome 4 (Orientabilité) *Il existe un cycle de Hochschild $c \in Z_n(\mathcal{A})$ de dimension n tel que $\pi(c) = 1$ lorsque n est impair et $\pi(c) = \gamma$ lorsque n est pair.*

Tout comme γ^{n+1} , γ n'est défini que lorsque la dimension est paire. Aussi, en dimension impaire γ est remplacé par 1 dans l'axiome précédent. Pour un produit tensoriel général $c = a_0 \otimes a_1 \otimes \dots \otimes a_n$, nous définissons,

$$\pi(c) = \pi(a_0)[\mathcal{D}, \pi(a_1)] \dots [\mathcal{D}, \pi(a_n)], \quad (1.8)$$

qui s'étend par linéarité à tous les éléments de $\mathcal{A}^{\otimes(n+1)}$.

L'homologie de Hochschild est la théorie duale de la cohomologie de Hochschild. Puisque, dans le cas de l'algèbre des fonctions sur une variété, cette dernière est reliée à l'intégration des formes différentielles [C2], l'homologie de Hochschild correspond aux formes différentielles (cf Appendice C).

Pour une algèbre \mathcal{A} quelconque, l'homologie de Hochschild est l'homologie du complexe

$$0 \xleftarrow{b} C_0(\mathcal{A}) \xleftarrow{b} \dots \xleftarrow{b} C_n(\mathcal{A}) \xleftarrow{b} C_{n+1}(\mathcal{A}) \xleftarrow{b} \dots \quad (1.9)$$

où $C_n(\mathcal{A})$ est le produit tensoriel de l'algèbre \mathcal{A} par elle-même $n + 1$ fois et $b : \mathcal{A}^{\otimes(n+1)} \rightarrow \mathcal{A}^{\otimes n}$ est défini par

$$\begin{aligned} b(a_0 \otimes a_1 \otimes \dots \otimes a_n) &= a_0 a_1 \otimes a_2 \otimes \dots \otimes a_n + (-1)^n a_n a_0 \otimes a_1 \otimes \dots \otimes a_{n-1} \\ &+ \sum_{i=1}^{n-1} (-1)^i a_0 \otimes a_1 \otimes \dots \otimes a_i a_{i+1} \otimes \dots \otimes a_n. \end{aligned}$$

Par définition, l'espace $Z_n(\mathcal{A})$ des cycles de Hochschild de longueur n est l'ensemble des $c \in C^n(\mathcal{A})$ qui vérifient $b(c) = 0$.

Précisons le lien entre l'homologie de Hochschild et les formes différentielles lorsque l'algèbre \mathcal{A} est commutative. Dans ce cas, on définit un cycle de Hochschild de dimension m par

$$c = \sum_{\sigma \in S_m} \epsilon(\sigma) a_0 \otimes a_{\sigma(1)} \otimes \dots \otimes a_{\sigma(m)} \quad (1.10)$$

pour tous $a_0, \dots, a_m \in \mathcal{A}$.

En revenant au cas $\mathcal{A} = C^\infty(\mathcal{M})$, on représente ce cycle comme opérateur sur \mathcal{H} à l'aide d'une formule analogue à celle relative aux formes différentielles,

$$\pi(c) = \sum_{\sigma \in S_m} \epsilon(\sigma) \pi(a_0) [\mathcal{D}, \pi(a_{\sigma(1)})] \dots [\mathcal{D}, \pi(a_{\sigma(m)})]. \quad (1.11)$$

Lorsque \mathcal{D} est l'opérateur de Dirac $i\gamma_\mu(\partial_\mu + \omega_\mu)$, on a

$$\pi(c) = \sum_{\sigma \in S_n} \epsilon(\sigma) a_0 \partial_{\mu_{\sigma(1)}} a_1 i\gamma^{\mu_{\sigma(1)}} \dots \partial_{\mu_{\sigma(m)}} a_i i\gamma^{\mu_{\sigma(m)}}. \quad (1.12)$$

Si on identifie $i\gamma^\mu$ et dx^μ comme nous l'avons fait lorsque nous avons défini la différentielle d'une fonction $f \in \mathcal{A}$, $\pi(c)$ s'identifie à la forme différentielle

$$a_0 \wedge da_1 \wedge \dots \wedge da_m. \quad (1.13)$$

Puisque les formes différentielles correspondent aux cycles de Hochschild, il est naturel de chercher à définir la dérivée extérieure dans ce cadre. Celle-ci doit être un opérateur de carré nul qui transforme $Z_n(\mathcal{A})$ en $Z_{n+1}(\mathcal{A})$. Ces propriétés sont vérifiées par l'opérateur $B : \mathcal{A}^{\otimes(n+1)} \rightarrow \mathcal{A}^{\otimes(n+2)}$ défini par

$$\begin{aligned} B(a_0 \otimes a_1 \otimes \dots \otimes a_m) = & \\ & \sum_{i=0}^{m-1} (-1)^{mi} 1 \otimes a_i \otimes \dots \otimes a_m \otimes a_0 \otimes \dots \otimes a_{i-1} \\ & - \sum_{i=0}^{m-1} (-1)^{m(i-1)} a_{i-1} \otimes 1 \otimes a_i \otimes \dots \otimes a_m \otimes a_0 \otimes \dots \otimes a_{i-2}, \end{aligned}$$

pour tous $a_0, \dots, a_m \in \mathcal{A}$. En effet, on montre que $B^2 = 0$ et que $Bb + bB = 0$, ce qui implique que $B(Z_m(\mathcal{A})) \subset Z_{m+1}(\mathcal{A})$. De même on obtient un analogue du produit extérieur en considérant le produit "shuffle" [Lo].

En utilisant la représentation à l'aide de commutateurs avec l'opérateur de Dirac, il est facile de montrer que $\pi(B(c))$ s'identifie à

$$da_0 \wedge da_1 \wedge \dots \wedge da_m, \quad (1.14)$$

ce qui prouve que B est l'analogue de la dérivée extérieure.

Lorsque l'on applique ces résultats au cycle donné en coordonnées locales par

$$c = \frac{i^{-[n/2]}}{n!} \sum_{\sigma \in S_n} \epsilon(\sigma) 1 \otimes x^{\mu_{\sigma(1)}} \otimes \dots \otimes x^{\mu_{\sigma(n)}}, \quad (1.15)$$

on trouve $\pi(c) = \gamma^{n+1}$ lorsque la dimension est paire et $\pi(c) = 1$ dans le cas impair, ce qui prouve que l'axiome de réalité est satisfait lorsque $(\mathcal{A}, \mathcal{H}, \mathcal{D})$ est le triplet spectral associé à une structure spinorielle sur \mathcal{M} .

De plus, cet exemple nous montre que γ est analogue à la forme volume

$$\frac{1}{n!} dx^0 \wedge \dots \wedge dx^n, \quad (1.16)$$

ce que fera jouer à γ un rôle important dans la théorie de l'intégration des formes différentielles non commutatives.

L'axiome suivant permet de caractériser les spineurs de classe C^∞ . Ils doivent former un module projectif fini sur \mathcal{A} , qui n'est autre que la formulation algébrique de la notion de fibré vectoriel (cf Appendice B).

Axiome 5 (Finitude) *L'intersection des domaines de toutes les puissances \mathcal{D}^k de l'opérateur de Dirac est un module projectif fini sur \mathcal{A} sur lequel la relation suivante définit une structure hermitienne (\cdot, \cdot)*

$$\langle \pi(a)\xi, \zeta \rangle = \int a(\xi, \zeta) ds^n, \quad (1.17)$$

pour tous $\xi, \zeta \in \mathcal{H}$ et $a \in \mathcal{A}$.

Cet axiome fait appel à la notion de structure hermitienne sur un module projectif fini que nous décrivons en détail lorsque nous étudierons les théories de jauge (cf §1.2.3.).

En particulier, cela interdit aux valeurs propres de $|\mathcal{D}|$ de croître plus vite que la suite $k^{1/n}$, car si tel était le cas, les valeurs propres de ds^n décroîtraient plus vite que la suite $1/n$, et le second membre de (1.17) serait identiquement nul. Ce résultat est à rapprocher de l'inégalité obtenue dans [VW] sur les valeurs propres de l'opérateur de Dirac usuel, dont on pourra trouver une démonstration nouvelle, basée sur la dualité de Poincaré, dans [Mo].

Il est important de remarquer que cet axiome ne peut être satisfait si la chiralité $\gamma = \pi(c)$ est l'image d'un bord. En effet, si $n > 0$, l'application

$$(a_0, \dots, a_n) \mapsto \text{Tr}_\omega \left(\gamma \pi(a_0) [\mathcal{D}, \pi(a_1)] \cdots [\mathcal{D}, \pi(a_n)] |\mathcal{D}|^{-n} \right), \quad (1.18)$$

où on pose $\gamma = 1$ dans le cas impair, est un cocycle de Hochschild (cf §1.3.1 pour la démonstration). En conséquence, si c était un bord, on aurait

$$\text{Tr}_\omega \left(\gamma \pi(c) |\mathcal{D}|^{-n} \right) = \text{Tr}_\omega |\mathcal{D}|^{-n} = 0, \quad (1.19)$$

ce qui est en contradiction avec l'axiome de finitude. En dimension 0 nous avons un résultat similaire sur lequel nous reviendrons (cf §2.1.1).

En association avec l'axiome de régularité, cette condition permet de caractériser les fonctions C^∞ comme les éléments de l'algèbre de von Neumann engendrée par $\pi(\mathcal{A})$ satisfaisant à l'axiome de régularité.

La dualité de Poincaré est une des principales propriétés des variétés compactes. Celle-ci stipule que la forme bilinéaire définie sur les groupes de cohomologie de de Rham $H^p(\mathcal{M})$ et $H^{n-p}(\mathcal{M})$ par

$$(\omega, \xi) \mapsto \int_{\mathcal{M}} \omega \wedge \xi, \quad (1.20)$$

où ω et ξ sont des représentants respectifs de $H^p(\mathcal{M})$ et $H^{n-p}(\mathcal{M})$, est non dégénérée. Cette forme bilinéaire est appelée forme d'intersection et l'axiome suivant exprime la dualité de Poincaré de manière purement algébrique.

Axiome 6 (Dualité de Poincaré) *La matrice de la forme d'intersection $\cap : K_*(\mathcal{A}) \times K_*(\mathcal{A}) \rightarrow \mathbb{Z}$ est non dégénérée.*

$K_*(\mathcal{A})$ est une notation collective pour tous les groupes $K_n(\mathcal{A})$. Rappelons que grâce au théorème de périodicité de Bott, $K_{n+2}(\mathcal{A}) = K_n(\mathcal{A})$, ce qui permet de réduire notre étude aux cas des groupes $K_0(\mathcal{A})$ et $K_1(\mathcal{A})$.

Il est important de noter que nous employons la notation $K_0(\mathcal{A})$ pour l'algèbre $\mathcal{A} = C^\infty(\mathcal{M})$, alors qu'elle n'est en principe définie que si \mathcal{A} est une C^* -algèbre. Cependant, la K-théorie peut être définie de manière purement algébrique, sans faire référence aux propriétés topologiques de C^* -algèbres et nous supposons donc que $K_0(\mathcal{A})$ désigne la K-théorie algébrique de \mathcal{A} . En particulier, l'algèbre $C^\infty(\mathcal{M})$ est une pré C^* -algèbre dense dans l'algèbre $C^0(\mathcal{M})$ des fonctions

continues sur \mathcal{M} . Par conséquent, sa K-théorie algébrique coïncide avec la K-théorie de la C^* -algèbre $C^0(\mathcal{M})$. De plus, la K-théorie de la C^* -algèbre $C^0(\mathcal{M})$ est identique à sa K-théorie topologique et classe les fibrés vectoriels complexes sur \mathcal{M} (cf Appendice A).

La forme bilinéaire sur le groupe $K_0(\mathcal{A}) \oplus K_1(\mathcal{A})$ est définie grâce au couplage avec l'indice de l'opérateur \mathcal{D} . Décrivons plus en détail la définition de la forme d'intersection sur le groupe $K^0(\mathcal{A})$ en dimension paire.

Les éléments de $K_0(\mathcal{A})$ sont des classes d'équivalence de projecteurs qui correspondent à des modules projectifs finis sur \mathcal{M} . Pour définir une forme bilinéaire sur $K_0(\mathcal{A})$, nous partons d'un couple de deux éléments de $K_0(\mathcal{A})$ déterminés par les projecteurs e_1 et e_2 , auxquels nous devons associer un nombre entier $\cap(e_1, e_2)$.

Cette construction passe par deux étapes. Dans un premier temps, nous construisons un nouvel élément de $K_0(\mathcal{A})$ noté $m_*(e_1 \otimes e_2)$. La construction de cet élément repose sur les propriétés mathématiques du groupe $K_0(\mathcal{A})$. En effet, l'association d'un groupe $K_0(\mathcal{A})$ à toute algèbre \mathcal{A} est un foncteur covariant de la catégorie des algèbres vers la catégorie des groupes. Cela implique que la multiplication m , qui est un morphisme de $\mathcal{A} \otimes \mathcal{A}$ dans \mathcal{A} puisque \mathcal{A} est commutative, définit une application bilinéaire de $m_* K_0(\mathcal{A}) \times K_0(\mathcal{A})$ dans $K_0(\mathcal{A})$. Cela permet d'associer au couple (e_1, e_2) un nouveau projecteur que nous notons $e = m_*(e_1 \otimes e_2)$.

Ensuite, nous associons à e un entier par l'intermédiaire de l'opérateur de Dirac. Puisque nous sommes en dimension paire, définissons deux opérateurs \mathcal{D}^+ et \mathcal{D}^- adjoints l'un de l'autre par

$$\mathcal{D}^+ = \frac{1 - \chi}{2} \mathcal{D} \frac{1 + \chi}{2} \quad (1.21)$$

et

$$\mathcal{D}^- = \frac{1 + \chi}{2} \mathcal{D} \frac{1 - \chi}{2}. \quad (1.22)$$

Puisque le noyau de \mathcal{D} est de dimension finie, il en est de même pour les opérateurs $e\mathcal{D}^+e$ et $e\mathcal{D}^-e$. Nous définissons alors $\cap(e_1, e_2)$ comme étant l'indice de l'opérateur $e\mathcal{D}^+e$. En d'autres termes, $\cap(e_1, e_2)$ est égal à la différence des dimensions du noyau de $e\mathcal{D}^+e$ et de son adjoint

$$\cap(e_1, e_2) = \dim \ker e\mathcal{D}^+e - \dim \ker e\mathcal{D}^-e. \quad (1.23)$$

Le lien entre $K_0(\mathcal{A})$ et les groupes de cohomologie pairs $H^{2p}(\mathcal{M})$ est donné par le caractère de Chern [G]. Ce dernier associe à tout fibré vectoriel \mathcal{E} un élément du groupe de cohomologie paire

$$H^{2*}(\mathcal{M}) = H^0(\mathcal{M}) \oplus \dots \oplus H^{2p}(\mathcal{M}), \quad (1.24)$$

avec $p = [n/2]$, qui est défini par

$$\mathrm{Tr} \exp \frac{F}{2i\pi} = 1 \oplus \frac{F}{2i\pi} \oplus \dots \oplus \frac{1}{(n/2)!} \left(\frac{F}{2i\pi} \right)^p. \quad (1.25)$$

Dans la relation précédente, F est la courbure d'une connexion ∇ sur \mathcal{E} et $\mathrm{Tr}(F)^p$ est une forme différentielle fermée de degré $2p$ qui définit un élément du groupe de cohomologie $H^{2p}(\mathcal{M})$.

$\mathrm{Tr} \exp \frac{F}{2i\pi}$ ne dépend que de la classe de \mathcal{E} dans $K_0(\mathcal{A})$ et le caractère de Chern est un isomorphisme d'anneaux entre $K_0(\mathcal{A}) \otimes_{\mathbb{Z}} \mathbb{R}$ et $H^{2*}(\mathcal{M})$. Notons que $K_0(\mathcal{A}) \otimes_{\mathbb{Z}} \mathbb{R}$ s'obtient à partir de $K_0(\mathcal{A})$ en remplaçant chaque facteur \mathbb{Z} par un facteur \mathbb{R} et en supprimant les groupes finis du type $\mathbb{Z}/p\mathbb{Z}$ qui correspondent à la torsion.

Cela établit, dans le cas pair, le lien entre la dualité de Poincaré formulée à l'aide des formes différentielles et la version algébrique donnée ci-dessus. Dans le cas impair, on utilise un

morphisme similaire entre $K_i(\mathcal{A}) \otimes K_j(\mathcal{A})$ et $K_{i+j}(\mathcal{A})$, où i, j et $i + j$ sont définis modulo 2. Ensuite on couple $K_1(\mathcal{A})$ à l'opérateur de Dirac à l'aide de la version impaire du théorème de l'indice .

Le dernier axiome introduit l'opérateur antiunitaire \mathcal{J} , encore appelé structure réelle. Lorsque \mathcal{D} est l'opérateur de Dirac, \mathcal{J} n'est autre que l'opérateur de conjugaison de charge. Dans le cas général, on suppose qu'il vérifie les relations suivantes, dont la périodicité modulo 8 trouve son origine dans la même périodicité de l'algèbre de Clifford.

Axiome 7 (Réalité) *Il existe une application antiunitaire \mathcal{J} de \mathcal{H} dans lui-même telle que $\mathcal{J}\pi(a)\mathcal{J}^{-1} = \pi(a)^*$ pour tout $a \in \mathcal{A}$. De plus, \mathcal{J} satisfait aux conditions $\mathcal{J}^2 = \epsilon$, $\mathcal{J}\mathcal{D} = \epsilon'\mathcal{D}\mathcal{J}$ et $\mathcal{J}\gamma = \epsilon''\gamma\mathcal{J}$, où ϵ, ϵ' et ϵ'' sont donnés, selon la valeur de n modulo 8, par le tableau suivant.*

$n \bmod 8$	0	1	2	3	4	5	6	7
ϵ	1	1	-1	-1	-1	-1	1	1
ϵ'	1	-1	1	1	1	-1	1	1
ϵ''	1		-1		1		-1	

Lorsque toutes ces conditions sont réalisées, on peut montrer le résultat suivant [C7].

Théorème 1.1.1 *Soit $\mathcal{A} = C^\infty(\mathcal{M})$ l'algèbre des fonctions lisses sur une variété compacte de dimension n et soit $\mathcal{T} = (\mathcal{A}, \mathcal{H}, \mathcal{D})$ un triplet spectral satisfaisant aux axiomes précédents.*

1. *Il existe une unique métrique riemannienne $g_{\mathcal{T}}$ sur \mathcal{M} dont la distance géodésique associée est donnée, entre deux points $x, y \in \mathcal{M}$, par*

$$d(x, y) = \sup_{f \in \mathcal{A}, \|\mathcal{D}f\| \leq 1} |f(x) - f(y)|. \quad (1.26)$$

2. *La métrique $g_{\mathcal{T}}$ ne dépend que de la classe d'équivalence unitaire du triplet spectral π et les fibres de l'application qui à une classe d'équivalence unitaire de triplets spectraux associe la métrique correspondante est une famille finie d'espaces affines A_σ paramétrée par les structures spinorielles σ sur \mathcal{M} .*
3. *La fonctionnelle*

$$\mathcal{T} \mapsto \int ds^{n-2} \quad (1.27)$$

est quadratique et positive sur chaque A_σ où elle atteint un minimum \mathcal{T}_σ unique à une équivalence unitaire près.

4. *\mathcal{T}_σ est le triplet spectral obtenu en représentant \mathcal{A} par multiplication sur l'espace de Hilbert des spineurs de carré intégrable et \mathcal{D} est l'opérateur de Dirac associé à la connexion de Levi-Civita de $g_{\mathcal{T}}$.*
5. *La valeur de la fonctionnelle $\int ds^{n-2}$ en \mathcal{T}_σ est proportionnelle à l'action d'Einstein-Hilbert de la métrique $g_{\mathcal{T}}$,*

$$\int ds^{n-2} = C(n) \int_{\mathcal{M}} \sqrt{g} dx^n \mathcal{R} \quad (1.28)$$

avec

$$C(n) = \frac{2^{[n/2]}(n-2)}{12(4\pi)^{n/2}\Gamma(n/2+1)}. \quad (1.29)$$

Ce théorème nécessite deux explications supplémentaires. Deux triplets spectraux $(\mathcal{A}, \mathcal{H}, \mathcal{D})$ et $(\mathcal{A}', \mathcal{H}', \mathcal{D}')$ sont unitairement équivalents (cf §1.2.1) s'il existe une application unitaire U de \mathcal{H} dans \mathcal{H}' et un isomorphisme d'algèbre ϕ de \mathcal{A} dans \mathcal{A}' tel que $U\mathcal{D}U^{-1} = \mathcal{D}'$, $U\mathcal{J}U^{-1} = \mathcal{J}'$

et $U \pi(x) U^{-1} = \pi \circ \phi(x)$ pour tout $x \in \mathcal{A}$. Bien entendu, dans le cas pair on suppose aussi que $U \gamma U^{-1} = \gamma$.

Si P est un opérateur pseudo-différentiel d'ordre $-n$ agissant sur les sections d'un fibré vectoriel sur \mathcal{M} , la trace de Dixmier vérifie

$$\mathrm{Tr}_\omega(P) = \frac{2}{n} \mathcal{W}(P), \quad (1.30)$$

où \mathcal{W} est le résidu de Wodzicki de P (cf Appendice A).

Lorsque P est un opérateur pseudo-différentiel d'ordre quelconque, cette relation définit $\int P$. De ce fait on a

$$\int ds^{n-2} = \frac{2}{n} \mathcal{W}(ds^{n-2}). \quad (1.31)$$

Pour le physicien intéressé par la théorie de la relativité générale, le résultat relatif à la distance géodésique est particulièrement important. C'est pourquoi nous allons donner une démonstration simplifiée de ce résultat, n'utilisant que les propriétés élémentaires de la distance géodésique.

1.1.3 La distance géodésique

Vérifions que la relation (3.132) nous donne la distance géodésique lorsque \mathcal{A} est l'algèbre des fonctions C^∞ à valeurs complexes sur une variété compacte \mathcal{M} munie d'une structure spinorielle et $\mathcal{D} = i\gamma^\mu(+\partial_\mu + \omega_\mu)$ est l'opérateur de Dirac associé à la connexion de Levi-Civita.

Dans ce cas, il est évident que la donnée de l'opérateur de Dirac permet de reconstruire la métrique g , car le symbole principal de l'opérateur de Dirac est donné par les matrices γ^μ en espace courbe, qui satisfont à

$$\gamma^\mu \gamma^\nu + \gamma^\nu \gamma^\mu = 2g^{\mu\nu}. \quad (1.32)$$

Cependant, cette relation est locale car elle fait appel à l'usage d'un système de coordonnées et ne peut de ce fait être généralisée au cas non commutatif.

La relation (1.26) du théorème précédent permet de reconstruire la distance géodésique à l'aide de l'opérateur de Dirac. Nous allons montrer le résultat suivant.

Théorème 1.1.2 *Soit $(\mathcal{A}, \mathcal{H}, \mathcal{D})$ un triplet spectral commutatif correspondant à une variété à spin \mathcal{M} . La distance géodésique $L(x, y)$ entre deux points x et y de \mathcal{M} peut s'exprimer à l'aide de la relation*

$$L(x, y) = \sup_{f \in \mathcal{A}, \|\mathcal{D}f\| \leq 1} |f(x) - f(y)|. \quad (1.33)$$

Démonstration:

Dans un premier temps, nous allons montrer que l'on peut se ramener à chercher la borne supérieure sur les fonctions à valeurs réelles. Soit $\mathcal{A}_\mathbb{R}$ la sous-algèbre de $\mathcal{A} = C^\infty(\mathcal{M})$ formée des fonctions à valeurs réelles. Puisque $\mathcal{A}_\mathbb{R} \subset \mathcal{A}$, il est clair que

$$\sup_{f \in \mathcal{A}_\mathbb{R}, \|\mathcal{D}f\| \leq 1} |f(x) - f(y)| \leq \sup_{f \in \mathcal{A}, \|\mathcal{D}f\| \leq 1} |f(x) - f(y)|. \quad (1.34)$$

Pour montrer l'égalité, fixons deux points x et y de \mathcal{M} et considérons une fonction quelconque f à valeurs complexes satisfaisant à $\|\mathcal{D}f\| \leq 1$. En remplaçant f par la fonction g définie par

$$g(z) = e^{-i\theta} (f(z) - f(y)) \quad (1.35)$$

où θ est un argument de $f(x) - f(y)$, il est clair que l'on a toujours

$$|f(x) - f(y)| = |g(x) - g(y)| \quad \text{ainsi que} \quad \|[\mathcal{D}, g]\| \leq 1. \quad (1.36)$$

Pour obtenir une fonction réelle, définissons

$$h = \frac{g + \bar{g}}{2}. \quad (1.37)$$

Puisque $g(x) - g(y)$ est réel, on a

$$|h(x) - h(y)| = |g(x) - g(y)|. \quad (1.38)$$

D'autre part

$$\|[\mathcal{D}, h]\| \leq \frac{1}{2}\|[\mathcal{D}, g]\| + \frac{1}{2}\|[\mathcal{D}, \bar{g}]\| \leq 1, \quad (1.39)$$

ce qui implique que

$$|f(x) - f(y)| \leq \sup_{u \in \mathcal{A}_{\mathbb{R}}, \|[\mathcal{D}, u]\| \leq 1} |u(x) - u(y)| \quad (1.40)$$

et prouve ainsi l'égalité annoncée.

Ensuite, nous allons majorer le second membre de (1.33) par la distance géodésique. Pour cela, considérons une fonction réelle f telle que $\|[\mathcal{D}, f]\| \leq 1$ et remarquons que $[\mathcal{D}, f] = i\gamma^\mu \partial_\mu f$. On en déduit que

$$\|[\mathcal{D}, f]\|^2 = \sup_{x \in \mathcal{M}} g^{\mu\nu}(x) \partial_\mu f(x) \partial_\nu f(x) \leq 1. \quad (1.41)$$

Cette relation est facile à montrer en utilisant les propriétés des matrices de Dirac et la relation $\|T\|^2 = \|TT^*\|$ valable pour tout opérateur borné T .

Soit f une fonction satisfaisant à $\|[\mathcal{D}, f]\| \leq 1$ et $c : [0, 1] \rightarrow \mathcal{M}$ une géodésique reliant x à y . On a

$$f(y) - f(x) = \int_0^1 dt \frac{dc^\mu}{dt} \partial_\mu f(c(t)). \quad (1.42)$$

Par Cauchy-Schwarz on obtient

$$\left| \frac{dc^\mu}{dt} \partial_\mu f(c(t)) \right| \leq \sqrt{g_{\mu\nu} \frac{dc^\mu}{dt} \frac{dc^\nu}{dt}} \sqrt{g^{\rho\sigma} \partial_\rho f \partial_\sigma f}, \quad (1.43)$$

ce qui prouve que

$$|f(y) - f(x)| \leq \int_0^1 dt \sqrt{g_{\mu\nu} \frac{dc^\mu}{dt} \frac{dc^\nu}{dt}} = L(x, y), \quad (1.44)$$

après avoir utilisé

$$\sup_{x \in \mathcal{M}} g^{\rho\sigma}(x) \partial_\rho f(x) \partial_\sigma f(x) \leq 1. \quad (1.45)$$

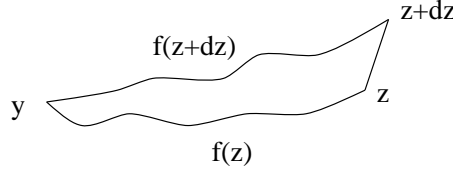
Pour montrer l'égalité, il nous suffit d'exhiber une fonction f telle que

$$|f(x) - f(y)| = L(x, y) \quad (1.46)$$

satisfaisant à $\|[\mathcal{D}, f]\| \leq 1$. Le choix le plus simple consiste à fixer y et à considérer la fonction f définie par $f(z) = L(z, y)$ pour tout $z \in \mathcal{M}$. f satisfait à (1.46) et il nous reste à montrer que $\|[\mathcal{D}, f]\| \leq 1$.

Puisque $L(z + dz, y)$ est la longueur du plus court chemin joignant $z + dz$ et y , on a, par l'inégalité triangulaire,

$$L(z + dz, y) \leq L(z, y) + L(z + dz, z), \quad (1.47)$$



Lorsque le point $z = z + dz$ s'obtient à partir de z par le flot déterminé par le champ de vecteur ∂^μ , on a, pour une transformation infinitésimale déterminée par ϵ , $dz^\mu = \epsilon \partial^\mu f$. L'inégalité (1.47) s'écrit donc

$$f(z^\mu + \epsilon \partial^\mu f) \leq f(z) + \epsilon \sqrt{g_{\mu\nu} \partial^\mu f \partial^\nu f} + O(\epsilon^2). \quad (1.48)$$

En développant le premier membre au premier ordre en ϵ , on obtient

$$g_{\mu\nu}(z) \partial^\mu f(z) \partial^\nu f(z) \leq 1. \quad (1.49)$$

Puisque cela est vrai pour tout $z \in \mathcal{M}$, on a $\|\mathcal{D}, f\| \leq 1$. \square

Cette formulation de la distance géodésique s'étend sans difficulté au cas non commutatif. En effet, les points de \mathcal{M} sont les états purs de l'algèbre des fonctions sur \mathcal{M} (cf Appendice A), et la proposition suivante généralise la distance géodésique à l'espace des états purs d'une algèbre non commutative.

Proposition 1.1.1 *Soit $(\mathcal{A}, \mathcal{H}, \mathcal{D})$ un triplet spectral. La fonction*

$$d(\phi, \psi) = \sup_{a \in \mathcal{A}, \|\mathcal{D}, \pi(a)\| \leq 1} |\phi(a) - \psi(a)| \quad (1.50)$$

définit, lorsqu'elle est finie, une distance sur l'espace des états purs de \mathcal{A} .

Nous verrons au cours du chapitre suivant des exemples de distances ainsi définies lorsque \mathcal{A} est une algèbre de dimension finie.

1.1.4 Les axiomes de la géométrie non commutative

Les 7 axiomes précédents permettent de caractériser les triplets spectraux $(\mathcal{A}, \mathcal{H}, \mathcal{D})$ qui correspondent à la géométrie spinorielle sur une variété compacte. Pour étendre ces axiomes au cas d'une algèbre non commutative, il faut les transformer de la manière suivante [C7].

La principale modification, sur laquelle est basée celle de tous les autres axiomes, est l'introduction, dans l'axiome 7 (Réalité) d'un opérateur \mathcal{J} qui est analogue à l'involution de Tomita-Takesaki (cf Appendice A).

Axiome 7' (Réalité) *Il existe une application antiunitaire \mathcal{J} de \mathcal{H} dans lui-même telle que $[\mathcal{J}\pi(a)\mathcal{J}^{-1}, \pi(b)] = 0$ pour tous $a, b \in \mathcal{A}$. De plus, \mathcal{J} satisfait aux conditions $\mathcal{J}^2 = \epsilon$, $\mathcal{J}\mathcal{D} = \epsilon'\mathcal{D}\mathcal{J}$ et $\mathcal{J}\gamma = \epsilon''\gamma\mathcal{J}$, où ϵ, ϵ' et ϵ'' sont donnés, selon la valeur de n modulo 8, par le tableau suivant.*

$n \bmod 8$	0	1	2	3	4	5	6	7
ϵ	1	1	-1	-1	-1	-1	1	1
ϵ'	1	-1	1	1	1	-1	1	1
ϵ''	1		-1		1		-1	

Puisque $\mathcal{J}\pi(a)\mathcal{J}^{-1}$ commute avec $\pi(b)$ pour tous $a, b \in \mathcal{A}$, \mathcal{J} est très similaire à l'opérateur de Tomita-Takesaki qui permet de passer de l'algèbre de von Neumann engendrée par $\pi(\mathcal{A})$ à son commutant. Cependant, le commutant de $\pi(\mathcal{A})$ est en général plus grand que $\mathcal{J}\pi(\mathcal{A})\mathcal{J}^{-1}$, ce qui implique que \mathcal{J} n'est pas égal à l'opérateur de Tomita-Takesaki en général.

En outre, l'opérateur \mathcal{J} permet de représenter sur \mathcal{H} l'algèbre $\mathcal{A} \otimes \mathcal{A}^{op}$ par

$$\tilde{\pi}(\mathcal{A} \otimes \mathcal{A}^{op}) = \pi(a)\mathcal{J}\pi(b^*)\mathcal{J}^{-1}, \quad (1.51)$$

où \mathcal{A}^{op} est une algèbre identique à \mathcal{A} en tant qu'espace vectoriel, mais dont le produit de a par b est défini par ba au lieu de ab . De façon équivalente, π et \mathcal{J} munissent \mathcal{H} d'une structure de bimodule sur \mathcal{A} , qui nous sera utile lorsque nous construirons des modèles en physique des particules.

L'axiome 1 (dimension) ne fait appel qu'au spectre de l'opérateur de Dirac et reste inchangé dans le cas non commutatif.

L'axiome 2 (condition d'ordre un) stipule que l'opérateur de Dirac est un opérateur différentiel du premier ordre. La généralisation de cette notion en géométrie non commutative requiert l'introduction de bimodules [DuM]. Cela nous mène à la définition suivante.

Définition 1.1.3 Soient \mathcal{A} et \mathcal{B} deux algèbres et \mathcal{M} un $(\mathcal{A}, \mathcal{B})$ -bimodule. Une application linéaire D de \mathcal{M} dans lui-même est un opérateur du premier ordre si elle vérifie

$$D(a\xi b) + aD(\xi)b = aD(\xi b) + D(a\xi)b, \quad (1.52)$$

pour tous $a, b \in \mathcal{A}$ et $\xi \in \mathcal{M}$.

L'axiome de réalité permet de munir \mathcal{H} d'une structure de bimodule sur \mathcal{A} , aussi la généralisation de la condition d'ordre un est donnée par l'axiome suivant.

Axiome 2' (Condition d'ordre un) L'opérateur de Dirac vérifie

$$[[\mathcal{D}, \pi(a)], \mathcal{J}\pi(b)\mathcal{J}^{-1}] = 0 \quad (1.53)$$

pour tous $a, b \in \mathcal{A}$.

L'axiome 3 (régularité) garde tous son sens lorsque \mathcal{A} est non commutative et ne subit aucune modification.

L'axiome 4 (orientabilité) ne peut pas être conservé sous la même forme en géométrie non commutative. En effet, si on se place en dimension $n = 0$, tout élément de \mathcal{A} doit être considéré comme un cycle de dimension 0. Dans ce cas, l'axiome d'orientabilité stipule que $\gamma = \pi(a)$ pour un $a \in \mathcal{A}$. Par l'axiome de réalité on a $\mathcal{J}\gamma = \gamma\mathcal{J}$, d'où $\gamma = \mathcal{J}\pi(a)\mathcal{J}^{-1}$. La condition d'ordre un nous donne $0 = [[\mathcal{D}, \pi(a)], \mathcal{J}\pi(a)\mathcal{J}^{-1}] = 4\mathcal{D}$ puisque $\gamma^2 = 1$ et $\gamma\mathcal{D} + \mathcal{D}\gamma = 0$, ce qui implique que le seul opérateur de Dirac compatible avec ces axiomes en dimension 0 est $\mathcal{D} = 0$.

La nécessaire modification de l'axiome 4 est obtenue en remplaçant l'homologie de Hochschild par l'homologie de Hochschild à valeurs dans un bimodule.

Définition 1.1.4 Soit \mathcal{A} une algèbre, \mathcal{M} bimodule sur \mathcal{A} et $C_n(\mathcal{A}, \mathcal{M})$ l'espace vectoriel défini par

$$C_n(\mathcal{A}, \mathcal{M}) = \mathcal{M} \otimes \underbrace{\mathcal{A} \otimes \cdots \otimes \mathcal{A}}_{n \text{ fois}}. \quad (1.54)$$

L'homologie de Hochschild de \mathcal{A} à valeurs dans \mathcal{M} est l'homologie du complexe

$$0 \xleftarrow{b} C_0(\mathcal{A}, \mathcal{M}) \xleftarrow{b} \cdots \xleftarrow{b} C_n(\mathcal{A}, \mathcal{M}) \xleftarrow{b} C_{n+1}(\mathcal{A}, \mathcal{M}) \xleftarrow{b} \cdots \quad (1.55)$$

où $b; \mathcal{M} \otimes \mathcal{A}^{\otimes n} \rightarrow \mathcal{M} \otimes \mathcal{A}^{\otimes(n-1)}$ est défini par

$$\begin{aligned} b(m \otimes a_1 \otimes \cdots \otimes a_n) &= ma_1 \otimes a_2 \otimes \cdots \otimes a_n + (-1)^n a_n m \otimes a_1 \otimes \cdots \otimes a_{n-1} \\ &+ \sum_{i=1}^{n-1} (-1)^i m \otimes a_1 \otimes \cdots \otimes a_i a_{i+1} \otimes \cdots \otimes a_n. \end{aligned}$$

Nous munissons $\mathcal{A} \otimes \mathcal{A}^{op}$ d'une structure de bimodule par

$$x(a \otimes b)y = xay \otimes b \quad (1.56)$$

pour $a, b, x, y \in \mathcal{A}$ ce qui nous permet d'étendre l'axiome d'orientabilité au cas non commutatif.

Axiome 4' (Orientabilité) En dimension n , γ est l'image d'un cycle de Hochschild de dimension n à valeurs dans $\mathcal{A} \otimes \mathcal{A}^{op}$.

Un élément $c = (x \otimes y) \otimes a_1 \otimes \cdots \otimes a_n \in C_n(\mathcal{A}, \mathcal{A} \otimes \mathcal{A}^{op})$ est représenté en tant qu'opérateur sur \mathcal{H} par

$$\pi(c) = \pi(x)\mathcal{J}\pi(y)\mathcal{J}^{-1}[\mathcal{D}, \pi(a_1)] \cdots [\mathcal{D}, \pi(a_n)]. \quad (1.57)$$

L'axiome 5 (finitude) ne subit aucune modification et il est facile de montrer qu'il est incompatible avec la trivialité du cycle représentant γ .

Lorsque \mathcal{A} est non commutative, la multiplication n'est plus un morphisme d'algèbre et ne peut pas induire l'application m_* de $K_*(\mathcal{A}) \times K_*(\mathcal{A})$ dans $K_*(\mathcal{A})$ dont nous avons besoin pour formuler algébriquement la dualité de Poincaré.

Partant de deux projections e_1 et e_2 définissant deux classes dans $K^0(\mathcal{A})$, nous leur associons la nouvelle projection $e_1 \otimes e_2$ qui définit un élément de $K^0(\mathcal{A} \otimes \mathcal{A}^{op})$. Cet élément est représenté par $\pi(e) = \pi(e_1)\mathcal{J}\pi(e_2)\mathcal{J}^{-1}$ et on définit

$$\cap(e_1, e_2) = \dim \ker(\pi(e)\mathcal{D}^+\pi(e)) - \dim \ker(\pi(e)\mathcal{D}^-\pi(e)). \quad (1.58)$$

Dans le cas impair, la même démarche est employée en remplaçant les projections par des unitaires.

Les axiomes précédents sont appelés axiomes de la géométrie non commutative et nous mènent à la définition suivante.

Définition 1.1.5 Une géométrie non commutative de dimension n est un triplet spectral $(\mathcal{A}, \mathcal{H}, \mathcal{D})$ satisfaisant aux axiomes précédents.

Parfois, on dit aussi que les axiomes précédents munissent le triplet spectral d'une structure réelle.

Dans tous ce qui suit, les triplets spectraux satisfèrons toujours, sauf mention explicite du contraire, les axiomes de la géométrie non commutative. Aussi, nous continuerons de les appeler triplets spectraux, ce qui sous-entendra toujours que les axiomes précédents sont vérifiés.

Il est intéressant de remarquer que même si \mathcal{A} est commutative, il peut être nécessaire de supposer que les triplets spectraux $(\mathcal{A}, \mathcal{H}, \mathcal{D})$ satisfont aux axiomes précédents et non aux hypothèse du théorème caractérisant les variété à spin (1.1.2). En effet, ces dernières sont plus restrictives que les axiomes précédents et ne peuvent pas permettre de construire des géométries intéressantes dans certains cas (cf §2.1.5).

Tout au long de cette revue des axiomes de la géométrie non commutative, nous n'avons donné aucun exemple de triplet spectral non commutatif. Cette lacune sera comblée au cours des chapitres suivants, dans lesquels nous étudierons les triplets spectraux finis, les produits de ces derniers avec les espaces ordinaires ainsi que les tores non commutatifs.

1.2 Symétries

1.2.1 Symétries et automorphismes

Pour décrire les symétries d'un "espace non commutatif" associé à une algèbre de coordonnées \mathcal{A} , il est commode d'examiner d'abord le cas commutatif. En se basant sur le théorème de Gelfand-Naïmarck (cf Appendice A), il est facile de montrer la proposition suivante.

Proposition 1.2.1 *Soit $\mathcal{A} = C^0(X)$ une C^* -algèbre commutative. Alors le groupe des automorphismes de \mathcal{A} est isomorphe au groupe des homéomorphismes de l'espace topologique compact X .*

Démonstration:

En effet, si ϕ est un homéomorphisme de X , alors on définit un automorphisme Ψ_ϕ de \mathcal{A} par $\Psi_\phi(f) = f \circ \phi^{-1}$. Il est clair que l'application $\phi \mapsto \Psi_\phi$ est un morphisme du groupe des homéomorphismes de X vers le groupe des automorphismes de \mathcal{A} .

Pour montrer que c'est un isomorphisme, nous définissons sa réciproque comme suit. Soit ψ un automorphisme de \mathcal{A} et χ un caractère de \mathcal{A} . Alors $\chi \circ \psi^{-1}$ est un autre caractère de \mathcal{A} et l'application $\Phi_\psi \chi \mapsto \chi \circ \psi^{-1}$, définit, par application du théorème de Gelfand-Naïmarck, un homéomorphisme de X .

L'application $\psi \mapsto \Phi_\psi$ est un morphisme de groupe dont l'inverse est $\phi \mapsto \Psi_\phi$, ce qui prouve l'isomorphisme entre le groupe des homéomorphismes de X et le groupe des automorphismes de \mathcal{A} . \square

Ce résultat nous amène à définir les symétries d'un "espace non commutatif" comme étant les automorphismes de son algèbre de coordonnées. Ce faisant, nous ne tenons compte que de la structure de l'algèbre des coordonnées \mathcal{A} et nous ne prenons pas en compte la structure complète du triplet spectral $(\mathcal{A}, \mathcal{H}, \mathcal{D})$. Pour remédier à cela, nous introduisons la notion d'équivalence de triplets spectraux.

Définition 1.2.1 *Deux triplets spectraux $(\mathcal{A}, \mathcal{H}, \mathcal{D})$ et $(\mathcal{A}', \mathcal{H}', \mathcal{D}')$ sont équivalents s'il existe une application unitaire $U : \mathcal{H} \rightarrow \mathcal{H}'$ et un isomorphisme d'algèbre $\phi : \mathcal{A} \rightarrow \mathcal{A}'$ tel que*

$$\begin{aligned}\pi' \circ \phi &= U\pi U^{-1}, \\ \mathcal{D}' &= U\mathcal{D}U^{-1}, \\ \mathcal{J}' &= U\mathcal{J}U^{-1},\end{aligned}$$

ainsi que

$$\gamma' = U\gamma U^{-1} \tag{1.59}$$

dans le cas pair.

Une symétrie d'un triplet spectral correspond alors à un automorphisme ϕ de l'algèbre \mathcal{A} et un opérateur unitaire U sur \mathcal{H} tels que les relations précédentes soient vérifiées avec $\mathcal{A} = \mathcal{A}'$, $\mathcal{H} = \mathcal{H}'$ et $\pi = \pi'$. On s'autorise cependant à modifier les opérateurs γ , \mathcal{J} et \mathcal{D} .

Par exemple dans le cas commutatif, si ϕ est un difféomorphisme de la variété \mathcal{M} , alors il induit un automorphisme de l'algèbre $C^\infty(\mathcal{M})$ donné par $f \mapsto f \circ \phi^{-1}$. L'opérateur unitaire U_ϕ agit sur un spineur $\Psi \in \mathcal{H}$ par

$$U_\phi(\Psi)(x) = \Psi(\phi^{-1}(x)). \quad (1.60)$$

1.2.2 Automorphismes intérieurs et fluctuations de la métrique

Dés lors que l'algèbre des coordonnées est non commutative, il est très facile de construire une classe d'automorphismes appelés automorphismes intérieurs. En effet, pour tout unitaire $u \in \mathcal{A}$, on définit un automorphisme intérieur par

$$x \in \mathcal{A} \mapsto uxu^* \in \mathcal{A}. \quad (1.61)$$

Cet automorphisme donne naissance à une symétrie implémentée par l'opérateur unitaire $U = \pi(u)\mathcal{J}\pi(u)\mathcal{J}^{-1}$, puisque l'on a

$$U\pi(x)U^{-1} = \pi(u)\pi(x)\pi(u^{-1}) = \pi(uxu^{-1}) \quad (1.62)$$

pour tout $x \in \mathcal{A}$. Notons que nous avons utilisé de façon essentielle l'axiome de réalité pour faire commuter $\pi(x)$ et $\pi(u)$ avec $\mathcal{J}\pi(u^{-1})\mathcal{J}^{-1}$.

Sous cette transformation, γ et \mathcal{J} restent inchangés et l'opérateur de Dirac se transforme en

$$\begin{aligned} & (\pi(u)\mathcal{J}\pi(u)\mathcal{J}^{-1})\mathcal{D}(\pi(u)\mathcal{J}\pi(u)\mathcal{J}^{-1})^{-1} = \\ & (\mathcal{J}\pi(u)\mathcal{J}^{-1})\mathcal{D}(\mathcal{J}\pi(u)\mathcal{J}^{-1})^{-1} + (\mathcal{J}\pi(u)\mathcal{J}^{-1})[\mathcal{D}, \pi(u)](\mathcal{J}\pi(u)\mathcal{J}^{-1})^{-1} \\ & = \mathcal{D} + \pi(u)[\mathcal{D}, \pi(u^{-1})] + \mathcal{J}\pi(u)[\mathcal{D}, \pi(u^{-1})]\mathcal{J}^{-1}. \end{aligned}$$

Remarquons que pour montrer ces deux relations, il faut utiliser l'axiome de réalité et la condition d'ordre un.

Conformément aux habitudes de la théorie des champs, cette transformation est compensée par l'introduction de champs de jauge à partir desquels on forme un opérateur de Dirac covariant. Dans le cas le plus simple auquel nous nous limitons ici, un champ de jauge n'est autre qu'une 1-forme hermitienne.

Définition 1.2.2 *L'espace $\Omega_{\mathcal{D}}^1(\mathcal{A})$ des 1-formes est formé des opérateurs sur \mathcal{H} qui s'écrivent sous la forme*

$$\sum_i \pi(a_i) [\mathcal{D}, \pi(b_i)], \quad (1.63)$$

avec $a_i, b_i \in \mathcal{A}$.

Par conséquent, un champ de jauge est un opérateur sur \mathcal{H} qui peut s'écrire sous la forme (1.63) et qui satisfait à $A = A^*$.

Proposition 1.2.2 *Si $(\mathcal{A}, \mathcal{H}, \mathcal{D})$ est un triplet spectral, alors $(\mathcal{A}, \mathcal{H}, \mathcal{D}_A)$ est un triplet spectral de même dimension avec*

$$\mathcal{D}_A = \mathcal{D} + A + \mathcal{J}A\mathcal{J}^{-1}, \quad (1.64)$$

où A est un champ de jauge.

L'opérateur \mathcal{D}_A est appelé opérateur de Dirac covariant.

Par définition, les transformations de jauge sont les transformations déterminées par l'opérateur unitaire $\pi(u)\mathcal{J}\pi(u)\mathcal{J}^{-1}$. Sous une telle transformation, l'opérateur \mathcal{D}_A devient

$$\mathcal{D} + \pi(u)A\pi(u^{-1}) + \pi(u) [\mathcal{D}, \pi(u^{-1})] + \mathcal{J} \left(\pi(u)A\pi(u^{-1}) + \pi(u) [\mathcal{D}, \pi(u^{-1})] \right) \mathcal{J}^{-1} = \mathcal{D}_{A'} \quad (1.65)$$

avec

$$A' = \pi(u)A\pi(u^{-1}) + \pi(u) [\mathcal{D}, \pi(u^{-1})]. \quad (1.66)$$

Par conséquent, la loi de transformation de A est

$$A \mapsto \pi(u)A\pi(u^{-1}) + \pi(u) [\mathcal{D}, \pi(u^{-1})], \quad (1.67)$$

ce qui est tout à fait similaire à la loi de transformation habituelle

$$A \mapsto uAu^{-1} + udu^{-1}, \quad (1.68)$$

si nous identifions la différentielle de u avec le commutateur $[\mathcal{D}, \pi(u)]$.

Puisque tout triplet spectral permet de définir une distance sur l'espace des états purs de \mathcal{A} , remplacer \mathcal{D} par \mathcal{D}_A induit une modification de la métrique appelée "fluctuation interne de la métrique" [C7].

Il est intéressant de remarquer que les fluctuations de la métrique sont covariantes sous les transformations de jauge. En effet, si ϕ est un état pur de \mathcal{A} , alors ϕ_u défini par

$$\phi_u(x) = \phi(uxu^{-1}) \quad (1.69)$$

pour tout $x \in \mathcal{A}$ est aussi un état pur sur \mathcal{A} , appelé transformé de jauge de ϕ .

Pour tout champ de jauge A , notons $d_A(\phi, \psi)$ la distance définie sur l'espace des états purs de \mathcal{A} par

$$d_A(\phi, \psi) = \sup_{x \in \mathcal{A}, \|\mathcal{D}_A, \pi(x)\| \leq 1} |\phi(x) - \psi(x)|. \quad (1.70)$$

Proposition 1.2.3 *Sous une transformation de jauge, la distance est covariante*

$$d_{\pi(u)A\pi(u^{-1}) + \pi(u)[\mathcal{D}, \pi(u^{-1})]}(\phi, \psi) = d_A(\phi_u, \psi_u) \quad (1.71)$$

Démonstration:

Pour montrer cela, posons $y = uxu^{-1}$ dans la définition de $d_A(\phi_u, \psi_u)$, on obtient

$$d_A(\phi_u, \psi_u) = \sup_{y \in \mathcal{A}, \|\mathcal{D}_A, \pi(u^{-1}yu)\| \leq 1} |\phi(y) - \psi(y)|. \quad (1.72)$$

Ensuite, on utilise la relation

$$\begin{aligned} [\mathcal{D}_A, \pi(u^{-1}yu)] &= \pi(u^{-1}) [\pi(u)\mathcal{D}_A\pi(u^{-1}), \pi(y)] \pi(u), \\ &= \pi(u^{-1}) [\mathcal{D}_{\pi(u)A\pi(u^{-1}) + \pi(u)[\mathcal{D}, \pi(u^{-1})]}, \pi(y)] \pi(u) \end{aligned}$$

qui mènent directement au résultat annoncé. \square

Tout comme dans le cas commutatif, ces lois de transformation nous garantissent l'invariance de l'action fermionique. En effet, les éléments de \mathcal{H} jouent le rôle des spineurs en géométrie non commutative, et l'action fermionique est

$$S_{fermionique}[\Psi] = \langle \Psi, \mathcal{D}_A \Psi \rangle. \quad (1.73)$$

Sous une transformation de jauge, on a

$$\Psi \mapsto \pi(u)\mathcal{J}\pi(u)\mathcal{J}^{-1}\Psi, \quad (1.74)$$

ce qui prouve, compte tenu de la loi de transformation de l'opérateur de Dirac covariant, que $S_{fermionique}[\Psi]$ est invariant de jauge.

Si la définition de l'action fermionique par la relation (1.73) est une généralisation immédiate de l'action de Dirac en théorie des champs usuelle, la définition de l'action bosonique est nettement moins évidente.

Tout d'abord, définissons les champs bosoniques comme étant l'ensemble des champs servant à paramétrer l'opérateur de Dirac covariant \mathcal{D}_A . Bien entendu, cela inclut le champ de jauge A mais peut aussi contenir d'autres champs qui ne sont pas de même nature, comme par exemple la tétrade e_α^μ ou la connexion de Levi-Civita ω_μ qui entrent dans la définition de l'opérateur de Dirac dans le cas commutatif.

Si on exclut ce type de champs, une action de type "Yang-Mills" peut être construite pour le champ de jauge A . Cette action possède beaucoup de propriétés réminiscentes de son analogue commutatif comme par exemple la positivité ou l'invariance de jauge (cf § 1.3.3).

Motivés par l'unification de la gravitation et des théories de Yang-Mills, A. Chamseddine et A. Connes ont proposé de baser l'action bosonique sur le principe suivant [CC] :

Principe d'action spectrale *L'action bosonique ne dépend que du spectre de l'opérateur de Dirac covariant*

$$\mathcal{D}_A = \mathcal{D} + A + \mathcal{J}A + \mathcal{J}^{-1}, \quad (1.75)$$

où A est un champ de jauge.

A partir de ce principe, l'action du modèle standard couplé à la gravitation de Weyl peut être construite. Nous étudierons ce type de construction au cours du chapitre 3.

Terminons par l'étude de l'exemple le plus simple de géométrie non commutative qui puisse être associé à une variété spinorielle de dimension n .

Exemple 1.2.1

Soit \mathcal{M} une variété compacte munie d'une structure spinorielle et notons \mathcal{S} l'espace de Hilbert des spineurs de carré intégrable sur \mathcal{M} . Considérons le triplet spectral $(\mathcal{A}, \mathcal{H}, \mathcal{D})$ défini par

$$\begin{aligned} \mathcal{A} &= C^\infty(\mathcal{M}) \otimes M_N(\mathbb{C}), \\ \mathcal{H} &= \mathcal{S} \otimes M_N(\mathbb{C}), \\ \mathcal{D} &= i\gamma^\mu (\partial_\mu + \omega_\mu) \otimes I, \end{aligned}$$

où $M_N(\mathbb{C})$ désigne l'algèbre des matrices $N \times N$ à coefficients complexes, $i\gamma^\mu (\partial_\mu + \omega_\mu)$ est l'opérateur de Dirac associé à la géométrie spinorielle de \mathcal{M} et I est l'identité agissant sur l'espace vectoriel des matrices $N \times N$.

\mathcal{A} agit sur \mathcal{H} par multiplication matricielle en chaque point et l'opérateur \mathcal{J} est égal à $C \otimes *$, où C est la conjugaison de charge des spineurs et $*$ l'involution usuelle des matrices. De plus, lorsque la dimension n de \mathcal{M} est paire, γ est défini par $\gamma = \gamma^{n+1} \otimes I$.

Le groupe des unitaires de l'algèbre est le groupe des applications de \mathcal{M} dans le groupe $U(N)$ des unitaires de $M_N(\mathbb{C})$. Lorsque ce groupe est représenté sur \mathcal{H} par (1.74), il se trouve que son centre ne joue aucun rôle. Par conséquent, le groupe de jauge de cette théorie est le

groupe des applications de \mathcal{M} dans le groupe $SU(N)/Z_N$, où $SU(N)$ est le sous-groupe des éléments de $U(N)$ de déterminant 1 et Z_N est le centre de $SU(N)$.

Dans ce cas les fermions se transforment dans la représentation adjointe car on a

$$\pi(u)\mathcal{J}\pi(u)\mathcal{J}^{-1}\Psi = u\Psi u^{-1}, \quad (1.76)$$

pour tout $\Psi \in \mathcal{H}$. L'opérateur de Dirac covariant est donné par

$$\mathcal{D}_A = i\gamma^\mu \left(\partial_\mu + \omega_\mu + A_\mu^a T^a \right), \quad (1.77)$$

où $A_\mu^a \in \mathbb{R}$ et où $(T^a)_{1 \leq a \leq n^2-1}$ désignent les générateurs de l'algèbre de Lie de $SU(N)$ dans la représentation adjointe.

L'espace des états purs de \mathcal{A} est le produit $\mathcal{M} \otimes \mathbb{C}\mathbb{P}^{N-1}$, où $\mathbb{C}\mathbb{P}^{N-1}$ est l'espace des droites de \mathbb{C}^N . Un couple $\phi = (x, \tilde{\xi})$ formé d'un point x de \mathcal{M} et d'un élément $\tilde{\xi}$ de $\mathbb{C}\mathbb{P}^{N-1}$ représenté par le vecteur unitaire ξ de \mathbb{C}^N agit sur $f \in \mathcal{A}$ par

$$\phi(f) = \text{Tr}(\xi^* f(x) \xi). \quad (1.78)$$

La distance entre deux états purs $(x_1, \tilde{\xi}_1)$ et $(x_2, \tilde{\xi}_2)$ est la longueur du plus court chemin joignant x_1 et x_2 tel que, relevé à $\mathbb{P}\mathbb{C}^N$ à l'aide de la connexion $A_\mu = A_\mu^a T^a$, il permette de transformer $\tilde{\xi}_1$ en $\tilde{\xi}_2$.

Nous renvoyons à [C7] pour une discussion plus complète de cet exemple. ■

1.2.3 Connexions et théories de jauge

Nous allons maintenant étudier plus en profondeur la notion de champ de jauge en géométrie non commutative. En particulier, nous allons généraliser la théorie précédente aux modules projectifs finis qui sont les analogues non commutatifs des fibrés vectoriels (cf Appendice A).

Définition 1.2.3 Soit $(\mathcal{A}, \mathcal{H}, \mathcal{D})$ un triplet spectral et \mathcal{E} un module projectif fini à droite sur \mathcal{A} . Une connexion est une application linéaire ∇ de \mathcal{E} dans $\mathcal{E} \otimes_{\mathcal{A}} \Omega_{\mathcal{D}}^1(\mathcal{A})$ telle que

$$\nabla(\xi a) = \nabla(\xi)a + \xi \otimes da \quad (1.79)$$

pour tous $\xi \in \mathcal{E}$ et $a \in \mathcal{A}$.

Cette notion de connexion est l'analogue de la dérivé covariante et \mathcal{E} est, lorsque l'algèbre est commutative, l'espace des sections d'un fibré vectoriel complexe.

La proposition suivante détermine la structure de l'espace des connexions.

Proposition 1.2.4 Si ∇_0 une connexion sur \mathcal{E} , alors n'importe quelle connexion sur \mathcal{E} s'écrit

$$\nabla = \nabla_0 + A, \quad (1.80)$$

où $A : \mathcal{E} \rightarrow \mathcal{E} \otimes_{\mathcal{A}} \Omega_{\mathcal{D}}^1(\mathcal{A})$ est un morphisme de modules sur \mathcal{A} .

En d'autres termes, cela signifie que l'espace des connexions est un espace affine sur l'espace vectoriel des morphismes de \mathcal{E} dans $\mathcal{E} \otimes_{\mathcal{A}} \Omega_{\mathcal{D}}^1(\mathcal{A})$.

Il convient de remarquer que nous n'avons pas défini les fibrés principaux car cette notion n'est pas disponible dans le formalisme que nous étudions. En effet, dans le cadre précédent toutes les symétries sont décrites par des groupes de Lie alors que la version non commutative

des fibrés principaux fait appel à des symétries plus générales décrites par des algèbres de Hopf [P].

En règle générale, les groupes de jauge utiles en physique sont des groupes de Lie compacts. Pour introduire la notion de compacité nous sommes amenés à définir la notion de structure hermitienne sur un module projectif.

Définition 1.2.4 *Soit \mathcal{E} un module projectif fini à droite sur une algèbre involutive \mathcal{A} . Une structure hermitienne sur \mathcal{E} est une application sesquilinéaire de $\mathcal{E} \times \mathcal{E}$ dans \mathcal{A} telle que*

1. $\langle \xi a, \zeta b \rangle = a^* \langle \xi, \zeta \rangle b$ pour tous $\xi, \zeta \in \mathcal{E}$ et $a, b \in \mathcal{A}$.
2. $\langle \xi, \xi \rangle \geq 0$ pour tout $\xi \in \mathcal{E}$,
3. \mathcal{E} est self-dual.

La définition précédente fait appel à la notion de positivité, définie comme suit pour toute algèbre involutive.

Définition 1.2.5 *Un élément x d'une algèbre involutive \mathcal{A} est positif s'il existe $y \in \mathcal{A}$ tel que $x = yy^*$.*

De même, la notion de self-dualité est définie comme suit.

Définition 1.2.6 *Un module projectif fini à droite \mathcal{E} sur une algèbre involutive \mathcal{A} , muni d'une application sesquilinéaire \langle, \rangle de $\mathcal{E} \times \mathcal{E}$ dans \mathcal{A} est self-dual si pour toute application \mathcal{A} -linéaire ϕ de \mathcal{E} dans \mathcal{A} il existe $\xi_\phi \in \mathcal{E}$ tel que $\phi(\zeta) = \langle \xi_\phi, \zeta \rangle$ pour tout $\zeta \in \mathcal{E}$.*

Les modules projectifs finis munis d'une telle structure nous permettent de définir les connexions hermitiennes.

Définition 1.2.7 *Soit $(\mathcal{A}, \mathcal{H}, \mathcal{D})$ un triplet spectral et ∇ un connexion sur un module projectif fini à droite sur \mathcal{A} , muni d'une structure hermitienne. $\nabla : \mathcal{E} \rightarrow \mathcal{E} \otimes \Omega_{\mathcal{D}}^1(\mathcal{A})$ est une connexion hermitienne si elle vérifie*

$$\langle \xi, \nabla \zeta \rangle - \langle \nabla \xi, \zeta \rangle = d \langle \xi, \zeta \rangle \quad (1.81)$$

pour tous $\xi, \zeta \in \mathcal{E}$.

La relation (1.81) nécessite quelques explications. En effet, si $x \in \mathcal{E}$, alors ∇x est un élément du produit tensoriel $\mathcal{E} \otimes_{\mathcal{A}} \Omega_{\mathcal{D}}^1(\mathcal{A})$ et peut se mettre sous la forme

$$\nabla \xi = \sum_i \xi_i \otimes \omega_i \quad (1.82)$$

avec $\xi_i \in \mathcal{E}$ et $\omega_i \in \Omega_{\mathcal{D}}^1(\mathcal{A})$. On définit alors $\langle \nabla \xi, \zeta \rangle$ par

$$\langle \nabla \xi, \zeta \rangle = \sum_i \omega_i^* \langle \xi_i, \zeta \rangle. \quad (1.83)$$

De la même manière, on écrit $\nabla \zeta$ sous la forme

$$\nabla \zeta = \sum_i \zeta_i \otimes \eta_i \quad (1.84)$$

avec $\zeta_i \in \mathcal{E}$ et $\eta_i \in \Omega_{\mathcal{D}}^1(\mathcal{A})$ ce qui permet de définir $\langle \xi, \nabla \zeta \rangle$ par

$$\langle \xi, \nabla \zeta \rangle = \sum_i \langle \xi, \zeta_i \rangle \eta_i. \quad (1.85)$$

Le signe $-$ apparaissant dans (1.81) est du à la relation $d(x^*) = -(dx)^*$, car nous avons défini dx par $dx = [\mathcal{D}, x]$ pour tout $x \in \mathcal{A}$.

Ces connexions sont compatibles avec la structure hermitienne qui définit l'analogue d'une métrique sur \mathcal{E} , aussi sont-elles parfois appelées "connexions compatibles avec la métrique".

Tout module projectif fini sur \mathcal{A} est de la forme $\mathcal{E} = e\mathcal{A}^N$ avec $e \in M_N(\mathcal{A})$ satisfaisant à $e^2 = e$ (cf Appendice B). Si de plus e est hermitien, alors la structure hermitienne naturelle de \mathcal{A}^N donnée par

$$\langle \xi, \zeta \rangle = \sum_{i=1}^N \xi_i^* \zeta_i \quad (1.86)$$

induit sur \mathcal{E} une structure hermitienne et toute structure hermitienne sur \mathcal{E} est de cette forme.

Pour déterminer les morphismes de module de \mathcal{E} dans $\Omega_{\mathcal{D}}^1(\mathcal{A})$, nous commençons par remarquer que $\mathcal{E} \otimes_{\mathcal{A}} \Omega_{\mathcal{D}}^1(\mathcal{A})$ et $e(\Omega_{\mathcal{D}}^1(\mathcal{A}))^N$ sont canoniquement isomorphe puisque $\mathcal{E} = e\mathcal{A}^N$. Il s'en suit que les morphismes recherchés sont donnés par les éléments de $M_N(\mathcal{A}) \otimes_{\mathcal{A}} \Omega_{\mathcal{D}}^1(\mathcal{A}) = M_N(\Omega_{\mathcal{D}}^1(\mathcal{A}))$ agissant sur les éléments de $e\mathcal{A}^N$ par multiplication à droite suivi par la projection e .

Nous pouvons toujours construire une connexion hermitienne ∇_0 sur \mathcal{E} de la manière suivante. Pour tout $e\xi \in \mathcal{E}$, nous définissons $\nabla_0(e\xi)$ par $ed\xi$, où le vecteur $d\xi \in \Omega_{\mathcal{D}}^1(\mathcal{A})^N = \mathcal{A}^N \otimes_{\mathcal{A}} \Omega_{\mathcal{D}}^1(\mathcal{A})$ est obtenu en différenciant ξ composantes par composantes. Cette connexion est appelée connexion grassmannienne.

Il est facile de vérifier que ∇_0 est compatible avec la métrique de $e\mathcal{A}^N$ induite par la métrique canonique de \mathcal{A}^N . En effet, si ξ et ζ sont des éléments de \mathcal{A}^N , on a

$$\begin{aligned} \langle e\zeta, \nabla_0(e\xi) \rangle - \langle \nabla_0(e\zeta), e\xi \rangle &= (e\zeta)^* ed(e\xi) - (d(e\zeta))^* e\xi \\ &= \zeta^* ede\xi + \zeta^* ed\xi + \zeta^* dee\xi + d\zeta e\xi \\ &= d(\zeta^* e\xi) \\ &= d\langle e\zeta, e\xi \rangle. \end{aligned}$$

Il s'en suit que toute connexion sur \mathcal{E} est donnée par

$$\nabla(e\xi) = ed\xi + eAe\xi \quad \forall \xi \in \mathcal{A}^N, \quad (1.87)$$

où $A \in M_N(\Omega_{\mathcal{D}}^1(\mathcal{A}))$. Par analogie avec le cas classique, A peut être vu comme un champ de jauge qui est une 1-forme à valeurs matricielles.

La connexion précédente est compatible avec la métrique si et seulement si

$$\langle e\zeta, eAe\xi \rangle - \langle eAe\zeta, e\xi \rangle = 0 \quad \forall \zeta, \xi \in \mathcal{A}^N, \quad (1.88)$$

ce qui est vérifié si et seulement si la matrice de 1-formes eAe est hermitienne.

La proposition suivante résume la discussion précédente.

Proposition 1.2.5 *Tout module projectif fini muni d'une structure hermitienne est isomorphe à un module du type $e\mathcal{A}^N$ où $e \in M_N(\mathcal{A})$ est une projection hermitienne et dont la structure hermitienne est induite par la structure hermitienne canonique de \mathcal{A}^N . Sur ce module, toutes les connexions hermitiennes sont données par*

$$\nabla(e\xi) = ed\xi + eAe\xi \quad \forall \xi \in \mathcal{A}^N, \quad (1.89)$$

où $A \in M_N(\Omega_{\mathcal{D}}^1(\mathcal{A}))$ est une matrice de 1-formes hermitiennes.

Terminons en introduisant les transformations de jauge. Celles-ci sont obtenues en faisant agir le groupe des endomorphismes bijectifs de \mathcal{E} qui conservent la structure hermitienne, appelés endomorphismes unitaires, sur l'espace des connexions.

Proposition 1.2.6 *Si ∇ est une connexion hermitienne sur \mathcal{E} et u un élément du groupe des endomorphismes unitaires $\mathcal{U}(\mathcal{E})$, alors $(u \otimes 1)\nabla u^*$ est également une connexion hermitienne.*

Pour simplifier nos notations, nous écrirons $u\nabla u^{-1}$ à la place de $(u \otimes 1)\nabla u^{-1}$.

Cela définit l'action du groupe des endomorphismes unitaires de \mathcal{E} sur l'espace des connexions.

Définition 1.2.8 *L'action par conjugaison du groupe $\mathcal{U}(\mathcal{E})$ sur les connexions hermitiennes est appelé une transformation de jauge.*

Lorsque le module hermitien est $\mathcal{E} = e\mathcal{A}^N$, une matrice $u \in M_N(\mathcal{A})$ définit un endomorphisme unitaire eue de \mathcal{E} si et seulement si

$$eueu^*e = eu^*eue = e. \quad (1.90)$$

1.2.4 Application à la construction de triplets spectraux

A partir d'un triplet spectral $(\mathcal{A}, \mathcal{H}, \mathcal{D})$ et d'un module projectif fini sur \mathcal{A} muni d'une connexion hermitienne il est possible de construire un nouveau triplet spectral [C7].

Proposition 1.2.7 *Soit $(\mathcal{A}, \mathcal{H}, \mathcal{D})$ un triplet spectral de dimension n et ∇ une connexion hermitienne sur un module projectif fini \mathcal{E} à droite sur \mathcal{A} . Soit $(\tilde{\mathcal{A}}, \tilde{\mathcal{H}}, \tilde{\mathcal{D}})$ défini par*

$$\begin{aligned} \tilde{\mathcal{A}} &= \text{End}_{\mathcal{A}}(\mathcal{E}), \\ \tilde{\mathcal{H}} &= \mathcal{E} \otimes_{\mathcal{A}} \mathcal{H} \otimes_{\mathcal{A}} \bar{\mathcal{E}}, \\ \tilde{\mathcal{D}}(\xi \otimes_{\mathcal{A}} \psi \otimes_{\mathcal{A}} \bar{\zeta}) &= \nabla(\xi)\psi \otimes_{\mathcal{A}} \bar{\zeta} + \xi \otimes_{\mathcal{A}} \mathcal{D}(\psi) \otimes_{\mathcal{A}} \bar{\zeta} + \xi \otimes_{\mathcal{A}} \overline{\psi(\nabla(\zeta))}, \end{aligned}$$

pour tous $\xi, \zeta \in \mathcal{E}$ et $\psi \in \mathcal{H}$, et où $\text{End}_{\mathcal{A}}(\mathcal{E})$ désigne l'algèbre des endomorphismes de \mathcal{E} . Alors $(\tilde{\mathcal{A}}, \tilde{\mathcal{H}}, \tilde{\mathcal{D}})$ est également un triplet spectral de dimension n .

Notons que les opérateurs $\tilde{\mathcal{J}}$ et $\tilde{\chi}$ associés au triplet spectral $(\tilde{\mathcal{A}}, \tilde{\mathcal{H}}, \tilde{\mathcal{D}})$ sont donnés par

$$\begin{aligned} \tilde{\mathcal{J}}(\xi \otimes_{\mathcal{A}} \psi \otimes_{\mathcal{A}} \bar{\zeta}) &= \zeta \otimes_{\mathcal{A}} \mathcal{J}\psi \otimes_{\mathcal{A}} \bar{\xi} \\ \tilde{\chi}(\xi \otimes_{\mathcal{A}} \psi \otimes_{\mathcal{A}} \bar{\zeta}) &= \xi \otimes_{\mathcal{A}} \chi\psi \otimes_{\mathcal{A}} \bar{\zeta}, \end{aligned}$$

pour tous $\xi, \zeta \in \mathcal{E}$ et $\psi \in \mathcal{H}$.

Ce résultat nécessite quelques explications supplémentaires. Tout d'abord, indiquons que $\bar{\mathcal{E}} = \{\xi^*e \mid \xi \in \mathcal{A}^N\}$ est un module à gauche sur \mathcal{A} si $\mathcal{E} = e\mathcal{A}^N$. L'action à gauche de $a \in \mathcal{A}$ sur $\xi^*e \in \bar{\mathcal{E}}$ est donnée par $a\xi^*e = (e\xi a^*)^*$.

Pour donner un sens à l'expression $\nabla(\xi)\Psi$ apparaissant dans la définition de l'opérateur de Dirac $\tilde{\mathcal{D}}$, nous écrivons d'abord $\nabla(\xi)$ sous la forme $\nabla(\xi) = \sum_i \xi_i \otimes \omega_i$ avec $\xi_i \in \mathcal{E}$ et $\omega_i \in \Omega_{\mathcal{D}}^1(\mathcal{A})$, puis nous utilisons la représentation de $\Omega_{\mathcal{D}}^1(\mathcal{A})$ comme opérateurs sur \mathcal{H} pour écrire

$$\nabla(\xi)\Psi = \sum_i \xi_i \otimes \omega_i \Psi. \quad (1.91)$$

De même, on définit

$$\Psi \overline{\nabla(\zeta)} = \mathcal{J}\eta_i \mathcal{J}^{-1}\psi \otimes \zeta_i, \quad (1.92)$$

où on a utilisé $\nabla(\zeta) = \sum_i \zeta_i \otimes \eta_i$ avec $\zeta_i \in \mathcal{E}$ et $\eta_i \in \Omega_{\mathcal{D}}^1(\mathcal{A})$.

A partir de cette définition, nous pouvons construire l'action fermionique pour une module projectif général. En effet, nous considérons $\tilde{\Psi} \in \tilde{\mathcal{H}}$, et nous définissons l'action fermionique par

$$S_{fermionique}[\tilde{\Psi}] = \langle \tilde{\Psi}, \tilde{\mathcal{D}}\tilde{\Psi} \rangle. \quad (1.93)$$

Cette construction permet également de retrouver les fluctuations internes de la métrique comme nous allons le voir sur l'exemple suivant.

Exemple 1.2.2

Soit $(\mathcal{A}, \mathcal{H}, \mathcal{D})$ un triplet spectral et $\mathcal{E} = \mathcal{A}$ le module hermitien trivial sur \mathcal{A} . Les connexions hermitiennes sur \mathcal{E} sont données par $\nabla\xi = d\xi + A\xi$ pour tout $\xi \in \mathcal{A}$ et où A est une 1-forme hermitienne.

Il est facile de voir que la construction précédente nous donne un nouveau triplet spectral $(\tilde{\mathcal{A}}, \tilde{\mathcal{H}}, \tilde{\mathcal{D}})$ avec $\tilde{\mathcal{A}} = \mathcal{A}$ et $\tilde{\mathcal{H}} = \mathcal{H}$.

Pour tous $\xi, \zeta \in \mathcal{E}$ et $\Psi \in \mathcal{H}$ nous avons

$$\begin{aligned} \nabla(\xi)\Psi &= [\mathcal{D}, \xi]\psi + A\xi\Psi, \\ \Psi\overline{\nabla(\zeta)} &= \mathcal{J}[\mathcal{D}, \zeta]\mathcal{J}^{-1}\Psi + \mathcal{J}A\xi\mathcal{J}^{-1}\Psi. \end{aligned} \quad (1.94)$$

On en déduit que

$$\begin{aligned} \tilde{\mathcal{D}}(\xi\mathcal{J}\zeta\mathcal{J}^{-1}\Psi) &= [\mathcal{D}, \xi]\mathcal{J}\zeta\mathcal{J}^{-1}\Psi + A\xi\mathcal{J}\zeta\mathcal{J}^{-1}\Psi \\ &+ \xi\mathcal{J}\zeta\mathcal{J}^{-1}\mathcal{D}\Psi + \xi\mathcal{J}[\mathcal{D}, \zeta]\mathcal{J}^{-1}\Psi + \xi\mathcal{J}A\zeta\mathcal{J}^{-1}\Psi. \end{aligned} \quad (1.95)$$

En développant tous les commutateurs apparaissant au second membre de (1.95) et en utilisant les relations de commutation de l'axiome de réalité, on montre que

$$\tilde{\mathcal{D}}\xi\mathcal{J}\zeta\mathcal{J}^{-1}\Psi = (\mathcal{D} + A + \mathcal{J}A\mathcal{J}^{-1})\xi\mathcal{J}\zeta\mathcal{J}^{-1}\Psi \quad (1.96)$$

ce qui prouve que $\tilde{\mathcal{D}} = \mathcal{D} + A + \mathcal{J}A\mathcal{J}^{-1}$ puisque $\xi\mathcal{J}\zeta\mathcal{J}^{-1}\Psi$ est un élément générique de $\tilde{\mathcal{H}} = \mathcal{H}$. ■

Ainsi on retrouve l'opérateur de Dirac correspondant aux fluctuations internes de la métrique comme un cas particulier de la construction précédente. Celle-ci généralise les fluctuations internes aux théories de jauge définies sur un module projectif non trivial.

1.3 Théorie de Yang-Mills

1.3.1 L'algèbre différentielle

Au cours des sections précédentes, nous avons défini l'espace des formes de degré 0 associées à un triplet spectral $(\mathcal{A}, \mathcal{H}, \mathcal{D})$ par $\Omega_{\mathcal{D}}^0(\mathcal{A}) = \pi(\mathcal{A})$ ainsi que l'espace des 1-formes

$$\Omega_{\mathcal{D}}^1(\mathcal{A}) = \left\{ \sum_i \pi(a_i) [\mathcal{D}, \pi(b_i)] \mid a_i, b_i \in \mathcal{A} \right\}, \quad (1.97)$$

la différentielle $d: \Omega_{\mathcal{D}}^0(\mathcal{A}) \rightarrow \Omega_{\mathcal{D}}^1(\mathcal{A})$ étant définie par $d\pi(x) = [\mathcal{D}, \pi(x)]$ pour tout $x \in \mathcal{A}$.

Pour définir les formes différentielles de degré supérieur de manière analogue, il est utile d'introduire l'algèbre différentielle universelle sur \mathcal{A} .

Définition 1.3.1 Soit \mathcal{A} une algèbre. On appelle algèbre différentielle universelle sur \mathcal{A} l'algèbre graduée $\Omega(\mathcal{A}) = \bigoplus_{k \in \mathbb{N}} \Omega^k(\mathcal{A})$, où $\Omega^k(\mathcal{A})$ est l'espace vectoriel engendré par les symboles $a_0 \delta a_1 \dots \delta a_k$ pour tous $a_0, a_1, \dots, a_k \in \mathcal{A}$ et les relations $\delta(ab) = \delta a b + a \delta b$ pour tous $a, b \in \mathcal{A}$ ainsi que $\delta(1) = 0$. La différentielle $d : \Omega^k(\mathcal{A}) \rightarrow \Omega^{k+1}(\mathcal{A})$ est une application linéaire définie par

$$d(a_0 \delta a_1 \dots \delta a_k) = \delta a_0 \delta a_1 \dots \delta a_k \quad (1.98)$$

pour tous $a_0, a_1, \dots, a_k \in \mathcal{A}$.

Cette différentielle vérifie les principales propriétés de la différentielle usuelle :

Proposition 1.3.1 La différentielle d est nilpotente et satisfait à la règle de Leibniz graduée $d(\omega \xi) = d\omega \xi + (-1)^p \omega d\xi$ pour tous $\omega \in \Omega^p$ et $\xi \in \Omega^q$.

Cependant, cette construction est purement algébrique et ne nous permet pas en tant que telle de retrouver les formes différentielles usuelles. En particulier, lorsque \mathcal{A} est une algèbre de fonctions sur une variété, les formes différentielles ne satisfont aucune propriété d'antisymétrisation, ce qui implique qu'il existe, en dimension n , des formes différentielles de degré $n + 1$.

Pour tenir compte de l'information géométrique contenue dans tout le triplet spectral $(\mathcal{A}, \mathcal{H}, \mathcal{D})$, nous représentons ces formes différentielles à l'aide de commutateurs avec l'opérateur de Dirac. En d'autres termes, nous étendons la représentation π à l'ensemble de l'algèbre différentielle universelle par

$$\pi(a_0 \delta a_1 \dots \delta a_p) = \pi(a_0) [\mathcal{D}, \pi(a_1)] \dots [\mathcal{D}, \pi(a_p)] \quad \forall a_0, \dots, a_p \in \mathcal{A}. \quad (1.99)$$

Cependant, cette représentation n'est pas une représentation de la structure différentielle de $\Omega(\mathcal{A})$ et ne permet pas de définir une différentielle sur l'algèbre $\pi(\Omega(\mathcal{A}))$. En effet, si $\omega \in \Omega(\mathcal{A})$, alors on ne peut pas définir la différentielle de $\pi(\omega)$ par $d\pi(\omega) = \pi(d\omega)$ car il peut exister des éléments ω de $\Omega(\mathcal{A})$ tels que $\pi(\omega) = 0$ et $\pi(d\omega) \neq 0$.

Pour remédier à cela, on introduit l'idéal bilatère de $\Omega(\mathcal{A})$ défini par

$$J = \ker \pi + d(\ker \pi). \quad (1.100)$$

Cet idéal est stable par d , ce qui permet de donner une structure d'algèbre différentielle au quotient $\pi(\omega)/\pi(J)$ [C5].

Proposition 1.3.2 La représentation π définit une représentation de l'algèbre différentielle universelle sur le quotient, noté $\Omega_{\mathcal{D}}(\mathcal{A})$ et donnée par

$$\pi(\Omega(\mathcal{A})/\pi(J)) = \pi(\Omega(\mathcal{A}))/\pi(d(\ker \pi)). \quad (1.101)$$

La différentielle d'un élément représenté par sa classe $\pi(\omega)$ est définie par la classe de $\pi(d\omega)$. Elle est nilpotente et satisfait à la règle de Leibniz graduée.

Dans la littérature, l'idéal J est souvent appelé "junk", et ses éléments sont nommés "champs auxiliaires".

Les éléments de l'algèbre $\Omega_{\mathcal{D}}(\mathcal{A})$ sont en fait des classes d'équivalence d'opérateurs. Pour pouvoir les manipuler aisément dans un cas concret, il est commode d'introduire un produit scalaire sur $\pi(\Omega^n(\mathcal{A}))$ de manière à pouvoir choisir un et un seul représentant orthogonal à $\pi(J)$ [KS]. Ce produit scalaire sur $\pi(\Omega(\mathcal{A}))$ est construit à l'aide de la trace de Dixmier,

$$\langle \pi(\omega), \pi(\eta) \rangle = \text{Tr}_{\omega} \left(\pi(\omega)^* \pi(\eta) | \mathcal{D} |^{-n} \right), \quad (1.102)$$

si ω et η sont des éléments de $\Omega(\mathcal{A})$ de même degré, des formes de degrés différents étant par définition orthogonales.

Nous rappelons que Tr_ω est la trace de Dixmier et que puisque $(\mathcal{A}, \mathcal{H}, \mathcal{D})$ est un triplet spectral de dimension n , $\pi(\omega)$ et $\pi(\eta)$ sont des opérateurs bornés et $\pi(\omega)^* \pi(\eta) |\mathcal{D}|^{-n}$ est un infinitésimal d'ordre un.

Cependant, dans le cas général, il n'est pas évident que cette application définisse un produit scalaire. En effet, il n'est pas possible de montrer que cette forme sesquilinéaire positive est définie positive car il peut arriver que les valeurs propres de $\pi(\omega)$ décroissent assez rapidement pour que la trace de Dixmier s'annule. Aussi travaillerons-nous directement avec les classes d'équivalence d'éléments de $\pi(\omega(\mathcal{A}))$.

Les propriétés usuelles des formes différentielles et de leur intégration sont résumées dans la notion de cycle (cf Appendice C). Pour faire le lien entre cette notion et la construction précédente, nous utiliserons le résultat suivant.

Proposition 1.3.3 *La relation*

$$\pi(\omega) \mapsto \text{Tr}_\omega (\gamma \pi(\omega) |\mathcal{D}|^{-n}) \quad (1.103)$$

définit une trace graduée sur $\pi(\Omega^n(\mathcal{A}))$,

Démonstration:

Commençons par remarquer que pour tout $\omega, \eta \in \Omega(\mathcal{A})$ on a

$$\text{Tr}_\omega (\pi(\omega) \pi(\eta) |\mathcal{D}|^{-n}) = \text{Tr}_\omega (\pi(\eta) \pi(\omega) |\mathcal{D}|^{-n}). \quad (1.104)$$

En effet, d'après l'axiome de régularité, les hypothèses du théorème démontré dans [CGS] sont vérifiées. La relation (1.104) découle immédiatement de ce résultat. De même, on pourra trouver une preuve de cette relation dans [Wa].

Soit $\omega \in \Omega^p(\mathcal{A})$ et $\eta \in \Omega^q(\mathcal{A})$ deux formes différentielles telles que $p + q = n$. D'après l'axiome d'orientabilité, $\gamma = \pi(c)$, où c est un n -cycle de Hochschild à valeurs dans $\mathcal{A} \otimes \mathcal{A}^{op}$. Le facteur à valeurs dans \mathcal{A}^{op} est représenté par $x \in \mathcal{A} \mapsto \mathcal{J} \pi(x) \mathcal{J}^{-1}$, donc commute avec tous les éléments de $\pi(\Omega(\mathcal{A}))$. Par conséquent, en appliquant la relation (1.104), on montre que

$$\text{Tr}_\omega (\gamma \pi(\omega) \pi(\eta) |\mathcal{D}|^{-n}) = (-1)^p \text{Tr}_\omega (\gamma \pi(\eta) \pi(\omega) |\mathcal{D}|^{-n}), \quad (1.105)$$

puisque $\gamma \pi(\omega) = (-1)^p \pi(\omega) \gamma$ en dimension paire et $\gamma \pi(\omega) = \pi(\omega) \gamma$ en dimension impaire. La relation (1.103) définit donc une trace graduée sur $\pi(\Omega^n(\mathcal{A}))$. □

Pour pouvoir construire un cycle à l'aide de l'algèbre $\Omega_{\mathcal{D}}(\mathcal{A})$, nous devons faire une hypothèse supplémentaire sur le triplet spectral $(\mathcal{A}, \mathcal{H}, \mathcal{D})$, qui correspond, dans le cas commutatif, à la condition de "variété sans bord".

Définition 1.3.2 (Condition de fermeture) *Un triplet spectral de dimension n satisfait à la condition de fermeture si*

$$\text{Tr}_\omega (\gamma [\mathcal{D}, \pi(a_1)] \dots [\mathcal{D}, \pi(a_n)] |\mathcal{D}|^{-n}) = 0 \quad (1.106)$$

pour tous $a_1, \dots, a_p \in \mathcal{A}$.

Cela est à relier à la notion de cycle qui présente de manière purement algébrique les propriétés des formes différentielles et de leur intégration [C5].

Définition 1.3.3 *Un cycle de dimension n sur une algèbre \mathcal{A} est un quadruplet (Ω, π, d, f) où*

1. $\Omega = \bigoplus_{k=0}^n \Omega^k$ est une algèbre graduée,
2. π est une représentation de \mathcal{A} dans Ω^0 ,
3. $d : \Omega^k \rightarrow \Omega^{k+1}$ est une application linéaire satisfaisant à $d^2 = 0$. à $d(\Omega^n(\mathcal{A})) = 0$ ainsi qu'à la règle de Leibniz graduée $d(\omega\xi) = d\omega\xi + (-1)^p\omega d\xi$ pour tous $\omega \in \Omega^p$ et $\xi \in \Omega^q$,
4. $f : \Omega^n \rightarrow \mathbb{C}$ est une forme linéaire telle que $f d\omega = 0$ si $\omega \in \Omega^{n-1}$, et $f \omega\xi = (-1)^{pq} f \xi\omega$, pour tous $\omega \in \Omega^p$ et $\xi \in \Omega^q$ tels que $p + q = n$.

Lorsque la condition de fermeture est satisfaite, on montre le résultat suivant.

Proposition 1.3.4 *Si le triplet spectral $(\mathcal{A}, \mathcal{H}, \mathcal{D})$ satisfait à la condition de fermeture, alors l'algèbre différentielle $\Omega_{\mathcal{D}}(\mathcal{A}) = \pi(\Omega(\mathcal{A}))/\pi(J)$ définit un cycle $(\Omega_{\mathcal{D}}(\mathcal{A}), d, f)$ avec $f : \Omega_{\mathcal{D}}^n(\mathcal{A}) \rightarrow \mathbb{C}$ donné par*

$$\int \pi(\omega) = \frac{1}{(4\pi)^{n/2}\Gamma(n/2 + 1)} \text{Tr}_{\omega} (\gamma\pi(\omega)|\mathcal{D}|^{-n}) \quad (1.107)$$

Démonstration:

Puisque les éléments de $\Omega_{\mathcal{D}}^n(\mathcal{A})$ sont des classes d'équivalence d'éléments de $\pi(\Omega^n(\mathcal{A}))$ nous devons montrer que la relation (1.107) définit bien une application sur l'espace quotient $\Omega_{\mathcal{D}}^n(\mathcal{A})$. Pour cela, remarquons que deux éléments $\pi(\omega)$ et $\pi(\eta)$ de $\pi(\Omega^n(\mathcal{A}))$ qui définissent la même classe dans $\Omega_{\mathcal{D}}^n(\mathcal{A})$ diffèrent par un élément de $\pi(J) \cap \pi(\Omega^n(\mathcal{A}))$ qui peut s'écrire

$$\pi(\omega) - \pi(\eta) = \sum_i [\mathcal{D}, \pi(a_1^i)] \dots [\mathcal{D}, \pi(a_n^i)] \quad (1.108)$$

avec $a_1^i, \dots, a_n^i \in \mathcal{A}$. Par application de la condition de fermeture (1.106), on obtient

$$\text{Tr}_{\omega} (\gamma\pi(\omega)|\mathcal{D}|^{-n}) = \text{Tr}_{\omega} (\gamma\pi(\eta)|\mathcal{D}|^{-n}), \quad (1.109)$$

ce qui prouve que f passe au quotient. Il découle alors des résultats précédents que f que $(\Omega_{\mathcal{D}}(\mathcal{A}), d, f)$ est un cycle. □

Le facteur de normalisation de la relation (1.107) est choisi de manière à retrouver l'intégration usuelle des formes différentielles. De façon générale, nous notons

$$\int \gamma\pi(\omega) ds^n = \frac{1}{(4\pi)^{n/2}\Gamma(n/2 + 1)} \text{Tr}_{\omega} (\pi(\omega)|\mathcal{D}|^{-n}) \quad (1.110)$$

pour tout élément ω de $\Omega(\mathcal{A})$.

On en déduit aussitôt que le caractère de ce cycle est un cocycle cyclique de dimension n .

Proposition 1.3.5 *$(\mathcal{A}, \mathcal{H}, \mathcal{D})$ satisfait à la condition de fermeture si et seulement si l'application*

$$\phi(a_0, a_1, \dots, a_n) = \int \gamma a_0 [\mathcal{D}, a_1] \dots [\mathcal{D}, a_n] ds^n \quad (1.111)$$

est un cocycle cyclique de dimension n .

Démonstration:

En effet, si la condition de fermeture est satisfaite, alors ϕ est le caractère d'un cycle et est un cocycle cyclique. Réciproquement, si ϕ est un cocycle cyclique alors

$$\begin{aligned} \oint \gamma [\mathcal{D}, a_1] \dots [\mathcal{D}, a_n] ds^n &= \phi(1, a_1, \dots, a_n) \\ &= (-1)^n \phi(a_1, \dots, a_n, 1) \\ &= 0. \end{aligned}$$

□

Nous verrons ultérieurement que la généralisation non commutative des théories de Yang-Mills et de Chern-Simons nous amène à coupler ce cocycle cyclique à la K-théorie pour obtenir des quantités stables par déformation.

Il est aussi intéressant de noter que la condition de fermeture rend possible l'intégration par parties.

Proposition 1.3.6 *Si le triplet spectral $(\mathcal{A}, \mathcal{H}, \mathcal{D})$ vérifie la condition de fermeture, alors la règle d'intégration par parties,*

$$\oint \gamma d\pi(\omega)\pi(\eta)ds^n = (-1)^{p+1} \oint \gamma \pi(\omega)d\pi(\eta)ds^n \quad (1.112)$$

pour tous $\omega \in \Omega^p(\mathcal{A})$ et $\eta \in \Omega^{n-p-1}(\mathcal{A})$, est valide.

Ce résultat, utile dans les calculs, passe au quotient et permet de définir l'intégration par parties sur $\Omega_{\mathcal{D}}^n(\mathcal{A})$.

Enfin, terminons par l'étude du cas commutatif.

Exemple 1.3.1

Soit $\mathcal{A} = C^\infty(\mathcal{M})$ l'algèbre des fonctions lisses sur une variété compacte sans bord \mathcal{M} de dimension n munie d'une structure spinorielle, \mathcal{H} l'espace de Hilbert des spineurs de carré sommable sur \mathcal{M} et $\mathcal{D} = i\gamma^\mu(\partial_\mu + \omega_\mu)$ l'opérateur de Dirac usuel. Nous allons montrer que le résultat de la construction précédente est identique au complexe de de Rham.

Les fonctions $f \in \mathcal{A}$ agissent sur \mathcal{H} par multiplication, ce qui entraîne que $[\mathcal{D}, f] = i\gamma^\mu \partial_\mu f$. Un élément générique de $\pi(\Omega^p(\mathcal{A}))$ s'écrit sous la forme

$$\sum_i \gamma^{\mu_1} \dots \gamma^{\mu_p} f_0^i \partial_{\mu_1} f_1^i \dots \partial_{\mu_p} f_p^i, \quad (1.113)$$

avec $f_0, \dots, f_p \in \mathcal{A}$.

Il est évident que pour $p = 0$, $\pi(\Omega^0(\mathcal{A})) = \Omega_{\mathcal{D}}^0(\mathcal{A}) = \mathcal{A}$, ce qui est identique au 0-formes de de Rham. De même, lorsque $p = 1$, on a $\pi(\Omega^1(\mathcal{A})) = \Omega_{\mathcal{D}}^1(\mathcal{A})$, un élément quelconque de cet ensemble pouvant être assimilé à une 1-forme de de Rham $\omega_\mu dx^\mu$ si on identifie $i\gamma^\mu$ et dx^μ et si on pose

$$\omega_\mu = \sum_i f_0^i \partial_\mu f_1^i \partial_\mu. \quad (1.114)$$

Réciproquement, toute 1-forme de de Rham peut se mettre sous la forme précédente.

Lorsque $p = 2$, si on veut encore pouvoir identifier $i\gamma^\mu$ et dx^μ , nous devons faire apparaître le produit complètement antisymétrique des matrices de Dirac dans (1.113), et écrire un élément générique de $\pi(\Omega^2(\mathcal{A}))$ sous la forme

$$\sum_i \frac{1}{2} (i\gamma_{\mu_1} i\gamma_{\mu_2} - i\gamma_{\mu_2} i\gamma_{\mu_1}) f_0^i \partial_{\mu_1} f_1^i \partial_{\mu_2} f_2^i - \sum_i g^{\mu_1 \mu_2} f_0^i \partial_{\mu_1} f_1^i \partial_{\mu_2} f_2^i \quad (1.115)$$

Montrons que le second terme de (1.115) est un élément de $\pi(J) \cap \pi(\Omega^2(\mathcal{A}))$. En effet, tous les éléments $\pi(J) \cap \pi(\Omega^2(\mathcal{A}))$ s'écrivent comme

$$\sum_i i\gamma_{\mu_1} i\gamma_{\mu_2} \partial_{\mu_1} h_1^i \partial_{\mu_2} h_2^i = - \sum_i g^{\mu_1 \mu_2} \partial_{\mu_1} h_1^i \partial_{\mu_2} h_2^i \quad (1.116)$$

où les fonctions h_1^i et h_2^i satisfont à la condition

$$\sum_i h_1^i \partial_{\mu} h_2^i = 0. \quad (1.117)$$

En utilisant l'identité

$$\sum_i f_0^i f_1^i \partial_{\mu} f_2^i + f_0^i \partial_{\mu} f_1^i f_2^i - f_0^i \partial_{\mu} (f_1^i f_2^i) = 0, \quad (1.118)$$

on montre que le second terme de (1.115) est un élément de $\pi(J) \cap \pi(\Omega^2(\mathcal{A}))$. Par conséquent, on peut identifier le premier membre de (1.115) à la 2-forme $1/2 \omega_{\mu_1 \mu_2} dx^{\mu_1} dx^{\mu_2}$ avec

$$\omega_{\mu_1 \mu_2} = \sum_i \frac{1}{2} f_0^i (\partial_{\mu_1} f_1^i \partial_{\mu_2} f_2^i - \partial_{\mu_2} f_1^i \partial_{\mu_1} f_2^i) \quad (1.119)$$

Cela nous a permis de choisir dans l'espace quotient $\Omega_{\mathcal{D}}^2(\mathcal{A})$ un unique représentant de chaque classe qui correspond au produit totalement antisymétrisé des matrices de Dirac.

La dérivé extérieure d'une 1-forme $\omega_{\mu} dx^{\mu}$ est donnée par

$$d\omega = \frac{1}{2} \partial_{\mu} \omega_{\nu} dx^{\mu} dx^{\nu}. \quad (1.120)$$

Le produit extérieur de ω par une autre 1-forme $\eta = \eta_{\nu} dx^{\nu}$ s'obtient en le multipliant en tant qu'opérateurs sur \mathcal{H} puis en antisymétrisant le résultat obtenu. Le résultat est

$$\omega \wedge \eta = (\omega_{\mu} \eta_{\nu} - \omega_{\nu} \eta_{\mu}) dx^{\mu} \wedge dx^{\nu}. \quad (1.121)$$

En ce qui concerne la détermination des formes de degré $p > 2$, la démarche employée est en tout point identique : on obtient un isomorphisme d'algèbres différentielles entre $\Omega_{\mathcal{D}}^n(\mathcal{A})$, dont le représentant de chaque classe est un produit totalement antisymétrique de matrices de Dirac, et les formes de degré n de de Rham en identifiant $i\gamma^{\mu}$ et dx^{μ} [C5].

En utilisant la relation $\gamma^{n+1} \gamma^{\sigma(1)} \dots \gamma^{\sigma(n)} = i^{n/2} \epsilon(\sigma)$ valable en dimension paire, on montre facilement que, en toute dimension,

$$\int (f_0, f_1, \dots, f_n) = i^{\frac{n(n-1)}{2}} \int_{\mathcal{M}} f_0 \wedge df_1 \wedge \dots \wedge df_n. \quad (1.122)$$

On retrouve le complexe de de Rham et la théorie usuelle de l'intégration des formes différentielles.

Avant de clore l'étude de cet exemple, il convient de faire deux remarques. Tout d'abord, dans le cas particulier considéré, il est possible de définir sur $\pi(\Omega^p(\mathcal{A}))$ un produit scalaire par

$$\langle \pi(\omega), \pi(\eta) \rangle = \text{Tr}_{\omega} (\pi(\omega)^* \pi(\eta) | \mathcal{D} |^{-n}). \quad (1.123)$$

La vérification de tous les axiomes relatifs au produit scalaire est évidente car on a (cf Appendice A)

$$\text{Tr}_{\omega} (\pi(\omega)^* \pi(\eta) | \mathcal{D} |^{-n}) = \frac{1}{(4\pi)^{n/2} \Gamma(n/2 + 1)} \int_{\mathcal{M}} \sqrt{g} dx^n \text{Tr} (\pi(\omega)^* \pi(\eta)), \quad (1.124)$$

Tr désignant la trace sur les matrices de Dirac. Le choix d'un représentant complètement antisymétrique correspond à la définition de $\Omega_{\mathcal{D}}(\mathcal{A})$ comme le supplémentaire orthogonal de $\pi(\mathcal{J})$ pour ce produit scalaire.

En second lieu, il est utile de remarquer que notre détermination des formes de degré 0, 1 et 2 n'utilise que les propriétés de base des matrices de Dirac et la commutation $[\partial_\mu, \partial_\nu] = 0$ des dérivations de \mathcal{A} , mais ne repose absolument pas sur la commutativité de l'algèbre. Nous verrons ultérieurement que ce résultat s'applique encore au tore non commutatif (cf §4.1.4). ■

1.3.2 Courbure et identités de Bianchi

Pour définir la courbure d'une connexion ∇ , il est nécessaire de prolonger ∇ en une application de $\mathcal{E} \otimes_{\mathcal{A}} \Omega_{\mathcal{D}}(\mathcal{A})$ dans $\mathcal{E} \otimes_{\mathcal{A}} \Omega_{\mathcal{D}}(\mathcal{A})$ [C5].

Proposition 1.3.7 ∇ s'étend de manière unique en une application linéaire de $\mathcal{E} \otimes_{\mathcal{A}} \Omega_{\mathcal{D}}(\mathcal{A})$ dans $\mathcal{E} \otimes_{\mathcal{A}} \Omega_{\mathcal{D}}(\mathcal{A})$ satisfaisant à la relation

$$\nabla(\xi \otimes \omega) = \nabla(\xi)\omega + \xi \otimes d\omega \quad (1.125)$$

pour tous $\xi \in \mathcal{E}$ et $\omega \in \Omega_{\mathcal{D}}(\mathcal{A})$.

Le produit $\nabla(\xi)\omega$ est défini de la manière suivante. Puisque $\nabla(\xi)$ est un élément de $\mathcal{E} \otimes_{\mathcal{A}} \Omega_{\mathcal{D}}^1(\mathcal{A})$, on peut le mettre sous la forme $\nabla(\xi) = \sum_i \xi_i \otimes \omega_i$ avec $\xi_i \in \mathcal{E}$ et $\omega_i \in \Omega_{\mathcal{D}}^1(\mathcal{A})$. Par définition, on prend

$$\nabla(\xi)\omega = \sum_i \xi_i \otimes \omega_i \omega, \quad (1.126)$$

où le dernier produit $\omega_i \omega$ est le produit usuel dans $\Omega_{\mathcal{D}}(\mathcal{A})$. Il convient de remarquer que puisque $\Omega_{\mathcal{D}}^p(\mathcal{A})$ est un ensemble quotient pour $p > 1$, le produit $\omega_i \omega$ est un ensemble d'opérateurs sur \mathcal{H} .

A partir de cette définition de ∇ sur tous les éléments de $\mathcal{E} \otimes_{\mathcal{A}} \Omega_{\mathcal{D}}(\mathcal{A})$, on vérifie aisément la proposition suivante [C5].

Proposition 1.3.8 $\nabla : \mathcal{E} \otimes_{\mathcal{A}} \Omega_{\mathcal{D}}(\mathcal{A}) \rightarrow \mathcal{E} \otimes_{\mathcal{A}} \Omega_{\mathcal{D}}(\mathcal{A})$ satisfait à la règle de Leibnitz graduée

$$\nabla(\eta\omega) = \nabla(\eta)\omega + (-1)^p \eta \nabla(\omega), \quad (1.127)$$

pour tous $\eta \in \mathcal{E} \otimes_{\mathcal{A}} \Omega_{\mathcal{D}}^p(\mathcal{A})$ et $\omega \in \Omega_{\mathcal{D}}^q(\mathcal{A})$.

Cela permet de définir toutes les puissances ∇^n de la connexion ∇ . En particulier, nous pouvons considérer ∇^2 comme une application de \mathcal{E} dans $\mathcal{E} \otimes_{\mathcal{A}} \Omega_{\mathcal{D}}^2(\mathcal{A})$. Cette application vérifie la propriété suivante [C5].

Définition 1.3.4 La restriction F de ∇^2 de \mathcal{E} dans $\mathcal{E} \otimes_{\mathcal{A}} \Omega_{\mathcal{D}}^2(\mathcal{A})$ est un morphisme de modules à droite sur \mathcal{A} appelé courbure.

A partir de cette définition, il est facile de montrer que sous une transformation de jauge, la courbure se transforme comme suit.

Proposition 1.3.9 Sous une transformation de jauge déterminée par un endomorphisme unitaire $u \in \mathcal{U}(\mathcal{E})$, la courbure F se transforme en uFu^* .

Démonstration:

Sous une transformation de jauge, ∇ devient $u\nabla u^*$, donc ∇^2 devient $u\nabla^2 u^*$. Puisque la multiplication par u laisse $\mathcal{E} \otimes_{\mathcal{A}} \Omega_{\mathcal{D}}^2(\mathcal{A})$ stable, il est clair que F devient uFu^* . \square

Lorsque le module hermitien est écrit sous la forme $\mathcal{E} = e\mathcal{A}^N$, il est possible d'obtenir une expression explicite de F .

Proposition 1.3.10 *Soit $e \in M_N(\mathcal{A})$ la projection hermitienne associée au module $\mathcal{E} = e\mathcal{A}^N$, ∇_0 la connexion grassmannienne et $\nabla = \nabla_0 + eAe$ une connexion hermitienne quelconque, où A est un élément hermitien de $M_N(\Omega_{\mathcal{D}}^1(\mathcal{A}))$. La courbure de cette connexion est*

$$F = edede + ed(eAe)e + (eAe)^2. \quad (1.128)$$

Démonstration:

Soit ξ un élément quelconque de \mathcal{A}^N . Par définition de ∇ , on a

$$\begin{aligned} \nabla(e\xi) &= ed(e\xi) + eAe\xi \\ &= ede\xi + ed\xi + eAe\xi \\ &= ed\xi + B\xi, \end{aligned} \quad (1.129)$$

où $B = ede + eAe$ est une matrice de 1-formes qui définit un homomorphisme entre les modules $e\mathcal{A}^N$ et $e(\Omega_{\mathcal{D}}^1(\mathcal{A}))^N$. En désignant par $(\epsilon_i)_{1 \leq i \leq N}$ la base canonique de \mathcal{A}^N , nous avons $B(\xi) = \sum_{i,j} e\epsilon_i B_{ij} \xi_j$, avec $B_{ij} \in \Omega_{\mathcal{D}}^2(\mathcal{A})$ ainsi que $ed\xi = \sum_i e\epsilon_i d\xi_i$ pour tout $\xi = \sum_i \epsilon_i \xi_i$.

En utilisant l'isomorphisme canonique entre $e\mathcal{A}^N \otimes_{\mathcal{A}} \Omega_{\mathcal{D}}^1(\mathcal{A})$ et $e(\Omega_{\mathcal{D}}^1(\mathcal{A}))^N$, nous pouvons écrire

$$\nabla(e\xi) = \sum_i e\epsilon_i \otimes d\xi_i + \sum_{i,j} e\epsilon_i \otimes B_{ij} \xi_j. \quad (1.130)$$

Sous cette forme, il est facile d'appliquer à nouveau ∇ qui est défini sur les produits tensoriels. On obtient

$$\begin{aligned} \nabla^2(e\xi) &= \sum_i ed(e\epsilon_i) \otimes d\xi_i + B e \epsilon_i \otimes d\xi_i + e\epsilon_i \otimes d^2 \xi_i \\ &+ \sum_{i,j} ed(e\epsilon_i) \otimes B_{ij} \xi_j + B e \epsilon_i \otimes B_{ij} \xi_j + e\epsilon_i \otimes d(B_{ij} \xi_j). \end{aligned} \quad (1.131)$$

En utilisant les propriétés de la dérivée extérieure d et l'isomorphisme canonique entre $e\mathcal{A}^N \otimes_{\mathcal{A}} \Omega_{\mathcal{D}}^2(\mathcal{A})$ et $e(\Omega_{\mathcal{D}}^2(\mathcal{A}))^N$, nous pouvons exprimer $\nabla^2(e\xi)$ à l'aide de A ,

$$\begin{aligned} \nabla^2(e\xi) &= edeede\xi + edeeAe\xi + eAede\xi + eAeAe\xi \\ &+ ed(ede)\xi + ed(eAe)\xi - eded\xi - eAed\xi + eded\xi + eAed\xi. \end{aligned} \quad (1.132)$$

Puisque e est une projection, on a $de = ede + dee$, ce qui implique que $edee = 0$. L'expression précédente se simplifie en

$$\nabla^2(e\xi) = edede\xi + eAede\xi + eAeAe\xi + ed(eAe)\xi, \quad (1.133)$$

et ne contient plus de termes en $d\xi$, ce qui est normal car ∇^2 est \mathcal{A} -linéaire. Pour obtenir le résultat annoncé, il suffit de développer $ed(eAe)$ en utilisant la règle de Leibniz graduée et d'utiliser une fois encore la relation $de = ede + dee$. \square

Ce résultat appelle deux remarques. Tout d'abord, il est sous-entendu dans la démonstration précédente que lorsque nous dérivons une matrice dont les coefficients sont des formes différentielles, nous dérivons en fait chacun de ces coefficients. De même, lorsque nous multiplions une matrice de p -formes par une matrice de q -formes, nous utilisons la définition usuelle du produit de matrice et nous multiplions les formes entre elles de manière à avoir une matrice de $(p + q)$ -formes. Ces deux définitions donnent un sens aux expressions $d(eAe)$ et $eAeAe$ et justifient l'emploi des propriétés usuelles de d ($d^2 = 0$ ainsi que la règle de Leibniz graduée) dans la démonstration précédente.

Ensuite, il est intéressant de remarquer que lorsque $e = 1$, ce qui correspond à un module libre, la courbure se réduit à sa forme usuelle $F = dA + A^2$. Dans le cas contraire la théorie correspond à une théorie de jauge sur un fibré non trivial. La relation (1.128) nous montre que même si $A = 0$, la courbure F est en général non nulle lorsque e est non trivial.

En géométrie différentielle usuelle, il existe une identité appelée identité de Bianchi permettant de relier une connexion et sa courbure. Cela se généralise aisément au cas non commutatif.

Définition 1.3.5 *La relation $[\nabla, F] = 0$ est appelée identité de Bianchi.*

Puisque F est une matrice de 2-formes, l'identité de Bianchi est une relation entre matrices de 3-formes, qui s'écrit, lorsque la topologie est triviale, sous la forme usuelle $dF + [A, F] = 0$.

Pour nous convaincre de la pertinence de toutes ces définitions, examinons le cas particulier d'une théorie de jauge avec un fibré trivial sur une variété ordinaire.

Exemple 1.3.2

Soit \mathcal{M} une variété compacte munie d'une structure de spin et E un fibré vectoriel complexe trivial de rang N au dessus de \mathcal{M} . Bien entendu, nous identifions l'algèbre différentielle $\Omega_{\mathcal{D}}(\mathcal{A})$ avec le complexe de de Rham en choisissant dans chaque classe le représentant totalement antisymétrique.

En coordonnées locales x^μ , l'action d'une connexion ∇ sur une section ξ de E s'écrit

$$\nabla(\xi) = D_\mu \xi \otimes dx^\mu, \quad (1.134)$$

où $D_\mu = \partial_\mu + A_\mu$, où A_μ est une matrice $N \times N$ antihermitienne, fonction des coordonnées x^μ . En utilisant le caractère antisymétrique du produit de 1-formes on obtient

$$\nabla^2(\xi) = 1/2 F_{\mu\nu} \xi \otimes dx^\mu \wedge dx^\nu, \quad (1.135)$$

où

$$F_{\mu\nu} = [D_\mu, D_\nu] = \partial_\mu A_\nu - \partial_\nu A_\mu + [A_\mu, A_\nu] \quad (1.136)$$

est la courbure usuelle du champ de jauge A_μ .

Les transformations de jauge correspondent aux matrices unitaires fonctions des coordonnées x_μ . Par conséquent, le groupe de jauge est $U(N)$ et sous la transformation de jauge déterminée par l'unitaire g , la connexion ∇ devient $g\nabla g^{-1}$ ce qui est équivalent à

$$A_\mu \rightarrow gA_\mu g^{-1} + g\partial_\mu g^{-1}. \quad (1.137)$$

La relation $[\nabla, \nabla^2] = 0$ nous donne

$$[D_\lambda, F_{\mu\nu}] P(dx^\lambda \otimes dx^\mu \wedge dx^\nu) = 0, \quad (1.138)$$

où P est le projecteur sur la partie totalement antisymétrique. Après avoir explicité P , on obtient

$$\frac{1}{3} [D_\lambda, F_{\mu\nu}] dx^\lambda \wedge dx^\mu \wedge dx^\nu = 0. \quad (1.139)$$

Après deux permutations cycliques des indices, on obtient

$$D_\lambda F_{\mu\nu} + D_\mu F_{\nu\lambda} + D_\nu F_{\lambda\mu} = 0, \quad (1.140)$$

ce qui est la forme usuelle des identités de Bianchi. ■

1.3.3 Action de Yang-Mills

Au cours de la section précédente, nous avons vu que la courbure d'une connexion pouvait être identifiée de manière canonique à une matrice à coefficients dans $\Omega_{\mathcal{D}}^2(\mathcal{A})$. Cela nous permet d'associer à toute connexion un nombre réel, qui, dans le cas classique, n'est autre de l'action de Yang-Mills

$$S_{YM}[A_\mu] = -\frac{1}{2} \int_{\mathcal{M}} \text{Tr} (F_{\mu\nu} F^{\mu\nu}). \quad (1.141)$$

Dans le cas général, cette construction est plus compliquée car les éléments de $\Omega_{\mathcal{D}}^2(\mathcal{A})$ sont des classes d'équivalences d'opérateurs.

Considérons un triplet spectral $(\mathcal{A}, \mathcal{H}, \mathcal{D})$ de dimension n et un module projectif fini \mathcal{E} à droite sur \mathcal{A} muni d'une structure hermitienne. Sans perte de généralité, nous pouvons supposer que $\mathcal{E} = e\mathcal{A}^N$, où $e \in M_N(\mathcal{A})$ est une projection hermitienne. La structure hermitienne sur \mathcal{E} est la structure hermitienne induite par celle de \mathcal{A}^N et nous désignons par ∇ une connexion hermitienne sur \mathcal{E} de courbure F .

Notons $\tilde{\pi}$ la projection canonique de $\pi(\Omega(\mathcal{A}))$ dans $\Omega_{\mathcal{D}}(\mathcal{A})$. $\tilde{\pi}$ s'étend canoniquement en un morphisme d'algèbres graduées de $M_N(\mathcal{A}) \otimes_{\mathcal{A}} \pi(\Omega(\mathcal{A}))$ dans $M_N(\mathcal{A}) \otimes_{\mathcal{A}} \Omega_{\mathcal{D}}(\mathcal{A})$. Soit $G \in M_N(\mathcal{A}) \otimes_{\mathcal{A}} \pi(\Omega^2(\mathcal{A}))$ tel que $\tilde{\pi}(G) = F$. G est une matrice $N \times N$ dont les éléments G_{ij} appartiennent à l'algèbre $\mathcal{B}(\mathcal{H})$ des opérateurs bornés sur \mathcal{H} . GG^* est également une telle matrice et on lui associe l'opérateur borné $\text{Tr}(GG^*) = \sum_{i,j} G_{ij} G_{ij}^*$. Puisque $\text{Tr}(GG^*)$ est borné, $\text{Tr}(GG^*)|\mathcal{D}|^{-n}$ est un infinitésimal d'ordre un si bien que la quantité

$$\int \text{Tr}(GG^*) ds^n = \frac{1}{(4\pi)^{n/2} \Gamma(1+n/2)} \text{Tr}_\omega \left(\text{Tr}(GG^*)|\mathcal{D}|^{-n} \right) \quad (1.142)$$

est bien définie. Nous définissons alors l'action de Yang-Mills comme suit [C5].

Définition 1.3.6 *L'action de Yang-Mills est la fonctionnelle définie sur l'espace des connexions hermitiennes par*

$$S_{YM}[\nabla] = \inf_{\tilde{\pi}(G)=F} \int \text{Tr}(GG^*) ds^n, \quad (1.143)$$

où F est la courbure de ∇ et la borne inférieure est à prendre sur tous les représentants possibles de F .

La fonctionnelle précédente satisfait aux propriétés usuelles de l'action de Yang-Mills [C5].

Proposition 1.3.11 *L'action de Yang-Mills est une fonctionnelle positive et invariante sous les transformations de jauge.*

Démonstration:

Bien que la démonstration de ce résultat se trouve dans [C5], nous en donnons ici une version différente. Puisque la positivité ne fait aucun doute, étudions l'invariance.

Dans un premier temps, remarquons que sous une transformation de jauge déterminée par un endomorphisme unitaire u du module \mathcal{E} , les lois de transformation de la connexion et de sa courbure sont $\nabla \rightarrow u\nabla u^*$ et $F \rightarrow uFu^*$.

Soit $G \in \pi(\Omega^2(\mathcal{A}))$ un représentant de F . *Stricto sensu*, la loi de transformation de G ne peut pas être définie puisque G n'est pas défini univoquement à partir de ∇ . Cependant, on peut remarquer que $\tilde{\pi}(uGu^*) = \tilde{\pi}(u)\tilde{\pi}(G)\tilde{\pi}(u^*) = uFu^*$. Ainsi uGu^* est un représentant de la courbure de $u\nabla u^*$, ce qui implique

$$S_{YM}[u\nabla u^*] \leq \int \text{Tr}(uGG^*u^*) ds^n. \quad (1.144)$$

En utilisant la propriété de trace sur l'algèbre $\pi(\Omega(\mathcal{A}))$ de l'application $\pi(\omega) \mapsto \int \pi(\omega) ds^n$, on a

$$\int \text{Tr}(uGG^*u^*) ds^n = \int \text{Tr}(GG^*) ds^n, \quad (1.145)$$

d'où l'inégalité $S_{YM}[u\nabla u^*] \leq S_{YM}[\nabla]$.

En appliquant cette même inégalité à la connexion $u^*\nabla u$ puis en changeant u en u^* , on obtient $S_{YM}[\nabla] \leq S_{YM}[u\nabla u^*]$, d'où l'égalité et l'invariance de jauge de l'action de Yang-Mills. \square

La définition de l'action de Yang-Mills est compliquée par le fait que nous travaillons avec des classes d'équivalence d'opérateurs et que nous n'avons pas, en général, de possibilité de choisir canoniquement un et un seul élément dans chaque classe.

Dans le cas commutatif, l'application

$$\langle \pi(\omega), \pi(\eta) \rangle = \int \text{Tr}(\pi(\omega)^* \pi(\eta)) ds^n \quad (1.146)$$

permet de définir un produit scalaire sur l'algèbre graduée $\pi(\Omega(\mathcal{A})) \otimes_{\mathcal{A}} M_N(\mathcal{A})$. A l'aide de ce produit tensoriel, on peut choisir dans $\pi(\Omega^p(\mathcal{A}))$ un et un seul représentant de la classe de F^2 qui est orthogonal à tous les éléments de $\pi(J) \cap \pi(\Omega^2(\mathcal{A}))$ (cf §1.3.1). Si nous notons encore F le représentant qui correspond au produit totalement antisymétrique de matrices de Dirac, alors F est orthogonal à tout élément de $\pi(J) \cap \pi(\Omega^2(\mathcal{A}))$ et tout représentant de la courbure s'écrit sous la forme $G = F + \theta$, avec $\theta \in \pi(J) \cap \pi(\Omega^2(\mathcal{A}))$. De plus on a

$$\int \text{Tr}(GG^*) ds^n = \int \text{Tr}(FF^*) ds^n + \int \text{Tr}(\theta\theta^*) ds^n \quad (1.147)$$

par suite de l'orthogonalité de θ et F . On en déduit que la valeur minimale du second membre de (1.147) est obtenue pour $\theta = 0$, ce qui implique que

$$S_{YM}[\nabla] = \int \text{Tr}(FF^*) ds^n. \quad (1.148)$$

On retrouve ainsi la forme usuelle de l'action de Yang-Mills car la projection orthogonale correspond au choix du représentant réalisant le minimum de la fonctionnelle de Yang-Mills. Ce résultat s'étend au cas d'un triplet spectral obtenu par produit d'une géométrie commutative par un triplet spectral fini [SZ].

1.3.4 Une inégalité en dimension 4

En dimension 4, l'action de Yang-Mills admet une borne inférieure de nature topologique qui joue un rôle central en théorie quantique des champs [Sh]. Avant de généraliser cette inégalité au cas non commutatif, commençons par étudier une théorie de Yang-Mills associée à un fibré principal sur une variété compacte munie d'une métrique euclidienne. En coordonnées locales, la connexion peut s'écrire comme une 1-forme $A = A_\mu dx^\mu$ à valeurs dans l'algèbre de Lie du groupe de jauge, $SU(N)$ par exemple, et sa courbure est représentée par la 2-forme $F = 1/2 F_{\mu\nu} dx^\mu \wedge dx^\nu$ avec $F_{\mu\nu} = \partial_\mu A_\nu - \partial_\nu A_\mu + [A_\mu, A_\nu]$. L'action de Yang-Mills est

$$S_{YM} = -\frac{1}{4} \int_{\mathcal{M}} \sqrt{g} dx^4 g^{\mu\rho} g^{\nu\sigma} \text{Tr}(F_{\mu\nu} F_{\rho\sigma}) = -\frac{1}{2} \int_{\mathcal{M}} \text{Tr}(F \wedge *F) \quad (1.149)$$

le signe $-$ étant choisi de manière à obtenir une action positive car $F_{\mu\nu}$ est une matrice anti-hermitienne. Le dual de Hodge $*$ est défini sur les 2-formes par

$$*F = \frac{\sqrt{g}}{4} \epsilon_{\mu\nu\rho\sigma} F^{\mu\nu} dx^\rho dx^\sigma \quad (1.150)$$

et satisfait à $*(F) = F$.

Il est facile de voir que l'action de Yang-Mills satisfait à l'inégalité

$$S_{YM} = -\frac{1}{2} \int_{\mathcal{M}} \text{Tr}(F \wedge *F) \geq -\frac{1}{2} \int_{\mathcal{M}} \text{Tr}(F \wedge F). \quad (1.151)$$

De plus, le second membre de (1.151) s'écrit localement comme l'intégrale d'une dérivée totale,

$$\frac{1}{2} \int_{\mathcal{M}} \text{Tr}(F \wedge F) = \frac{1}{2} \int_{\mathcal{M}} d \text{Tr} \left(A \wedge dA + \frac{2}{3} A^3 \right), \quad (1.152)$$

et ne dépend que de la topologie du fibré sous-jacent.

Nous allons généraliser les résultats précédents à une théorie de jauge définie sur un triplet spectral de dimension 4 [C5].

Théorème 1.3.1 *Soit $(\mathcal{A}, \mathcal{H}, \mathcal{D})$ un triplet spectral de dimension 4 satisfaisant à la condition de fermeture et soit ∇ une connexion sur un module hermitien \mathcal{E} sur l'algèbre \mathcal{A} . Si $e \in M_N(\mathcal{A})$ est le projecteur correspondant à \mathcal{E} , alors l'action de Yang-Mills satisfait à l'inégalité*

$$S_{YM}[\nabla] \geq \left| \int \gamma \text{Tr} (e \text{dedede}) ds^4 \right|, \quad (1.153)$$

où γ est la chiralité associée à $(\mathcal{A}, \mathcal{H}, \mathcal{D})$ et $de = [\mathcal{D}, e]$.

Démonstration:

Sans perte de généralité, nous pouvons supposer que $\mathcal{E} = e\mathcal{A}^N$ où $e \in M_N(\mathcal{A})$ vérifie $e^2 = e^* = e$. L'action de ∇ sur $e\xi \in \mathcal{E}$ s'écrit $\nabla(e\xi) = ed(e\xi) + eAe\xi$, où A est un élément hermitien de $M_N(\mathcal{A}) \otimes_{\mathcal{A}} \Omega_{\mathcal{D}}^1(\mathcal{A})$. La courbure de cette connexion est une matrice d'éléments de $\Omega_{\mathcal{D}}^2(\mathcal{A})$ donnée par $F = edede + ed(eAe)e + eAeAe$. Rappelons que $\Omega_{\mathcal{D}}^2(\mathcal{A})$ est formé de classes d'équivalence d'opérateurs bornés, aussi choisissons un représentant quelconque F_1 de F .

Puisque γ est une involution hermitienne de carré 1 qui commute avec F_1 , on a

$$\int (\gamma \pm 1)^2 \text{Tr} (F_1^* F_1) ds^4 \geq 0, \quad (1.154)$$

puis, en développant le premier membre, on obtient

$$\pm \int \gamma \operatorname{Tr} (F_1^* F_1) ds^4 \leq \int \operatorname{Tr} (F_1^* F_1) ds^4. \quad (1.155)$$

Cette inégalité est l'analogie non commutatif de (1.151), il nous reste cependant à comparer le premier membre de (1.155) avec l'action de Yang-Mills et il nous faut aussi mettre en évidence la signification topologique de son second membre.

Commençons par noter que le second membre de (1.155) ne dépend pas du représentant F_1 de la courbure F . En effet, si F_2 est un autre représentant de F , alors $F_1 - F_2 = \theta$, où θ est une matrice à coefficients dans $\pi(J) \cap \pi(\Omega^2(\mathcal{A}))$, d'où

$$F_1 F_1^* = F_2 F_2^* + \underbrace{F_2 \theta^* + \theta F_2^* + \theta \theta^*}_{\theta'}. \quad (1.156)$$

Puisque J est un idéal stable par involution, $\operatorname{Tr}(\theta')$ est un élément de $J \cap \pi(\Omega^4(\mathcal{A}))$ et peut s'écrire sous la forme

$$\operatorname{Tr}(\theta') = \sum_i [\mathcal{D}, a_1^i] [\mathcal{D}, a_2^i] [\mathcal{D}, a_3^i] [\mathcal{D}, a_4^i] \quad (1.157)$$

avec $a_p^i \in \mathcal{A}$. En utilisant la condition de fermeture, on obtient $\int \gamma \operatorname{Tr}(\theta') ds^4 = 0$, ce qui montre que $\int \gamma \operatorname{Tr}(F_1 F_1^*) ds^4 = \int \gamma \operatorname{Tr}(F_2 F_2^*) ds^4$. Notant $\int \gamma \operatorname{Tr}(F F^*) ds^4$ ce nombre, on a

$$\int \gamma \operatorname{Tr} (F_1^* F_1) ds^4 \geq \int \gamma \operatorname{Tr} (F^* F) ds^4. \quad (1.158)$$

Puisque cette inégalité est vraie pour tout représentant F_1 de F , on a, par passage à la borne inférieure,

$$S_{YM}[\nabla] \geq \int \gamma \operatorname{Tr} (F^* F) ds^4 \quad (1.159)$$

Pour démontrer le théorème précédent, il nous reste à expliciter le second membre de (1.159) et à montrer qu'il ne dépend de la projection e .

Le lemme suivant introduit en géométrie non commutative l'analogie de la forme de Chern-Simons $AdA + 2/3 A^3$.

Lemme 1.3.1 *Soit $B \in M_N(\mathcal{A}) \otimes_{\mathcal{A}} \Omega_{\mathcal{D}}^1(\mathcal{A})$ une 1-forme hermitienne à valeurs dans $M_N(\mathcal{A})$ et soit $G = dB + B^2 \in M_N(\mathcal{A}) \otimes_{\mathcal{A}} \Omega_{\mathcal{D}}^1(\mathcal{A})$ sa courbure. Alors on a*

$$\int \gamma \operatorname{Tr}(G_1^2) ds^4 = 0, \quad (1.160)$$

pour tout représentant G_1 de la classe de G .

Démonstration:

Pour montrer ce lemme, introduisons la 3-forme à valeurs matricielles

$$K = BdB + \frac{2}{3} B^3. \quad (1.161)$$

Par dérivation, on obtient dans $M_N(\mathcal{A}) \otimes_{\mathcal{A}} \Omega_{\mathcal{D}}^4(\mathcal{A})$

$$dK = dBdB + \frac{2}{3} dBB^2 - \frac{2}{3} BdBB + \frac{2}{3} B^2 dB, \quad (1.162)$$

soit en introduisant la courbure $G = dB + B^2$,

$$dK = (G - B^2)^2 + \frac{2}{3}(G - B^2)B^2 - \frac{2}{3}B(G - B^2)B + \frac{2}{3}B^2(G - B^2). \quad (1.163)$$

Si G_1 est un représentant de la classe de G , alors il découle de la structure d'idéal de J que

$$(G_1 - B^2)^2 + \frac{2}{3}B^2(G_1 - B^2) - \frac{2}{3}B(G_1 - B^2)B + \frac{2}{3}(G_1 - B^2)B^2 \quad (1.164)$$

est un représentant de la classe de dK . Puisque dK est une dérivée, la condition de fermeture implique que l'intégrale de tous ses représentants est nulle. On en déduit que

$$\begin{aligned} & \int \gamma \text{Tr} (G_1 - B^2)^2 ds^4 + \frac{2}{3} \int \gamma \text{Tr} (B^2(G_1 - B^2)) ds^4 \\ & - \frac{2}{3} \int \gamma \text{Tr} (B(G_1 - B^2)B) ds^4 + \frac{2}{3} \int \gamma \text{Tr} ((G_1 - B^2)B^2) ds^4 = 0. \end{aligned} \quad (1.165)$$

En utilisant les propriétés de trace graduée de $\int \gamma \text{Tr}$ sur $\pi(\omega_{\mathcal{D}}^4(\mathcal{A}))$, la relation précédente se réduit à

$$\int \gamma \text{Tr} (G_1)^2 ds^4 = 0, \quad (1.166)$$

ce qui prouve le lemme. \square

Pour démontrer le résultat annoncé, appliquons le lemme précédent à

$$B = ede - dee + eAe. \quad (1.167)$$

Pour calculer la courbure $G = dB + B^2$, déterminons

$$dB = d(ede - dee + eAe) = 2dede + d(eAe) \quad (1.168)$$

et

$$\begin{aligned} B^2 &= (ede - dee + eAe)^2, \\ &= -edede - deede - deeAe + eAede + eAeAe, \end{aligned} \quad (1.169)$$

où on a utilisé les relations $de = ede + dee$ et $ede = 0$ obtenues en dérivant $e^2 = e$. Regroupant tous les termes, on a

$$G = dede - deeAe + eAede + d(eAe) + eAeAe, \quad (1.170)$$

ce qui nous donne

$$eGe = edede + ed(eAe)e + eAeAe = F \quad (1.171)$$

$$eG(1 - e) = (1 - e)Ge = 0 \quad (1.172)$$

$$(1 - e)G(1 - e) = deede. \quad (1.173)$$

Introduisons un représentant hermitien F_1 de la classe d'équivalence de la courbure $F = edede + ed(eAe)e + eAeAe$. Ainsi

$$G_1 = (1 - e)[\mathcal{D}, e][\mathcal{D}, e] + F_1 \quad (1.174)$$

est un représentant hermitien de G et on a

$$\begin{aligned} (G_1)^2 &= (1 - e)dede(1 - e)dede + (F_1)^2 \\ &= (1 - e)dededede + (F_1)^2. \end{aligned} \quad (1.175)$$

En appliquant le lemme précédent, on trouve

$$\int \gamma \text{Tr} ((1 - e) \text{dededede}) ds^4 + \int \gamma \text{Tr} (F_1 F_1^*) ds^4 = 0. \quad (1.176)$$

D'après la condition de fermeture on a

$$\int \gamma \text{Tr} (\text{dededede}) ds^4 = 0, \quad (1.177)$$

d'où

$$\int \gamma \text{Tr} (F_1 F_1^*) ds^4 = \int \gamma \text{Tr} (\text{edededede}) ds^4, \quad (1.178)$$

ce qui achève de démontrer le résultat annoncé. \square

Nous avons montré que l'action de Yang-Mills est bornée par un nombre qui ne dépend que du projecteur e définissant le module projectif \mathcal{E} . Cependant, pour pouvoir interpréter ce nombre comme une quantité topologique, il nous faut prouver que seule importe la classe d'équivalence du projecteur e dans le groupe $K_0(\mathcal{A})$

Proposition 1.3.12 *Sous les hypothèses du théorème précédent, la quantité*

$$\int \gamma \text{Tr} (\text{edededede}) ds^4 \quad (1.179)$$

ne dépend que de la classe de e dans $K_0(\mathcal{A})$.

Démonstration:

Puisque le triplet $(\mathcal{A}, \mathcal{H}, \mathcal{D})$ satisfait à la condition de fermeture, Φ défini par

$$\Phi(a_0, a_1, \dots, a_4) = \int \gamma a_0 [\mathcal{D}, a_1] \dots [\mathcal{D}, a_4] ds^4 \quad (1.180)$$

pour tout $a_0, \dots, a_4 \in \mathcal{A}$ est le caractère du cycle associé à l'algèbre différentielle $\Omega_{\mathcal{D}}(\mathcal{A})$ (cf §1.3.1). De plus, ce caractère détermine un cocycle cyclique sur $M_N(\mathcal{A})$ en faisant le produit "cup" avec la trace naturelle de $M_N(\mathcal{A})$ dans \mathcal{A} (cf Appendice C). Le cocycle obtenu est donné par

$$\tilde{\Phi}(a_0, a_1, \dots, a_4) = \int \gamma \text{Tr} (a_0 [\mathcal{D}, a_1] \dots [\mathcal{D}, a_4]) ds^4 \quad (1.181)$$

Par conséquent, $\tilde{\Phi}$ est un cocycle cyclique, et $\tilde{\Phi}(e, e, e, e, e)$ est, à un facteur de normalisation près, l'accouplement entre ce cocycle cyclique et le groupe $K_0(\mathcal{A})$, ce qui implique que $\tilde{\Phi}(e, e, e, e, e)$ ne dépend que de la classe d'équivalence de e dans $K_0(\mathcal{A})$. \square

Ainsi, nous avons généralisé au cas non commutatif la minoration de l'action de Yang-Mills par une quantité de nature topologique. En géométrie différentielle ordinaire, on peut montrer que ce minorant est toujours le produit d'une constante numérique par un nombre entier appelé "indice de Pontryagin". Ce résultat ne s'étend pas en toute généralité au cas non commutatif, mais nous montrerons, en appliquant le théorème de l'indice [CM1], qu'il reste valide sur le tore non commutatif.

L'inégalité précédente ne peut être valable que pour un triplet spectral de dimension 4. En effet, en dimension $n \neq 4$, l'action de Yang-Mills se transforme en Λ^{4-n} sous la transformation $\mathcal{D} \rightarrow \Lambda \mathcal{D}$ pour tout $\Lambda > 0$, alors qu'une quantité topologique est nécessairement invariante sous cette transformation.

1.3.5 Action de Chern-Simons

Une théorie des champs topologique [BBRT] est une théorie des champs dont la construction ne nécessite que des informations de nature topologique sur la structure de l'espace temps. La quantification d'une telle théorie permet de déterminer explicitement des invariants topologiques, et se révèle très utile sur le plan mathématique.

Parmi toutes les théories topologiques, celle de Chern-Simons est certainement la plus célèbre car elle permet de déterminer des invariants topologiques des variétés de dimension 3, qui ne sont autres que les valeurs de la fonction de partition pour différents choix de l'espace-temps. De plus, les valeurs moyennes dans le vide de certaines observables (les lignes de Wilson) sont directement reliés aux invariants polynomiaux de la théorie des noeuds [Wi].

Plus précisément, si \mathcal{M} est une variété compacte de dimension 3 et G un groupe de Lie compact, que l'on peut choisir comme étant $SU(N)$ pour fixer les idées, on définit pour toute 1-forme A à valeurs dans l'algèbre de Lie de G , l'action de Chern-Simons par

$$S_{CS}[A] = \frac{k}{4\pi} \int \text{Tr} \left(\text{Ad}A + \frac{2}{3}A^3 \right), \quad (1.182)$$

où $k \in \mathbb{R}$ est une constante de couplage. Il est remarquable que cette action ne fasse pas appel au choix d'une métrique sur \mathcal{M} , puisqu'on intègre une 3-forme en dimension 3.

Sous une transformation de jauge déterminée par une application g de \mathcal{M} dans G , le champ de jauge A devient $A^g = gAg^{-1} + gdg^{-1}$ et il est facile de montrer, en utilisant les propriétés usuelles de l'intégration des formes différentielles, que l'action n'est pas invariante de jauge,

$$S_{CS}[A^g] = S_{CS}[A] + \frac{k}{12\pi} \int \text{Tr} \left((gdg^{-1})^3 \right). \quad (1.183)$$

Si nous normalisons les générateurs T^a de l'algèbre de Lie de G par la condition $\text{Tr}(T^a T^b) = -1/2\delta^{ab}$, alors on montre que

$$\frac{1}{24\pi^2} \int \text{Tr} \left((gdg^{-1})^3 \right) = n \quad (1.184)$$

est un nombre entier usuellement appelé "degré" de l'application g de \mathcal{M} dans $SU(N)$.

Par conséquent, si k est aussi un entier, $e^{ikS_{CS}[A]}$ est invariant sous une transformation de jauge si bien que la fonction de partition

$$Z[\mathcal{M}] = \int [DA] e^{ikS_{CS}[A]} \quad (1.185)$$

est invariante de jauge et nous permet de définir une théorie quantique des champs, qui après régularisation, nous donne un invariant topologique.

Avant de chercher à étendre ce résultat en géométrie non commutative, il est important de noter que le défaut d'invariance de jauge de l'action de Chern-Simons est du à la non connexité du groupe des applications de \mathcal{M} dans G . En effet, si g_t est un chemin différentiable de telles applications reliant g_0 et g_1 , on montre que

$$\frac{d}{dt} \frac{1}{24\pi^2} \int \text{Tr} \left((g_t dg_t^{-1})^3 \right) = 0, \quad (1.186)$$

ce qui prouve que ce nombre ne dépend que de la composante connexe de g .

En géométrie non commutative, le groupe des applications de \mathcal{M} dans G est remplacé par le groupe des unitaires de $M_N(\mathcal{A})$, où \mathcal{A} est l'algèbre des coordonnées et le défaut de connexité de ce groupe est mesuré par le $K_1(\mathcal{A})$ (cf Appendice B). Aussi allons-nous relier l'invariance de jauge de la fonctionnelle de Chern-Simons au couplage entre la cohomologie cyclique et le groupe $K_1(\mathcal{A})$.

Commençons par définir l'action de Chern-Simons dans le cadre non commutatif.

Définition 1.3.7 *Soit $(\mathcal{A}, \mathcal{H}, \mathcal{D})$ un triplet spectral de dimension 3 satisfaisant à la condition de fermeture et soit $A \in M_N(\mathcal{A}) \otimes_{\mathcal{A}} \Omega_{\mathcal{D}}^1(\mathcal{A})$ une 1-forme hermitienne à valeurs dans $M_N(\mathcal{A})$. L'action de Chern-Simons $S_{CS}[A]$ est définie par*

$$S_{CS}[A] = \int \text{Tr}(K_1) ds^3, \quad (1.187)$$

où K_1 est un représentant quelconque de la classe d'équivalence de la forme de Chern-Simons

$$K = AdA + \frac{2}{3}A^3. \quad (1.188)$$

Il est important de noter que grâce à la condition de fermeture, cette définition ne dépend pas du représentant choisi de la classe de K . En effet si K_2 est un autre représentant de K , alors $K_1 - K_2$ est une matrice à coefficients dans $\pi(J) \cap \pi(\Omega^3(\mathcal{A}))$ se met sous la forme

$$\text{Tr}(K_1) - \text{Tr}(K_2) = \sum_i [\mathcal{D}, a_1^i] [\mathcal{D}, a_2^i] [\mathcal{D}, a_3^i], \quad (1.189)$$

où a_1^i , a_2^i et a_3^i sont des éléments de \mathcal{A} . D'après la condition de fermeture, on a

$$\int [\mathcal{D}, a_1^i] [\mathcal{D}, a_2^i] [\mathcal{D}, a_3^i] ds^3 = 0, \quad (1.190)$$

ce qui implique que

$$\int \text{Tr}(K_1) ds^3 = \int \text{Tr}(K_2) ds^3. \quad (1.191)$$

A priori, il n'est pas évident que cette action ait réellement un caractère topologique en géométrie non commutative car elle dépend du choix de l'opérateur de Dirac qui recèle une information de nature métrique; une théorie topologique ne devant dépendre que de la structure de C^* -algèbre sous-jacente. Toutefois, il est clair que cette action ne dépend que de la structure de cycle sur $\Omega_{\mathcal{D}}(\mathcal{A})$ définie par le triplet spectral $(\mathcal{A}, \mathcal{H}, \mathcal{D})$.

Étudions l'invariance de jauge de cette action.

Théorème 1.3.2 *Soit $(\mathcal{A}, \mathcal{H}, \mathcal{D})$ un triplet spectral de dimension 3 satisfaisant à la condition de fermeture. Alors, sous une transformation de jauge déterminée par $u \in U_N(\mathcal{A})$, l'action de Chern-Simons $S_{CS}[A]$ devient*

$$S_{CS}[uAu + udu^{-1}] = S_{CS}[A] + \Gamma[u], \quad (1.192)$$

avec

$$\Gamma[u] = -\frac{1}{3} \int \text{Tr}(udu^{-1}udu^{-1}udu^{-1}) ds^3. \quad (1.193)$$

Démonstration:

Introduisons la courbure $F = dA + A^2$ de A . On peut écrire

$$AdA + \frac{2}{3}A^3 = AF - \frac{1}{3}A^3, \quad (1.194)$$

ce qui implique que si F_1 est un représentant de F , alors l'action de Chern-Simons est

$$S_{CS}[A] = \int \text{Tr} \left(AF_1 - \frac{1}{3}A^3 \right) ds^3. \quad (1.195)$$

Sous une transformation de jauge A devient $uAu^{-1} + udu^{-1}$ et F se transforme en uFu^{-1} , d'où

$$S_{CS}[uAu^{-1} + udu^{-1}] = \int \text{Tr} \left((uAu^{-1} + udu^{-1}) uF_1u^{-1} - \frac{1}{3} (uAu^{-1} + udu^{-1})^3 \right) ds^3. \quad (1.196)$$

En utilisant uniquement la propriété de trace de l'application $\pi(\omega) \mapsto \int \text{Tr}(\pi(\omega)) ds^3$ et la relation $du^{-1}u + u^{-1}du = 0$, on obtient

$$\int \text{Tr} \left((uAu^{-1} + udu^{-1}) uF_1u^{-1} \right) ds^3 = \int \text{Tr} (AF) ds^3 - \int \text{Tr} (duFu^{-1}) ds^3 \quad (1.197)$$

ainsi que

$$\begin{aligned} & -\frac{1}{3} \int \text{Tr} \left((uAu^{-1} + udu^{-1})^3 \right) ds^3 = \\ & -\frac{1}{3} \int \text{Tr} (A^3) ds^3 - \frac{1}{3} \int \text{Tr} \left((udu^{-1})^3 \right) ds^3 - \int \text{Tr} (udu^{-1}uA^2u^{-1}) ds^3 + \int \text{Tr} (duAdu^{-1}) ds^3. \end{aligned} \quad (1.198)$$

Regroupant tous les termes, on obtient

$$\begin{aligned} S_{CS}[uAu + udu^{-1}] &= S_{CS}[A] + \Gamma[u] \\ &+ \int \text{Tr} \left(udu^{-1}uF_1u^{-1} - udu^{-1}uA^2u^{-1} + duAdu^{-1} \right) ds^3. \end{aligned}$$

L'intégrand du second membre de cette équation est un représentant de

$$\begin{aligned} udu^{-1}uF_1u^{-1} - udu^{-1}uA^2u^{-1} + duAdu^{-1} &= udu^{-1}udAu^{-1} + duAdu^{-1} \\ &= -dudAu^{-1} + duAdu^{-1} \\ &= -dud(Au^{-1}) \\ &= -d(u d(Au^{-1})). \end{aligned} \quad (1.199)$$

Puisque c'est le représentant d'une dérivée totale, par application de la condition de fermeture, on a

$$\int \text{Tr} \left(udu^{-1}uF_1u^{-1} - udu^{-1}uA^2u^{-1} + duAdu^{-1} \right) ds^3 = 0, \quad (1.200)$$

ce qui prouve que

$$S_{CS}[uAu + udu^{-1}] = S_{CS}[A] + \Gamma[u]. \quad (1.201)$$

□

De plus, nous pouvons interpréter $\Gamma[u]$ comme un couplage entre un cocycle cyclique et le groupe $K_1(\mathcal{A})$, ce qui assure sa stabilité par déformation (cf Appendice C).

Proposition 1.3.13 *Sous les hypothèses du théorème précédent, $\Gamma[u]$ ne dépend que de la classe de u dans $K_1(\mathcal{A}) = \pi_0(U_\infty(\mathcal{A}))$.*

Démonstration:

La condition de fermeture nous montre que Φ défini par

$$\Phi(a_0, a_1, a_2, a_3) = \int (a_0 [\mathcal{D}, a_1] [\mathcal{D}, a_2] [\mathcal{D}, a_3]) ds^3, \quad (1.202)$$

est un cocycle cyclique sur \mathcal{A} qui s'étend à $M_N(\mathcal{A})$ à l'aide du produit "cup" avec la trace pour donner le cocycle cyclique

$$\tilde{\Phi}(a_0, a_1, a_2, a_3) = \int \text{Tr} (a_0 [\mathcal{D}, a_1] [\mathcal{D}, a_2] [\mathcal{D}, a_3]) ds^3. \quad (1.203)$$

Par conséquent $\tilde{\Phi}(u-1, u^{-1}-1, u-1, u^{-1}-1)$ ne dépend que de la classe de u dans le groupe $K_0(\mathcal{A})$.

Pour terminer, il nous suffit de remarquer que $\Gamma[u] = 1/3\tilde{\Phi}(u, u^{-1}-1, u-1, u^{-1}-1)$ car on a

$$(udu^{-1})^3 = -udu^{-1}dudu^{-1} = -ud(u^{-1}-1)d(u-1)d(u^{-1}-1), \quad (1.204)$$

et que par application de la condition de fermeture,

$$\tilde{\Phi}(1, u^{-1}, u, u^{-1}) = \int \text{Tr} (1, u^{-1}, u-1, u^{-1}-1) ds^3 = 0, \quad (1.205)$$

ce qui prouve que

$$\Gamma[u] = \frac{1}{3}\tilde{\Phi}(u-1, u^{-1}-1, u-1, u^{-1}-1). \quad (1.206)$$

A un facteur de normalisation, $\Gamma[u]$ est égal au couplage d'un cocycle cyclique avec un unitaire u . Par conséquent, $\Gamma[u]$ ne dépend que de u dans $K^1(\mathcal{A}) = \pi_0(U_\infty(\mathcal{A}))$. \square

En conséquence, lorsque la transformation de jauge est située dans la composante connexe de l'identité, $\Gamma[u] = 0$ et l'action de Chern-simons est invariante sous cette transformation.

Toutefois, nous ne pouvons pas montrer en toute généralité que $\Gamma[u]$ est proportionnel à un entier. Cependant, $\Gamma[u]$ ne peut prendre qu'un nombre réstreint de valeurs lorsque u parcourt tout le groupe des unitaires de $M_N(\mathcal{A})$.

Corollaire 1.3.1 *Lorsque l'algèbre \mathcal{A} est séparable, $\Gamma[u]$ ne prend qu'un nombre dénombrable de valeurs.*

En effet, lorsque \mathcal{A} est séparable, $K_1(\mathcal{A})$ est dénombrable; les C^* -algèbres séparables jouant le rôle des espaces topologiques métrisables (cf Appendices A et B).

1.4 La formule de l'indice

1.4.1 Le problème de l'indice

En géométrie différentielle classique, on peut montrer qu'en dimension 4 la borne inférieure de l'action de Yang-Mills est proportionnelle à un nombre entier. De même, en dimension 3,

les seules valeurs de la fonction $\Gamma[u]$ apparaissant dans l'invariance de jauge de l'action de Chern-Simons sont des multiples entiers d'une certaine constante numérique.

Pour étendre ces résultats au cas non commutatif, il est utile de relier ces quantités à l'indice d'un certain opérateur, en suivant une démarche analogue à celle employée par J. Bellissard dans son étude de l'effet Hall quantique [Bel]. Commençons par rappeler certaines notions concernant l'indice d'un opérateur [G].

Définition 1.4.1 *Soit \mathcal{H} un espace de Hilbert et T un opérateur borné sur \mathcal{H} . On dit que T est un opérateur de Fredholm si $\ker T$ et $\ker T^*$ sont de dimension finie et on appelle indice de T la différence $\dim \ker T - \dim \ker T^*$.*

La caractérisation suivante des opérateurs de Fredholm se révèle très utile dans notre contexte.

Proposition 1.4.1 *Un opérateur borné T est un opérateur de Fredholm si et seulement si il existe un opérateur borné S tels que $TS - 1$ et $ST - 1$ soient des opérateurs compacts.*

Pour pouvoir déterminer explicitement l'indice d'un opérateur, il est commode d'introduire pour tout espace de Hilbert \mathcal{H} et tout réel $p \geq 1$ l'ensemble $L^p(\mathcal{H})$ formé des opérateurs compacts tels que la série $\sum_n (\lambda_n)^p$ converge, où $(\lambda_n)_{n \in \mathbb{N}}$ désigne la suite des valeurs propres décroissantes de $|T| = \sqrt{TT^*}$. Si $T \in L^p(\mathcal{H})$, pour toute base hilbertienne $(e_n)_{n \in \mathbb{N}}$ la série $\sum_n \langle e_n, T^p e_n \rangle$ est convergente et sa somme, qui ne dépend pas de la base choisie, est notée $\text{Tr}(T^p)$. On démontre alors le résultat suivant [Si].

Proposition 1.4.2 *$L^p(\mathcal{H})$ est un idéal bilatère de l'algèbre des opérateurs bornés sur \mathcal{H} et on a,*

$$L^p(\mathcal{H})L^q(\mathcal{H}) \subset L^r(\mathcal{H}) \quad (1.207)$$

pour tous nombres réels p, q et $r \leq 1$ tels que $\frac{1}{p} + \frac{1}{q} = \frac{1}{r}$, ainsi que $L^p(\mathcal{H}) \subset L^q(\mathcal{H})$ si $p \geq q$.

Les idéaux $L^p(\mathcal{H})$ sont appelés idéaux de Schatten. Bien entendu, $L^1(\mathcal{H})$ est formé des opérateurs à trace. Il est important de remarquer que cette définition fait appel à la trace usuelle et non à la trace de Dixmier et il ne faut pas confondre les éléments de $L^p(\mathcal{H})$ avec les infinitésimaux d'ordre p .

Si nous supposons que les valeurs propres des opérateurs compacts $TS - 1$ et $ST - 1$ décroissent suffisamment rapidement pour que la trace de leur puissance p -ième existe, nous obtenons une expression explicite de l'indice de T [C2].

Proposition 1.4.3 *Soient $p \geq 1$, T et S deux opérateurs bornés tels que $TS - 1 \in L^p(\mathcal{H})$ et $ST - 1 \in L^p(\mathcal{H})$. Alors T est un opérateur de Fredholm et pour tout entier $n \geq p$ on a*

$$\text{Ind}(T) = \text{Tr}(1 - ST)^n - \text{Tr}(1 - TS)^n. \quad (1.208)$$

Nous ne pouvons pas appliquer directement le résultat précédent à un triplet spectral $(\mathcal{A}, \mathcal{H}, \mathcal{D})$ car l'opérateur de Dirac est un opérateur non borné. En fait, la formulation du théorème de l'indice en géométrie non commutative fait appel à la notion de module de Fredholm.

Définition 1.4.2 *Soit \mathcal{A} une algèbre involutive. Un module de Fredholm sur \mathcal{A} est un couple (\mathcal{H}, F) , où \mathcal{H} est un espace de Hilbert sur lequel \mathcal{A} a une représentation π et F est une isométrie hermitienne telle que $[F, \pi(x)]$ soit compact pour tout $x \in \mathcal{A}$.*

Pour pouvoir être utilisée dans notre contexte, cette définition doit être affinée en introduisant la parité et la dimension.

Définition 1.4.3 *Un module de Fredholm (\mathcal{H}, F) sur une algèbre involutive \mathcal{A} est pair s'il existe une involution hermitienne γ telle que $\gamma F + F\gamma = 0$, $\gamma\pi(x) = \pi(x)\gamma$ pour tout $x \in \mathcal{A}$. Pour tout entier $p \geq 1$, (\mathcal{H}, F) est dit p -sommable si, pour tout $x \in \mathcal{A}$, $[F, \pi(x)] \in L^p(\mathcal{H})$.*

L'introduction de la notion de module de Fredholm est motivée par le théorème suivant, qui forme la première partie du théorème de l'indice en géométrie non commutative [C2].

Théorème 1.4.1 *Soit \mathcal{A} une algèbre involutive et (\mathcal{H}, F) un module de Fredholm $n+1$ -sommable sur \mathcal{A} . En remplaçant \mathcal{H} par $\mathcal{H} \otimes \mathbb{C}^N$ et F par $F \otimes I_N$ nous définissons un module de Fredholm sur $M_N(\mathcal{A})$ encore noté (\mathcal{H}, F) . De plus, si n est pair nous supposons que (\mathcal{H}, F) est pair et nous notons $F^+ = \frac{\gamma-1}{2}F\frac{\gamma+1}{2}$ et si n est impair nous notons $P = \frac{1+F}{2}$. Alors on a, en omettant la représentation π :*

1. *si n est pair, pour tout $e \in M_N(\mathcal{A})$ tel que $e^2 = e^* = e$, eF^+e est un opérateur de Fredholm et son indice est donné par*

$$\text{Ind}(eF^+e) = (-1)^p \text{Tr} \left(\gamma e [F, e]^{2p} \right) \quad (1.209)$$

pour tout entier $p > (n+1)/2$.

2. *si n est impair, alors pour tout unitaire $u \in M_N(\mathcal{A})$, PuP est un opérateur de Fredholm sur $\mathcal{H}' = P\mathcal{H}$ et son indice est donné par*

$$\text{Ind}(PuP) = (-1)^{p+1} \frac{1}{2^{2p-1}} \text{Tr} \left((u-1)[F, u^{-1}-1] \underbrace{[F, u-1][F, u^{-1}-1] \dots [F, u-1][F, u^{-1}-1]}_{2p-2 \text{ termes}} \right) \quad (1.210)$$

pour tout entier $p > \frac{n+1}{2}$.

Démonstration:

La démonstration de ce résultat se trouve dans [C5] lorsque n est pair, le cas impair étant laissé en exercice. Nous nous occuperons de ce dernier, en nous inspirant des méthodes développées dans [C5] et [C2].

Définissons deux opérateurs de \mathcal{H}' par $T = PuP$ et $S = Pu^*P$. Il vérifient

$$ST - 1_{\mathcal{H}'} = Pu^*PuP - P = P[P, u^*][P, u] \quad (1.211)$$

ainsi que

$$TS - 1_{\mathcal{H}'} = PuPu^*P - P = P[P, u][P, u^*]. \quad (1.212)$$

Puisque le module est $n+1$ -sommable, par la proposition 1.4.2 $P[P, u^*][P, u]$ et $P[P, u][P, u^*]$ sont des éléments de $L^{\frac{n+1}{2}}(\mathcal{H})$. De plus, \mathcal{H}' est stable par ces opérateurs et leur action sur le supplémentaire orthogonal de \mathcal{H}' dans \mathcal{H} est triviale. Par conséquent, on peut les considérer comme des éléments de $L^{\frac{n+1}{2}}(\mathcal{H}')$, et on a, par la proposition 1.4.3,

$$\text{Ind}(T) = \text{Tr}_{\mathcal{H}'} (1_{\mathcal{H}'} - ST)^p - \text{Tr}_{\mathcal{H}'} (1_{\mathcal{H}'} - TS)^p, \quad (1.213)$$

pour tout entier $p > \frac{n+1}{2}$. Cela s'écrit aussi sous la forme

$$\text{Ind}(PuP) = (-1)^p \text{Tr} (P[P, u^*][P, u])^p - (-1)^p \text{Tr} (P[P, u][P, u^*])^p, \quad (1.214)$$

où la trace est à prendre dans \mathcal{H} .

Puisque P est un projecteur, on a $P[P, u]P = 0$ et $P[P, u^*]P = 0$ ce qui implique que $P[P, u^*][P, u]P = P[P, u^*][P, u]$ et que $P[P, u][P, u^*]P = P[P, u][P, u^*]$. On a donc

$$\text{Ind}(\text{PuP}) = (-1)^p \text{Tr}(PQ[P, u]) - (-1)^p \text{Tr}(P[P, u]Q) \quad (1.215)$$

avec

$$Q = [P, u^*] ([P, u][P, u^*])^{p-1}. \quad (1.216)$$

Le module de Fredholm étant $n + 1$ -sommable, on a $Q \in L^{\frac{n+1}{2p-1}} \subset L^1(\mathcal{H})$ ce qui prouve que Q est un opérateur à trace, d'où

$$\begin{aligned} \text{Ind}(\text{PuP}) &= (-1)^p \text{Tr}([P, u]PQ) - (-1)^p \text{Tr}(P[P, u]Q) \\ &= (-1)^p (2\text{Tr}(\text{PuP}Q) - \text{Tr}(\text{Pu}Q) - \text{Tr}(\text{uP}Q)). \end{aligned} \quad (1.217)$$

De plus on a

$$\begin{aligned} P[P, u][P, u^*] &= [P, u][P, u^*] - [P, u]P[P, u^*] \\ &= [P, u][P, u^*] - [P, u][P, u^*] + [P, u][P, u^*]P \\ &= [P, u][P, u^*]P, \end{aligned} \quad (1.218)$$

puisque $P^2 = P$. On en déduit que

$$\begin{aligned} PQ &= P[P, u^*] ([P, u][P, u^*])^{p-1} \\ &= [P, u^*] ([P, u][P, u^*])^{p-1} - [P, u^*]P ([P, u][P, u^*])^{p-1} \\ &= [P, u^*] ([P, u][P, u^*])^{p-1} - [P, u^*] ([P, u][P, u^*])^{p-1} P \\ &= Q(1 - P), \end{aligned} \quad (1.219)$$

ce qui implique que $\text{Tr}(\text{PuP}Q) = 0$ et $\text{Tr}(\text{uP}Q) = \text{Tr}((1 - P)\text{u}Q)$. On en déduit que

$$\text{Ind}(\text{PuP}) = -(-1)^p \text{Tr}(\text{Pu}Q) - (-1)^p \text{Tr}((1 - P)\text{u}Q) = (-1)^{p+1} \text{Tr}(\text{u}Q). \quad (1.220)$$

En utilisant la relation $PQ = Q(1 - P)$, on montre que $\text{Tr}(Q) = 0$, ce qui implique que

$$\text{Ind}(\text{PuP}) = (-1)^{p+1} \text{Tr} \left((\text{u} - 1) \underbrace{[P, u^* - 1][P, u - 1] \dots [P, u - 1][P, u^* - 1]}_{2p-1 \text{ termes}} \right). \quad (1.221)$$

Finalement, en utilisant $P = (1 + F)/2$, il vient

$$\text{Ind}(\text{PuP}) = \frac{(-1)^{p+1}}{2^{2p-1}} \text{Tr} \left((\text{u} - 1) \underbrace{[F, u^* - 1][F, u - 1] \dots [F, u - 1][F, u^* - 1]}_{2p-1} \right), \quad (1.222)$$

ce qui est bien le résultat annoncé. \square

Ces relations sont très similaires aux relations apparaissant dans la définition du couplage entre la K-théorie et la cohomologie cyclique périodique. En fait, on peut construire à l'aide d'un module de Fredholm une suite de cocycles cycliques [C5].

Proposition 1.4.4 *Soit (\mathcal{H}, F) un module de Fredholm $(n+1)$ -sommable ayant la même parité que n . Alors pour tout entier m , les relations suivantes définissent des $n+2m$ -cocycles cycliques sur \mathcal{A}^{n+2m+1} :*

$$\begin{aligned}\tau_{n+2m}(a_0, a_1, \dots, a_{n+2m}) &= \text{Tr}'(\gamma a_0[F, a_1] \dots [F, a_{n+2m}]) \text{ si } n \text{ est pair,} \\ \tau_{n+2m}(a_0, a_1, \dots, a_{n+2m}) &= \text{Tr}'(a_0[F, a_1] \dots [F, a_{n+2m}]) \text{ si } n \text{ est impair,}\end{aligned}$$

où $\text{Tr}'(T) = \frac{1}{2}\text{Tr}(F(FT + TF))$.

Nous utilisons Tr' au lieu de la trace ordinaire pour pouvoir définir τ_n ; lorsque $m > 0$ on peut remplacer Tr' par Tr dans la définition de τ_{n+2m} . Tous les termes de cette suite de cocycles sont reliés par l'opérateur de périodicité S (cf §Appendice C).

Proposition 1.4.5 *Les cocycles précédents satisfont à la relation*

$$\tau_{n+2m+2} = -\frac{2}{n+2m+2} S \tau_{n+2m}, \quad (1.223)$$

où $S : HC^{n+2m}(\mathcal{A}) \rightarrow HC^{n+2m+2}$ est l'opérateur de périodicité.

Cela nous amène naturellement à changer les normalisations de ces cocycles de manière à pouvoir définir une classe en cohomologie cyclique périodique.

Définition 1.4.4 *Le caractère de Chern du module de Fredholm est la classe de cohomologie cyclique périodique définie par les cocycles suivants*

$$\begin{aligned}\phi_p(a_0, a_1, \dots, a_p) &= (-1)^{\frac{p(p-1)}{2}} \Gamma(p/2 + 1) \tau_p(a_0, a_1, \dots, a_p) \text{ si } p \text{ est pair,} \\ \phi_p(a_0, a_1, \dots, a_p) &= \sqrt{2i} (-1)^{\frac{p(p-1)}{2}} \Gamma(p/2 + 1) \tau_p(a_0, a_1, \dots, a_p) \text{ si } p \text{ est impair,}\end{aligned}$$

pour tout entier $p = n + 2m$ et tous $a_0, \dots, a_p \in \mathcal{A}$.

On peut alors aisément vérifier le résultat suivant.

Proposition 1.4.6 *Lorsque n est pair (resp. impair), l'indice de eF^+e (resp. PuP) est obtenu en couplant le caractère de Chern avec $K_0(\mathcal{A})$ (resp. $K_1(\mathcal{A})$).*

Nous allons maintenant appliquer ces résultats aux triplets spectraux en suivant la procédure donnée dans [C5] et [C2]. La première étape consiste à associer à tout triplet spectral $(\mathcal{A}, \mathcal{H}, \mathcal{D})$ de dimension n un module de Fredholm (\mathcal{H}', F) $n+1$ -sommable et ayant la même parité que n . Puisque la résolvente de \mathcal{D} est compacte, le noyau de \mathcal{D} est de dimension finie et nous désignons par \mathcal{H}_1 le supplémentaire orthogonal de $\ker \mathcal{D}$ dans \mathcal{H} .

Dans le cas impair nous définissons $\mathcal{H}' = \mathcal{H}$ et sur \mathcal{H}_1 nous pouvons écrire $\mathcal{D} = |\mathcal{D}|F$, avec F unitaire tel que $F^2 = 1$. Dans le cas pair nous posons $\mathcal{H}' = \mathcal{H} \oplus \ker \mathcal{D} = \mathcal{H}_1 \oplus \ker \mathcal{D} \oplus \ker \mathcal{D}$. Nous définissons F par la décomposition polaire $\mathcal{D} = |\mathcal{D}|F$ sur \mathcal{H}_1 et F échange simplement les deux facteurs $\ker \mathcal{D}$, la chiralité étant opposée sur le second facteur de manière à avoir $\gamma F + F \gamma = 0$. On montre alors le résultat suivant [C5].

Proposition 1.4.7 *Le module de Fredholm (\mathcal{H}', F) est $n+1$ -sommable.*

Nous pouvons ainsi, au moins en principe, utiliser le caractère de Chern pour relier certaines quantités à l'indice d'un opérateur et montrer de la sorte leur intégralité. Cependant, que ce soit en dimension 3 avec l'action de Chern-Simons ou en dimension 4 avec la théorie de Yang-Mills, les quantités que nous avons rencontrées faisaient intervenir l'opérateur de Dirac à la place de F et la trace de Dixmier à la place de la trace usuelle. Malheureusement, on ne peut obtenir de la sorte que la classe de cohomologie de Hochschild du caractère de Chern [C5].

Proposition 1.4.8 *Soit $(\mathcal{A}, \mathcal{H}, \mathcal{D})$ un triplet spectral de dimension n . La relation suivante définit un cocycle de Hochschild*

$$\psi(a_0, \dots, a_n) = \mu_n \operatorname{Tr}_\omega (\gamma \pi(a_0) [\mathcal{D}, \pi(a_1)] \dots [\mathcal{D}, \pi(a_n)]), \quad (1.224)$$

avec

$$\begin{aligned} \mu_n &= (-1)^{\frac{n(n-1)}{2}} \Gamma(n/2 + 1) \text{ si } n \text{ est pair,} \\ \mu_n &= \sqrt{2i} (-1)^{\frac{n(n-1)}{2}} \Gamma(n/2 + 1) \text{ si } n \text{ est impair,} \end{aligned}$$

qui appartient à la classe de cohomologie de Hochschild du caractère de Chern. □

Lorsque ψ est un cocycle cyclique, son évaluation sur des projecteurs ou des unitaires ne dépend que de leur classe dans les groupes de K-théorie, les nombres complexes ainsi obtenus sont donc relativement stables par déformation.

Malheureusement, ce cocycle n'est pas suffisant pour déterminer le caractère de Chern puisqu'il est l'image de ce dernier par l'application I qui est l'inclusion du complexe de cohomologie cyclique dans le complexe de Hochschild. Il nous manque donc d'éventuelles composantes du caractère de Chern qui sont situées dans le noyau de I (Appendice C).

Si c est un cycle de Hochschild, alors le couplage $\Psi(c)$ est égal au caractère de Chern évalué en c . En dimension 1, il est clair que

$$c = (u - 1) \otimes (u^{-1} - 1) \quad (1.225)$$

est un cycle de Hochschild pour tout unitaire $u \in M_N(\mathcal{A})$. Puisque Ψ est dans la classe de cohomologie de Hochschild du caractère de Chern, il ne diffère que par un bord et leur couplage avec c est identique. En tenant compte de toutes les normalisations, on a

$$\operatorname{Ind}(\operatorname{PuP}) = \frac{1}{2} \operatorname{Tr}_\omega \left((u - 1) [\mathcal{D}, u^{-1}] |\mathcal{D}|^{-1} \right), \quad (1.226)$$

ce qui nous donne une forme particulièrement simple du théorème de l'indice en dimension 1.

Exemple 1.4.1

Considérons le triplet spectral de dimension 1 correspondant aux fonctions sur le cercle S^1 de longueur 1. Autrement dit, nous prenons $\mathcal{A} = C^\infty(S^1)$ qui agit par multiplication sur $\mathcal{H} = L^2(S^1)$ et $\mathcal{D} = 2\pi i \frac{d}{dt}$, où t est la coordonnée usuelle sur S^1 obtenue en identifiant les fonctions de $C^\infty(S^1)$ avec les fonctions indéfiniment dérivables de période 1.

La trace de Dixmier est proportionnelle à l'intégrale (le coefficient de proportionnalité étant $1/\pi$ en dimension 1) et on a

$$\operatorname{Tr}_\omega \left(f_0 [\mathcal{D}, f_1] |\mathcal{D}|^{-1} \right) = 2i \int_0^1 f_0 \frac{d}{dt} f_1. \quad (1.227)$$

Les modes de Fourier $e_n = e^{inx}$ forme une base Hilbertienne de \mathcal{H} dans laquelle l'opérateur F est simplement donné par $F e_n = \operatorname{sign}(n) e_n$, ce qui implique que $P e_n = e_n$ si $n \geq 0$ et $P e_n = 0$ si $n < 0$.

Vérifions le théorème de l'indice pour l'unitaire $u = e^{inx}$. L'opérateur PuP transforme le vecteur e_k avec $k \geq 0$ en e_{n+k} si $n+k \geq 0$ et en 0 si $n+k < 0$. Par conséquent, il est injectif si

$n \leq 0$, et si $n > 0$, son noyau est de dimension n et engendré par $(e_0, e_1, \dots, e_{n-1})$. De même, on étudie Pu^*P en changeant n en $-n$. On obtient

$$\text{Ind}(\text{PuP}) = \dim \ker \text{PuP} - \dim \ker \text{Pu}^*P = n. \quad (1.228)$$

D'autre part, on a $\frac{d}{dt}u^* = -inu^*$, ce qui donne

$$2i \int_0^1 u \frac{d}{dt}u^* = 2n, \quad (1.229)$$

d'où, puisque la trace de Dixmier n'est autre que l'intégration,

$$\text{Ind}(\text{PuP}) = n = \frac{1}{2} \text{Tr}_\omega \left((u[\mathcal{D}, u^{-1}]|\mathcal{D}|^{-1}) \right), \quad (1.230)$$

ce qui est bien le théorème de l'indice en dimension 1. ■

1.4.2 Spectre de dimension

Pour pouvoir être utilisé en pratique, le théorème de l'indice doit exprimer l'indice d'un certain opérateur non pas à l'aide de la trace et de l'opérateur F , mais en fonction de la trace de Dixmier et de l'opérateur de Dirac. En règle générale, il ne sera pas possible de n'utiliser que la trace de Dixmier. Nous aurons besoin de généraliser cette dernière par l'intermédiaire de l'analogie du résidu de Wodzicki (cf Appendice A) pour un triplet spectral général [CM1].

En vue de généraliser le résidu de Wodzicki, nous devons supposer que les fonctions ζ construites à partir de l'opérateur de Dirac peuvent être continuées analytiquement sauf peut-être sur un sous-ensemble discret de \mathbb{C} .

Définition 1.4.5 Soit $(\mathcal{A}, \mathcal{H}, \mathcal{D})$ un triplet spectral de dimension n . On dit que $(\mathcal{A}, \mathcal{H}, \mathcal{D})$ a un spectre de dimension discret $\Sigma \in \mathbb{C}$ si les fonctions définies par

$$\zeta_b(z) = \text{Tr}(b|\mathcal{D}|^{-z}) \quad (1.231)$$

lorsque la partie réelle de z est assez grande et pour tout b appartenant à l'algèbre \mathcal{B} engendrée par \mathcal{A} et $[\mathcal{D}, \mathcal{A}]$ et les commutateurs itérés $\delta^n(\pi(\mathcal{A}))$ et $\delta^n([\mathcal{D}, \mathcal{A}])$ avec $|\mathcal{D}|$, se prolongent analytiquement à \mathbb{C} privé de Σ . Nous supposons aussi que pour tout $z = s + it$ avec $s > 0$ la fonction $t \mapsto \Gamma(z)\zeta_b(z)$ est à décroissance rapide.

Par définition, le spectre de dimension est un sous-ensemble discret de \mathbb{C} qui correspond aux pôles simples des fonctions ζ généralisées dans le cas classique [G].

Il existe de nombreux triplets spectraux ayant un spectre de dimension simple comme par exemple le tore non commutatif, qui correspond à un cas particulier de produit croisé d'une variété riemannienne par le groupe engendré par une de ses isométries. Lorsqu'on fait le produit croisé par le groupe formé de tous les difféomorphismes, le triplet spectral ainsi obtenu a encore un spectre de dimension discret et correspond à "la géométrie invariante sous les difféomorphismes" [CM2].

On généralise alors le résidu de Wodzicki de la manière suivante.

Définition 1.4.6 Pour tout entier k et tout $b \in \mathcal{B}$, nous définissons

$$\tau_k(b) = \text{Res}_{z=0} z^k \zeta_b(2z). \quad (1.232)$$

Dans le cas commutatif, les pôles des fonctions ζ sont simples et nous avons un seul résidu τ_0 qui correspond au résidu de Wodzicki. Puisque ce dernier est une trace sur l'algèbre des opérateurs pseudodifférentiels qui étend la trace de Dixmier, τ_0 est également une trace.

Ce résultat se généralise dans le cas non commutatif [CM1]

Proposition 1.4.9 *Lorsque le spectre de dimension est simple, τ_0 est une trace sur \mathcal{B} .*

Lorsque certains de ces pôles sont multiples, seul le résidu d'ordre le plus élevé est une trace.

1.4.3 Théorème local de l'indice

Nous allons exprimer le caractère de Chern associé au triplet spectral $(\mathcal{A}, \mathcal{H}, \mathcal{D})$ à l'aide des résidus τ_k introduits au cours de la section précédente. Plus précisément, nous allons donner un cocycle dans le bicomplexe (b, B) (cf Appendice C) dont la classe de cohomologie cyclique périodique nous donne le caractère de Chern.

Si $(\mathcal{A}, \mathcal{H}, \mathcal{D})$ est un triplet spectral pair de dimension n ayant un spectre de dimension discret, nous définissons pour tout entier pair p compris entre 0 et n des cochaines ϕ_p sur $\mathcal{A}^{\otimes(p+1)}$ par

$$\phi_0(a_0) = \tau_{-1}(\gamma a_0) \quad (1.233)$$

avec $\tau_{-1}(b) = \operatorname{Res}_{z=0} z^{-1} \operatorname{Tr}(b|\mathcal{D}|^{-2z})$ pour tout $b \in \mathcal{B}$ et

$$\begin{aligned} \phi_p(a_0, a_1, \dots, a_p) = \\ \sum_{|k| \leq n-p, 0 \leq q \leq |k|+n/2} \frac{(-1)^k}{k_1! \dots k_p!} \alpha_k \sigma_q(|k| + p/2) \tau_q(\gamma a_0 (da_1)^{k_1} \dots (da_p)^{k_p} |\mathcal{D}|^{-(2|k|+p)}), \end{aligned}$$

où $\sigma_j(m)$ est défini par

$$\frac{\Gamma(m+z)}{\Gamma(1+z)} = \sum_{j=0}^{m-1} \sigma_j(m) z^j \quad (1.234)$$

et

$$\alpha_k = \frac{1}{(k_1+1)(k_1+k_2+1) \dots (k_1+k_2+\dots+k_p+p)} \quad (1.235)$$

et où $k = (k_1, \dots, k_n)$ est un multi-indice $|k| = k_1 + \dots + k_n$. De plus, nous désignons par ∇ la dérivation définie par $\nabla(T) = [\mathcal{D}^2, T]$ pour tout opérateur borné T et $T^k = \nabla^k(T)$. On a alors le résultat suivant [CM1].

Théorème 1.4.2 *Soit $(\mathcal{A}, \mathcal{H}, \mathcal{D})$ un triplet spectral de dimension n paire admettant un spectre de dimension discret. Alors les formules précédentes définissent, pour tout entier pair p inférieur ou égal à n , des cocycles cycliques ϕ_p dans le bicomplexe (b, B) dont la classe de cohomologie est le caractère de Chern du triplet spectral $(\mathcal{A}, \mathcal{H}, \mathcal{D})$.*

Il est remarquable que ces cocycles ne font intervenir qu'un nombre fini de résidus τ_k avec $k \leq n$, même si le spectre de dimension a des pôles d'ordre plus élevé. La démonstration de ce fait utilise des méthodes très similaires à celles du groupe de renormalisation (on utilise de façon essentielle l'invariance sous la transformation $\mathcal{D} \rightarrow \lambda \mathcal{D}$, avec $\lambda > 0$) [CM1].

Théorème 1.4.3 *Soit $e \in M_N(\mathcal{A})$. Alors pour $F = \frac{\mathcal{D}}{|\mathcal{D}|}$ on a*

$$\operatorname{Ind}(eF^+e) = \sum_{0 \leq 2m \leq n} \frac{(-1)^m (2m)!}{m!} \phi_m(e, \dots, e). \quad (1.236)$$

Démonstration:

Ce résultat n'a pas été énoncé dans [CM1] car il est une conséquence directe du résultat précédent. Nous allons cependant en donner la preuve car nous l'utiliserons ultérieurement.

Les cocycles ϕ_p sont des cocycles dans le bicomplexe (b, B) , c'est-à-dire qu'il vérifient $b\phi_p + B\phi_p = 0$ pour $p > 0$ et $B\phi_0 = 0$. Pour passer du bicomplexe (b, B) au complexe $(C_\lambda(\mathcal{A}), b)$ de la cohomologie cyclique périodique (cf Appendice C), nous devons changer la normalisation des cochaines $\phi_p \rightarrow (-1)^{\lfloor p/2 \rfloor} p! \phi_p$.

Nous pouvons alors utiliser les formules habituelles pour coupler les cochaines $(-1)^{\lfloor p/2 \rfloor} p! \phi_p$, avec $p = 2m$, au groupe $K_0(\mathcal{A})$ pour obtenir (cf Appendice C)

$$\text{Ind}(eF^+e) = \sum_{0 \leq 2m \leq n} \frac{(-1)^m (2m)!}{m!} \phi_m(e, \dots, e). \quad (1.237)$$

□

Il faut remarquer que toute la construction précédente suppose implicitement que le noyau de l'opérateur de Dirac \mathcal{D} est nul, car sinon la notation $|\mathcal{D}|^z$ n'a pas de sens pour z complexe. Dans le cas général, le noyau est un sous-espace de dimension finie et toutes les traces sont à prendre sur le supplémentaire orthogonal de $\ker \mathcal{D}$.

En dimension 4, ce théorème fait intervenir trois cochaines, ϕ_0 , ϕ_2 et ϕ_4 qui vérifient

$$\phi_0(e) - 2\phi_2(e, e, e) + 12\phi_4(e, e, e, e, e) \in \mathbb{Z}. \quad (1.238)$$

Dans le cas général, seul ϕ_4 peut être relié directement au minorant de l'action de Yang-Mills que nous avons étudié (cf §1.3.4). Aussi nous ne pouvons pas prouver de la sorte la quantification de ce minorant en toute généralité.

Toutefois, nous montrerons qu'un tel résultat peut aisément être obtenu dans le cas du tore non commutatif, en vérifiant que dans ce cas les cocycles ϕ_0 et ϕ_2 sont identiquement nuls.

1.4.4 Théorème de l'indice en dimension impaire

De la même manière, on peut obtenir une formule locale du théorème de l'indice pour un triplet spectral $(\mathcal{A}, \mathcal{H}, \mathcal{D})$ impair [CM1].

Comme dans le cas pair, nous définissons, pour tout entier p impair compris entre 1 et n , des cochaines ϕ_p sur $\mathcal{A}^{\otimes(p+1)}$ par

$$\phi_p(a_0, a_1, \dots, a_p) = \sum_{|k| \leq n-p, 0 \leq q \leq |k|+n/2} \frac{(-1)^k}{k_1! \dots k_p!} \alpha_k \sigma_q(|k| + p/2) \tau_q(a_0 (da_1)^{k_1} \dots (da_p)^{k_p} |\mathcal{D}|^{-(2|k|+p)}). \quad (1.239)$$

A part $\sigma_j(m)$ qui est défini par

$$\prod_{l=0}^{m-1} \left(z + \frac{2l+1}{2} \right) = \sum_{j=0}^{m-1} \sigma_{m-j}(m) z^j, \quad (1.240)$$

toutes les autres notations sont identiques à celles introduites au cours de la section précédente.

Théorème 1.4.4 *Soit $(\mathcal{A}, \mathcal{H}, \mathcal{D})$ un triplet spectral de dimension n impaire admettant un spectre de dimension discret. Alors les formules précédentes définissent des cocycles cycliques dans le bicomplexe (b, B) ayant la même classe que le caractère de Chern.*

En couplant ces cocycles au groupe $K_1(\mathcal{A})$, on obtient la version impaire du théorème de l'indice :

Théorème 1.4.5 *Soit $u \in M_N(\mathcal{A})$ un unitaire. Alors on a*

$$\text{Ind}(\text{PuP}) = \frac{1}{\sqrt{2i\pi}} \sum_{0 \leq 2m+1 \leq n} (-1)^m m! \phi_m \underbrace{(u, u^{-1}, \dots, u, u^{-1})}_{2m \text{ fois}}, \quad (1.241)$$

avec $P = \frac{1}{2}(1 + F)$ et $F = \mathcal{D}/|\mathcal{D}|$.

Exemple 1.4.2

L'exemple le plus simple est celui d'un triplet spectral de dimension 1. Dans ce cas, le seul cocycle non nul est

$$\phi_1(a_0, a_1) = \sqrt{2i\pi} \text{Res}_{z=0} \text{Tr} \left(a_0 [\mathcal{D}, a_1] |\mathcal{D}|^{-1-2z} \right). \quad (1.242)$$

Ce cocycle correspond directement à la classe de Hochschild du caractère de Chern. Même si le spectre n'est pas simple, aucun des résidus d'ordre plus élevé n'apparaît dans la formule de l'indice. ■

Exemple 1.4.3

En dimension 3, il y a deux cocycles qui sont non nuls. Le premier est donné par

$$\begin{aligned} \frac{1}{\sqrt{2i\pi}} \phi_3(a_0, a_1, a_2, a_3) &= \frac{1}{12} \tau_0 \left(a_0 [\mathcal{D}, a_1] [\mathcal{D}, a_2] [\mathcal{D}, a_3] |\mathcal{D}|^{-3} \right) \\ &\quad - \frac{1}{6} \tau_1 \left(a_0 [\mathcal{D}, a_1] [\mathcal{D}, a_2] [\mathcal{D}, a_3] |\mathcal{D}|^{-3} \right) \end{aligned}$$

et fait intervenir le résidu d'ordre supérieur. Le second cocycle est ϕ_1 , donné par

$$\begin{aligned} \frac{1}{\sqrt{2i\pi}} \phi_1(a_1, a_2) &= \tau_0(a_0 [\mathcal{D}, a_1] |\mathcal{D}|^{-1}) - \frac{1}{4} \tau_0 \left(a_1 [\mathcal{D}^2, [\mathcal{D}, a_1]] |\mathcal{D}|^{-3} \right) \\ &\quad - \frac{1}{2} \tau_1 \left(a_1 [\mathcal{D}^2, [\mathcal{D}, a_1]] |\mathcal{D}|^{-3} \right) + \frac{1}{8} \tau_0 \left(a_1 [\mathcal{D}^2, [\mathcal{D}^2, [\mathcal{D}, a_1]]] |\mathcal{D}|^{-5} \right) \\ &\quad + \frac{1}{3} \tau_1 \left(a_1 [\mathcal{D}^2, [\mathcal{D}^2, [\mathcal{D}, a_1]]] |\mathcal{D}|^{-5} \right) + \frac{1}{12} \tau_2 \left(a_1 [\mathcal{D}^2, [\mathcal{D}^2, [\mathcal{D}, a_1]]] |\mathcal{D}|^{-5} \right). \end{aligned}$$

Lorsque le spectre de dimension est simple, les résidus τ_1 et τ_2 sont nuls et le théorème de l'indice nous donne

$$\begin{aligned} \text{Ind}(\text{PuP}) &= \tau_0(u [\mathcal{D}, u^{-1}] |\mathcal{D}|^{-1}) - \frac{1}{4} \tau_0 \left(u [\mathcal{D}^2, [\mathcal{D}, u^{-1}]] |\mathcal{D}|^{-3} \right) \\ &\quad + \frac{1}{8} \tau_0 \left(u [\mathcal{D}^2, [\mathcal{D}^2, [\mathcal{D}, u^{-1}]]] |\mathcal{D}|^{-5} \right) \\ &\quad - \frac{1}{12} \tau_0 \left(u [\mathcal{D}, u^{-1}] [\mathcal{D}, u] [\mathcal{D}, u^{-1}] |\mathcal{D}|^{-3} \right). \end{aligned}$$

Seul le dernier terme apparaît dans l'étude de l'invariance de jauge de l'action de Chern-Simons, aussi le théorème de l'indice ne nous permet-il pas de prouver en toute généralité son intégralité. ■

Avant de clore cette partie consacrée au théorème de l'indice, signalons que le calcul de tous ces cocycles devient rapidement très pénible car il y a de plus en plus de termes. En particulier, lorsque le triplet spectral correspond à "la géométrie invariante sous les difféomorphismes" [CM2], le classement de tous les termes obtenus fait apparaître une algèbre de Hopf \mathcal{H}_n .

Cette algèbre de Hopf, qui peut être décrite de manière diagrammatique à l'aide d'arbres dont on a isolé un des sommets ("rooted trees"), semble devoir être amenée à jouer un rôle central en géométrie non commutative et en théorie quantique des champs. En effet, cette algèbre de Hopf apparaît aussi dans la formule des forêts, qui permet de résoudre le difficile problème des divergences enchevêtrées [CK].

Faute de temps, nous ne décrivons pas ces derniers développements de la géométrie non commutative et de ses relations avec la théorie des champs. Nous renvoyons à l'article de Connes et Kreimer [CK] pour un exposé complet ainsi qu'à [KrW1], dans lequel nous proposons une modification du travail de Kreimer visant à tenir compte des divergences enchevêtrées de manière purement algébrique.

Chapitre 2

Classification des triplets spectraux finis

2.1 Les axiomes de la géométrie non commutative finie

2.1.1 Définition et premières conséquences

Parmi tous les exemples d'espaces topologiques, les plus simples sont les espaces finis, munis de la topologie discrète. Du point de vue de la géométrie non commutative, nous devons remplacer un espace par l'algèbre des fonctions à valeurs complexes définies sur cet espace. Dans le cas d'un ensemble fini à N points, cette algèbre n'est autre que l'algèbre \mathbb{C}^N , ce qui nous amène à considérer des triplets spectraux construits avec une algèbre \mathcal{A} de dimension finie. Plus généralement, nous supposerons que l'espace de Hilbert \mathcal{H} est de dimension finie, ce qui entraîne que $\pi(\mathcal{A})$ est de dimension finie même si \mathcal{A} est de dimension infinie.

D'autre part, il est clair que dans le cas classique un espace fini correspond à une "variété de dimension 0". Il semble donc naturel de supposer que le triplet spectral correspondant soit de dimension 0 au sens des axiomes précédents.

Cependant, il y a eu, au cours de l'histoire de la physique, de nombreuses tentatives d'approximation de l'espace infini et continu par un espace fini et discret. Pour développer cette approche dans le cadre de la géométrie non commutative, il nous faut donc approximer une variété de dimension n par un triplet spectral dont l'algèbre est de dimension finie. Au niveau algébrique cette démarche fonctionne admirablement bien dans le cas de la sphère, dont l'algèbre des coordonnées peut être approximée par une suite croissante d'algèbres de matrices qui forment la "sphère non commutative".

Bien entendu, il ne peut y avoir de "saut" de la dimension : les triplets spectraux qui réalisent l'approximation doivent être des triplets spectraux de dimension n . Nous allons voir que cette condition crée, dans le cadre des triplets spectraux finis, une obstruction fondamentale à une telle approximation. Énonçons d'abord le résultat suivant.

Proposition 2.1.1 *Il n'existe pas de triplet spectral de dimension $d > 0$ construit à l'aide d'un espace de Hilbert \mathcal{H} de dimension finie.*

Démonstration:

La démonstration de ce résultat passe par deux étapes. Nous allons d'abord montrer que si un tel triplet spectral existait, son algèbre serait une algèbre de matrices. En effet, puisque l'algèbre \mathcal{A} n'intervient que par l'intermédiaire de sa représentation π , nous pouvons, sans perte de généralité, remplacer \mathcal{A} par \mathcal{A}/\mathcal{I} , où \mathcal{I} est le noyau de π . L'algèbre involutive \mathcal{A}/\mathcal{I}

admet une représentation fidèle sur un espace de Hilbert de dimension finie, elle est donc une somme directe d'algèbres de matrices, comme cela découle du résultat suivant.

Proposition 2.1.2 *Toute algèbre involutive sur le corps des nombres complexes qui admet une représentation involutive et fidèle sur un espace de Hilbert de dimension finie est somme directe d'algèbres de matrices.*

Nous supposons donc que \mathcal{A} est une somme directe d'algèbres de matrices à coefficients complexes,

$$\mathcal{A} = \bigoplus_{i=1}^N M_{n_i}(\mathbb{C}). \quad (2.1)$$

D'après l'axiome d'*orientabilité*, la chiralité, que nous notons χ au lieu de γ dans le cas fini, doit être construite à l'aide d'un cycle de Hochschild de dimension d à valeurs dans l'algèbre $\mathcal{A} \otimes \mathcal{A}^{op}$. Plus précisément, χ doit être de la forme

$$\chi = \sum_i \pi(x_i) \mathcal{J} \pi(x'_i) \mathcal{J}^{-1} [\mathcal{D}, \pi(y_i^1)] \dots [\mathcal{D}, \pi(y_i^d)] \quad (2.2)$$

où x_i, x'_i et y_i^j sont des éléments de \mathcal{A} tels que

$$\sum_i \pi(x_i) \mathcal{J} \pi(x'_i) \mathcal{J}^{-1} \otimes \pi(y_i^1) \otimes \dots \otimes \pi(y_i^d) \quad (2.3)$$

soit un cycle de Hochschild à valeurs dans $\mathcal{A} \otimes \mathcal{A}^{op}$. Pour simplifier nos notations, nous résumons la relation précédente par $\chi = \pi(c)$, où c désigne un cycle de Hochschild. Or il est connu que l'homologie de Hochschild des algèbres de matrices est triviale pour des cycles de dimension $d > 0$. Ce résultat s'étend sans difficulté aux sommes directes d'algèbres de matrices ainsi qu'à l'homologie de Hochschild à valeurs dans $\mathcal{A} \otimes \mathcal{A}^{op}$, puisque la structure de bimodule n'agit que sur le facteur \mathcal{A} . Prendre le produit tensoriel avec \mathcal{A}^{op} équivaut donc simplement à prendre un certain nombre de copies de l'homologie de Hochschild des algèbres de matrices, qui est triviale en dimension $d > 0$. Par conséquent, c est en réalité un bord, ce qui mène à une contradiction. En effet, l'application

$$(x, y_0, \dots, y_d) \in \mathcal{A}^{d+2} \mapsto \text{Tr} \left(\chi \mathcal{J} \pi(x') \mathcal{J}^{-1} \pi(y_0) [\mathcal{D}, \pi(y_1)] \dots [\mathcal{D}, \pi(y_d)] \right), \quad (2.4)$$

où Tr désigne la trace ordinaire est un cocycle de Hochschild. La vérification de ce résultat est en tout point analogue à la démonstration que nous avons donnée dans le chapitre précédent, car le terme $\mathcal{J} \pi(x') \mathcal{J}^{-1}$ est central et ne joue aucun rôle. Lorsque nous évaluons un cocycle de Hochschild sur un cobord, nous trouvons 0, et donc

$$\dim \mathcal{H} = \text{Tr}(1) = \text{Tr}(\chi^2) = \text{Tr}(\chi \pi(c)) = 0, \quad (2.5)$$

ce qui est évidemment inacceptable. Ainsi, les triplets spectraux finis décrivent des espaces non commutatifs finis, et les axiomes correspondants sont obtenus en prenant la dimension égale à 0. \square

Parallèlement, peut-on concevoir des triplets spectraux de dimension 0 avec une algèbre et/ou un espace de Hilbert de dimension infinie? A priori, cela est possible et un tel triplet spectral pourrait décrire un espace non commutatif discret formé d'un nombre infini de "points". Cependant, cette notion est relativement peu naturelle car la plupart des axiomes ont une forme dégénérée lorsque $d = 0$. Par exemple, si l'espace de Hilbert est de dimension infinie, l'opérateur

de Dirac admet une infinité de valeurs propres non nulles λ_n , que l'on range dans le sens des modules croissants. Dans ce cas, l'axiome de *dimension* nous impose, en dimension d , d'avoir $|\lambda_n|^{-1} = O(n^{-1/d})$. Lorsque $d \rightarrow 0$, cela signifie que la suite $|\lambda_n|$ doit croître plus vite que n'importe quelle suite n^α pour $n \rightarrow +\infty$. Cela nous amène à choisir un opérateur de Dirac dont les valeurs propres ont une croissance de type exponentielle, ce qui n'est pas très naturel pour un opérateur devant jouer le rôle de la dérivation pour un espace discret, car cela exclut, par exemple, de construire un espace discret comme une somme infinie d'espace finis, avec un opérateur de Dirac qui est lui-même une somme directe de matrices, et donc un opérateur borné. Quoi qu'il en soit, nous ne considérerons que des espace finis, et nous supposons donc que l'algèbre \mathcal{A} et l'espace de Hilbert \mathcal{H} sont de dimension finie. Tout ceci motive la définition suivante.

Définition 2.1.1 *Un triplet spectral fini est un triplet spectral $(\mathcal{A}, \mathcal{H}, \mathcal{D})$ de dimension 0 tel que \mathcal{A} et \mathcal{H} soient de dimension finie.*

Dans ce cas, puisque \mathcal{H} est de dimension finie et que \mathcal{A} est une somme directe d'algèbres de matrices, il est clair que la plupart des axiomes de la géométrie non commutative se simplifie grandement. En particulier, tous les axiomes relatifs à l'analyse fonctionnelle (dimension, régularité et finitude) sont vérifiés. De plus, les trois autres axiomes (premier ordre, orientabilité, dualité de Poincaré et réalité) prennent une forme si simple qu'il est possible d'en donner la solution générale explicitement. Supposons donc donné un triplet spectral fini $(\mathcal{A}, \mathcal{H}, \mathcal{D})$ ainsi que, puisque la dimension est paire, un opérateur de chiralité χ . Bien entendu, nous supposons que l'algèbre \mathcal{A} et sa représentation sont linéaires sur \mathbb{C} . L'étude du cas réel se faisant de la même manière mais nécessitant des notations plus encombrantes, nous la renvoyons à la dernière partie de ce chapitre.

La plupart de résultats que nous allons exposer dans la suite se trouvent dans [Kr1] et [PS1].

2.1.2 Réalité

Pour pouvoir formuler l'analogue de la dualité de Poincaré en géométrie non commutative, il nous faut remplacer la structure de module de l'espace de Hilbert \mathcal{H} sur l'algèbre \mathcal{A} par une structure de bimodule. En effet, dans le cas commutatif, peut importe que nous multiplions les spineurs à droite ou à gauche par des fonctions, car nous obtenons toujours le même résultat. En géométrie non commutative, cela a une certaine importance et nous devons supposer que les multiplications à droite et à gauche sont des opérations qui commutent entre elles. En d'autres termes, l'espace de Hilbert doit être un bimodule sur l'algèbre, ce qui s'était déjà avéré nécessaire lors de la construction du modèle standard en géométrie non commutative [CL] pour pouvoir introduire les interactions fortes.

Cependant cette structure de bimodule n'est pas quelconque et nous supposons qu'il existe un opérateur \mathcal{J} permettant de relier l'action à droite à l'action à gauche qui est simplement donnée par la représentation π .

Axiome de réalité (dimension 0) *Il existe un opérateur \mathcal{J} qui est une involution antiunitaire sur \mathcal{H} (i.e. $\mathcal{J}^* = \mathcal{J}^{-1} = \mathcal{J}$) qui commute avec χ et telle que, pour tout $x, y \in \mathcal{A}$, on ait $[\pi(x), \mathcal{J}\pi(y)\mathcal{J}^{-1}] = 0$.*

Nous avons obtenu cet axiome à partir de l'axiome plus général, valable en dimension d , simplement en faisant $d = 0$. Il n'y a donc, au niveau de la structure réelle, aucune subtilité particulière de la dimension 0. Dans le cas du modèle standard, cet opérateur n'est autre que

l'opérateur antilinéaire qui échange particules et antiparticules, c'est pourquoi \mathcal{J} est appelé, en général, la conjugaison de charge.

En utilisant la conjugaison de charge, nous pouvons définir sur \mathcal{H} une structure de bimodule. L'action à gauche est donnée par

$$(x, \Psi) \in \mathcal{A} \times \mathcal{H} \mapsto x\Psi = \pi(x)\Psi, \quad (2.6)$$

tandis que l'action à droite est

$$(\Psi, y) \in \mathcal{H} \times \mathcal{A} \mapsto \mathcal{J}\pi(y^*)\mathcal{J}^{-1}\Psi. \quad (2.7)$$

Cela définit sur \mathcal{H} une structure de $(\mathcal{A}, \mathcal{A})$ -bimodule ou, de façon équivalente, une structure de $(\mathcal{A} \otimes \mathcal{A}^{op})$ -module. Ceci se vérifie aisément car, du fait de l'introduction de l'involution $*$, nous définissons bien une action à droite, qui commute avec l'action à gauche donnée par la représentation π du fait de la relation $[\pi(x), \mathcal{J}\pi(y)\mathcal{J}^{-1}] = 0$ pour tout $x, y \in \mathcal{A}$.

Sur un plan plus mathématique, \mathcal{J} est très voisin de l'involution de Tomita-Takesaki (cf Appendice A) car cet opérateur permet de relier, par conjugaison, l'algèbre $\pi(\mathcal{A})$ et son commutant $\pi(\mathcal{A})'$, puisque, suite à l'axiome de réalité, on a $\mathcal{J}\pi(\mathcal{A})\mathcal{J}^{-1} \subset \pi(\mathcal{A})'$. Cependant, nous n'avons pas en général l'égalité car il n'y a pas toujours de vecteur cyclique et séparateur.

Malgré tout, dans les cas les plus simples, la conjugaison de charge est exactement l'opérateur de Tomita-Takesaki. Par exemple, si nous choisissons $\mathcal{A} = M_n(\mathbb{C})$, agissant sur $\mathcal{H} = M_n(\mathbb{C})$ par simple multiplication à droite, nous pouvons prendre $\mathcal{J}(\Psi) = \Psi^*$ pour tout $\Psi \in \mathcal{H}$, car Ψ est une matrice $n \times n$. Il est facile de vérifier que l'axiome de réalité est satisfait. Pour démontrer que \mathcal{J} est l'opérateur de Tomita-Takesaki, nous devons construire un vecteur cyclique et séparateur Ψ_0 . Nous prenons $\Psi_0 = I_n$ (matrice identité $n \times n$), ce qui nous assure que Ψ_0 est cyclique puisque $\pi(\mathcal{A})\Psi_0 = M_n(\mathbb{C}) = \mathcal{H}$ et clairement séparateur. Dans ce cas, l'opérateur qui transforme, pour tout $x \in \mathcal{A}$, le vecteur $\Psi = x\Psi_0$ en le vecteur $x^*\Psi_0 = \Psi^*$ définit un opérateur de Tomita-Takesaki qui n'est autre que la conjugaison de charge \mathcal{J} . Ceci peut se généraliser à des triplets spectraux finis plus compliqués, mais si nous prenons $\mathcal{A} = M_n(\mathbb{C})$ agissant par multiplication à gauche sur $M_n(\mathbb{C}) \otimes \mathbb{C}^m$, où les éléments de \mathbb{C}^m sont laissés invariants, il n'existe pas de vecteur cyclique, donc pas d'opérateur de Tomita-Takesaki. Cependant, nous pouvons construire une conjugaison de charge \mathcal{J} , qui est égale à l'involution de Tomita-Takesaki sur les différentes composantes.

Enfin, signalons que nous avons énoncé l'axiome de réalité dans le cas non commutatif. La version commutative de cet axiome stipule simplement qu'il existe une involution antilinéaire \mathcal{J} telle que $\overline{\pi(x)} = \mathcal{J}\pi(x)\mathcal{J}^{-1}$ pour $x \in \mathbb{C}^N$. Un tel opérateur peut facilement être construit en choisissant simplement pour \mathcal{J} l'opérateur qui prend le conjugué complexe des composantes des vecteurs de \mathcal{H} , dans n'importe quelle base orthonormale. On peut considérer un triplet spectral fini avec l'algèbre commutative $\mathcal{A} = \mathbb{C}^N$ soit comme un triplet spectral commutatif, c'est-à-dire que l'on suppose que \mathcal{J} satisfait à la définition précédente, soit comme un triplet spectral non commutatif en imposant simplement l'axiome de réalité. Il est évident que la première condition est nettement plus restrictive que la seconde, et nous verrons au cours de ce chapitre que l'axiome commutatif ne permet pas, pour un triplet spectral fini, de construire des géométries intéressantes.

2.1.3 Orientabilité

Dans le cas général, l'axiome d'orientabilité nous assure de l'existence de l'analogie non commutatif de la notion de forme volume. Etant donné que, dans le cas commutatif, les

formes différentielles sont en tout point analogues aux cycles de Hochschild représentés comme opérateurs sur \mathcal{H} , il est naturel d'imposer que la forme volume soit, en dimension d , un cycle de Hochschild d'ordre d . Le rôle de la forme volume est joué par l'opérateur χ et nous supposons donc, en dimension 0, que χ est un cycle d'ordre 0, c'est-à-dire que l'on a $\chi = \pi(x)$ pour un certain $x \in \mathcal{A}$.

Cependant, cette construction est trop restrictive et n'est pas vérifiée par le modèle standard. C'est pourquoi on suppose que χ est l'image d'un cycle à valeurs dans le bimodule $\mathcal{M} = \mathcal{A} \otimes \mathcal{A}^{op}$, dont la structure de bimodule est donnée par

$$y(x \otimes x')y' = yxy' \otimes x', \quad (2.8)$$

pour tout $y, y' \in \mathcal{A}$ et $x \otimes x' \in \mathcal{A} \otimes \mathcal{A}^{op}$. Un élément $x \otimes y$ de \mathcal{M} est représenté comme opérateur sur \mathcal{H} par

$$\pi(x \otimes y) = \pi(x)\mathcal{J}\pi(y)\mathcal{J}^{-1}. \quad (2.9)$$

L'axiome d'orientabilité se formule donc, en dimension 0, comme suit.

Axiome d'orientabilité (dimension 0) *L'opérateur χ peut être écrit sous la forme $\chi = \sum_i \pi(x_i)\mathcal{J}\pi(y_i)\mathcal{J}^{-1}$ avec $x_i, y_i \in \mathcal{A}$.*

Dans le cas du modèle standard, χ est simplement un opérateur qui prend la valeur 1 pour les fermions droits et -1 pour les fermions gauches, c'est pourquoi on l'appelle, en général, la chiralité.

Cet axiome permet, comme nous allons le voir plus en détail, d'éliminer beaucoup de possibilités. En particulier, nous ne pouvons pas construire un opérateur de Dirac non trivial avec une algèbre simple $M_n(\mathbb{C})$. De même, si nous considérons un triplet spectral fini avec une algèbre commutative $\mathcal{A} = \mathbb{C}^N$, satisfaisant à l'axiome de réalité commutatif, alors on a $\chi = \pi(z)$ avec $z \in \mathcal{A}$. Nous verrons également que cette dernière relation interdit la construction d'un opérateur de Dirac non nul.

2.1.4 Dualité de Poincaré

Pour une variété compacte de dimension n , il existe un isomorphisme, non canonique si on ne choisit pas une métrique, entre les groupes de cohomologie d'ordre p et d'ordre $n - p$. L'existence de cet isomorphisme équivaut à dire que l'application bilinéaire

$$(f, g) \mapsto \int_V f \wedge g, \quad (2.10)$$

est non dégénérée.

Pour formuler cela en géométrie non commutative, on introduit en général le caractère de Chern qui définit un isomorphisme entre les groupes de cohomologie de de Rham et les groupes de K-théorie. Ainsi, la forme bilinéaire précédente est définie sur le groupe $K_*(\mathcal{A})$ et est appelée forme d'intersection.

Avant de donner une définition plus précise de la forme d'intersection, rappelons rapidement quelques éléments de K-théorie (cf Appendice B). Tout d'abord, grâce à la périodicité de Bott, les seuls groupes qui interviennent dans la pratique sont les groupes $K_0(\mathcal{A})$ et $K_1(\mathcal{A})$. Rappelons aussi, que pour les algèbres de matrices, on a $K_0(M_n(\mathbb{C})) = \mathbb{Z}$ et $K_1(M_n(\mathbb{C})) = 0$. On en déduit que si \mathcal{A} est somme directe de N algèbres de matrices, on a $K_0(\mathcal{A}) = \mathbb{Z}^N$ et $K_1(\mathcal{A}) = 0$.

Les générateurs du groupe abélien $K_0(\mathcal{A})$ sont donnés par les projections hermitiennes minimales non nulles de \mathcal{A} . Une projection est minimale si elle ne peut être écrite comme une

somme directe de plusieurs autres projections. Par conséquent, pour chaque facteur simple, nous définissons la projection p_i dont toutes les composantes sont nulles à l'exception de la i -ème, qui est une projection de rang 1 dans $M_{n_i}(\mathbb{C})$. Les projections $(p_i)_{1 \leq i \leq N}$ sont bien entendu linéairement indépendantes et minimales; elle forment donc un système de générateurs de $K_0(\mathcal{A})$.

Pour formuler la dualité de Poincaré dans le cas des triplets spectraux finis, nous devons calculer la forme d'intersection \cap dans ce cas particulier. Plus précisément, puisque \cap est une forme \mathbb{Z} -bilinéaire sur $K_0(\mathcal{A}) \times K_0(\mathcal{A})$, nous devons déterminer ses éléments de matrice $\cap_{ij} = \cap(p_i, p_j)$. Pour cela, partons de la définition générale de la forme d'intersection comme le couplage entre deux projections hermitiennes e et f par l'intermédiaire de l'indice de l'opérateur de Dirac,

$$\cap(e, f) = \text{Ind} \left[\pi(e) \mathcal{J} \pi(f) \mathcal{J}^{-1} \frac{1-\chi}{2} \mathcal{D} \frac{1+\chi}{2} \pi(e) \mathcal{J} \pi(f) \mathcal{J}^{-1} \right]. \quad (2.11)$$

En dimension finie, si \mathcal{O} est une application linéaire d'un espace de dimension p dans un espace de dimension q , son indice est

$$\text{Ind } \mathcal{O} = \dim \ker \mathcal{O} - \dim \ker \mathcal{O}^* \quad (2.12)$$

$$= p - \dim \text{Im } \mathcal{O} - (q - \dim \text{Im } \mathcal{O}^*) \quad (2.13)$$

$$= p - q. \quad (2.14)$$

L'indice est donc simplement la différence de dimension entre les espaces de départ et d'arrivée. Par conséquent on a

$$\begin{aligned} \cap(e, f) &= \dim \left[\frac{1+\chi}{2} \pi(e) \mathcal{J} \pi(f) \mathcal{J}^{-1} \mathcal{H} \right] \\ &\quad - \dim \left[\frac{1-\chi}{2} \pi(e) \mathcal{J} \pi(f) \mathcal{J}^{-1} \mathcal{H} \right]. \end{aligned} \quad (2.15)$$

Les opérateurs

$$\frac{1 \pm \chi}{2} \pi(e) \mathcal{J} \pi(f) \mathcal{J}^{-1} \quad (2.16)$$

sont des projections et la dimension de leur image est simplement donnée par leur trace. D'où

$$\cap(e, f) = \text{Tr} \left[\frac{1+\chi}{2} \pi(e) \mathcal{J} \pi(f) \mathcal{J}^{-1} \right] - \text{Tr} \left[\frac{1-\chi}{2} \pi(e) \mathcal{J} \pi(f) \mathcal{J}^{-1} \right] \quad (2.17)$$

$$= \text{Tr} \left(\chi \pi(e) \mathcal{J} \pi(f) \mathcal{J}^{-1} \right), \quad (2.18)$$

et

$$\cap_{ij} = \text{Tr} \left(\chi \pi(p_i) \mathcal{J} \pi(p_j) \mathcal{J}^{-1} \right), \quad (2.19)$$

ce qui nous donne la matrice de la forme d'intersection dans la base $(p_i)_{1 \leq i \leq N}$. Nous pouvons formuler la dualité de Poincaré en dimension 0 comme suit.

Dualité de Poincaré (dimension 0) *La matrice définie par $\cap_{ij} = \text{Tr} [\chi (\pi(p_i) \mathcal{J} \pi(p_j) \mathcal{J}^{-1})]$ a un déterminant non nul, où $p_i \in M_{n_i}(\mathbb{C})$ sont des projections autoadjointes de rang minimal de $M_{n_i}(\mathbb{C})$.*

Cette définition ne dépend pas du choix des projections de base $(p_i)_{1 \leq i \leq N}$, car si $(q_i)_{1 \leq i \leq N}$ est un autre système de générateurs de $K_0(\mathcal{A})$, alors il existe une matrice $M \in M_N(\mathbb{Z})$ de déterminant 1, permettant de passer d'un système à l'autre.

2.1.5 Condition d'ordre un

Au cours du chapitre consacré aux axiomes de la géométrie non commutative, nous avons formulé la notion d'opérateur différentiel en termes purement algébriques. Rappelons qu'en géométrie différentielle ordinaire, l'opérateur de Dirac est un opérateur différentiel du premier ordre. Ceci signifie que, en coordonnées locales, il ne contient que des dérivées du premier ordre par rapport à ces coordonnées. Par conséquent, si on écrit \mathcal{D} sous la forme $i\gamma^\mu\partial_\mu$, alors pour toute fonction f , on a $[\mathcal{D}, f] = i\gamma^\mu\partial_\mu f$, qui est un opérateur différentiel d'ordre 0 car il ne contient plus d'opération de dérivation. De ce fait, $[\mathcal{D}, f]$ est simplement un opérateur de multiplication par une certaine matrice et il satisfait à

$$[[\mathcal{D}, f], g] = 0 \quad (2.20)$$

pour toute fonction g . Ceci caractérise de façon purement algébrique les opérateurs différentiels d'ordre au plus 1, mais ne peut être généralisé à la géométrie non commutative de manière directe. En effet, nous avons supposé que l'opérateur $[\mathcal{D}, f]$ commute avec la multiplication par la fonction g ce qui n'est assurément pas le cas si l'algèbre des coordonnées est non commutative.

Par exemple, considérons l'algèbre $\mathcal{A} = M_n(\mathbb{C})$ représentée sur l'espace $\mathcal{H} = \mathbb{C}^n$. Soit $\mathcal{D} \in M_n(\mathbb{C})$ une matrice hermitienne, l'opérateur d défini pour $x \in \mathcal{A}$ par $d(x) = [\mathcal{D}, x]$ est une dérivation de l'algèbre \mathcal{A} et généralise de manière naturelle la notion de différenciation des fonctions. Cependant, la condition (2.20) n'est pas satisfaite, puisque

$$[[\mathcal{D}, x], y] + [x, [\mathcal{D}, y]] = [\mathcal{D}, [x, y]] \neq 0, \quad (2.21)$$

en général.

La généralisation de (2.20) utilise la structure de bimodule de \mathcal{H} . En fait, si \mathcal{M} et \mathcal{N} sont deux $(\mathcal{A}, \mathcal{B})$ -bimodules, où \mathcal{A} et \mathcal{B} sont deux algèbres, une application linéaire \mathcal{D} de \mathcal{M} dans \mathcal{N} est un opérateur du premier ordre si elle vérifie

$$\mathcal{D}(x\Psi y) = x\mathcal{D}(\Psi y) + \mathcal{D}(x\Psi)y - x\mathcal{D}(\Psi)y, \quad (2.22)$$

pour tout $\Psi \in \mathcal{M}$, tout $x \in \mathcal{A}$ et tout $y \in \mathcal{B}$. Cette notion d'opérateur différentiel du premier ordre a été développée dans [DuM], où on pourra aussi trouver la généralisation de la notion de symbole d'un opérateur différentiel en géométrie non commutative.

Appliquons cela à l'opérateur de Dirac. $\mathcal{D} : \mathcal{H} \rightarrow \mathcal{H}$ est un opérateur du premier ordre pour la structure de bimodule définie sur \mathcal{H} par l'axiome de réalité si et seulement si, pour tout $\Psi \in \mathcal{H}$ et tout $x, y \in \mathcal{A}$ on a

$$\begin{aligned} \mathcal{D}(\pi(x)\Psi\mathcal{J}\pi(y)\mathcal{J}^{-1}) &= \pi(x)\mathcal{D}(\mathcal{J}\pi(y)\mathcal{J}^{-1}\Psi) \\ + \mathcal{J}\pi(y)\mathcal{J}^{-1}\mathcal{D}(\pi(x)\Psi) - \pi(x)\mathcal{J}\pi(y)\mathcal{J}^{-1}\mathcal{D}(\Psi) &, \end{aligned} \quad (2.23)$$

Ceci peut être reformulé de la manière suivante.

Condition d'ordre un *L'opérateur de Dirac satisfait à $[[\mathcal{D}, \pi(x)], \mathcal{J}\pi(y)\mathcal{J}^{-1}] = 0$ pour tout $x, y \in \mathcal{A}$.*

Une première conséquence de cet axiome est la nullité de l'opérateur de Dirac pour un triplet spectral fini commutatif. Par commutatif, nous sous-entendons bien entendu le choix de l'algèbre commutative $\mathcal{A} = \mathbb{C}^N$, mais nous supposons aussi que l'axiome de réalité, dans sa version commutative, est satisfait, c'est-à-dire que $\mathcal{J}\pi(x)\mathcal{J}^{-1} = \overline{\pi(x)}$ pour tout $x \in \mathcal{A}$.

Dans ce cas, nous avons vu que l'axiome d'orientabilité implique l'existence d'un $x \in \mathcal{A}$ tel que $\chi = \pi(x)$. Etant donné que $\chi\mathcal{D} + \mathcal{D}\chi = 0$, on trouve en appliquant la condition du premier ordre avec $y = \bar{x}$,

$$[[\mathcal{D}, \pi(x)], \pi(x)] = [[\mathcal{D}, \chi], \chi] = 4\mathcal{D} = 0. \quad (2.24)$$

Par conséquent, l'opérateur de Dirac est identiquement nul et il n'y a pas de géométrie commutative intéressante en dimension 0, ce qui est tout-à-fait cohérent avec les principes généraux de la géométrie, car un espace de dimension 0 est un ensemble fini de points indépendants, et il ne peut par conséquent y avoir de notions non triviales de distance ou de formes différentielles. Par contre, même avec une algèbre commutative, on peut construire des exemples de géométries non commutatives finies assez riches si on impose l'axiome de réalité dans sa forme la plus générale.

2.1.6 S^0 -réalité

Les quatre derniers axiomes définissent les triplets spectraux finis. Cependant, il apparaît que le triplet spectral du modèle standard satisfait à une condition supplémentaire appelée S^0 -réalité. Cette condition peut être considérée comme un cinquième axiome, qui impose une contrainte supplémentaire à la conjugaison de charge \mathcal{J} [C6].

Définition 2.1.2 *Un triplet spectral est S^0 -réel s'il existe une involution hermitienne ϵ qui commute avec $\pi(\mathcal{A})$, χ et \mathcal{D} et anticommute avec \mathcal{J} .*

Étant donné que les opérateurs ϵ et χ sont hermitiens, de carré 1 et commutent entre eux, on peut les diagonaliser simultanément dans une base orthogonale. Leurs valeurs propres sont ± 1 et l'espace de Hilbert s'écrit comme une somme directe,

$$\mathcal{H} = \mathcal{H}_+^+ \oplus \mathcal{H}_+^- \oplus \mathcal{H}_-^+ \oplus \mathcal{H}_-^-, \quad (2.25)$$

où l'indice haut (resp. bas) correspond à la valeur propre de ϵ (resp. χ). Dans chacun de ces sous-espaces, on peut trouver une base de telle manière que l'opérateur \mathcal{J} corresponde à la matrice suivante, composée par la conjugaison complexe C des composantes des vecteurs,

$$\mathcal{J} = \begin{pmatrix} 0 & 0 & I_{n_+} & 0 \\ 0 & 0 & 0 & I_{n_-} \\ I_{n_+} & 0 & 0 & 0 \\ 0 & I_{n_-} & 0 & 0 \end{pmatrix} C. \quad (2.26)$$

Dans la relation précédente, les entiers n_+ (resp. n_-) désignent les dimensions communes des sous-espaces \mathcal{H}_+^+ et \mathcal{H}_+^- (resp. \mathcal{H}_-^+ et \mathcal{H}_-^-), l'égalité des dimensions de ces sous-espaces provenant de la relation $\mathcal{J}^2 = 1$.

Dans cette même base, l'opérateur de Dirac s'écrit

$$\mathcal{D} = \begin{pmatrix} 0 & M & 0 & 0 \\ M^* & 0 & 0 & 0 \\ 0 & 0 & 0 & \overline{M} \\ 0 & 0 & \overline{M}^* & 0 \end{pmatrix}, \quad (2.27)$$

où M est une matrice complexe $n_+ \times n_-$. La représentation π est diagonale par blocs et on a

$$\pi = \text{diag}(\pi_+^+, \pi_+^-, \pi_-^+, \pi_-^-), \quad (2.28)$$

ce qui nous permet de réécrire l'axiome de réalité et la condition de premier ordre sous la forme

$$\left[\pi_+^+(x), \bar{\pi}_-(y) \right] = 0, \quad (2.29)$$

$$\left[\pi_-^+(x), \bar{\pi}_-(y) \right] = 0, \quad (2.30)$$

$$\left(M\pi_+^-(x) - \pi_+^+(x)M \right) \bar{\pi}_-(y) = \bar{\pi}_+^+(y) \left(M\pi_+^-(x) - \pi_+^+(x)M \right). \quad (2.31)$$

En général, l'axiome de S^0 -réalité stipule simplement que la structure de bimodule est déjà comprise dans la représentation π . En effet, grâce à l'opérateur ϵ , l'espace de Hilbert peut être écrit comme une somme directe de deux sous-espaces, $\mathcal{H}_+^+ \oplus \mathcal{H}_-^+$ et $\mathcal{H}_+^- \oplus \mathcal{H}_-^-$ et l'opérateur antiunitaire \mathcal{J} ne fait qu'échanger ces sous-espaces.

2.2 Solution générale

2.2.1 La matrice de multiplicité

Les axiomes que nous venons de donner sont si simples qu'il est possible de déterminer explicitement tous les triplets spectraux finis. Nous allons commencer par étudier la structure de bimodule sous-jacente.

Dans le cas général, soit \mathcal{H} un espace de Hilbert de dimension finie muni d'une structure de $(\mathcal{A}, \mathcal{B})$ -bimodule sur deux algèbres involutives \mathcal{A} et \mathcal{B} sur le corps \mathbb{C} . Etant donné que ces deux algèbres involutives sont représentées en tant qu'opérateurs sur \mathcal{H} , elles peuvent être écrites comme sommes directes d'algèbres de matrices à coefficients complexes,

$$\mathcal{A} = \bigoplus_{i=1}^P M_{p_i}(\mathbb{C}), \quad \mathcal{B} = \bigoplus_{i=1}^Q M_{q_i}(\mathbb{C}). \quad (2.32)$$

A l'aide de cette structure de bimodule, nous définissons deux applications π_L et π_R de \mathcal{A} et \mathcal{B} dans l'algèbre des opérateurs sur \mathcal{H} par

$$\pi_L(x)\Psi = x\Psi \quad \text{et} \quad \pi_R(y)\Psi = \Psi y^* \quad (2.33)$$

pour $x \in \mathcal{A}$, $y \in \mathcal{B}$ et $\Psi \in \mathcal{H}$. Il est facile de voir que π_L est une représentation de \mathcal{A} , que l'on décompose en somme directe de représentations irréductibles. Dans une certaine base orthonormale de \mathcal{H} , on a

$$\pi(x) = \bigoplus_{p=1}^P x_p \otimes I_{m_p}, \quad (2.34)$$

avec $x = (x_p)_{1 \leq p \leq P}$ et $x_p \in M_{n_p}(\mathbb{C})$ et où les multiplicités m_i sont des entiers positifs. Cela nous amène à écrire l'espace \mathcal{H} sous la forme d'une somme directe

$$\mathcal{H} = \bigoplus_{p=1}^P \mathcal{H}_p, \quad (2.35)$$

où \mathcal{H}_p est isomorphe à $\mathbb{C}^{n_p} \otimes \mathbb{C}^{m_p}$.

L'application $x \in \mathcal{B} \mapsto \pi_R(x)$ satisfait à tous les axiomes relatifs aux représentations d'algèbres, à l'exception de la linéarité qui est remplacée par $\pi_R(\lambda x) = \bar{\lambda} \pi_R(x)$ pour tout $x \in \mathcal{B}$ et $\lambda \in \mathbb{C}$. Il découle de la structure de bimodule que les applications $\pi_L(x)$ et $\pi_R(y)$ commutent pour tout $x \in \mathcal{A}$ et $y \in \mathcal{B}$, ce qui prouve que \mathcal{H}_p est stable par $\pi_R(y)$. Nous pouvons

alors décomposer la restriction à \mathcal{H}_p de $\bar{\pi}_R$ en représentations irréductibles. Compte tenu de la relation de commutation, on a

$$\pi_R(y) = \bigoplus_{q=1}^Q I_{n_p} \otimes I_{m_{pq}} \otimes \bar{y}_q, \quad (2.36)$$

pour la restriction de $\pi_L(y)$ à \mathcal{H}_p . Les multiplicités m_{pq} sont des entiers positifs ou nuls et, par convention, I_m n'apparaît pas dans la décomposition si $m = 0$. De façon générale, l'espace de Hilbert s'écrit comme une somme directe de sous-espaces deux à deux orthogonaux,

$$\mathcal{H} = \bigoplus_{p,q} \mathcal{H}_{pq}, \quad \mathcal{H}_{pq} = \mathbb{C}^p \otimes \mathbb{C}^{m_{pq}} \otimes \mathbb{C}^q. \quad (2.37)$$

De plus, dans une certaine base orthogonale de \mathcal{H} compatible avec cette décomposition, les applications π_L et π_R sont données par

$$\pi_L(x) = \bigoplus_{p,q} x_p \otimes I_{m_{pq}} \otimes I_{n_q}, \quad (2.38)$$

$$\pi_R(y) = \bigoplus_{p,q} I_{n_p} \otimes I_{m_{pq}} \otimes \bar{y}_q. \quad (2.39)$$

La structure de bimodule de \mathcal{H} est donc donnée, à une équivalence unitaire près, par une matrice $P \times Q$ à coefficients entiers. Réciproquement, tout $(\mathcal{A}, \mathcal{B})$ -bimodule peut être reconstruit à l'aide d'une matrice $P \times Q$ grâce aux formules précédentes. Bien entendu, nous supposons qu'une telle matrice ne contient pas de ligne ou de colonne identiquement nulle, car sinon un des facteurs ne serait pas représenté. Ceci peut être résumé de la manière suivante :

Proposition 2.2.1 *Soient \mathcal{A} et \mathcal{B} deux algèbres sommes directes de respectivement p et q algèbres de matrices. Alors, tout $(\mathcal{A}, \mathcal{B})$ -bimodule est déterminé, à une équivalence unitaire près, par sa matrice de multiplicité $m \in M_{p,q}(\mathbb{N})$.*

Ayant caractérisé les bimodules à l'aide de matrices à coefficients entiers et positifs, nous pouvons nous demander à quelles opérations sur les bimodules correspondent les opérations habituelles sur les matrices. Par exemple, si \mathcal{M} et \mathcal{N} sont des $(\mathcal{A}, \mathcal{B})$ -bimodules de matrices de multiplicité M et N , alors la somme directe $\mathcal{M} \oplus \mathcal{N}$ est un $(\mathcal{A}, \mathcal{B})$ -bimodule dont la matrice de multiplicité est $M + N$. De même, en échangeant les actions à droite et à gauche, \mathcal{M} est muni d'une structure de $(\mathcal{B}, \mathcal{A})$ -bimodule dont la matrice de multiplicité est la transposée de M .

L'analogie du produit de matrice est plus compliqué et s'obtient en considérant des produits tensoriels.

Proposition 2.2.2 *Soient \mathcal{A} , \mathcal{B} et \mathcal{C} trois algèbres, \mathcal{M} un $(\mathcal{A}, \mathcal{B})$ -bimodule et \mathcal{N} un $(\mathcal{B}, \mathcal{C})$ -bimodule. Alors $\mathcal{M} \otimes_{\mathcal{B}} \mathcal{N}$ est un $(\mathcal{A}, \mathcal{C})$ -bimodule.*

Passant aux matrices de multiplicité, on obtient aisément le résultat suivant.

Proposition 2.2.3 *Soient \mathcal{A} , \mathcal{B} et \mathcal{C} trois algèbres sommes directes d'algèbres de matrices, \mathcal{M} un $(\mathcal{A}, \mathcal{B})$ -bimodule de matrice de multiplicité m et \mathcal{N} un $(\mathcal{B}, \mathcal{C})$ -bimodule de matrice de multiplicité n . Alors la matrice de multiplicité de $\mathcal{M} \otimes_{\mathcal{B}} \mathcal{N}$ est le produit mn .*

En dimension infinie, lorsque les algèbres \mathcal{A} , \mathcal{B} et \mathcal{C} sont des algèbres de von Neumann, cette opération joue un rôle important et est connue sous le nom de "fusion" ou "composition des correspondances" [J].

2.2.2 Opérateurs du premier ordre

Nous avons vu que l'opérateur de Dirac est un opérateur du premier ordre pour la structure de bimodule donnée par l'axiome de réalité. Avant d'étudier en détail les propriétés de l'opérateur de Dirac, considérons un $(\mathcal{A}, \mathcal{B})$ -bimodule \mathcal{H} , où \mathcal{A} et \mathcal{B} sont deux algèbres involutives que nous supposons être des sommes directes d'algèbres de matrices.

Un opérateur \mathcal{L} (resp. \mathcal{R}) de \mathcal{H} dans lui-même est dit linéaire à gauche (resp. linéaire à droite) si pour tout $\Psi \in \mathcal{H}$ et tout $x \in \mathcal{A}$ on a $\mathcal{L}(x\Psi) = x\mathcal{L}(\Psi)$ (resp. $\mathcal{R}(\Psi y) = \mathcal{R}(\Psi)y$ pour $y \in \mathcal{B}$). Dans ce cas, $\mathcal{D} = \mathcal{L} + \mathcal{R}$ est un opérateur du premier ordre, car on a

$$\begin{aligned} \mathcal{D}(x\Psi y) &= \mathcal{L}(x\Psi y) + \mathcal{R}(x\Psi y), \\ &= x\mathcal{L}(\Psi y) + \mathcal{R}(x\Psi)y, \\ &= x[\mathcal{L}(\Psi y) + \mathcal{R}(\Psi y)] + [\mathcal{R}(x\Psi) + \mathcal{L}(x\Psi)]y \\ &\quad - [x\mathcal{R}(\Psi y) + \mathcal{L}(x\Psi)y], \end{aligned} \tag{2.40}$$

ce qui se réécrit

$$\mathcal{D}(x\Psi y) = x\mathcal{D}(\Psi y) + \mathcal{D}(x\Psi)y - x\mathcal{D}(\Psi)y, \tag{2.41}$$

puisque

$$x\mathcal{R}(\Psi y) + \mathcal{L}(x\Psi)y = x\mathcal{R}(\Psi)y + x\mathcal{L}(\Psi)y = x\mathcal{D}(\Psi)y. \tag{2.42}$$

Cette démonstration prouve que la somme d'un opérateur linéaire à gauche et d'un opérateur linéaire à droite, est un opérateur du premier ordre. De plus, nous n'avons utilisé que les propriétés algébriques des bimodules, ce qui montre que cette démonstration reste valable en dimension infinie.

Cependant, en dimension finie, on peut prouver la réciproque.

Proposition 2.2.4 *Soient \mathcal{A} et \mathcal{B} deux algèbres sommes directes d'algèbres de matrices et \mathcal{H} un $(\mathcal{A}, \mathcal{B})$ -bimodule de dimension finie. Alors tout opérateur du premier ordre sur \mathcal{H} est somme directe d'un opérateur linéaire à droite et d'un opérateur linéaire à gauche.*

Démonstration:

En dimension finie, nous avons montré que la structure de bimodule est donné par la matrice de multiplicité. Avec les notations de la section précédente, \mathcal{H} peut être décomposé en somme directe,

$$\mathcal{H} = \bigoplus_{p,q} \mathcal{H}_{pq}. \tag{2.43}$$

Si on note 1_p (resp. 1_q) l'élément de \mathcal{A} (resp. de \mathcal{B}) dont toutes les composantes sont nulles à l'exception de la p -ième (resp q -ième) qui est égale à la matrice unité, alors l'opérateur de projection sur \mathcal{H}_{pq} est, avec les notations du paragraphe précédent, égal à $\pi_L(1_p)\pi_R(1_q)$.

La condition du premier ordre (2.41) se réécrit

$$\mathcal{D}\pi_L(x)\pi_R(y) = \pi_L(x)\mathcal{D}\pi_R(y) + \pi_R(y)\mathcal{D}\pi_L(x) - \pi_L(x)\pi_R(y)\mathcal{D}, \tag{2.44}$$

ou de manière équivalente,

$$[[\mathcal{D}, \pi_L(x)], \pi_R(y)] = 0, \tag{2.45}$$

avec $x \in \mathcal{A}$ et $y \in \mathcal{B}$. Appliquons cela à $x = 1_r$ et $y = 1_s$ et multiplions à droite par $\pi_L(1_r)\pi_R(1_s)$ et à gauche par $\pi_L(1_p)\pi_R(1_q)$. Nous obtenons la relation

$$\mathcal{D}_{pq}^{rs} = \delta_{pr}\mathcal{D}_{pq}^{rs} + \delta_{qs}\mathcal{D}_{pq}^{rs} - \delta_{pr}\delta_{qs}\mathcal{D}_{pq}^{rs}, \tag{2.46}$$

où nous avons introduit les éléments de matrice de l'opérateur de Dirac, définis par

$$\mathcal{D}_{pq}^{rs} = \pi_L(1_p)\pi_R(1_q) \mathcal{D} \pi_L(1_r)\pi_R(1_s). \quad (2.47)$$

La condition (2.46) nous montre que $\mathcal{D}_{pq}^{rs} = 0$ sauf si $p = r$ ou $q = s$. Nous pouvons donc réécrire \mathcal{D} sous la forme

$$\mathcal{D} = \sum_{p=r, q \neq s} \mathcal{D}_{pq}^{rs} + \sum_{p \neq r, q=s} \mathcal{D}_{pq}^{rs} + \sum_{p=r, q=s} \mathcal{D}_{pq}^{rs}. \quad (2.48)$$

En utilisant les décompositions de π_L et de π_R introduites au cours du paragraphe précédent, la condition du premier ordre est équivalente aux relations

$$(x_p \otimes I_{pq} \otimes I_{n_q}) \mathcal{D}_{pq}^{ps} = \mathcal{D}_{pq}^{ps} (x_p \otimes I_{ps} \otimes I_{n_s}) \quad (2.49)$$

si $p = r$ et $q \neq s$, ainsi que

$$(I_{n_p} \otimes I_{pq} \otimes \bar{y}_q) \mathcal{D}_{pq}^{qs} = \mathcal{D}_{pq}^{qs} (I_{n_p} \otimes I_{pq} \otimes \bar{y}_q) \quad (2.50)$$

si $p \neq r$ et $q = s$.

Cela prouve que l'opérateur

$$\sum_{p=r, q \neq s} \mathcal{D}_{pq}^{rs} \quad (2.51)$$

commute avec π_L et que

$$\sum_{p \neq r, q=s} \mathcal{D}_{pq}^{rs} \quad (2.52)$$

commutent avec π_R . Si $q = s$ et $p \neq r$, on obtient

$$\left[\left[\mathcal{D}_{pq}^{pq}, x_p \otimes I_{pq} \otimes I_{n_q} \right], I_{n_p} \otimes I_{pq} \otimes \bar{y}_q \right] = 0. \quad (2.53)$$

La solution de cette équation est

$$\mathcal{D}_{pq}^{pq} = M_{pq} \otimes I_{n_q} + I_{n_p} \otimes N_{pq}, \quad (2.54)$$

avec $M_{pq} \in M_{m_{pq}n_p}(\mathbb{C})$ et $N \in M_{m_{pq}n_q}(\mathbb{C})$ quelconques. En effet, si $(I_{n_p}, E_\alpha)_{1 \leq \alpha \leq n_p^2 - 1}$ (resp. $(I_{n_q}, F_\beta)_{1 \leq \beta \leq n_q^2 - 1}$) est une base de $M_{n_p}(\mathbb{C})$ (resp. $M_{n_q}(\mathbb{C})$), on peut écrire

$$\mathcal{D}_{pq}^{pq} = M_{pq} \otimes I_{n_q} + I_{n_p} \otimes N_{pq} + \sum_{\alpha, \beta} E_\alpha \otimes M_{\alpha\beta} \otimes F_\beta, \quad (2.55)$$

et on montre facilement, en raisonnant par l'absurde, que les matrices $M_{\alpha\beta}$ sont nulles. Cela prouve que

$$\sum_{p=r, q=s} \mathcal{D}_{pq}^{rs} = \sum_{p=r, q=s} M_{pq} \otimes I_{n_q} + \sum_{p=r, q=s} I_{n_p} \otimes N_{pq}. \quad (2.56)$$

est somme d'un opérateur qui commute avec π_L et d'un opérateur qui commute avec π_R .

□

Cette démonstration se base uniquement sur la semi-simplicité des algèbres \mathcal{A} et \mathcal{B} et sur la finitude de la dimension du bimodule. Elle est donc applicable dans un cadre très général, mais il est facile de voir que si la dimension est infinie, il existe des opérateurs du premier ordre qui ne sont pas de cette forme. Par exemple, dans le cas d'une variété, un opérateur différentiel du premier ordre ne commute pas avec toutes les fonctions et ne peut donc être écrit sous cette forme.

2.2.3 La conjugaison de charge

Étant donné un $(\mathcal{A}, \mathcal{A})$ -bimodule \mathcal{H} de matrice de multiplicité m , il est intéressant de se demander dans quel cas on peut passer de l'action à gauche à l'action à droite par l'opérateur de conjugaison de charge introduit par l'axiome de réalité. De plus, nous pouvons nous demander, lorsqu'un tel opérateur existe, s'il est unique ou s'il y a plusieurs possibilités. Dans ce chapitre, nous considérons un $(\mathcal{A}, \mathcal{A})$ -bimodule \mathcal{H} , de matrice de multiplicité m et nous utilisons les lettres i, j, k, \dots pour repérer les facteurs simples de \mathcal{A} . La réponse aux deux questions précédentes est donnée par la proposition suivante.

Proposition 2.2.5 *Un bimodule sur \mathcal{A} correspond à un triplet spectral fini si et seulement si sa matrice de multiplicité est symétrique. Dans ce cas, l'opérateur \mathcal{J} tel que $\pi_R = \mathcal{J}\pi_L\mathcal{J}^{-1}$ est unique à une conjugaison par un unitaire près.*

Démonstration:

Supposons tout d'abord que \mathcal{J} existe. L'action de \mathcal{J} sur $\psi \in \mathcal{H}$ peut être écrite, dans n'importe quelle base, sous la forme $\mathcal{J}\psi = K\bar{\psi}$, où K est une matrice. \mathcal{J} est une involution antiunitaire si et seulement si $K\bar{K} = KK^* = 1$. Puisque l'on doit avoir

$$\pi_L(x) = \bigoplus_{i,j} x_i \otimes I_{m_{ij}} \otimes I_{n_j}, \quad (2.57)$$

$$\pi_R(y) = \mathcal{J}\pi_L(y)\mathcal{J}^{-1} = \bigoplus_{i,j} I_{n_i} \otimes I_{m_{ij}} \otimes \bar{y}_j, \quad (2.58)$$

pour tous $x, y \in \mathcal{A}$, nous avons aussi

$$K \left(\bigoplus_{i,j} x_i \otimes I_{m_{ij}} \otimes I_{n_j} \right) = \left(\bigoplus_{i,j} I_{n_i} \otimes I_{m_{ij}} \otimes x_j \right) K, \quad (2.59)$$

pour tout $x, y \in \mathcal{A}$. Par conséquent, $K(\bigoplus_j \mathcal{H}_{ij}) \subset \bigoplus_j \mathcal{H}_{ji}$, et puisque $K^{-1} = K^*$, $K(\mathcal{H}_{ij}) = \mathcal{H}_{ji}$. C'est pourquoi les dimensions de \mathcal{H}_{ij} et \mathcal{H}_{ji} sont égales, ou de manière équivalente, la matrice de multiplicité m est symétrique : $m_{ij} = m_{ji}$.

Notons $K_{ij} : \mathcal{H}_{ij} \rightarrow \mathcal{H}_{ji}$ la restriction de K . Elle doit satisfaire aux relations

$$K_{ij} \left(x_i \otimes I_{m_{ij}} \otimes I_{n_j} \right) = \left(I_{n_i} \otimes I_{m_{ij}} \otimes x_j \right) K_{ij}, \quad (2.60)$$

$$K_{ij}K_{ij}^* = K_{ij}\bar{K}_{ij} = 1. \quad (2.61)$$

Par conséquent, si $e_i^a \otimes \psi_{ij}^p \otimes e_j^b$ est une base de $\mathcal{H}_{ij} = \mathbb{C}^{n_i} \otimes \mathbb{C}^{m_{ij}} \otimes \mathbb{C}^{n_j}$, on a

$$K_{ij} \left(e_i^a \otimes \psi_{ij}^p \otimes e_j^b \right) = e_j^b \otimes L_{ij}\psi_{ij}^p \otimes e_i^a. \quad (2.62)$$

$$L_{ij}L_{ij}^* = 1. \quad (2.63)$$

Si $i \neq j$, les espaces \mathcal{H}_{ij} et \mathcal{H}_{ji} sont distincts et il est toujours possible, dans une base orthonormale convenable $(\psi_{ij}^p)_{1 \leq p \leq m_{ij}}$, d'avoir $L_{ij}\psi_{ij}^p = \psi_{ji}^p$. Lorsque $i = j$, L_{ii} est unitaire et nous pouvons trouver une base orthonormale telle que $L_{ii}\psi_{ii}^p = e^{i\phi_i^p}\psi_{ii}^p$, avec $\phi_i^p \in \mathbb{R}$. Cependant, puisque \mathcal{J} est antilinéaire,

$$\mathcal{J} \left(e^{i\phi_i^p/2} e_i^a \otimes \psi_{ii}^p \otimes e_i^b \right) = e^{-i\phi_i^p/2} K \left(\bar{e}_i^a \otimes \bar{\psi}_{ii}^p \otimes \bar{e}_i^b \right), \quad (2.64)$$

$$= e^{-i\phi_i^p/2} \bar{e}_i^a \otimes L_{ii}\bar{\psi}_{ii}^p \otimes \bar{e}_i^b, \quad (2.65)$$

$$= e^{+i\phi_i^p/2} \bar{e}_i^a \otimes \bar{\psi}_{ii}^p \otimes \bar{e}_i^b, \quad (2.66)$$

ce qui nous permet de faire disparaître les phases si on fait la substitution $\psi_{ij}^p \rightarrow e^{i\phi_i^p/2}\psi_{ij}^p$. Par conséquent, l'action de \mathcal{J} est simplement

$$\mathcal{J} \left(e_i^a \otimes \psi_{ij}^p \otimes e_j^b \right) = \bar{e}_j^b \otimes \bar{\psi}_{ji}^p \otimes \bar{e}_i^a, \quad (2.67)$$

dans tous les cas.

Réciproquement, si la matrice de multiplicité m est symétrique, il est possible de définir \mathcal{J} de cette façon et il est clair qu'un tel opérateur satisfait à tous les contraintes imposées à la conjugaison de charge. \square

2.2.4 La chiralité

D'après l'axiome d'orientabilité, la chiralité χ commute avec $\pi(\mathcal{A})$ et $\mathcal{J}\pi(\mathcal{A})\mathcal{J}^{-1}$, et est hermitienne, ce qui nous permet de l'écrire sous la forme

$$\chi = \bigoplus_{ij} I_{n_i} \otimes \chi_{ij} \otimes I_{n_j}. \quad (2.68)$$

Puisque $\chi = \sum_p \pi(x^p) \mathcal{J} \pi(y^p) \mathcal{J}^{-1}$, avec $x^p, y^p \in \mathcal{A}$, χ_{ij} est une matrice scalaire. De plus $\chi_{ij} = \pm 1$ car $\chi^2 = 1$. $[\chi, \mathcal{J}] = 0$ entraîne la relation de symétrie $\chi_{ij} = \chi_{ji}$.

Toute l'information contenue dans les matrices χ_{ij} et m_{ij} peut être intégrée dans une matrice de multiplicité à coefficients non nécessairement positifs $\mu \in M_N(\mathbb{Z})$ définie par

$$\mu_{ij} = \chi_{ij} m_{ij}. \quad (2.69)$$

Nous retrouvons χ_{ij} et m_{ij} comme le signe et le module de μ_{ij} . Par conséquent,

$$\chi = \bigoplus_{ij} \text{sign}(\mu_{ij}) I_{n_i} \otimes I_{|\mu_{ij}|} \otimes I_{n_j}. \quad (2.70)$$

Occupons-nous maintenant de la dualité de Poincaré. Comme nous nous sommes placés dans la cas des algèbres complexes, les projecteurs $p_i = 1_i$ qui apparaissent dans la formule de définition de la matrice de la forme d'intersection sont de trace 1. Cette matrice est donnée par

$$\cap_{ij} = \text{Tr} \left[\chi \pi(p_i) \mathcal{J} \pi(p_j) \mathcal{J}^{-1} \right], \quad (2.71)$$

$$= \text{sign}(\mu_{ij}) \text{Tr} \left[p_i \otimes I_{|\mu_{ij}|} \otimes \bar{p}_j \right], \quad (2.72)$$

$$= \mu_{ij}. \quad (2.73)$$

Par conséquent, la dualité de Poincaré se traduit simplement par la non nullité du déterminant de la matrice de multiplicité μ .

Réciproquement, si nous partons d'une matrice symétrique et non dégénérée $\mu \in M_N(\mathbb{Z})$ (que nous appellerons dorénavant matrice de multiplicité au lieu de m), nous pouvons reconstruire la structure de bimodule à l'aide des valeurs absolues $|\mu_{ij}|$. La chiralité χ est obtenue comme

$$\chi = \bigoplus_{ij} \text{sign}(\mu_{ij}) I_{n_i} \otimes I_{|\mu_{ij}|} \otimes I_{n_j}. \quad (2.74)$$

χ satisfait à toutes les conditions imposées par les axiomes. Par construction, la vérification des relations de commutation ainsi que de $\chi = \chi^*$ et $\chi^2 = 1$ est évidente. Montrons qu'il existe

des éléments x^p and y^p de \mathcal{A} tels que $\chi = \sum_p \pi(x^p) \mathcal{J} \pi(y^p) \mathcal{J}^{-1}$. Pour cela, écrivons la matrice de multiplicité μ comme une somme de matrices de rang 1

$$\chi_{ij} = \sum_p \alpha_i^p \bar{\beta}_j^p, \quad (2.75)$$

avec α_i^p et β_j^p des nombres complexes. On en déduit que $\chi = \sum_p \pi(x^p) \mathcal{J} \pi(y^p) \mathcal{J}^{-1}$, avec $x^p = (\alpha_i^p I_{n_i})_{1 \leq i \leq N}$ et $y^p = (\beta_j^p I_{n_j})_{1 \leq j \leq N}$.

Cela nous permet d'énoncer le résultat intermédiaire suivant.

Proposition 2.2.6 *Les éléments $(\mathcal{A}, \mathcal{J}, \chi)$ d'un triplet spectral fini sont déterminés, à une transformation unitaire près, par une matrice symétrique et non dégénérée $\mu \in M_N(\mathbb{Z})$.*

2.2.5 L'opérateur de Dirac

Comme nous l'avons montré, tout opérateur du premier ordre d'un $(\mathcal{A}, \mathcal{B})$ -bimodule de dimension finie, où \mathcal{A} et \mathcal{B} désignent des sommes directes d'algèbres de matrices, est la somme d'un opérateur linéaire à gauche et d'un opérateur linéaire à droite. D'après la condition d'ordre un, l'opérateur de Dirac \mathcal{D} est un opérateur du premier ordre pour la structure de bimodule de \mathcal{H} donnée par l'axiome de réalité. On peut donc lui appliquer le résultat précédent pour décomposer \mathcal{D} sous la forme

$$\mathcal{D} = \mathcal{L} + \mathcal{R}, \quad (2.76)$$

où \mathcal{L} est linéaire à gauche et \mathcal{R} linéaire à droite. Grâce à l'axiome d'orientabilité, il s'avère que cette décomposition est essentiellement unique ;

Proposition 2.2.7 *Dans le cas d'un triplet spectral fini, la décomposition de l'opérateur de Dirac considéré comme un opérateur du premier ordre est unique si on impose aux applications linéaires à droite et à gauche correspondantes d'anticommuter avec χ .*

Démonstration:

En effet, supposons qu'il existe quatre opérateurs $\mathcal{L}_1, \mathcal{R}_1, \mathcal{L}_2$ et \mathcal{R}_2 , qui anticommulent avec χ et tels que

$$\mathcal{D} = \mathcal{L}_1 + \mathcal{R}_1 = \mathcal{L}_2 + \mathcal{R}_2, \quad (2.77)$$

vérifiant également

$$[\mathcal{L}_1, \pi(x)] = [\mathcal{R}_1, \mathcal{J} \pi(x) \mathcal{J}^{-1}] = [\mathcal{L}_2, \pi(x)] = [\mathcal{R}_2, \mathcal{J} \pi(x) \mathcal{J}^{-1}] = 0 \quad (2.78)$$

pour tout $x \in \mathcal{A}$. On en déduit que

$$\mathcal{L}_1 - \mathcal{L}_2 = \mathcal{R}_2 - \mathcal{R}_1 \quad (2.79)$$

commute avec $\pi(x)$ et $\mathcal{J} \pi(x) \mathcal{J}^{-1}$ pour tout $x \in \mathcal{A}$. D'après l'axiome d'orientabilité, la chiralité peut être écrite sous la forme $\chi = \sum_p \pi(x^p) \mathcal{J} \pi(y^p) \mathcal{J}^{-1}$, avec $x^p, y^p \in \mathcal{A}$, ce qui prouve que $\mathcal{L}_1 - \mathcal{L}_2$ et $\mathcal{R}_2 - \mathcal{R}_1$ commutent avec χ . Par hypothèse, ils anticommulent également avec χ , et puisque $\chi^2 = 1$, on en déduit que

$$\mathcal{L}_1 - \mathcal{L}_2 = \mathcal{R}_2 - \mathcal{R}_1 = 0, \quad (2.80)$$

ce qui prouve l'unicité de la décomposition. \square

Ce résultat a plusieurs conséquences. Tout d'abord, il nous permet de montrer que les opérateurs \mathcal{L} et \mathcal{R} sont hermitiens. En effet, puisque \mathcal{D} est hermitien, si \mathcal{L} et \mathcal{R} sont deux opérateurs convenables, alors \mathcal{L}^* et \mathcal{R}^* le seront aussi. Par l'unicité de la décomposition, on déduit que $\mathcal{L} = \mathcal{L}^*$ et $\mathcal{R} = \mathcal{R}^*$.

De plus, puisque \mathcal{D} commute avec \mathcal{J} , on a $\mathcal{D} = \mathcal{J}\mathcal{D}\mathcal{J}^{-1} = \mathcal{J}\mathcal{L}\mathcal{J}^{-1} + \mathcal{J}\mathcal{R}\mathcal{J}^{-1}$. Puisque \mathcal{L} commute avec $\pi(x)$, on a $[\mathcal{J}\mathcal{L}\mathcal{J}^{-1}, \mathcal{J}\pi(x)\mathcal{J}^{-1}] = \mathcal{J}[\mathcal{L}, \pi(x)]\mathcal{J}^{-1} = 0$, et de la même façon, on prouve que

$$[\mathcal{J}\mathcal{R}\mathcal{J}^{-1}, \pi(x)] = \mathcal{J}[\mathcal{R}, \mathcal{J}^{-1}\pi(x)\mathcal{J}]\mathcal{J}^{-1} = \mathcal{J}[\mathcal{R}, \mathcal{J}\pi(x)\mathcal{J}^{-1}]\mathcal{J}^{-1} = 0, \quad (2.81)$$

où la relation $\mathcal{J}^2 = 1$ a été utilisée. Par l'unicité de la décomposition, on obtient

$$\mathcal{L} = \mathcal{J}\mathcal{R}\mathcal{J}^{-1} \quad \text{et} \quad \mathcal{R} = \mathcal{J}\mathcal{L}\mathcal{J}^{-1}. \quad (2.82)$$

Si nous notons Δ l'opérateur \mathcal{R} , alors nous avons

$$\mathcal{D} = \Delta + \mathcal{J}\Delta\mathcal{J}^{-1}. \quad (2.83)$$

En résumé, nous avons prouvé le résultat suivant.

Proposition 2.2.8 *L'opérateur de Dirac \mathcal{D} d'un triplet spectral fini s'écrit de manière unique sous la forme*

$$\mathcal{D} = \Delta + \mathcal{J}\Delta\mathcal{J}^{-1}, \quad (2.84)$$

où Δ est un opérateur qui anticommute avec χ et commute avec $\mathcal{J}\pi(x)\mathcal{J}^{-1}$ pour tout $x \in \mathcal{A}$. De plus, Δ est hermitien.

Cette décomposition de l'opérateur de Dirac a plusieurs conséquences que nous développerons au cours de ce chapitre. Premièrement, puisque $\mathcal{J}\Delta\mathcal{J}^{-1}$ commute avec $\pi(x)$, nous pouvons remplacer $[\mathcal{D}, \pi(x)]$ par $[\Delta, \pi(x)]$ pour tout $x \in \mathcal{A}$. Cela permet en général de simplifier la plupart des équations; par exemple dans le calcul des distances. Ensuite, nous allons montrer que Δ est une 1-forme, ce qui nous permettra de déterminer explicitement toutes les 1-formes.

Enfin, puisque l'opérateur Δ satisfait des relations de commutation très simples, nous pouvons le déterminer explicitement en termes de matrices à coefficients complexes. Rappelons que $\mathcal{H} = \bigoplus_{ij} \mathcal{H}_{ij}$ est la décomposition de l'espace de Hilbert, où les indices i et j repèrent les facteurs simples de l'algèbre. Nous définissons les éléments de matrice de l'opérateur Δ par

$$\Delta_{ij}^{kl} = \pi(1_i)\mathcal{J}\pi(1_j)\mathcal{J}^{-1}\Delta\pi(1_k)\mathcal{J}\pi(1_l)\mathcal{J}^{-1}, \quad (2.85)$$

où 1_i désigne la matrice unité de $M_{n_i}(\mathbb{C})$ considérée comme élément de \mathcal{A} . D'après le résultat du paragraphe 2.2, cet élément de matrice doit être nul sauf si $j = l$. Dans ce dernier cas, il doit satisfaire à

$$\Delta_{ij}^{kl}(I_{n_k \otimes |\mu_{kj}|} \otimes y_j) = (I_{n_i \otimes |\mu_{ij}|} \otimes y_j)\Delta_{ij}^{kl} \quad (2.86)$$

pour tout $y_j \in M_{n_j}(\mathbb{C})$. Cela impose que l'on écrive Δ_{ij}^{kl} sous la forme

$$\Delta_{ij}^{kl} = \delta_{jl} M_{ik,j} \otimes I_{n_j} \quad (2.87)$$

où les matrices $M_{ik,j} \in M_{\mu_{ij}n_i \times \mu_{kj}n_k}(\mathbb{C})$ sont telles que $M_{ik,j} = M_{ki,j}^*$ si $\mu_{ij}\mu_{kj} < 0$, et nulles dans tous les autres cas. Cela nous donne une paramétrisation de l'opérateur Δ à l'aide de matrices complexes, dont on déduit l'opérateur de Dirac à l'aide de la relation $\mathcal{D} = \Delta + \mathcal{J}\Delta\mathcal{J}^{-1}$.

Pour déterminer l'opérateur de Dirac complet à l'aide de matrices, nous devons calculer l'action de \mathcal{J} sur Δ . Pour cela, il est commode d'écrire les matrices $M_{ik,j}$ comme sommes de produits tensoriels,

$$M_{ik,j} = \sum_p E_{ik}^p \otimes M_{ik,j}^p, \quad (2.88)$$

avec $E_{ik}^p \in M_{n_i \times n_k}(\mathbb{C})$ et $M_{ik,j}^p \in M_{|\mu_{ij}| \times |\mu_{kj}|}(\mathbb{C})$. L'action de \mathcal{J} sur un produit tensoriel est $\mathcal{J}(e \otimes \psi \otimes f) = \bar{f} \otimes \bar{\psi} \otimes \bar{e}$, ce qui donne

$$\left(\mathcal{J}\Delta\mathcal{J}^{-1}\right)_{ij}^{kl} = \delta_{ik} \sum_p I_{n_i} \otimes \bar{M}_{jl,i}^p \otimes \bar{E}_{jl}^p. \quad (2.89)$$

Ainsi, en additionnant les éléments de matrice de Δ et de $\mathcal{J}\Delta\mathcal{J}^{-1}$, nous obtenons l'élément de matrice correspondant de \mathcal{D} ,

$$\mathcal{D}_{ij}^{kl} = \delta_{jl} \sum_p E_{ik}^p \otimes M_{ik,j}^p \otimes I_{n_j} + \delta_{ik} \sum_p I_{n_i} \otimes \bar{M}_{jl,i}^p \otimes \bar{E}_{jl}^p \quad (2.90)$$

En conclusion, nous pouvons résumer cette étude comme suit.

Proposition 2.2.9 *Un triplet spectral fini est donné, à une équivalence unitaire près, par une matrice symétrique et non dégénérée $\mu \in M_N(\mathbb{Z})$, à partir de laquelle on construit la structure de bimodule et la chiralité, ainsi que d'un opérateur Δ dont les éléments de matrice sont données par la relation (2.87).*

2.2.6 S^0 -réalité

Bien que les résultats obtenus soient valables dans le cas des triplets spectraux finis S^0 -réels, il est utile de décrire les propriétés particulières de ces derniers en utilisant le langage que nous venons de développer.

Rappelons qu'un triplet spectral $(\mathcal{A}, \mathcal{H}, \mathcal{D})$ est S^0 -réel si il existe une involution hermitienne qui commute avec \mathcal{D} , χ et $\pi(x)$ pour tout $x \in \mathcal{A}$ et anticommute avec \mathcal{J} .

En fait, nous avons vu que la structure de bimodule d'un triplet spectral S^0 -réel est obtenue à partir de deux bimodules. Le premier correspond à la valeur propre $+1$ de ϵ et nous notons ν sa matrice de multiplicité. Le second bimodule, qui est associé à la valeur propre -1 de ϵ s'obtient simplement, puisque dans cette décomposition on a

$$\mathcal{J} = \begin{pmatrix} 0 & I \\ I & 0 \end{pmatrix} C, \quad (2.91)$$

en échangeant les actions à droite et à gauche du bimodule associé à la valeur propre $+1$. Par conséquent, la matrice de multiplicité totale s'écrit sous la forme $\mu = \nu + \nu^*$. Bien entendu, puisque χ et \mathcal{J} commutent, les entiers ν_{ij} et ν_{ji} doivent toujours avoir même signe.

Réciproquement, si la matrice de multiplicité μ satisfait à ces conditions, il est facile de construire un opérateur ϵ convenable.

De même, puisque l'opérateur de Dirac commute avec ϵ et avec \mathcal{J} , il se décompose en deux opérateurs du premier ordre connectés par \mathcal{J} . Cette condition est suffisante pour que \mathcal{D} commute avec ϵ et \mathcal{J} .

En conséquence, nous pouvons caractériser les triplets spectraux finis S^0 -réels de la manière suivante :

Proposition 2.2.10 *Un triplet spectral fini est S^0 -réel si et seulement si*

- sa matrice de multiplicité peut s'écrire sous la forme $\mu = \nu + \nu^*$, où $\nu \in M_N(\mathbb{Z})$ est une matrice telle que ν_{ij} et ν_{ji} soient de même signe,
- l'opérateur de Dirac est somme de deux opérateurs du premier ordre correspondant aux bimodules déterminés par ν et ν^* et se déduisant l'un de l'autre par conjugaison par \mathcal{J} .

2.2.7 Une approche diagrammatique

Pour classifier les triplets spectraux finis, il faut regrouper ces derniers dans un certain nombre de classes dont on peut facilement saisir les propriétés caractéristiques.

Un premier pas en ce sens a été franchi par l'introduction de la matrice de multiplicité : celle-ci permet, pour une algèbre fixée, de reconstruire à une équivalence unitaire près, la représentation π et les opérateurs χ et \mathcal{J} . Nous pourrions donc, dans un premier temps, considérer que deux triplets spectraux sont équivalents si et seulement si ils ont même matrice de multiplicité. Cependant, cette classification ne permet pas de distinguer deux triplets spectraux ayant même matrice de multiplicité mais des opérateurs de Dirac différents. Pour remédier à ce problème, il est intéressant d'associer à chaque triplet spectral fini un diagramme.

Définition 2.2.1 À un triplet spectral fini $(\mathcal{A}, \mathcal{H}, \mathcal{D})$ dont la matrice de multiplicité est μ , on associe un diagramme construit de la manière suivante :

- Au point de coordonnées (i, j) du plan on associe un sommet de type \oplus si $\mu_{ij} > 0$ ou un sommet de type \ominus si $\mu_{ij} < 0$.
- On relie les sommets situés aux points de coordonnées (i, j) et (k, l) si et seulement si l'élément de matrice de l'opérateur de Dirac

$$\mathcal{D}_{ij}^{kl} = \left(\pi(1_i) \mathcal{J} \pi(1_j) \mathcal{J}^{-1} \right) \mathcal{D} \left(\pi(1_k) \mathcal{J} \pi(1_l) \mathcal{J}^{-1} \right) \quad (2.92)$$

est non nul.

Les sommets de ce diagramme permettent de déterminer quels sont les éléments non nuls de la matrice de multiplicité alors que les liens nous aident à visualiser la structure de l'opérateur de Dirac.

Nous classifions les triplets spectraux finis selon leurs diagrammes. L'intérêt de ce type de classification se trouve dans le fait que beaucoup des propriétés des modèles en physique des particules que nous allons construire apparaissent à travers la structure de ces diagrammes. De plus, cela permet une manipulation très simple d'objets qui sont souvent des matrices de taille importante (90×90 pour le modèle standard) tout en perdant le moins d'information possible.

Ces diagrammes possèdent les propriétés suivantes :

Proposition 2.2.11 *Le diagramme associé à un triplet spectral fini n'est formé que de liens verticaux et horizontaux entre sommets de type différents de telle manière que le diagramme soit symétrique par rapport à la diagonale (échange des indices i et j).*

Démonstration:

Ces propriétés résultent des relations satisfaites par \mathcal{D} . Les liens sont soit verticaux soit horizontaux à cause de la condition d'ordre un et seuls des sommets de type différents sont reliés suite à la relation d'anticommutation $\chi \mathcal{D} + \mathcal{D} \chi = 0$. La relation $\mathcal{J} \mathcal{D} = \mathcal{D} \mathcal{J}$ implique la symétrie par rapport à la diagonale. \square

Il convient de remarquer que, puisque \mathcal{D} est hermitien, \mathcal{D}_{ij}^{kl} est non nul si et seulement si \mathcal{D}_{kl}^{ij} est non nul, ce que nous symbolisons par un seul lien non orienté sur le diagramme.

Sur ce diagramme, les liens verticaux correspondent aux éléments de matrices de l'opérateur Δ alors que les liens horizontaux sont relatifs à $\mathcal{J}\Delta\mathcal{J}^{-1}$.

Cette remarque nous permet de construire diagrammatiquement tous les triplet spectraux ;

1. On choisit une algèbre

$$\mathcal{A} = \bigoplus_{i=1}^N M_{n_i}(\mathbb{C}), \quad (2.93)$$

ainsi qu'une matrice de multiplicité $\mu \in M_N(\mathbb{Z})$ qui soit symétrique et non dégénérée.

2. A l'aide de la matrice de multiplicité, on construit les sommets du diagramme en associant à chaque point (i, j) du plan un sommet de type \oplus si $\mu_{ij} > 0$ ou un sommet de type \ominus si $\mu_{ij} < 0$.
3. Au sommet (i, j) on associe l'espace de Hilbert $\mathcal{H}_{ij} = \mathbb{C}^{n_i} \otimes \mathbb{C}^{|\mu_{ij}|} \otimes \mathbb{C}^{n_j}$.
4. On relie tous les sommets de type différent par des liens verticaux.
5. A chaque lien vertical entre (i, j) et (k, j) avec $i < k$ on associe l'élément de matrice de Δ donné par

$$\Delta_{ij}^{kj} = M_{ik,j} \otimes I_{n_j}, \quad (2.94)$$

où $M_{ik,j} \in M_{|\mu_{ij}|n_i \times |\mu_{kj}|n_j}(\mathbb{C})$ est une matrice quelconque.

6. Si $i > k$, on définit

$$\Delta_{ij}^{kl} = (M_{ki,j})^* \otimes I_{n_j}. \quad (2.95)$$

7. On termine en complétant par

$$\mathcal{D} = \Delta + \mathcal{J}\Delta\mathcal{J}^{-1}. \quad (2.96)$$

2.3 Théories de jauge

2.3.1 Symétries et théories de jauge

Les symétries d'un espace sont en correspondance directe avec les automorphismes de son algèbre des coordonnées, ce qui entraîne que, pour étudier les symétries d'un "espace quantique" déterminé par une algèbre \mathcal{A} , nous devons rechercher tous les automorphismes de \mathcal{A} .

Ensuite, ces symétries doivent être implémentées au niveau du triplet spectral $(\mathcal{A}, \mathcal{H}, \mathcal{D})$ en associant à chaque automorphisme ϕ une transformation unitaire U_ϕ de l'espace de Hilbert telle que

$$U_\phi \pi U_\phi^* = \pi \circ \phi^{-1}. \quad (2.97)$$

Commençons par déterminer les automorphismes de l'algèbre associée à un triplet spectral fini. Dans le cas le plus simple, l'algèbre est commutative et ses automorphismes sont connus.

Proposition 2.3.1 *Les automorphismes de l'algèbre \mathbb{C}^N sont les permutations des différents facteurs simples.*

Cela se démontre facilement en cherchant les images des éléments unités 1_i de chaque facteur simple.

Le groupe des automorphismes de cette algèbre est donc isomorphe au groupe des permutations de N éléments. A chaque permutation $\sigma \in S_N$ doit être associée une transformation unitaire U_σ telle que

$$U_\sigma \pi(1_i) U_\sigma^* = \pi(1_{\sigma(i)}). \quad (2.98)$$

Si on décompose \mathcal{H} en somme directe, $\mathcal{H} = \bigoplus_i \mathcal{H}_i$ avec $\mathcal{H}_i = \pi_{1_i} \mathcal{H}$, la relation (2.98) implique $U_\sigma \mathcal{H}_i \subset \mathcal{H}_{\sigma(i)}$. Un argument identique pour σ^{-1} nous prouve que l'on doit en fait avoir $\mathcal{H}_i = \mathcal{H}_{\sigma(i)}$. En conséquence, une permutation σ ne peut être une symétrie du triplet spectral que si les dimensions des sous-espaces que l'on veut permuter coïncident.

Sur le plan diagrammatique, cela correspond à effectuer cette permutation sur les lignes et les colonnes. La nouvelle matrice de multiplicité s'obtient par la relation

$$\mu' = P_{\sigma^{-1}} \mu P_\sigma, \quad (2.99)$$

où P_σ est la matrice de permutation définie par σ .

Si les symétries d'un triplet spectral commutatif sont discrètes, il n'en est plus de même dans le cas non commutatif. Par exemple, si $\mathcal{A} = M_n(\mathbb{C})$, alors pour tout unitaire $u \in M_n(\mathbb{C})$, l'application $x \mapsto uxu^{-1}$ est un automorphisme non trivial de \mathcal{A} . Ces automorphismes sont appelés automorphismes intérieurs et ce sont les seuls :

Proposition 2.3.2 *Tous les automorphismes de l'algèbre $M_n(\mathbb{C})$ sont intérieurs.*

En conséquence, le groupe des automorphismes de $M_n(\mathbb{C})$ est isomorphe à

$$PSU(n) = SU(n)/Z_n, \quad (2.100)$$

où $SU(n)$ désigne le groupe des matrices unitaires de déterminant 1 et Z_n est son centre est formé des matrices du type qI_n , avec $q^n = 1$.

Lorsque \mathcal{A} est une somme directe de N algèbres de matrices, chaque unitaire u détermine encore un automorphisme non trivial de \mathcal{A} . Notons que dans ce cas tous les automorphismes ne sont pas nécessairement intérieurs car il peut y avoir un sous groupe fini d'automorphismes qui correspondent simplement à des permutations de facteurs identiques.

Pour être une symétrie du triplet spectral $(\mathcal{A}, \mathcal{H}, \mathcal{D})$, chaque unitaire u doit être représenté sur l'espace de Hilbert par un opérateur U satisfaisant à

$$U\pi(x)U^{-1} = \pi(uxu^{-1}). \quad (2.101)$$

pour tout $x \in \mathcal{A}$.

Au cours de la section 2.2.2, nous avons montré que, en prenant

$$U = \pi(u)\mathcal{J}\pi(u)\mathcal{J}^{-1}, \quad (2.102)$$

alors U est solution de (2.101) et laisse invariant les opérateurs χ et \mathcal{J} . Seul l'opérateur de Dirac est modifié et devient

$$\mathcal{D} \rightarrow U\mathcal{D}U^{-1} = \mathcal{D} + u [\mathcal{D}, u^{-1}] + \mathcal{J}u [\mathcal{D}, u^{-1}] \mathcal{J}^{-1}, \quad (2.103)$$

où nous avons simplement noté u l'opérateur $\pi(u)$.

Cette transformation de l'opérateur de Dirac peut être reportée sur un champ de jauge A . Ce dernier est défini comme une 1-forme hermitienne, c'est-à-dire que c'est un opérateur hermitien qui peut s'écrire sous la forme

$$A = \sum_p x_p [\mathcal{D}, y_p] \quad (2.104)$$

avec $x_p, y_p \in \mathcal{A}$.

Sous une transformation de jauge, A devient

$$A \rightarrow uAu^{-1} + u [\mathcal{D}, u^{-1}], \quad (2.105)$$

de telle façon que l'opérateur de Dirac covariant $\mathcal{D} + A + \mathcal{J}A\mathcal{J}^{-1}$ se transforme en

$$\mathcal{D} + A + \mathcal{J}A\mathcal{J}^{-1} \rightarrow U (\mathcal{D} + A + \mathcal{J}A\mathcal{J}^{-1}) U^{-1}. \quad (2.106)$$

Cette loi de transformation nous assure que l'action fermionique définie par

$$\langle \Psi, (\mathcal{D} + A + \mathcal{J}A\mathcal{J}^{-1}) \Psi \rangle \quad (2.107)$$

est invariante de jauge lorsque le fermion Ψ se transforme en

$$\Psi \rightarrow \pi(u) \mathcal{J} \pi(u) \mathcal{J}^{-1} \Psi. \quad (2.108)$$

Nous renvoyons à la section 1.2.2 le lecteur intéressé par une étude détaillée de la symétrie de jauge dans un cadre général.

2.3.2 Détermination des 1-formes

Etudions en détail la structure de l'espace des 1-formes $\Omega_{\mathcal{D}}^1(\mathcal{A})$ associées à un triplet spectral fini $(\mathcal{A}, \mathcal{H}, \mathcal{D})$. Pour cela, commençons par rappeler que l'opérateur de Dirac \mathcal{D} peut être écrit sous la forme $\mathcal{D} = \Delta + \mathcal{J}\Delta\mathcal{J}^{-1}$, où Δ est un opérateur hermitien qui anticommute avec χ et commute avec $\mathcal{J}\pi(x)\mathcal{J}^{-1}$ pour tout $x \in \mathcal{A}$.

Proposition 2.3.3 *L'opérateur Δ apparaissant dans la décomposition de \mathcal{D} est une 1-forme.*

Démonstration:

Si G est le groupe des unitaires de \mathcal{A} , alors G est un groupe de Lie compact donc admet une mesure de Haar. En utilisant cette mesure, on a

$$\mathcal{D} = \int_G du u \mathcal{D} u^* - \int_G du u [\mathcal{D}, u^*]. \quad (2.109)$$

Puisque la mesure du est invariante par translation à gauche, le premier terme du second membre de 2.109 commute avec tous les unitaires donc avec tous les éléments de \mathcal{A} car n'importe quel $x \in \mathcal{A}$ peut s'écrire comme une somme de 4 unitaires.

Le second terme du deuxième membre de (2.109) commute avec $\mathcal{J}\pi(x)\mathcal{J}^{-1}$ pour tout $x \in \mathcal{A}$ en vertu de la condition d'ordre un. De plus, c'est une 1-forme car, en utilisant des sommes de Riemann, $\int_G du u [\mathcal{D}, u^*]$ peut être écrit comme une limite d'expressions du type $\sum_p x_p [\mathcal{D}, y_p]$ avec $x_p, y_p \in \mathcal{A}$. Puisqu'on est en dimension finie, l'espace $\Omega_{\mathcal{D}}^1(\mathcal{A})$ est un sous espace fermé et toute limite d'une suite de 1-formes est une 1-forme.

Enfin, chacun des deux termes du second membre de (2.109) anticommute avec la chiralité, ce qui implique, par application de l'unicité de la décomposition de l'opérateur de Dirac, que

$$\Delta = - \int_G du u [\mathcal{D}, u^*]. \quad (2.110)$$

Par conséquent, Δ est une 1-forme. □

Il est également possible de donner une démonstration de ce résultat en utilisant le diagramme associé au triplet spectral $(\mathcal{A}, \mathcal{H}, \mathcal{D})$. En effet, les éléments de matrice de Δ correspondent aux liens verticaux entre les différentes lignes. Puisque on ne peut relier une ligne à elle-même par un lien vertical, on a nécessairement $\pi(1_i)\Delta\pi(1_i) = 0$, où 1_i est l'élément unité du facteur $M_{n_i}(\mathbb{C})$ apparaissant dans la décomposition de \mathcal{A} . On en déduit que

$$\Delta = \Delta - \sum_{i=1}^N \pi(1_i)\Delta\pi(1_i) \quad (2.111)$$

$$= - \sum_{i=1}^N \pi(1_i) [\Delta, \pi(1_i)] \quad (2.112)$$

$$= - \sum_{i=1}^N \pi(1_i) [\mathcal{D}, \pi(1_i)] \quad (2.113)$$

ce qui prouve que Δ est une 1-forme.

Cette démonstration n'est cependant pas valable dans le cas des triplets spectraux réels, alors que la démonstration utilisant la mesure de Haar ne dépend pas du fait que l'algèbre soit réelle ou complexe. En fait, nous avons montré l'existence et l'unicité de la décomposition de l'opérateur de Dirac que pour les algèbres complexes. Dans le cas réel, la démonstration précédente nous permet de définir Δ par la relation (2.110). Le résultat d'unicité s'étend sans difficulté au cas réel et on a $\mathcal{D} = \Delta + \mathcal{J}\Delta\mathcal{J}^{-1}$ avec $\Delta \in \Omega_{\mathcal{D}}^1(\mathcal{A})$. Nous renvoyons aux dernières sections de ce chapitre pour une discussion de certaines des propriétés des algèbres réelles.

L'étape suivante dans la détermination des 1-formes consiste à relier $\Omega_{\mathcal{D}}^1(\mathcal{A})$ et Δ .

Proposition 2.3.4 *L'espace des 1-formes est égal au bimodule engendré par Δ .*

Démonstration:

Puisque $\Omega_{\mathcal{D}}^1(\mathcal{A})$ est un bimodule et que Δ est une 1-forme, il est clair que $\Omega_{\mathcal{D}}^1(\mathcal{A})$ contient le bimodule engendré par Δ .

Pour montrer la réciproque, il suffit d'écrire un élément générique de $\Omega_{\mathcal{D}}^1(\mathcal{A})$ sous la forme $A = \sum_p x_p [\mathcal{D}, y_p]$ avec $x_p, y_p \in \mathcal{A}$, et de remplacer \mathcal{D} par Δ dans l'expression précédente puisque $\mathcal{J}\Delta\mathcal{J}^{-1}$ commute avec $\pi(x)$ pour tout $x \in \mathcal{A}$.

□

L'expression de Δ à l'aide de ses éléments de matrices, donnée par la relation (2.87), est

$$\Delta_{ij}^{kl} = \sum_p \delta_{jl} E_{ik}^p \otimes M_{ik,j}^p \otimes I_{n_j}. \quad (2.114)$$

Nous rappelons que $\Delta_{ij}^{kl} = \pi(1_i)\mathcal{J}\pi(1_j)\mathcal{J}^{-1}\Delta\pi(1_k)\mathcal{J}\pi(1_l)\mathcal{J}^{-1}$, que $(E_{ik}^p)_{1 \leq p \leq n_i n_k}$ est une base de $M_{n_i \times n_k}(\mathbb{C})$ et que les matrices $M_{ik,j}^p \in M_{|\mu_{ij}| \times |\mu_{kj}|}(\mathbb{C})$ sont telles que Δ soit hermitien.

Nous choisissons la base de matrices élémentaires

$$\left(E_{ik}^{ab} \right)_{\substack{1 \leq a \leq n_i \\ 1 \leq b \leq n_k}}, \quad (2.115)$$

dont le seul élément non nul est égal à 1 et est situé à l'intersection de la ligne a et de la colonne b . Par commodité, nous noterons toujours p la paire (a, b) permettant de distinguer les matrices élémentaires.

A partir des matrices $M_{ik,j}^p$, formons les vecteurs colonnes M_{ik}^p définis par

$$M_{ik}^p = \begin{pmatrix} M_{ik,1}^p \\ \vdots \\ M_{ik,N}^p \end{pmatrix}. \quad (2.116)$$

Lorsque p varie, les $n_i n_k$ vecteurs M_{ik}^p engendrent un espace vectoriel M_{ik} dont nous notons p_{ik} la dimension.

$(M_{ik}^p)_{1 \leq p \leq n_i n_k}$ est un système de générateurs de M_{ik} dont nous pouvons toujours extraire une base. Sans perte de généralité, supposons que cette base soit donnée par les p_{ik} premiers vecteurs, ce qui entraîne que

$$\Delta_{ij}^{kl} = \sum_{p=1}^{p_{ik}} \delta_{jl} E_{ik}^p \otimes M_{ik,j}^p \otimes I_{n_j} + \sum_{\substack{1 \leq p \leq p_{ik} \\ p_{ik} \leq q \leq n_i n_k}} \delta_{jl} \lambda_{ik}^{pq} E_{ik}^p \otimes M_{ik,j}^q \otimes I_{n_j}, \quad (2.117)$$

avec λ_{ik}^{pq} .

Par multiplication à droite et à gauche par des matrices élémentaires bien choisies $E_{ii} \in M_{n_i}(\mathbb{C})$ et $E_{kk} \in M_{n_k}(\mathbb{C})$, on peut toujours obtenir un élément de matrice de $\pi(E_{ii})\Delta\pi(E_{kk})$ du type

$$(\pi(E_{ii})\Delta\pi(E_{kk}))_{ij}^{kl} = \delta_{jl} E_{ik}^p \otimes M_{ik,j}^p \otimes I_{n_j}. \quad (2.118)$$

Ensuite, en multipliant à droite et à gauche la relation précédente par des matrices quelconques et en prenant toutes les combinaisons linéaire possibles, on obtient une 1-forme Ω_{ik}^p dont l'élément de matrice est

$$(\Omega_{ik}^p)_{ij}^{kl} = \delta_{jl} \omega_{ik}^p \otimes M_{ik,j}^p \otimes I_{n_j}, \quad (2.119)$$

où $\omega_{ik}^p \in M_{n_i \times n_k}(\mathbb{C})$ est une matrice quelconque.

Puis nous répétons cette opération pour tous les indices $p \in \{1, 2, \dots, p_{ik}\}$ et tous les couples $(i, k) \in \{1, 2, \dots, N\}$, ce qui nous amène à une 1-forme Ω dont les éléments de matrice sont

$$\Omega_{ij}^{kl} = \sum_{p=1}^{p_{ik}} \delta_{jl} \omega_{ik}^p \otimes M_{ik,j}^p \otimes I_{n_j}, \quad (2.120)$$

où les matrices $\omega_{ik}^p \in M_{n_i \times n_k}(\mathbb{C})$ sont quelconques.

Cette 1-forme est en fait la 1-forme la plus générale car elle contient également les contributions du second terme du second membre de (2.117). En conséquence, nous pouvons énoncer le résultat suivant.

Proposition 2.3.5 *Un élément générique Ω de l'espace des 1-formes $\Omega_{\mathcal{D}}^1(\mathcal{A})$ est donné par ses éléments de matrices*

$$\Omega_{ij}^{kl} = \sum_{p=1}^{p_{ik}} \delta_{jl} \omega_{ik}^p \otimes M_{ik,j}^p \otimes I_{n_j}, \quad (2.121)$$

où les matrices $\omega_{ik}^p \in M_{n_i \times n_k}(\mathbb{C})$ sont quelconques

Pour chaque couple (i, k) , l'espace des matrices $M_{n_i \times n_k}(\mathbb{C})$ est répété p_{ik} fois, ce qui justifie la dénomination suivante.

Définition 2.3.1 *Les entiers p_{ik} sont appelés les multiplicités de l'espace des 1-formes.*

Il ressort de l'analyse précédente que la dimension de $\Omega_{\mathcal{D}}^1(\mathcal{A})$ peut être déterminée en fonction de p_{ik} .

Proposition 2.3.6 *La dimension de $\Omega_{\mathcal{D}}^1(\mathcal{A})$ est*

$$\sum_{i,k} p_{ik} n_i n_k \leq \sum_{i,k} (n_i n_k)^2. \quad (2.122)$$

La dernière inégalité résulte de $p_{ik} \leq n_i n_k$, qui est une conséquence immédiate de la définition des entiers p_{ik} .

Enfin, terminons par deux remarques qui nous seront utiles par la suite. Tout d'abord, puisque l'opérateur Δ est hermitien, il est toujours possible de supposer que les matrices $M_{ij,k}^p$ satisfont à $(M_{ij,k}^p)^* = M_{ji,k}^p$.

Ensuite, par application du procédé d'orthonormalisation de Gram-Schmidt à la base $(M_{ij}^p)_{1 \leq p \leq p_{ij}}$, nous pouvons, sans perte de généralité, supposer que les matrices $M_{ij,k}^p$ satisfont à

$$\sum_{k=1}^N n_k \operatorname{Tr} \left[(M_{ij,k}^p)^* M_{ij,k}^q \right] = X \delta_{p,q}, \quad (2.123)$$

où $X > 0$ est une constante de normalisation que nous spécifierons plus tard.

2.3.3 Application à la construction de triplets spectraux

Au cours du chapitre précédent, nous avons vu comment construire un triplet spectral $(\tilde{\mathcal{A}}, \tilde{\mathcal{H}}, \tilde{\mathcal{D}})$ à l'aide d'un autre triplet $(\mathcal{A}, \mathcal{H}, \mathcal{D})$, d'un module hermitien \mathcal{E} sur \mathcal{A} et d'une connexion ∇ sur \mathcal{E} , compatible avec la structure hermitienne. Rappelons brièvement que $\tilde{\mathcal{A}}$, $\tilde{\mathcal{H}}$ et $\tilde{\mathcal{D}}$ sont définis par :

$$\tilde{\mathcal{A}} = \operatorname{End}_{\mathcal{A}}(\mathcal{E}), \quad (2.124)$$

$$\tilde{\mathcal{H}} = \mathcal{E} \otimes_{\mathcal{A}} \mathcal{H} \otimes_{\mathcal{A}} \bar{\mathcal{E}}, \quad (2.125)$$

$$\tilde{\mathcal{D}}(\xi \otimes_{\mathcal{A}} \psi \otimes_{\mathcal{A}} \bar{\zeta}) = \nabla(\xi)\psi \otimes_{\mathcal{A}} \bar{\zeta} + \xi \otimes_{\mathcal{A}} \mathcal{D}(\psi) \otimes_{\mathcal{A}} \bar{\zeta} + \xi \otimes_{\mathcal{A}} \psi \overline{(\nabla(\zeta))}, \quad (2.126)$$

pour tous $\xi, \zeta \in \mathcal{E}$ et $\psi \in \mathcal{H}$. De même, les opérateurs $\tilde{\mathcal{J}}$ et $\tilde{\chi}$ sont définis à l'aide de \mathcal{J} et χ par

$$\tilde{\mathcal{J}}(\xi \otimes_{\mathcal{A}} \psi \otimes_{\mathcal{A}} \bar{\zeta}) = \zeta \otimes_{\mathcal{A}} \mathcal{J}(\psi) \otimes_{\mathcal{A}} \bar{\xi}, \quad (2.127)$$

$$\tilde{\chi}(\xi \otimes_{\mathcal{A}} \psi \otimes_{\mathcal{A}} \bar{\zeta}) = \xi \otimes_{\mathcal{A}} \chi(\psi) \otimes_{\mathcal{A}} \bar{\zeta}. \quad (2.128)$$

Le triplet $(\tilde{\mathcal{A}}, \tilde{\mathcal{H}}, \tilde{\mathcal{D}})$ ainsi construit correspond à une théorie de jauge sur l'espace non commutatif défini par $(\mathcal{A}, \mathcal{H}, \mathcal{D})$, donné par le module hermitien \mathcal{E} et la connexion ∇ .

Nous allons montrer qu'une large classe de triplets spectraux finis peut être obtenue par un tel procédé à partir de triplets spectraux commutatifs.

Proposition 2.3.7 *Tout triplet spectral fini dont l'espace des 1-formes n'a pas de multiplicité ($p_{ij} \leq 1$) peut être obtenu à l'aide d'une théorie de jauge avec une algèbre commutative.*

Avant de prouver ce résultat, nous devons étudier les théories de jauge construites à l'aide d'un triplet spectral fini commutatif $(\mathcal{A}, \mathcal{H}, \mathcal{D})$. L'algèbre \mathcal{A} est \mathbb{C}^N , l'espace de Hilbert, la représentation de \mathcal{A} ainsi que les opérateurs \mathcal{J} et χ sont donnés, à une équivalence unitaire près, par la matrice de multiplicité $m \in M_N(\mathbb{Z})$. L'opérateur de Dirac est univoquement reconstruit à partir des éléments de matrice $\Delta_{ij} = \pi(1_i)\Delta\pi(1_j)$ de l'opérateur Δ , où 1_i est l'élément de \mathbb{C}^N dont toutes les composantes sont nulles, sauf la i -ème, qui est égale à 1. Désormais, pour

alléger nos notations, nous omettrons le symbole π de la représentation et nous identifierons x et $\pi(x)$.

Les modules projectifs finis sur \mathcal{A} sont tous de la forme

$$\mathcal{E} = \mathbb{C}^{n_1} \oplus \mathbb{C}^{n_2} \oplus \dots \oplus \mathbb{C}^{n_N}, \quad (2.129)$$

où les n_i sont des nombres entiers positifs et chaque facteur \mathbb{C} de \mathcal{A} agit sur le facteur correspondant de \mathcal{E} par simple multiplication. Dans chacun des espaces \mathbb{C}^{n_i} on choisit une base $(e_i^a)_{1 \leq a \leq n_i}$ et les vecteurs e_i^a , lorsque les deux indices i et a varient, forment une base de \mathcal{E} en tant qu'espace vectoriel sur \mathbb{C} . La structure hermitienne sur \mathcal{E} est définie en choisissant la base précédente comme base orthonormale,

$$\langle e_i^a, e_j^b \rangle = \delta_{ab} \delta_{ij} 1_i. \quad (2.130)$$

Pour continuer notre construction, nous devons trouver toutes les connexions sur \mathcal{E} , compatibles avec la métrique précédente.

Proposition 2.3.8 *Les connexions hermitiennes sont données par*

$$\nabla(e_i^a) = - \sum_j e_i^a \otimes \Delta_{ij} + \sum_{j,b} A_{ij}^{ab} e_j^b \otimes \Delta_{ji}, \quad (2.131)$$

où les matrices $A_{ij} \in M_{n_i \times n_j}(\mathbb{C})$ satisfont à $A_{ij}^* = A_{ji}$.

Démonstration:

Pour montrer cela, il est pratique de se rappeler que l'espace des connexions est un espace affine sur l'espace des morphismes entre les modules à droite \mathcal{E} et $\mathcal{E} \otimes_{\mathcal{A}} \Omega_{\mathcal{D}}^1(\mathcal{A})$. Cela signifie que si nous avons une connexion ∇_0 , nous pouvons les obtenir toutes en rajoutant à ∇_0 un morphisme. Puisque les éléments de matrices non nuls Δ_{ij} forment une base de $\Omega_{\mathcal{D}}^1(\mathcal{A})$, les vecteurs $e_i^a \otimes \delta_{ij}$ forment une base de $\mathcal{E} \otimes_{\mathcal{A}} \Omega_{\mathcal{D}}^1(\mathcal{A})$ et nous définissons une application linéaire ∇_0 de \mathcal{E} dans $\mathcal{E} \otimes_{\mathcal{A}} \Omega_{\mathcal{D}}^1(\mathcal{A})$ par

$$\nabla_0(e_i^a) = - \sum_j e_i^a \otimes \Delta_{ij}. \quad (2.132)$$

Par linéarité, la vérification de la règle de Leibniz se fait sur les éléments de base.

$$\nabla_0(e_i^a 1_i) = -\delta_{ij} \sum_j e_i^a \otimes \Delta_{ij},$$

ainsi que

$$\nabla_0(e_i^a) 1_j + e_i^a \otimes_{\mathcal{A}} d(1_j) = - \sum_k e_i^a \otimes \Delta_{ik} 1_j e_i^a \otimes \delta_{ij} \quad (2.133)$$

$$- \delta_{ij} \sum_k e_i^a \otimes \Delta_{ik} \quad (2.134)$$

$$= -\delta_{ij} \sum_j e_i^a \otimes \Delta_{ij}, \quad (2.135)$$

nous prouvent que

$$\nabla_0(e_i^a 1_j) = \nabla_0(e_i^a) 1_j + e_i^a \otimes_{\mathcal{A}} d(1_j), \quad (2.136)$$

$$(2.137)$$

ce qui n'est autre que la règle de Leibniz. De même, le morphisme A de module le plus général entre \mathcal{E} et $\mathcal{E} \otimes_{\mathcal{A}} \Omega_{\mathcal{D}}^1(\mathcal{A})$ doit vérifier $A(e_i^a 1_j) = a(e_i^a) 1_j$ et s'écrit, dans la base précédente

$$A(e_i^a 1_j) = \sum_{j,b} A_{ij}^{ab} e_j^b \otimes \delta_{ji}, \quad (2.138)$$

où A_{ij}^{ab} désignent des nombres complexes quelconques. Par conséquent, la connexion la plus générale sur \mathcal{E} est définie par

$$\nabla(e_i^a 1_j) = -\sum_j e_i^a \otimes \Delta_{ij} + \sum_{j,b} A_{ij}^{ab} e_j^b \otimes \Delta_{ji}, \quad (2.139)$$

Reste à traduire la condition de compatibilité avec la métrique. Celle-ci requiert que

$$\langle e_i^a, \nabla(e_j^b) \rangle - \langle \nabla(e_i^a), e_j^b \rangle = d(\langle e_i^a, e_j^b \rangle). \quad (2.140)$$

En utilisant les relations

$$\begin{aligned} \langle e_i^a, \nabla(e_j^b) \rangle &= -\sum_k \langle e_i^a, e_j^b \rangle \Delta_{jk} + \sum_{k,c} A_{ik}^{ac} \langle e_i^a, e_k^c \rangle \Delta_{kj}, \\ \langle \nabla(e_i^a), e_j^b \rangle &= -\sum_k \langle e_i^a, e_j^b \rangle (\Delta_{jk})^* + \sum_{k,c} \overline{A_{ik}^{ac}} \langle e_i^a, e_k^c \rangle (\Delta_{kj})^*, \end{aligned}$$

la condition de compatibilité avec la métrique se traduit simplement par $\overline{A_{ij}^{ab}} = A_{ji}^{bc}$. \square

Nous pouvons maintenant achever notre construction du triplet spectral $(\tilde{\mathcal{A}}, \tilde{\mathcal{H}}, \tilde{\mathcal{D}})$. L'algèbre des endomorphismes du module \mathcal{E} est la somme directe des algèbres correspondant aux endomorphismes de chacun des espaces vectoriels \mathbb{C}^{n_i} . Par conséquent, on a

$$\tilde{\mathcal{A}} = \bigoplus_{i=1}^N M_{n_i}(\mathbb{C}). \quad (2.141)$$

En utilisant la matrice de multiplicité, on décompose l'espace de Hilbert

$$\mathcal{H} = \bigoplus_{ij} \mathcal{H}_{ij} \quad \text{avec} \quad \mathcal{H}_{ij} = \mathbb{C}^{|\mathfrak{m}_{ij}|}, \quad (2.142)$$

ce qui nous permet d'obtenir

$$\tilde{\mathcal{H}} = \bigoplus_{ij} \tilde{\mathcal{H}}_{ij} \quad \text{avec} \quad \tilde{\mathcal{H}}_{ij} = \mathcal{E} \otimes_{\mathcal{A}} \mathcal{H}_{ij} \otimes_{\mathcal{A}} \overline{\mathcal{E}} = \mathbb{C}^{n_i} \otimes \mathbb{C}^{|\mathfrak{m}_{ij}|} \otimes \mathbb{C}^{n_j}. \quad (2.143)$$

Les opérateurs $\tilde{\mathcal{J}}$ et $\tilde{\chi}$ sont donnés par

$$\tilde{\mathcal{J}}(e_i^a \otimes \psi_{ij} \otimes \overline{e_j^b}) = e_j^b \otimes \mathcal{J}(\psi_{ij}) \otimes \overline{e_i^a}, \quad (2.144)$$

$$\tilde{\chi}(e_i^a \otimes \psi_{ij} \otimes \overline{e_j^b}) = e_i^a \otimes \chi(\psi_{ij}) \otimes \overline{e_j^b}, \quad (2.145)$$

où ψ_{ij} désigne un vecteur générique de \mathcal{H}_{ij} . Ces relations nous montrent que les deux triplets spectraux $(\mathcal{A}, \mathcal{H}, \mathcal{D})$ et $(\tilde{\mathcal{A}}, \tilde{\mathcal{H}}, \tilde{\mathcal{D}})$ ont la même matrice de multiplicité.

L'opérateur de Dirac $\tilde{\mathcal{D}}$ s'exprime à l'aide de la connexion par

$$\tilde{\mathcal{D}}(e_i^a \otimes \psi_{ij} \otimes \overline{e_j^b}) = \nabla(e_i^a) \psi_{ij} \otimes \overline{e_j^b} + e_i^a \otimes \mathcal{D}(\psi_{ij}) \otimes \overline{e_j^b} + e_i^a \otimes \psi_{ij} \overline{\nabla(e_j^b)}. \quad (2.146)$$

D'après les résultats précédents, on a

$$\begin{aligned}\nabla(e_i^a)\psi_{ij} &= -\sum_k e_i^a \otimes \Delta_{ik}\psi_{ij} + \sum_{k,c} A_{ik}^{ac} e_k^c \otimes \Delta_{ki}\psi_{ij}, \\ \psi_{ij}(\overline{\nabla}(e_j^b)) &= -\sum_k \mathcal{J}\Delta_{jk}\mathcal{J}^{-1}\psi_{ij} \otimes e_j^b + \sum_{k,c} A_{jk}^{bc} \mathcal{J}\Delta_{kj}\mathcal{J}^{-1}\psi_{ij} \otimes e_k^c.\end{aligned}$$

En utilisant la relation $\Delta_{ii} = 0$ et le fait que $\mathcal{J}^{-1}\psi_{ij} \in \mathcal{H}_{ji}$, on montre que tous les termes apparaissant dans la définition de $\tilde{\mathcal{D}}$ sont nuls à l'exception de ceux contenant les coefficients A_{ik}^{ac} et \overline{A}_{jk}^{bc} . L'opérateur $\tilde{\mathcal{D}}$ peut donc se mettre sous la forme

$$\begin{aligned}\tilde{\mathcal{D}}(e_i^a \otimes \psi_{ij} \otimes \overline{e_j^b}) &= \sum_{k,c} A_{ik}^{ac} (e_k^c \otimes \Delta_{ki}\psi_{ij} \otimes \overline{e_j^b}) \\ &+ \sum_{k,c} \overline{A}_{jk}^{bc} (e_i^a \otimes \mathcal{J}\Delta_{kj}\mathcal{J}^{-1}\psi_{ij} \otimes \overline{e_k^c}).\end{aligned}\quad (2.147)$$

Nous pouvons également écrire l'opérateur de Dirac sous la forme $\tilde{\mathcal{D}} = \tilde{\Delta} + \tilde{\mathcal{J}}\tilde{\Delta}\tilde{\mathcal{J}}^{-1}$, avec

$$\tilde{\Delta}(e_i^a \otimes \psi_{ij} \otimes \overline{e_j^b}) = \sum_{k,c} A_{ik}^{ac} (e_k^c \otimes \Delta_{ki}\psi_{ij} \otimes \overline{e_j^b}) \quad (2.148)$$

Cependant, nous n'avons pas la solution la plus générale pour l'opérateur de Dirac, car nous avons vu au début de ce chapitre que celle contient une sommation sur un indice de multiplicité qui est ici absent.

Ainsi, nous avons réussi à construire une large classe de triplets spectraux fini à l'aide de modules et de connexions sur des triplets commutatifs associés. En d'autres termes, une grande majorité des espaces discrets non commutatifs correspondent simplement à des théories de jauge sur des espaces commutatifs. Ces théories de jauge sont décrites par des modules projectifs, c'est-à-dire des fibrés vectoriels non commutatifs, qui peuvent être interprétés comme suit.

La base de ce fibré est un ensemble fini de N points, associé à l'algèbre des coordonnées \mathbb{C}^N . Si nous repérons chacun de ces points par un indice i , au dessus du point labelé par i , se trouve une "fibre" formée d'un ensemble fini de n_i points, de telle manière que le module des sections du fibré soit la somme directe des espaces vectoriels \mathbb{C}^{n_i} attachés à chaque point. Une transformation de jauge est simplement un changement de base orthonormale dans chacun de ces espaces vectoriels; le groupe de jauge est donc le produit direct $U(n_1) \times \dots \times U(n_N)$. Enfin, la connexion va relier les fibres au dessus de chaque point en utilisant le calcul différentiel sur la base, tout en restant compatible avec la symétrie de jauge.

2.4 Distances associées aux triplets spectraux finis

2.4.1 Généralités

La géométrie non commutative permet de généraliser la notion de distance géodésique en remplaçant les points de l'espace par les états purs de l'algèbre des coordonnées. Bien entendu, cette notion garde un sens dans le cas des triplets spectraux finis et permet de définir une distance sur l'ensemble des états purs d'une somme directe d'algèbres de matrices.

Lorsque l'algèbre est commutative, l'espace des états purs est un ensemble fini sur lequel la distance est donnée par la formule suivante.

Proposition 2.4.1 Soit $(\mathcal{A}, \mathcal{H}, \mathcal{D})$ un triplet spectral fini avec l'algèbre commutative $\mathcal{A} = \mathbb{C}^N$. Les états purs de \mathcal{A} forment un ensemble fini de N points sur lesquels la distance est donnée par

$$d_{ij} = \sup_{(x_1, \dots, x_N) \in \mathbb{C}^N} \{|x_i - x_j| \text{ tel que } \|\Delta, x\| \leq 1\}. \quad (2.149)$$

Démonstration:

Il suffit de remarquer que les états purs de \mathbb{C}^N sont donnés par les formes linéaires ϕ_i définies par $\phi_i(x) = x_i$ pour tout $x = (x_1, \dots, x_N) \in \mathbb{C}^N$. La construction générale de la distance reste alors valable. \square

Bien entendu, cette distance peut être infinie, comme c'est le cas si on prend $\Delta = 0$. Il convient de noter que nous avons remplacé l'opérateur de Dirac \mathcal{D} par Δ car $[\mathcal{J}\Delta\mathcal{J}^{-1}, \pi(x)] = 0$ pour tout $x \in \mathcal{A}$. Lorsque le nombre de points N est fixé, la distance dépend uniquement de Δ . Se pose alors la question de savoir si Δ étant donné, il existe un triplet spectral fini dont l'opérateur de Dirac satisfait à $\mathcal{D} = \Delta + \mathcal{J}\Delta\mathcal{J}^{-1}$.

Proposition 2.4.2 Soit $\mathcal{H} = \bigoplus_{i=1}^N \mathcal{H}_i$ un espace de Hilbert de dimension finie et Δ un opérateur hermitien sur \mathcal{H} dont les éléments de matrice diagonaux Δ_{ii} sont nuls. Alors il existe un triplet spectral fini $(\mathcal{A}, \mathcal{H}, \mathcal{D})$ avec $\mathcal{A} = \mathbb{C}^N$ et $\mathcal{D} = \Delta + \mathcal{J}\Delta\mathcal{J}^{-1}$.

Démonstration:

Remarquons que la condition $\Delta_{ii} = 0$ est nécessaire car nous avons vu que $\Delta_{ii} = \pi(1_i)\Delta\pi(1_i) = 0$.

Pour construire le triplet spectral, nous allons utiliser la construction diagrammatique de l'opérateur \mathcal{D} . Les sommets de ce diagramme sont les points du plan de coordonnées (i, j) , où i et j vont de 1 à N . Nous relierons les points de coordonnées $(N, 1)$ et (N, j) si et seulement si Δ_{1j} est non nul. Nous affectons un signe $+$ au point $(N, 1)$ et un signe $-$ aux points (N, j) qui sont reliés à $(N, 1)$ et détruisons tous les autres sommets de cette ligne. Par symétrie par rapport à la première diagonale, nous construisons la colonne formée des points de coordonnées $(i, 1)$ avec $i < N$. Nous poursuivons l'opération pour la seconde ligne en affectant un signe $+$ au point $(N-1, 2)$, un signe $-$ à tous les points $(N-1, j)$ pour $j > 2$ qui sont tels que $\Delta_{2j} \neq 0$ et nous complétons par symétrie pour obtenir les éléments de la deuxième colonne $(i, N-1)$ tels que $i < N-2$. Ensuite nous procédons de la même manière jusqu'à la dernière ligne.

A partir du diagramme ainsi construit, on reconstruit un triplet spectral fini convenant par les méthodes que nous avons exposées au cours de ce chapitre. Par construction, tous les axiomes sont satisfaits, à l'exception peut-être de la dualité de Poincaré. Cependant, celle-ci peut toujours être obtenue en ajustant la dimension des espaces vectoriels apparaissant dans la décomposition de l'espace de Hilbert, quitte à compléter l'opérateur de Dirac par des lignes et des colonnes nulles. \square

Avant de nous consacrer exclusivement au cas commutatif, étudions un exemple de distance basée sur une algèbre non commutative.

Exemple 2.4.1

Considérons l'algèbre $\mathcal{A} = M_n(\mathbb{C}) \oplus \mathbb{C}$ représentée dans $\mathcal{H} = \mathbb{C}^n \oplus \mathbb{C}$. L'opérateur Δ correspondant est

$$\Delta = \begin{pmatrix} 0 & m \\ m^* & 0 \end{pmatrix}, \quad (2.150)$$

où $m \in \mathbb{C}^n$ est un vecteur colonne. Les états purs de $\mathcal{A} = M_n(\mathbb{C}) \oplus \mathbb{C}$ sont donnés par la réunion disjointe de $\mathbb{C}P^{n-1}$ et d'un point. Désignons par (x, y) un élément de \mathcal{A} et posons $z = x - yI_n$, où I_n est la matrice unité $n \times n$. Avec ces notations, on a

$$[\Delta, (x, y)] = \begin{pmatrix} 0 & -zm \\ m^*z & 0 \end{pmatrix}, \quad (2.151)$$

Montrons que la condition $\|[\Delta, (x, y)]\| \leq 1$ est équivalente à

$$\begin{cases} \text{Tr}(mm^*zz^*) \leq 1 \\ \text{Tr}(mm^*z^*z) \leq 1. \end{cases} \quad (2.152)$$

En effet, on a

$$\begin{pmatrix} 0 & -zm \\ m^*z & 0 \end{pmatrix} \begin{pmatrix} 0 & zm^* \\ -mz & 0 \end{pmatrix} = \begin{pmatrix} zmm^*z^* & 0 \\ 0 & m^*zz^*m \end{pmatrix}, \quad (2.153)$$

ce qui prouve que $\|[\Delta, (x, y)]\| \leq 1$ si et seulement si zmm^*z^* et m^*zz^*m . La dernière de ces matrices étant simplement un nombre réel, elle est de norme un si et seulement si $\text{Tr}(mm^*z^*z) \leq 1$. Puisque mm^* est une matrice de rang 1, il en est de même de zmm^*z^* , ce qui implique que tous ses déterminants extraits d'ordre ≥ 2 sont nuls. On en déduit que son équation caractéristique est

$$\lambda^n - \text{Tr}(zmm^*z^*)\lambda^{n-1} = 0, \quad (2.154)$$

ce qui prouve que

$$\|zmm^*z^*\| = \text{Tr}(zmm^*z^*) = \text{Tr}(mm^*z^*z). \quad (2.155)$$

Avant d'aborder cette étude, nous pouvons simplifier le problème de la manière suivante. Si nous multiplions l'opérateur Δ par une constante $\lambda > 0$, il est clair que la distance est multipliée par la constante $1/\lambda$. En appliquant cela, on peut toujours supposer que le vecteur m est normalisé, quitte à multiplier la distance par $1/|m|$, avec $|m| = \sqrt{m^*m}$. Bien entendu, nous supposons que m est non nul, car si tel était le cas, il est clair que toutes les distances seraient infinies car (2.152) est vérifiée pour toutes valeurs de x et y .

De plus, en utilisant l'invariance de jauge de la distance (cf §1.2.2), nous pouvons supposer que $m = (1, 0, \dots, 0)$. En effet, nous avons montré qu'il est équivalent de faire une transformation de jauge sur l'opérateur de Dirac ou de la faire sur les états. En effectuant la transformation associée à l'unitaire $(u, 1)$, où $u \in M_n(\mathbb{C})$ permet de transformer m en $(1, 0, \dots, 0)$, on se ramène au cas $m = (1, 0, \dots, 0)$. Dans ce cas, les contraintes donnée par (2.152) se réduisent à

$$\sum_{j=1}^n |z_{1j}|^2 \quad \text{et} \quad \sum_{i=1}^n |z_{i1}|^2, \quad (2.156)$$

où z_{ij} désigne l'élément de la matrice z situé sur la ligne i et la colonne j .

Il est aussi utile d'introduire sur \mathbb{C}^N le produit scalaire usuel

$$\langle x, y \rangle = x^*y, \quad (2.157)$$

ce qui fait de m un vecteur unitaire.

Les distances entre états purs de cette algèbre sont de deux types. Nous pouvons soit calculer la distance entre deux états purs de $M_n(\mathbb{C})$, soit calculer la distance entre un état pur de $M_n(\mathbb{C})$ et l'unique état pur de \mathbb{C} .

Commençons par ce dernier cas. Soit ϕ_ξ l'état pur de $M_n(\mathbb{C})$ déterminé par le vecteur unitaire $\xi \in \mathbb{C}^n$. Son action sur $x \in M_n(\mathbb{C})$ est $\phi_\xi = \text{Tr}(\xi^*x\xi)$ et on a

$$|\text{Tr}(\xi^*x\xi) - y| = |\text{Tr}(\xi^*z\xi)|, \quad (2.158)$$

compte tenu de $\text{Tr}(\xi^*\xi) = 1$. Nous devons donc calculer le maximum de $|\text{Tr}(\xi^*z\xi)| = |\text{Tr}(\xi\xi^*z)|$ avec les contraintes données par (2.156).

Puisque

$$|\text{Tr}(\xi^*z\xi)| = \sum_{ij} \bar{\xi}_i z_{ij} \xi_j, \quad (2.159)$$

il est clair que si $\xi_i \neq 0$ pour au moins un des indices $i \in \{2, 3, \dots, n\}$, en prenant $z_{1i} = z_{i1} = 0$ et $z_{ij} = L > 0$ si i et j sont distincts de 1, les contraintes (2.156) sont toujours satisfaites. En faisant tendre L vers l'infini, on obtient une distance infinie.

Dans le cas contraire, on a

$$\text{Tr}(\xi^*z\xi) = \sum_i \bar{\xi}_i z_{i1} \xi_1 + \sum_j \bar{\xi}_1 z_{1j} \xi_j. \quad (2.160)$$

En appliquant Cauchy-Schwarz à chacun des termes du second membre de cette équation, on déduit que

$$|\text{Tr}(\xi^*z\xi)| \leq 1. \quad (2.161)$$

Réciproquement, en choisissant $z_{i1} = \xi_i$ et $z_{j1} = \bar{\xi}_j$ il est clair que les conditions (2.156) sont satisfaites et que

$$|\text{Tr}(\xi^*z\xi)| = 1, \quad (2.162)$$

ce qui prouve que la distance est égale à 1.

La distance entre deux états purs de $M_n(\mathbb{C})$ déterminés par les vecteurs unitaires ξ et ζ se calcule de manière identique. Soit $x \in M_n(\mathbb{C})$, $y \in \mathbb{C}$ et $z = x - yI_n$. Commençons par remarquer que

$$|\text{Tr}(\xi^*x\xi) - \text{Tr}(\zeta^*x\zeta)| = |\text{Tr}(z\xi\xi^*) - \text{Tr}(z\zeta\zeta^*)|, \quad (2.163)$$

ce qui s'écrit aussi

$$|\text{Tr}(\xi^*x\xi) - \text{Tr}(\zeta^*x\zeta)| = \sum_{ij} z_{ij} (\bar{\xi}_i \bar{\xi}_j - \bar{\zeta}_i \zeta_j). \quad (2.164)$$

Supposons dans un premier temps que $|\xi_2|^2 - |\zeta_2|^2$ soit non nul. Dans ce cas il est clair que si on choisit $z_{12} = z_{21} = z_{11} = 0$ et $z_{22} = L$, les conditions données par (2.156) sont satisfaites et on a

$$|\text{Tr}(\xi^*x\xi) - \text{Tr}(\zeta^*x\zeta)| = \left| |\xi_2|^2 - |\zeta_2|^2 \right| L. \quad (2.165)$$

En faisant tendre L vers l'infini, on trouve $d(\xi, \zeta) = +\infty$.

Si on a $|\xi_2|^2 - |\zeta_2|^2 = 0$, alors

$$|\text{Tr}(\xi^*x\xi) - \text{Tr}(\zeta^*x\zeta)| = +z_{21}(\bar{\xi}_2 \xi_1 - \bar{\zeta}_2 \zeta_1) + z_{12}(\bar{\xi}_1 \xi_2 - \bar{\zeta}_1 \zeta_2). \quad (2.166)$$

car on a aussi $|\xi_1|^2 - |\zeta_1|^2 = 0$ puisque $|\xi_1|^2 + |\xi_2|^2 = 1$ et $|\zeta_1|^2 + |\zeta_2|^2 = 1$. Dans ce cas on a, compte-tenu de (2.156),

$$|\text{Tr}(\xi^*z\xi) - \text{Tr}(\zeta^*z\zeta)|^2 \leq 2 \left| \bar{\xi}_1 \xi_2 - \bar{\zeta}_1 \zeta_2 \right|, \quad (2.167)$$

qui est atteint en prenant

$$z_{11} = 0, \quad z_{12} = \overline{z_{21}} = e^{i \arg(\bar{\xi}_1 \xi_2 - \bar{\zeta}_1 \zeta_2)}. \quad (2.168)$$

Cette dernière relation suppose que $\bar{\xi}_1 \xi_2 - \bar{\zeta}_1 \zeta_2$ est non nul. Si tel est le cas, alors, compte tenu de $|\xi_1|^2 = |\xi_2|^2$ et de $|\zeta_1|^2 = |\zeta_2|^2$, on a

$$\begin{vmatrix} \xi_1 & \zeta_1 \\ \xi_2 & \zeta_2 \end{vmatrix} = 0, \quad (2.169)$$

ce qui prouve que les états définis par les vecteurs ξ et η sont identiques. Par conséquent la distance les séparant est nulle et on a

$$d(\xi, \zeta) = 2 \left| \bar{\xi}_1 \bar{\xi}_2 - \bar{\zeta}_1 \zeta_2 \right| \quad (2.170)$$

dans les deux cas.

Cette relation peut se réécrire sous une forme intrinsèque de la manière suivante. Puisque $|\xi_1|^2 = |\xi_2|^2$ et $|\zeta_1|^2 = |\zeta_2|^2$, on a

$$\xi \xi^* - \zeta \zeta^* = \begin{pmatrix} 0 & \bar{\xi}_2 \xi_1 - \bar{\zeta}_2 \zeta_1 \\ \xi_1 \bar{\xi}_2 - \bar{\zeta}_1 \zeta_2 & 0 \end{pmatrix}, \quad (2.171)$$

ce qui montre que

$$2 \left| \bar{\xi}_1 \bar{\xi}_2 - \bar{\zeta}_1 \zeta_2 \right|^2 = \text{Tr} (\xi \xi^* - \zeta \zeta^*)^2. \quad (2.172)$$

En développant la trace, on obtient

$$\left| \bar{\xi}_1 \bar{\xi}_2 - \bar{\zeta}_1 \zeta_2 \right|^2 = 2 \left(1 - |\langle \xi, \zeta \rangle|^2 \right), \quad (2.173)$$

d'où

$$d(\xi, \zeta) = \sqrt{2 - 2|\langle \xi, \zeta \rangle|^2} \quad (2.174)$$

Nous pouvons utiliser l'homogénéité de la distance et l'invariance de jauge pour nous ramener au cas général d'un vecteur m quelconque. En conclusion,

$$\begin{cases} d(1, \xi) = \frac{1}{|m|} & \text{si } \xi \text{ et } m \text{ sont proportionnels,} \\ d(1, \xi) = +\infty & \text{sinon,} \end{cases} \quad (2.175)$$

où nous avons noté 1 l'unique état pur de \mathbb{C} . La distance entre deux états purs de $M_n(\mathbb{C})$ est donnée par

$$\begin{cases} d(\xi, \zeta) = \frac{1}{|m|} \sqrt{2 - 2|\langle \xi, \zeta \rangle|^2} & \text{si } |\langle m, \xi \rangle| = |\langle m, \zeta \rangle|, \\ d(\xi, \zeta) = +\infty & \text{sinon,} \end{cases} \quad (2.176)$$

Terminons l'étude de cet exemple par une interprétation géométrique de cette distance en dimension 2.

Nous savons que l'espace des états purs de $M_2(\mathbb{C})$ est la droite projective complexe PC^1 qui est isomorphe à la sphère S^2 en tant que variété différentiable. Cet isomorphisme peut être construit à l'aide de la fibration de Hopf [N]. En effet, si (z_1, z_2) est un vecteur unitaire de \mathbb{C}^2 , définissons trois nombres réels α, β, γ par

$$\begin{aligned} \alpha &= 2\Re(z_1 \bar{z}_2), \\ \beta &= 2\Im(z_1 \bar{z}_2), \\ \gamma &= |z_1|^2 - |z_2|^2. \end{aligned} \quad (2.177)$$

Il est aisé de vérifier que $\alpha^2 + \beta^2 + \gamma^2 = 1$, ce qui montre que les relations précédentes définissent une application π de S^3 (les vecteurs unitaires de \mathbb{C}^2) dans S^2 . Cette application est surjective mais non injective car deux éléments unitaires de \mathbb{C}^2 ont même image par π si et seulement si l'un se déduit de l'autre par multiplication par une phase. Par conséquent ces deux vecteurs déterminent le même état pur et nous avons bien un isomorphisme entre l'espace des états purs et la sphère S^2 .

Notons (α, β, γ) et (δ, ϵ, η) les points de la sphère associés à deux états purs ξ et ζ . si nous choisissons $m = (1, 0)$ pour simplifier nos notations, la distance précédente détermine une distance sur S^2 donnée par

$$\begin{cases} d(\xi, \zeta) = \sqrt{(\alpha - \delta)^2 + (\beta - \epsilon)^2} & \text{si } \gamma = \eta, \\ d(\xi, \zeta) = +\infty & \text{sinon,} \end{cases} \quad (2.178)$$

Cela signifie que notre distance n'est autre que la distance euclidienne réstrainte aux plan d'altitude constante, la distance entre des points situés dans des plans d'altitudes différentes étant infinie. ■

Dans le cas que nous venons d'étudier, la distance est invariante de jauge en ce sens que si on prend un unitaire $u \in U(n)$, la distance entre les états transformés de jauge $u\xi$ et $u\zeta$ est la même que celle entre ξ et ζ , puisque cette distance ne dépend que du produit scalaire entre ξ et ζ . Ceci découle du fait que la contrainte $\|\Delta(x, y)\| \leq 1$ ne fait pas intervenir le vecteur unitaire ψ apparaissant dans la décomposition de l'opérateur de Dirac donnée par $m = |m|\psi$. En effet, nous savons, par la propriété de covariance de la distance, que la distance entre $u\xi$ et $u\zeta$ avec l'opérateur Δ est égale à la distance entre ξ et ζ avec l'opérateur $u\Delta u^{-1}$. Or cette dernière transformation sur l'opérateur de Dirac équivaut à changer ψ en $u\psi$. Étant donné que la contrainte ne dépend pas de ψ , les distances obtenues sont les mêmes dans les deux cas.

Dans le cas général, cette propriété n'est plus vérifiée, car les contraintes obtenues avec un opérateur de Dirac et son transformé de jauge ne sont plus nécessairement équivalentes. Cependant les distances sont toujours covariantes, et on peut définir une distance invariante de jauge sur les classes d'équivalence d'états purs en utilisant la méthode introduite au cours du chapitre précédent. Deux états sont équivalents si et seulement si ils peuvent être déduits l'un de l'autre par une transformation de jauge. Dans notre cas, deux états purs sont équivalents si et seulement si ils correspondent au même facteur $M_{n_i}(\mathbb{C})$ apparaissant dans la décomposition de \mathcal{A} . Par conséquent, l'ensemble des classes d'équivalences est un ensemble fini à N points, où N est le nombre de facteur simples apparaissant dans la décomposition de \mathcal{A} en algèbres de matrices.

2.4.2 Distances et chemins

Nous allons étudier quelques propriétés de la distance associée à un triplet spectral fini, en essayant d'en donner une interprétation géométrique à l'aide de diagrammes.

Nous partons d'un entier N et d'une matrice hermitienne Δ donnée par ses N^2 blocs Δ_{ij} . Nous supposons que $\Delta_{ii} = 0$, ce qui est une condition nécessaire et suffisante pour identifier Δ avec l'opérateur apparaissant dans la décomposition de l'opérateur de Dirac d'un triplet spectral fini. Sur l'ensemble fini à N éléments, nous définissons une distance par

$$d_{ij} = \sup_{(x_1, \dots, x_N) \in \mathbb{C}^N} \{|x_i - x_j| \text{ tel que } \|\Delta(x)\| \leq 1\}. \quad (2.179)$$

qui est l'analogue discret de la distance définie dans la section 2.1.3.

Bien entendu, la condition $\Delta_{ii} = 0$ ne joue aucun rôle dans la définition de d_{ij} , nous pouvons l'abandonner et étudier d_{ij} indépendamment de tout triplet spectral fini.

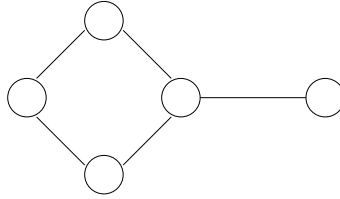
En vue de pouvoir interpréter géométriquement cette distance, construisons pour chaque couple (N, Δ) un diagramme.

Définition 2.4.1 *Le diagramme associé au couple (N, Δ) , où Δ est une matrice hermitienne formée de N^2 blocs Δ_{ij} tels que $\Delta_{ii} = 0$, est formé de N sommets qui sont reliés si et seulement si l'élément de matrice Δ_{ij} est non nul.*

Ce diagramme permet de repérer immédiatement les éléments de matrice non nuls de Δ . Par exemple, si $N = 5$ et si Δ est donné par

$$\Delta = \begin{pmatrix} 0 & * & * & 0 & 0 \\ * & 0 & 0 & * & 0 \\ * & 0 & 0 & * & 0 \\ 0 & * & * & 0 & * \\ 0 & 0 & 0 & * & 0 \end{pmatrix}, \quad (2.180)$$

où $*$ désigne un élément non nul, le diagramme associé est



En général, la matrice Δ ne contient pas nécessairement beaucoup d'éléments de matrice nuls. Il est cependant parfois intéressant de pouvoir annuler certaines de ses lignes ou colonnes. Sur le plan diagrammatique, cela revient à isoler les sommets correspondants. Le résultat suivant s'avère utile.

Proposition 2.4.3 *Soit Δ' l'opérateur obtenu en annulant une ou plusieurs lignes de Δ ainsi que les colonnes correspondantes. Alors la distance calculée à partir de Δ' est supérieure ou égale à celle calculée à partir de Δ .*

Démonstration:

Soit $e \in \mathbb{C}^N$ défini par $e_i = 0$ si la ligne et la colonne i sont supprimés et $e_i = 1$ sinon. e est une projection commutant avec tout $x \in \mathcal{A}$ et telle que $\Delta' = e \Delta e$. On en déduit

$$\|[\Delta', x]\| \leq \|e[\Delta, x]e\| \leq \|[\Delta, x]\| \quad (2.181)$$

pour tout $x \in \mathcal{A}$. Par conséquent, la contrainte $\|[\Delta, x]\| \leq 1$ est plus forte que $\|[\Delta', x]\| \leq 1$, d'où l'inégalité annoncée entre les distances. \square

Nous allons utiliser ce résultat pour donner une interprétation géométrique de cette distance à l'aide de chemins sur le diagramme correspondant.

Définition 2.4.2 *Un chemin reliant les sommets i et j est un ensemble de $n+1$ sommets distincts $i = i_0, i_1, \dots, i_{n-1}, i_n = j$ tels que $\Delta_{i_k i_{k+1}} \neq 0$ pour tout $k \in \{0, 1, \dots, n-1\}$.*

Cette notion de chemin nous permet de simplifier le calcul de la distance de la manière suivante.

Proposition 2.4.4 *La distance entre les points i et j ne dépend que des éléments de matrice situés sur les chemins reliant i et j .*

Démonstration:

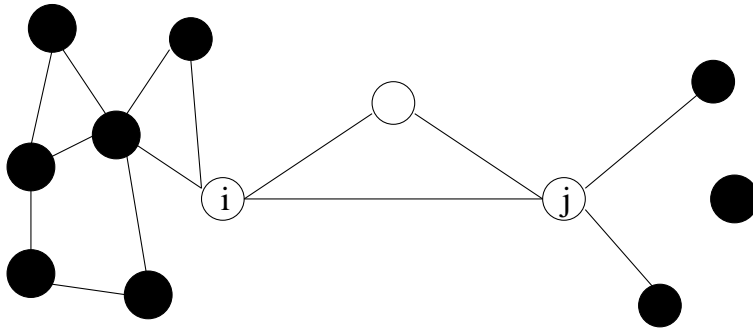
Soit Δ' l'opérateur obtenu en enlevant toutes les lignes et les colonnes associées aux sommets qui ne sont pas situés sur les chemins reliant i et j et d'_{ij} la distance correspondante. La proposition précédente montre que $d_{ij} \leq d'_{ij}$.

Soit I l'ensemble des sommets qui ne sont pas situés sur les chemins reliant i et j et soit x un élément de \mathbb{C}^N tel que, pour tout $k \in I$, on ait

$$\begin{cases} x_k = x_i & \text{si } \Delta_{ki} \neq 0 \\ x_k = x_j & \text{si } \Delta_{kj} \neq 0. \end{cases} \quad (2.182)$$

Bien entendu, il n'est pas possible que k soit relié à i et à j , car sinon il serait situé sur un chemin reliant i et j . Pour un tel x , il est facile de voir que $[\Delta, x] = [\Delta', x]$ car $\Delta_{kl}(x_k - x_l) = 0$ si ni k , ni l ne sont reliés à i ou j . On en déduit que $d'_{ij} \leq d_{ij}$. D'où légalité annoncée. \square

Cette dernière propriété de la distance permet de simplifier grandement beaucoup de calculs. Par exemple, si nous voulons calculer la distance associée à un diagramme du type suivant,



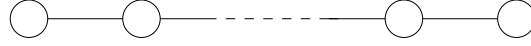
nous pouvons éliminer tous les éléments de matrice de l'opérateur Δ , en noir sur le dessin, qui correspondent à des arêtes situés à gauche du sommet i ou à droite du sommet j .

Plus particulièrement, cette propriété permet de ramener la détermination des distances associées à un diagramme simplement connexe à un calcul effectué dans le cadre d'un réseau linéaire. Un diagramme simplement connexe est un diagramme tel que deux points quelconques peuvent être reliés par un et un seul chemin.

En effet, la distance entre deux sommets i et j ne dépend que des éléments de matrice situés sur les chemins reliant i à j . Dans le cas d'un diagramme simplement connexe, il n'y a qu'un seul chemin joignant ces deux points, que nous définissons par ses sommets $i_0 = i, i_1, \dots, i_{n-1}, i_n = j$. Comme nous pouvons éliminer tous les éléments de matrices qui n'appartiennent pas à ce chemin, nous pouvons remplacer Δ par la matrice tridiagonale suivante,

$$\begin{pmatrix} 0 & \Delta_{i_0 i_1} & 0 & \dots & \dots & 0 \\ \Delta_{i_1 i_0} & 0 & \Delta_{i_1 i_2} & 0 & \dots & 0 \\ 0 & \ddots & \ddots & \ddots & \ddots & \vdots \\ \vdots & \ddots & \ddots & \ddots & \ddots & 0 \\ 0 & \dots & 0 & \Delta_{i_{N-2} i_{N-3}} & 0 & \Delta_{i_{N-2} i_{N-1}} \\ 0 & \dots & \dots & 0 & \Delta_{i_{N-1} i_{N-2}} & 0 \end{pmatrix}, \quad (2.183)$$

qui correspond à une chaîne linéaire représentée par le diagramme à N points suivant.



Si on ne considère que 2 points, il est clair que la distance entre ces deux points est donnée par

$$d_{12} = \frac{1}{\|\Delta_{12}\|}, \quad (2.184)$$

où $\|\Delta_{12}\|$ désigne la norme de l'élément de matrice Δ_{12} . Cela nous amène à définir la longueur d'un chemin comme la somme des distances entre deux points consécutifs, considérés comme des points isolés du diagramme.

Définition 2.4.3 La longueur d'un chemin $\gamma = i_0, i_1, \dots, i_{n-1}, i_n$ reliant les points i et j est définie par

$$L(\gamma) = \sum_{k=1}^n \frac{1}{\|\Delta_{i_{k-1}i_k}\|}. \quad (2.185)$$

Dans le cas d'une variété, la distance géodésique entre deux points est la longueur de la courbe la plus courte joignant ces deux points. Cela se transpose dans notre contexte de la manière suivante.

Définition 2.4.4 La distance géodésique L_{ij} entre i et j est la longueur du plus court chemin reliant i et j .

Nous pouvons comparer la distance géodésique avec la distance que nous avons définie au début de ce chapitre.

Proposition 2.4.5 La distance d_{ij} est inférieure ou égale à la distance géodésique L_{ij} .

Démonstration:

Soit Δ' la matrice obtenue en supprimant toutes les lignes et les colonnes qui ne sont pas situées sur un chemin réalisant le minimum de la distance géodésique et d'_{ij} la distance correspondante. Alors, en appliquant un des résultats précédents, on obtient $d_{ij} \leq d'_{ij}$. Si $i = i_0, i_1, \dots, i_{n-1}, i_n = j$ désigne le chemin précédent, on a, par l'inégalité triangulaire,

$$d'_{ij} \leq \sum_{k=1}^n d'_{i_{k-1}i_k}. \quad (2.186)$$

Puisque la distance entre i_{k-1} et i_k est donnée par $d_{i_{k-1}i_k} = \frac{1}{\|\Delta_{i_{k-1}i_k}\|}$, on obtient

$$d_{ij} \leq \sum_{k=1}^n \frac{1}{\|\Delta_{i_{k-1}i_k}\|}, \quad (2.187)$$

ce qui prouve le résultat annoncé. \square

En général, nous ne pouvons pas montrer l'égalité entre la distance précédente et la distance géodésique. Nous verrons aux cours des sections suivantes deux exemples dans lesquels l'égalité n'est pas vérifiée.

Lorsque deux points ne peuvent pas être reliés par un chemin, il est clair que leur distance géodésique est infinie. Pour montrer qu'il en est de même pour la distance que nous avons définie, nous avons besoin du résultat suivant.

Proposition 2.4.6 x satisfait à $[\Delta, x] = 0$ si et seulement si l'application $i \mapsto x_i$ est constante sur chaque composante connexe.

Démonstration:

La relation $[\Delta, x] = 0$ équivaut à

$$\Delta_{ij}(x_i - x_j) = 0. \quad (2.188)$$

Par conséquent, on doit avoir $x_i = x_j$ si et seulement si i et j peuvent être reliés par un chemin. \square

Cette relation peut s'interpréter géométriquement de la manière suivante. En effet, si nous considérons $d(x) = [\Delta, x]$ comme l'analogie discret de la différentielle, nous avons montré que la différentielle d'une fonction est nulle si et seulement si cette fonction est constante sur chaque composante connexe.

Nous pouvons relier la finitude de la distance à la connexité du diagramme.

Proposition 2.4.7 La distance entre deux points est finie si et seulement si ils peuvent être reliés par un chemin.

Démonstration:

Il est évident que si i et j peuvent être reliés par un chemin, alors la distance entre deux points est majorée par la distance géodésique, ce qui entraîne sa finitude.

Réciproquement, supposons que i et j ne puissent pas être reliés par un chemin. Alors, en prenant $x_i = t > 0$, $x_k = x_i$ si k est relié à i et $x_k = 0$ sinon, on obtient $[\Delta, x] = 0$ et $|x_i - x_j| = t$. En passant à la limite $t \rightarrow +\infty$, on obtient $d_{ij} = +\infty$. \square

Enfin, terminons par un résultat qui s'avère très utile lorsqu'on cherche à déterminer explicitement une distance.

Proposition 2.4.8 La distance d_{ij} est donnée par

$$d_{ij} = \sup_{(x_1, \dots, x_N) \in \mathbb{C}^N} \{|x_i - x_j| \text{ tel que } \|[\Delta, x]\| = 1\}. \quad (2.189)$$

Démonstration:

Pour prouver cela, il suffit de remarquer que l'ensemble des $x \in \mathbb{C}^N$ tels que $[\Delta, x] \leq 1$ est un ensemble convexe et que les fonctions $x \mapsto |x_i - x_j|$ sont convexes. Une fonction convexe ne pouvant atteindre son maximum que sur le bord de son domaine de définition, il est clair que l'on peut remplacer la condition $[\Delta, x] \leq 1$ par $[\Delta, x] = 1$. \square

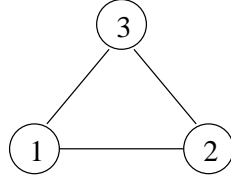
2.4.3 Un exemple simple

Dans les deux sections suivantes, nous allons étudier en détail deux exemples simples de distances.

Le cas le plus simple correspond à l'espace à trois points, c'est à dire que nous prenons $N = 3$, avec un opérateur $\Delta \in M_3(\mathbb{R})$ donné par

$$\Delta = \begin{pmatrix} 0 & \Delta_{12} & \Delta_{13} \\ \Delta_{12} & 0 & \Delta_{23} \\ \Delta_{13} & \Delta_{23} & 0 \end{pmatrix}, \quad (2.190)$$

Cela correspond au diagramme suivant.



La distance est définie par $d_{ij} = \sup_{x \in \mathbb{C}^3} |x_i - x_j|$ où $x = (x_1, x_2, x_3)$ est tel que la norme de la matrice

$$[\Delta, x] = \begin{pmatrix} 0 & \Delta_{12}(x_2 - x_1) & \Delta_{13}(x_3 - x_1) \\ -\Delta_{12}(x_2 - x_1) & 0 & \Delta_{23}(x_3 - x_2) \\ -\Delta_{13}(x_3 - x_1) & -\Delta_{23}(x_3 - x_2) & 0 \end{pmatrix} \quad (2.191)$$

soit 1.

Grâce à une transformation unitaire, nous pouvons éliminer les phases des nombres complexes $x_j - x_i = e^{i\phi_{ij}}|x_j - x_i|$. En effet, pour toute matrice unitaire U , on a $\|U[\Delta, x]U\| = \|[\Delta, x]\|$. On choisit

$$U = \begin{pmatrix} e^{i\alpha_1} & 0 & 0 \\ 0 & e^{i\alpha_2} & 0 \\ 0 & 0 & e^{i\alpha_3} \end{pmatrix} \quad (2.192)$$

telle que

$$\alpha_i + \alpha_j = \phi_{ij}, \quad (2.193)$$

ce qui est toujours possible car le système suivant est non dégénéré,

$$\begin{pmatrix} 0 & 1 & 1 \\ 1 & 0 & 1 \\ 1 & 1 & 0 \end{pmatrix} \begin{pmatrix} \alpha_1 \\ \alpha_2 \\ \alpha_3 \end{pmatrix} = \begin{pmatrix} \phi_{23} \\ \phi_{13} \\ \phi_{12} \end{pmatrix}. \quad (2.194)$$

Étant donné que la matrice $U[\Delta, x]U^*$ est antisymétrique réelle, sa norme est égale au module de sa plus grande valeur propre. Le polynôme caractéristique de la matrice antisymétrique

$$\begin{pmatrix} 0 & -r & q \\ r & 0 & -p \\ -q & p & 0 \end{pmatrix} \quad (2.195)$$

est

$$P(X) = X^3 - (p^2 + q^2 + r^2)X, \quad (2.196)$$

ce qui nous mène à

$$\|[\Delta, x]\| = (\Delta_{12})^2|x_1 - x_2|^2 + (\Delta_{13})^2|x_1 - x_3|^2 + (\Delta_{23})^2|x_2 - x_3|^2. \quad (2.197)$$

Supposons que nous voulions calculer la distance entre les points 1 et 2. En posant $x = x_1 - x_2$ et $y = x_1 - x_3$, nous devons chercher la plus grande valeur de $|x|$ lorsque x et y satisfont à la contrainte

$$(\Delta_{12})^2|x|^2 + (\Delta_{13})^2|y|^2 + (\Delta_{23})^2|x - y|^2 = 1. \quad (2.198)$$

Cela peut encore être simplifié en introduisant un réel θ tel que $|x - y|^2 = |x|^2 + |y|^2 + 2|x||y|\cos\theta$, ce qui nous permet de supposer que x et y sont réels, car il n'intervient plus que par

l'intermédiaire de leur modules. Finalement, nous devons chercher la plus grande valeur de x lorsque

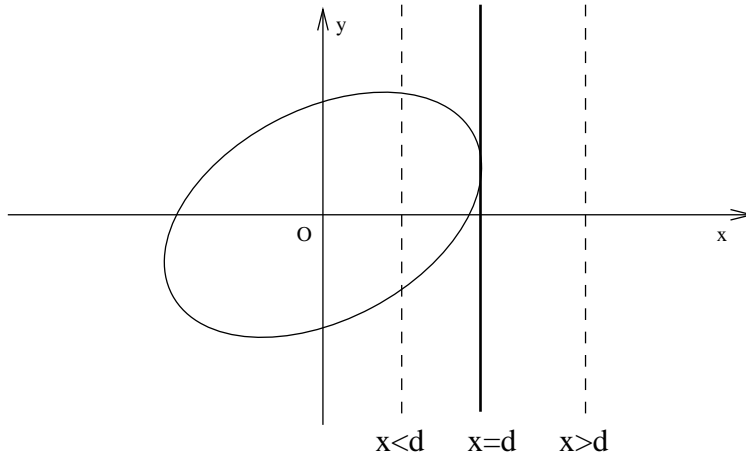
$$(\Delta_{12})^2 x^2 + (\Delta_{13})^2 y^2 + (\Delta_{23})^2 (x^2 + y^2 + 2xy \cos \theta) = 1. \quad (2.199)$$

avec $x \geq 0$, $y \geq 0$ et $\theta \in [0, \pi]$.

La contrainte donnée par cette équation définit une ellipse \mathcal{E}_θ dans le plan xy pour chaque valeur de θ . La distance entre les points 1 et 2 correspond au maximum de la coordonnée x sur l'ensemble des ellipses \mathcal{E}_θ , avec $\theta \in [0, \pi]$. Compte tenu de $\cos \theta \leq 1$, il n'est pas difficile de voir que toutes les ellipses \mathcal{E}_θ sont situées à l'intérieur de l'aire limitée par \mathcal{E}_0 . Le maximum de x est donc atteint sur \mathcal{E}_0 , dont l'équation s'écrit

$$(\Delta_{12})^2 x^2 + (\Delta_{13})^2 y^2 + (\Delta_{23})^2 (x + y)^2 = 1. \quad (2.200)$$

La valeur maximale d de x lorsque $(x, y) \in \mathcal{E}_0$, est égale à la valeur du paramètre h tel que la droite d'équation $x = h$ soit tangente à l'ellipse \mathcal{E}_0 .



Le changement $x = h$ dans l'équation de \mathcal{E}_0 nous donne une équation du second degré en y ,

$$\left((\Delta_{13})^2 + (\Delta_{23})^2 \right) y^2 + 2h(\Delta_{23})^2 y + h^2 \left((\Delta_{12})^2 + (\Delta_{23})^2 \right) - 1 = 0 \quad (2.201)$$

La droite $x = h$ est tangente à l'ellipse pour les valeurs de h telles que cette équation admette une unique solution en y . Cela équivaut à annuler son discriminant réduit,

$$h^2 \left[(\Delta_{23})^4 - \left((\Delta_{13})^2 + (\Delta_{23})^2 \right) \left((\Delta_{12})^2 + (\Delta_{23})^2 \right) \right] + (\Delta_{13})^2 + (\Delta_{23})^2 = 0, \quad (2.202)$$

ce qui nous donne

$$d_{12} = \sqrt{\frac{(\Delta_{13})^2 + (\Delta_{23})^2}{(\Delta_{13})^2(\Delta_{23})^2 + (\Delta_{23})^2(\Delta_{12})^2 + (\Delta_{12})^2(\Delta_{13})^2}}. \quad (2.203)$$

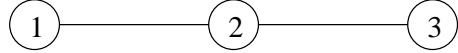
Par symétrie, on obtient

$$d_{13} = \sqrt{\frac{(\Delta_{12})^2 + (\Delta_{23})^2}{(\Delta_{13})^2(\Delta_{23})^2 + (\Delta_{23})^2(\Delta_{12})^2 + (\Delta_{12})^2(\Delta_{13})^2}}. \quad (2.204)$$

et

$$d_{23} = \sqrt{\frac{(\Delta_{13})^2 + (\Delta_{12})^2}{(\Delta_{13})^2(\Delta_{23})^2 + (\Delta_{23})^2(\Delta_{12})^2 + (\Delta_{12})^2(\Delta_{13})^2}}. \quad (2.205)$$

Il est intéressant d'étudier les cas limites obtenus en annulant certains des éléments de la matrice Δ . Par exemple, si on a $\Delta_{13} = 0$ avec $\Delta_{12} \neq 0$ et $\Delta_{23} \neq 0$ et, ce qui correspond au diagramme



on a

$$d_{13} = \sqrt{\frac{1}{(\Delta_{12})^2} + \frac{1}{(\Delta_{23})^2}}, \quad d_{12} = \frac{1}{|\Delta_{12}|}, \quad d_{23} = \frac{1}{|\Delta_{23}|}. \quad (2.206)$$

Si de plus on suppose que $\Delta_{13} = 0$, ce qui signifie que le point 1 n'est plus relié à 2 et à 3, on obtient

$$d_{12} = d_{13} = \infty, \quad d_{23} = \frac{1}{|\Delta_{23}|}, \quad (2.207)$$

ce qui correspond au diagramme suivant.



Ces deux cas limites illustrent les propriétés générales des distances, relatives à la connexité et à la simple connexité du diagramme, que nous avons montrées au cours du chapitre précédent.

Se pose le problème de la réciproque : Etant donné trois nombres d_{12} , d_{13} et d_{23} satisfaisant l'inégalité triangulaire, existe-t-il un opérateur de Dirac du type précédent permettant de reconstruire ces distances ? En d'autres termes, est-ce que nous pouvons obtenir une distance quelconque sur un ensemble de trois points à l'aide de ce procédé ? La réponse est non, car il est facile de voir, en utilisant leurs expressions explicites en fonction de Δ , que les distances satisfont toujours à l'inégalité

$$d_{ij}^2 \leq d_{ik}^2 + d_{kj}^2, \quad (2.208)$$

pour $i, j, k \in \{1, 2, 3\}$. Cette inégalité est plus forte que l'inégalité triangulaire, car

$$d_{ik}^2 + d_{kj}^2 \leq (d_{ik} + d_{kj})^2. \quad (2.209)$$

En particulier, cette inégalité nous empêche de modéliser ainsi un réseau unidimensionnel formé de trois points dont les distances mutuelles sont $d_{12} = d_{23} = d$ et $d_{13} = 2d$, car on a toujours

$$d_{13} \leq \sqrt{d_{12}^2 + d_{23}^2} = \sqrt{2}d < 2d, \quad (2.210)$$

ce qui explique, dans le cas particulier de trois points, les résultats obtenus dans [BLG] et dans [A].

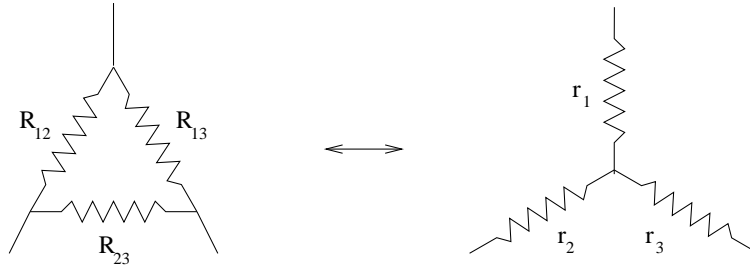
Cela dit, si on impose les inégalités (2.208), nous allons voir qu'il est toujours possible de construire un opérateur de Dirac qui correspond à cette métrique. En principe, nous avons à résoudre un système d'équations non linéaires, car il faut inverser les formules donnant les distances en fonction des éléments de matrice de Δ . Cependant, nous pouvons toujours réécrire (2.203) sous la forme

$$\frac{1}{d_{12}^2} = (\Delta_{12})^2 + \frac{1}{\frac{1}{(\Delta_{13})^2} + \frac{1}{(\Delta_{23})^2}}. \quad (2.211)$$

En posant $R_{23} = 1/|\Delta_{23}|^2$, $R_{13} = 1/|\Delta_{13}|^2$ et $R_{12} = 1/|\Delta_{12}|^2$, nous pouvons écrire cette équation sous la forme

$$\frac{1}{d_{12}^2} = \frac{1}{R_{12}} + \frac{1}{R_{23} + R_{13}}, \quad (2.212)$$

ce qui signifie que d_{12}^2 est la résistance équivalente au montage en parallèle de la résistance R_{12} avec l'ensemble des résistances R_{13} et R_{23} montées en série. Par permutations circulaires, nous obtenons des formules analogues pour $1/d_{13}^2$ et $1/d_{23}^2$.



Ainsi, passer des carrés des éléments de matrice de l'opérateur Δ aux inverses des carrés des distances consiste simplement à transformer le système de résistances "triangle" en un système "étoile". Si nous posons $R_{ij} = 1/|\Delta_{ij}|^2$, alors il ressort de l'étude précédente que $d_{ij}^2 = r_i + r_j$. Donnons nous trois nombres réels strictement positifs d_{12} , d_{13} et d_{23} satisfaisant aux inégalités (2.208). Nous construisons les résistances "étoiles" comme solution du système linéaire

$$\begin{cases} r_1 + r_2 = d_{12}^2 \\ r_1 + r_3 = d_{13}^2 \\ r_2 + r_3 = d_{23}^2 \end{cases} \quad (2.213)$$

ce qui nous donne

$$\begin{cases} 2r_1 = d_{12}^2 + d_{13}^2 - d_{23}^2 \\ 2r_2 = d_{12}^2 + d_{23}^2 - d_{13}^2 \\ 2r_3 = d_{13}^2 + d_{23}^2 - d_{12}^2. \end{cases} \quad (2.214)$$

Il est à noter que pour que ce système définisse des résistances il est capital que les inégalités (2.208) soient satisfaites. Les formules de passage entre les systèmes "triangle" et "étoile" sont classiques et peuvent être trouvées dans [Ed]. Ainsi, connaissant les résistances r_i nous pouvons construire les résistances R_{ij} ainsi que les éléments de matrice de l'opérateur de Dirac, que nous choisirons positifs. Par exemple, nous avons

$$R_{12} = \frac{r_1 r_2 + r_1 r_3 + r_2 r_3}{r_3}, \quad (2.215)$$

d'où il ressort que

$$\Delta_{12} = \sqrt{\frac{2(d_{13}^2 + d_{23}^2 - d_{12}^2)}{2d_{12}^2 d_{13}^2 - d_{23}^4 + 2d_{12}^2 d_{23}^2 - d_{13}^4 + 2d_{13}^2 d_{23}^2 - d_{12}^4}}. \quad (2.216)$$

Par permutations circulaires, nous obtenons des formules analogues pour Δ_{13} et Δ_{23} . Etant donnée la correspondance que nous avons montrée entre résistances équivalentes et distances, il est clair qu'un tel opérateur de Dirac nous redonnera, après calcul par les méthodes précédemment exposées, des distances égales aux nombres d_{ij} . Cela prouve que n'importe quel

système de distances sur un espace à trois points satisfaisant aux inégalités (2.208) peut être obtenu de la sorte.

Bien que cette analogie entre distances et résistances équivalentes soit séduisante, elle n'est plus valable pour un système de plus de trois points.

2.4.4 Un exemple plus compliqué

Après avoir calculé explicitement les distances sur un ensemble de trois points, il est naturel de chercher à étendre ces résultats à des exemples plus compliqués. En particulier, à partir de quatre points, nous rencontrons des difficultés nouvelles.

Considérons donc un triplet spectral correspondant à un ensemble à quatre points, avec l'algèbre commutative $\mathcal{A} = \mathbb{C}^4$ représentée de manière naturelle sur $\mathcal{H} = \mathbb{C}^4$. Nous choisissons un opérateur $\Delta \in M_4(\mathbb{C})$, hermitien et dont tous les éléments situés sur la diagonale sont nuls.

Avec nos notations habituelles, la matrice $[\Delta, x]$ s'écrit

$$[\delta, x] = \begin{pmatrix} 0 & \Delta_{12}(x_2 - x_1) & \Delta_{13}(x_3 - x_1) & \Delta_{14}(x_4 - x_1) \\ -\Delta_{12}^*(x_2 - x_1) & 0 & \Delta_{23}(x_3 - x_2) & \Delta_{24}(x_4 - x_2) \\ -\Delta_{13}^*(x_3 - x_1) & -\Delta_{23}^*(x_3 - x_2) & 0 & \Delta_{34}(x_4 - x_3) \\ -\Delta_{14}^*(x_4 - x_1) & -\Delta_{24}^*(x_4 - x_2) & -\Delta_{34}^*(x_4 - x_3) & 0 \end{pmatrix}. \quad (2.217)$$

Dans le cas de trois points, nous avons traduit la condition $\|[\Delta, x]\| \leq 1$ à l'aide des valeurs propres de cette matrice, ce qui a nécessité l'élimination des phases pour nous ramener au cas plus simple d'une matrice antisymétrique. Il est facile de voir que dans le cas de quatre points, une telle méthode ne sera pas utilisable en toute généralité, car si nous voulons absorber les phases par multiplication par des unitaires, nous ne disposons que de $4+4=8$ paramètres alors qu'il y a $6+6=12$ phases qui apparaissent.

Cependant, même si nous avons éliminé toutes ces phases, la contrainte $\|[\Delta, x]\| \leq 1$ est encore trop compliquée pour être exploitable dans le cas général. En effet, supposons que l'algèbre soit réelle, ainsi que la matrice Δ , ce qui implique que $[\Delta, x]$ est une matrice antisymétrique. Le polynôme caractéristique de la matrice antisymétrique

$$\begin{pmatrix} 0 & E_1 & E_2 & E_3 \\ -E_1 & 0 & -B_3 & B_2 \\ -E_2 & B_3 & 0 & -B_1 \\ -E_3 & -B_2 & B_1 & 0 \end{pmatrix}, \quad (2.218)$$

est

$$P(X) = X^4 + (\vec{E}^2 + \vec{B}^2) X^2 + (\vec{E} \cdot \vec{B})^2. \quad (2.219)$$

Par conséquent, cette matrice est de norme plus petite que 1 si et seulement si

$$\frac{\vec{E}^2 + \vec{B}^2 + \sqrt{(\vec{E}^2 + \vec{B}^2)^2 - 4(\vec{E} \cdot \vec{B})^2}}{2} \leq 1, \quad (2.220)$$

ce qui équivaut à

$$\vec{E}^2 + \vec{B}^2 - (\vec{E} \cdot \vec{B})^2 \leq 1 \quad \text{et} \quad \vec{E}^2 + \vec{B}^2 \leq 2. \quad (2.221)$$

Lorsque nous appliquons cela à la matrice $[\Delta, x]$ nous voyons apparaître des termes quartiques en les variables x_i , ce qui rend la détermination de la solution générale très difficile.

Nous allons étudier le cas particulier du réseau linéaire à quatre points. Pour cela, nous revenons à l'algèbre complexe $\mathcal{A} = \mathbb{C}^4$ et nous choisissons un opérateur Δ tridiagonal,

$$\Delta = \begin{pmatrix} 0 & \Delta_{12} & 0 & 0 \\ \Delta_{12}^* & 0 & \Delta_{23} & 0 \\ 0 & \Delta_{23}^* & 0 & \Delta_{34} \\ 0 & 0 & \Delta_{34}^* & 0 \end{pmatrix}, \quad (2.222)$$

ce qui correspond à un diagramme linéaire du type



Introduisons les variables $X = x_2 - x_1$, $Y = x_3 - x_2$ et $Z = x_3 - x_4$, ce qui nous permet d'écrire $[\Delta, x]$ sous la forme

$$[\Delta, x] = \Delta = \begin{pmatrix} 0 & \Delta_{12}X & 0 & 0 \\ -\Delta_{12}^*X & 0 & \Delta_{23}Y & 0 \\ 0 & -\Delta_{23}^*Y & 0 & \Delta_{34}Z \\ 0 & 0 & -\Delta_{34}^*Z & 0 \end{pmatrix}. \quad (2.223)$$

Nous séparons les modules et les arguments de chacun des termes de cette matrice

$$[\Delta, x] = \begin{pmatrix} 0 & |\Delta_{12}||X|e^{i\theta_{12}} & 0 & 0 \\ -|\Delta_{12}||X|e^{i\theta_{21}} & 0 & |\Delta_{23}||Y|e^{i\theta_{23}} & 0 \\ 0 & -|\Delta_{23}||Y|e^{i\theta_{32}} & 0 & |\Delta_{34}||Z|e^{i\theta_{34}} \\ 0 & 0 & -|\Delta_{34}||Z|e^{i\theta_{43}} & 0 \end{pmatrix}. \quad (2.224)$$

Il est facile de voir que l'on peut toujours éliminer ces phases par multiplication à droite et à gauche par des matrices unitaires et diagonales. La matrice $[\Delta, x]$ et la matrice antisymétrique réelle

$$\begin{pmatrix} 0 & |\Delta_{12}||X| & 0 & 0 \\ -|\Delta_{12}||X| & 0 & |\Delta_{23}||Y| & 0 \\ 0 & -|\Delta_{23}||Y| & 0 & |\Delta_{34}||Z| \\ 0 & 0 & -|\Delta_{34}||Z| & 0 \end{pmatrix} \quad (2.225)$$

ont donc même norme et la condition $\|[\Delta, x]\| \leq 1$ est équivalente à

$$|\Delta_{12}|^2|X|^2 + |\Delta_{23}|^2|Y|^2 + |\Delta_{34}|^2|Z|^2 - |\Delta_{12}|^2|\Delta_{34}|^2|X|^2|Y|^2 \leq 1 \quad (2.226)$$

compte tenu de (2.221).

Pour calculer la distance d_{14} , nous devons chercher le maximum de $|X + Y + Z|$ lorsque la contrainte (2.226) est satisfaite. Puisque cette contrainte ne dépend que des modules des variables, il est clair que le maximum sera atteint lorsque ces variables sont des réels positifs. Nous pouvons donc, sans perte de généralité, supposer que X , Y et Z sont des réels positifs. De plus, nous avons montré que le maximum est atteint lorsqu'il y a égalité, ce qui nous permet, en posant

$$\begin{cases} x = X \\ y = Y \\ z = X + Y + Z \end{cases} \quad (2.227)$$

d'extraire z sous la forme

$$z(x, y) = x + y + \frac{1}{|\Delta_{23}|} \sqrt{(1 - \Delta_{12}^2 x^2)(1 - \Delta_{34}^2 y^2)}. \quad (2.228)$$

Puisque d_{14} est le maximum de $X + Y + Z = z$, nous allons chercher les extrema de la fonction z . Ceux-ci sont atteints lorsque

$$\begin{cases} \frac{\partial z}{\partial x} = 1 - x \frac{\Delta_{12}^2}{|\Delta_{23}|} \sqrt{\frac{1 - \Delta_{34}^2 y^2}{1 - \Delta_{12}^2 x^2}} = 0 \\ \frac{\partial z}{\partial y} = 1 - y \frac{\Delta_{34}^2}{|\Delta_{23}|} \sqrt{\frac{1 - \Delta_{12}^2 x^2}{1 - \Delta_{34}^2 y^2}} = 0. \end{cases} \quad (2.229)$$

Après des calculs assez longs mais très simples, on trouve que z a un unique maximum, ce qui nous permet de donner la distance entre les points 1 et 4,

$$\begin{aligned} d_{14} = \frac{|\Delta_{23}|}{|\Delta_{12}||\Delta_{34}|} & \left[\sqrt{\frac{|\Delta_{23}|^2 + |\Delta_{34}|^2}{|\Delta_{23}|^2 + |\Delta_{12}|^2}} + \sqrt{\frac{|\Delta_{23}|^2 + |\Delta_{12}|^2}{|\Delta_{23}|^2 + |\Delta_{34}|^2}} \right. \\ & \left. + \frac{||\Delta_{23}|^4 - |\Delta_{12}|^2|\Delta_{34}|^2|}{\sqrt{|\Delta_{23}|^2 + |\Delta_{12}|^2}\sqrt{|\Delta_{23}|^2 + |\Delta_{34}|^2}} \right]. \end{aligned} \quad (2.230)$$

Dans le cas particulier où tous les éléments de matrices sont égaux à un nombre réel positif $1/L$, cette formule se simplifie considérablement. Tenant compte des distances données pour deux et trois points, on obtient

$$d_{12} = L, \quad d_{13} = \sqrt{2} L, \quad d_{14} = 2L. \quad (2.231)$$

En général, pour une chaîne linéaire de longueur quelconque dont tous les éléments de matrice sont des nombres réels positifs égaux à L , la distance entre les points 1 et n est donnée par [A]

$$\begin{cases} d_{1n} = n L/2 & \text{si } n \text{ est pair,} \\ d_{1n} = \sqrt{(n-1)(n+1)} L/2 & \text{si } n \text{ est impair.} \end{cases} \quad (2.232)$$

Dans tous les cas, cette distance ne correspond pas à la distance naturelle $d_{ij} = |i - j| L$ que l'on peut définir sur un réseau linéaire. De ce fait, les triplets spectraux finis correspondant ne peuvent décrire un réseau unidimensionnel.

Une solution à ce problème a été apportée dans [DiM]. Considérons un triplet spectral fini avec l'algèbre $\mathcal{A} = \mathbb{C}^N$, représentée sur $\mathcal{H} = \mathbb{C}^N \oplus \mathbb{C}^N$ par

$$x \in \mathbb{C}^N \mapsto \begin{pmatrix} x & 0 \\ 0 & x \end{pmatrix} \in M_{2N}(\mathbb{C}). \quad (2.233)$$

L'opérateur de Dirac (ce que nous appelons Δ , le véritable opérateur de Dirac étant obtenu par symétrisation par la conjugaison de charge) est

$$\Delta = \begin{pmatrix} 0 & M \\ M^* & 0 \end{pmatrix}, \quad (2.234)$$

où la matrice $M \in M_N(\mathbb{C})$ est définie par

$$M = \begin{pmatrix} 0 & 1/L & 0 & \dots & 0 \\ \vdots & \ddots & \ddots & & \vdots \\ \vdots & & \ddots & & 1/L \\ 0 & \dots & \dots & & 0 \end{pmatrix}. \quad (2.235)$$

Ce triplet spectral admet une chiralité χ donnée par

$$\chi = \begin{pmatrix} 1 & 0 \\ 0 & -1 \end{pmatrix} \quad (2.236)$$

et il n'est pas difficile de montrer qu'il satisfait à tous les axiomes en utilisant la méthode diagrammatique, comme nous l'avons déjà fait au cours de ce chapitre.

En utilisant ce triplet spectral, on montre [DiM] que la distance entre le point i (correspondant à l'état pur $\phi_i(x_1, \dots, x_N) = x_i$) et le point j (correspondant à l'état pur $\phi_j(x_1, \dots, x_N) = x_j$) est donnée par $d_{ij} = |i - j|L$. Cette distance est la distance naturelle sur un réseau linéaire, et on peut étendre cette construction au cas d'un réseau cyclique.

Pour faire le lien avec les exemple que nous avons étudiés, il est commode d'effectuer un changement de base. Définissons l'opérateur U de $\mathcal{H} = \mathbb{C}^2 \otimes \mathbb{C}$ dans lui-même par $U(x \otimes y) = y \otimes x$. Il est facile de voir que par conjugaison par U la représentation de x devient

$$\begin{pmatrix} x_1 I_2 & 0 & 0 \\ 0 & \ddots & 0 \\ 0 & 0 & x_N I_2 \end{pmatrix}. \quad (2.237)$$

De même l'opérateur de Dirac s'écrit, dans cette nouvelle base, sous la forme d'une matrice tridiagonale,

$$\begin{pmatrix} 0 & N & 0 & \dots & 0 \\ N^* & 0 & N & \ddots & \vdots \\ 0 & \ddots & \ddots & \ddots & 0 \\ \vdots & \ddots & N^* & 0 & N \\ 0 & \dots & 0 & N^* & 0 \end{pmatrix}, \quad (2.238)$$

avec

$$N = \begin{pmatrix} 0 & 1/L \\ 0 & 0 \end{pmatrix}. \quad (2.239)$$

Ainsi, ce choix de l'opérateur de Dirac diffère du notre en ce sens que les éléments de matrice de Δ sont des matrices 2×2 alors que dans les exemples que nous avons étudiés, ces éléments de matrice étaient des nombres complexes.

2.5 Algèbres réelles

2.5.1 La matrice de multiplicité

La méthode que nous avons développée au cours de ce chapitre pour étudier les triplets spectraux finis n'est applicable que dans le cas d'une algèbre complexe dont la représentation sur l'espace de Hilbert est linéaire sur \mathbb{C} . Ceci est suffisant pour une étude de nature mathématique des géométries non commutatives finis, car aucune modification substantielle des résultats que nous avons montrés n'est à prévoir dans le cas réel.

Cependant, le triplet spectral fini correspondant au modèle standard est construit avec une algèbre réelle. Pour pouvoir étudier les applications de la géométrie non commutative à la physique des particules, il est donc absolument nécessaire d'étendre nos résultats au cas des algèbres réelles.

Lorsque l'algèbre est réelle, elle s'écrit comme une somme directe d'algèbres de matrices

$$\mathcal{A} = \bigoplus_{i=1}^N M_{n_i}(\mathbb{K}), \quad (2.240)$$

dont les coefficients peuvent être des réels ($\mathbb{K} = \mathbb{R}$), des complexes ($\mathbb{K} = \mathbb{C}$) ou des quaternions $\mathbb{K} = \mathbb{H}$.

Bien entendu, toute représentation de \mathcal{A} est semi-simple et ses représentations irréductibles sont données par les représentations irréductibles des différents facteurs $M_{n_i}(\mathbb{K})$.

Les représentations irréductibles de l'algèbre $M_n(\mathbb{K})$ sont

- la représentation fondamentale sur \mathbb{C}^n lorsque $\mathbb{K} = \mathbb{R}$,
- la représentation fondamentale sur \mathbb{C}^n et sa complexe conjuguée lorsque $\mathbb{K} = \mathbb{C}$,
- la représentation fondamentale sur \mathbb{C}^{2n} lorsque $\mathbb{K} = \mathbb{H}$.

Il convient de remarquer que si $\mathbb{K} = \mathbb{R}$, la représentation sur \mathbb{C}^n n'est pas irréductible car elle s'écrit comme somme de deux représentations sur \mathbb{R}^n . Cependant, l'espace de Hilbert \mathcal{H} du triplet spectral est toujours un espace vectoriel complexe, aussi nous n'effectuerons jamais cette décomposition et nous considérerons cette représentation comme irréductible.

Dans le cas quaternionique, nous identifions les éléments q de \mathbb{H} avec les matrices 2×2 complexes du type

$$q = \begin{pmatrix} x & -\bar{y} \\ y & \bar{x} \end{pmatrix}, \quad (2.241)$$

ce qui permet de définir la représentation fondamentale de $M_n(\mathbb{K})$ sur \mathbb{C}^{2n} . De plus, la relation (2.241) entraîne

$$\bar{q} = u q u^{-1} \quad (2.242)$$

avec

$$u = \begin{pmatrix} 0 & 1 \\ -1 & 0 \end{pmatrix}, \quad (2.243)$$

ce qui entraîne que la représentation fondamentale de $M_n(\mathbb{K})$ et sa complexe conjuguée sont équivalentes.

A partir de ces considérations, nous pouvons décomposer toutes les représentations de \mathcal{A} sur \mathcal{H} qui apparaissent dans les sections 2.2.1-2.2.3 en représentations irréductibles. Nous devons simplement remplacer les indices i, j, \dots permettant de repérer les facteurs simples par des indices qui désignent les représentations irréductibles de ces facteurs. Nous modifions donc la définition de la matrice multiplicité comme suit.

Définition 2.5.1 *Les éléments de la matrice de multiplicité d'un bimodule construit avec des algèbres réelles sont repérés par les représentations irréductibles de ces algèbres.*

Avec cette définition de la matrice de multiplicité, nos résultats s'étendent au cas réel.

Proposition 2.5.1 *Tous les résultats des sections 2.2.1-2.2.3 restent valables dans le cas des algèbres réelles.*

Il est important de noter que cette extension n'est valide que pour les résultats concernant la structure de bimodule et les opérateurs du premier ordre. La chiralité et la dualité de Poincaré subissent certaines modifications lors du passage aux algèbres réelles.

2.5.2 La chiralité

La chiralité est une involution hermitienne χ qui doit s'écrire sous la forme

$$\chi = \sum_p \pi(x_p) \mathcal{J} \pi(y_p) \mathcal{J}^{-1} \quad (2.244)$$

avec $x_p, y_p \in \mathcal{A}$. La décomposition par blocs de la chiralité est toujours valable

$$\chi = \bigoplus_{ij} \chi_{ij} I_{n_i} \otimes I_{m_{ij}} \otimes I_{n_j} \quad (2.245)$$

avec $\chi_{ij} = \pm 1$. Bien entendu, les indices i et j correspondent aux représentations irréductibles de \mathcal{A} et m_{ij} est la matrice de multiplicité introduite dans la définition précédente.

Cependant, χ_{ij} et χ_{kl} ne sont pas indépendants lorsque les représentations k et l sont égales ou conjuguées à i et j . En introduisant la matrice

$$\mu_{ij} = \chi_{ij} m_{ij}, \quad (2.246)$$

les contraintes imposées à la chiralité sont données par la proposition suivante.

Proposition 2.5.2 *La matrice μ_{ij} satisfait à $\mu_{ij} \mu_{\bar{i}j} \geq 0$.*

\bar{i} désigne la représentation complexe conjuguée de celle associée à i . Si elle est réelle ou quaternionique on a simplement $\bar{i} = i$. Ce résultat se démontre aisément en écrivant explicitement χ_{ij} en fonction de x_p et y_p et en utilisant $\bar{\chi}_{ij} = \chi_{ij}$.

2.5.3 Dualité de Poincaré

La K-théorie des C^* -algèbres réelles est un peu plus compliquée que dans le cas complexe [Schr]. Le théorème de périodicité de Bott est toujours valide mais la période est 8 au lieu de 2. On a donc $K_{p+8}(\mathcal{A}) = K_p(\mathcal{A})$, où $K_p(\mathcal{A})$ est défini par itération de la suspension (voir Appendice B). Bien entendu on a toujours

$$K_p \left(\bigoplus_{i=1}^N M_{n_i}(\mathbb{K}) \right) = \bigoplus_{i=1}^N K_p(M_{n_i}(\mathbb{K})) \quad (2.247)$$

ainsi que $K_p(M_n(\mathbb{K})) = K_p(\mathbb{K})$.

On a $K_0(\mathbb{K}) = \mathbb{Z}$ et les groupes d'ordre supérieur contiennent de la torsion, i.e. un sous-groupe fini du type \mathbb{Z}_2 dont nous ne tenons pas compte ici.

Dans ce cas, la dualité de Poincaré ne fait intervenir que les projections hermitiennes $e \in \mathcal{A}$ qui forment une base de $K_0(\mathcal{A})$. Par conséquent, la formulation de la dualité de Poincaré est parfaitement similaire à celle que nous avons rencontrée dans le cas complexe. Nous devons malgré tout noter deux différences importantes :

- La seule projection non nulle $e \in \mathbb{K}$ est l'identité, ce qui entraîne $\text{Tr}(e) = 2$,
- La projection égale à l'identité de \mathbb{C} apparaît dans la représentation fondamentale de $M_n(\mathbb{C})$ et dans sa complexe conjuguée,

En conséquence, la matrice de la forme d'intersection \cap_{ij} n'est plus égale à μ_{ij} .

Proposition 2.5.3 *La matrice \cap_{ij} de la forme d'intersection s'obtient en multipliant les lignes et les colonnes de μ_{ij} associées aux quaternions par 2 et en additionnant les contributions d'une représentation et de sa complexe conjuguée en une seule ligne ou colonne.*

Par conséquent, la dimension de \cap_{ij} est donnée par le nombre de facteurs simples de la décomposition de \mathcal{A} alors que la taille de μ_{ij} est donnée par le nombre de représentations irréductibles de \mathcal{A} .

Chapitre 3

Construction de modèles en physique des particules

3.1 Le modèle d'espace-temps

3.1.1 Généralités

Depuis que les théories de jauge sont devenues la pierre angulaire de la physique des particules, la construction de modèles fait de plus en plus appel à des notions de géométrie et de topologie. En effet, la notion de symétrie de jauge est d'essence purement géométrique et sa formulation la plus élégante repose sur la géométrie différentielle. De plus, cette approche géométrique permet de mieux comprendre les similarités entre les théories de Yang-Mills, comme l'électromagnétisme où la chromodynamique, et la gravitation : toutes deux sont des théories de jauge.

Sur le plan mathématique, la géométrie non commutative permet, grâce à un formalisme algébrique, de généraliser la plupart des notions de base de la géométrie différentielle en s'affranchissant de la commutativité de l'algèbre des coordonnées. Il est donc naturel d'utiliser cette nouvelle approche de la géométrie différentielle en physique.

Puisque le modèle standard, confirmé à l'heure actuelle par la plupart des expériences, est une théorie de jauge avec brisure spontanée de symétrie, nous essayerons de comprendre comment on peut construire de tels modèles, ainsi que leur couplage à la gravitation, à l'aide de la géométrie non commutative. Nous essayerons de délimiter la classe de modèles qu'il est possible d'obtenir et nous mettrons l'accent sur les contraintes que cela engendre.

Pour cela, nous devons choisir un modèle d'espace-temps, à partir duquel sera construite la théorie. Pour déterminer l'algèbre \mathcal{A} à partir de laquelle on construit les triplets spectraux que nous utiliserons, il est utile de partir des symétries que doit posséder la théorie. Les théories de jauge couplées à la gravitation sont invariantes sous deux types de transformations, qui doivent être des automorphismes de l'algèbre des coordonnées. D'une part, la théorie est invariante sous l'action des difféomorphismes de l'espace-temps qui forment le groupe des automorphismes de l'algèbre $C^\infty(\mathcal{M})$. D'autre part les particules élémentaires sont situées dans certaines représentations de groupes de Lie compacts et semi-simples. Ces derniers correspondent naturellement aux automorphismes d'une somme directe d'algèbre de matrices. Pour obtenir simultanément ces deux types de symétries, il est nécessaire de combiner l'algèbre $C^\infty(\mathcal{M})$ avec une algèbre de dimension finie \mathcal{A}_F . Le choix le plus simple consiste à prendre pour \mathcal{A} un produit tensoriel $C^\infty(\mathcal{M}) \otimes \mathcal{A}_F$, dont les automorphismes comprennent les difféomorphismes de \mathcal{M} et les transformations de jauge locales qui sont données par les éléments unitaires de \mathcal{A} .

Le modèle retenu combine la géométrie de l'espace-temps ordinaire avec celle d'un espace discret, qui décrit les degrés de liberté internes de la théorie. Plus précisément nous allons partir d'un triplet spectral qui est le produit du triplet spectral de la géométrie ordinaire par un triplet spectral fini.

Bien entendu, il est possible de considérer une situation plus générale dans laquelle nous remplaçons ce produit de l'espace-temps par un espace discret, qui décrit un fibré trivial, par un espace fibré dont la topologie est non triviale; la base de ce fibré est l'espace-temps alors que la fibre décrit les symétries internes. A partir d'un tel objet, il est possible de construire un triplet spectral qui généralise la notion de produit d'un triplet spectral par un triplet spectral fini (cf § 2.2.4).

3.1.2 Produit tensoriel de triplets spectraux

Commençons par donner la définition d'un produit tensoriel de triplets spectraux.

Proposition 3.1.1 *Soit $(\mathcal{A}_1, \mathcal{H}_1, \mathcal{D}_1)$ et $(\mathcal{A}_2, \mathcal{H}_2, \mathcal{D}_2)$ deux triplets spectraux de dimension n_1 et n_2 , où $(\mathcal{A}_1, \mathcal{H}_1, \mathcal{D}_1)$ est supposé pair. Alors $(\mathcal{A}, \mathcal{H}, \mathcal{D})$ défini par*

$$\begin{aligned}\mathcal{A} &= \mathcal{A}_1 \otimes \mathcal{A}_2, & \mathcal{H} &= \mathcal{H}_1 \otimes \mathcal{H}_2, \\ \mathcal{D} &= \mathcal{D}_1 \otimes id_2 + \gamma_1 \otimes \mathcal{D}_2,\end{aligned}\tag{3.1}$$

est un triplet spectral de dimension $n = n_1 + n_2$ appelé produit de $(\mathcal{A}_1, \mathcal{H}_1, \mathcal{D}_1)$ par $(\mathcal{A}_2, \mathcal{H}_2, \mathcal{D}_2)$.

Bien entendu, la représentation π de \mathcal{A} sur \mathcal{H} est le produit tensoriel $\pi_1 \otimes \pi_2$, de même que l'on a $\mathcal{J} = \mathcal{J}_1 \otimes \mathcal{J}_2$.

Pour que ce produit puisse être défini, il est nécessaire que l'un au moins des triplets spectraux soit pair. Cela nous permet de définir l'opérateur de Dirac du produit comme étant $\mathcal{D} = \mathcal{D}_1 \otimes id_2 + \gamma_1 \otimes \mathcal{D}_2$, ce qui nous assure que nous obtenons l'opérateur de Dirac usuel dans le cas du tore plat $T^{2+n} = T^2 \times T^n$.

De plus, nous avons

$$\mathcal{D}^2 = (\mathcal{D}_1)^2 \otimes id_2 + id_1 \otimes (\mathcal{D}_2)^2,\tag{3.2}$$

ce qui garantit la validité de la formule d'addition des dimensions : la dimension du produit est la somme des dimensions.

Proposition 3.1.2 *Lorsque les deux triplets spectraux sont pairs, leur produit est également pair.*

La chiralité est définie comme étant le produit tensoriel des chiralités, $\chi = \chi_1 \otimes \chi_2$. Il est clair que c'est une involution hermitienne satisfaisant à toutes les relations de commutation imposées à la chiralité.

Pour montrer qu'elle satisfait à l'axiome d'orientabilité, il faut trouver un cycle de Hochschild c de dimension n tel que $\pi(c) = \chi$, sachant qu'il existe deux cycles de Hochschild c_1 et c_2 de dimensions n_1 et n_2 tels que $\pi_1(c_1) = \chi_1$ et $\pi_2(c_2) = \chi_2$. Pour cela, introduisons la notion suivante.

Définition 3.1.1 *Soit σ une permutation des $p + q$ indices $i_1, \dots, i_p, i_{p+1}, \dots, i_{p+q}$. σ est un (p, q) -battement si on a*

$$\sigma(i_1) < \sigma(i_2) < \dots < \sigma(i_p)\tag{3.3}$$

et

$$\sigma(i_{p+1}) < \sigma(i_{p+2}) < \dots < \sigma(i_{p+q})\tag{3.4}$$

pour tous les indices i_1, \dots, i_{p+q} . Nous notons $S_{p,q}$ l'ensemble des (p, q) -battements.

L'introduction de cette notion se justifie par le résultat suivant [Lo].

Proposition 3.1.3 *Soient \mathcal{A} et \mathcal{B} deux algèbres, $a = a_0 \otimes a_1 \dots \otimes a_p \in C^p(\mathcal{A})$ et $b = b_0 \otimes b_{p+1} \otimes \dots \otimes b_{p+q} \in C^q(\mathcal{B})$ deux cycles de Hochschild. Notons $c_0 = a_0 \otimes b_0$, $c_i = a_i \otimes 1$ si $i \in \{1, \dots, p\}$ et $c_i = 1 \otimes b_i$ si $i \in \{p+1, \dots, p+q\}$. Alors $sh(a, b) \in C^{p+q}(\mathcal{A} \otimes \mathcal{B})$ défini par*

$$sh(a, b) = \sum_{\sigma \in \mathcal{S}_{p,q}} \epsilon(\sigma) c_0 \otimes c_{\sigma(1)} \otimes \dots \otimes c_{\sigma(p+q)} \quad (3.5)$$

est un cycle de Hochschild, appelé "shuffle product" de a par b .

Appliquons cette construction pour définir c à partir des cycles c_1 et c_2 . Pour cela, commençons par remarquer que le résultat précédent n'est pas modifié si les premiers termes a_0 et b_0 appartiennent aux algèbres $\mathcal{A} \otimes \mathcal{A}^{op}$ et $\mathcal{B} \otimes \mathcal{B}^{op}$, puisque les facteurs \mathcal{A}^{op} et \mathcal{B}^{op} ne sont pas concernés par la multiplication par les éléments de \mathcal{A} et de \mathcal{B} .

Définissons c par

$$c = \frac{(n_1 + n_2)!}{n_1!n_2!} sh(c_1, c_2). \quad (3.6)$$

Grâce à la proposition précédente, c est un cycle de Hochschild. En utilisant les relations

$$[\mathcal{D}, \pi(a_1 \otimes 1)] = [\mathcal{D}_1, \pi_1(a_1)] \otimes id_1, \quad (3.7)$$

$$[\mathcal{D}, \pi(1 \otimes a_2)] = \chi_1 \otimes [\mathcal{D}_2, \pi_2(a_2)], \quad (3.8)$$

pour tout $a_i \in \mathcal{A}_i$, il est facile de vérifier que $\pi(c) = \chi_1 \otimes \chi_2$, ce qui justifie la définition de χ comme le produit tensoriel $\chi_1 \otimes \chi_2$.

De même que la formule de Künneth permet d'exprimer l'algèbre différentielle d'un produit de variétés à l'aide des formes différentielles sur chaque facteur, le calcul différentiel associé à un produit de triplets spectraux a été déterminé à l'aide des calculs différentiels associés à chaque facteur [KT]. Nous n'aurons besoin que du résultat relatif aux 1-formes, qui ne nécessite pas l'introduction des champs auxiliaires.

Proposition 3.1.4 *L'espace des 1-formes $\Omega_{\mathcal{D}}^1(\mathcal{A})$ associées au produit s'exprime en fonction de 0-formes et des 1-formes de chaque facteur par*

$$\Omega_{\mathcal{D}}^1(\mathcal{A}) = \Omega_{\mathcal{D}_1}^1(\mathcal{A}_1) \otimes \Omega_{\mathcal{D}_2}^0(\mathcal{A}_2) + \gamma_1 \Omega_{\mathcal{D}_1}^0(\mathcal{A}_1) \otimes \Omega_{\mathcal{D}_2}^1(\mathcal{A}_2). \quad (3.9)$$

Considérons le produit tensoriel du triplet spectral relatif à une variété compacte de dimension paire n munie d'une structure spinorielle, par un triplet spectral fini $(\mathcal{A}_F, \mathcal{H}_F, \mathcal{D}_F)$. Il en résulte le triplet spectral suivant,

$$\mathcal{A} = C^\infty(\mathcal{M}) \otimes \mathcal{A}_F, \quad \mathcal{H} = L^2(\mathcal{M}, \mathcal{S}) \otimes \mathcal{H}_F, \quad (3.10)$$

$$\mathcal{D} = i\gamma^\mu (\partial_\mu + \omega_\mu) \otimes Id_F + \gamma^{n+1} \otimes \mathcal{D}_F, \quad (3.11)$$

où γ^μ désigne les matrices de Dirac en espace courbe et ω_μ la connexion spinorielle.

Il convient de remarquer que ce produit fait appel à la matrice γ^{n+1} et ne peut pas être défini lorsque la dimension n est impaire. Cependant, un produit de triplets spectraux peut être défini si un au moins des deux triplets spectraux est pair. Etant donné qu'un triplet spectral fini est pair, il est tout aussi légitime d'utiliser la chiralité χ_F associé au triplet spectral $(\mathcal{A}_F, \mathcal{H}_F, \mathcal{D}_F)$. Nous définissons un nouveau triplet spectral $(\mathcal{A}', \mathcal{H}', \mathcal{D}')$ par

$$\mathcal{A}' = \mathcal{A}_F \otimes C^\infty(\mathcal{M}), \quad \mathcal{H}' = \mathcal{H}_F \otimes L^2(\mathcal{M}, \mathcal{S}), \quad (3.12)$$

$$\mathcal{D}' = \mathcal{D}_F \otimes I + \chi_F \otimes \gamma^\mu (\partial_\mu + \omega_\mu). \quad (3.13)$$

Désignons par $K : \mathcal{H}_F \otimes L^2(\mathcal{M}, \mathcal{S}) \rightarrow L^2(\mathcal{M}, \mathcal{S}) \otimes \mathcal{H}_F$ l'isomorphisme défini par

$$K(\xi \otimes \Psi) = \Psi \otimes \xi \quad (3.14)$$

pour tous $\xi \in \mathcal{H}_F$ et $\Psi \in \mathcal{S}$ et notons U la transformation unitaire de $\mathcal{H}_F \otimes L^2(\mathcal{M}, \mathcal{S})$ dans $L^2(\mathcal{M}, \mathcal{S}) \otimes \mathcal{H}_F$ donnée par

$$U = \left(\frac{1+\chi}{2} \otimes I + \frac{\chi-1}{2} \otimes \gamma^{n+1} \right) K. \quad (3.15)$$

Il est facile de voir que U est unitaire et que

$$U \mathcal{D}' U^{-1} = \mathcal{D}. \quad (3.16)$$

Puisque l'action ne dépend que du spectre de l'opérateur de Dirac, il est facile de voir que \mathcal{D} et \mathcal{D}' nous donnent la même action. Etant donné que la définition de \mathcal{D}' ne nécessite pas d'hypothèse sur la parité de n , il serait plus logique d'utiliser \mathcal{D}' à la place de \mathcal{D} . Cependant, nous sommes principalement intéressés par le cas $n = 4$ et nous nous conformerons à l'usage en vigueur en prenant \mathcal{D} .

Comme d'habitude, l'invariance de l'action fermionique $\langle \Psi, \mathcal{D}\Psi \rangle$ sous les transformations de jauge $\Psi \mapsto u \mathcal{J} u \mathcal{J}^{-1} \Psi$ pour tout Ψ et tout unitaire $u \in \mathcal{A}$ nous amène à remplacer l'opérateur de Dirac \mathcal{D} par l'opérateur de Dirac covariant \mathcal{D}_A ,

$$\mathcal{D}_A = \mathcal{D} + A + \mathcal{J} A \mathcal{J}^{-1}. \quad (3.17)$$

A est une 1-forme hermitienne, et se transforme, sous une transformation de jauge en

$$\pi(u) A \pi(u)^{-1} + \pi(u) \left[\mathcal{D}, \pi(u^{-1}) \right], \quad (3.18)$$

de sorte que l'opérateur de Dirac covariant se transforme en

$$\mathcal{D}_A \mapsto \pi(u) \mathcal{J} \pi(u) \mathcal{J}^{-1} \mathcal{D}_A \pi(u^{-1}) \mathcal{J} \pi(u^{-1}) \mathcal{J}^{-1}, \quad (3.19)$$

ce qui assure l'invariance de jauge de l'action fermionique $\langle \Psi, \mathcal{D}_A \Psi \rangle$. Pour simplifier nos notations, nous omettrons le symbole π de la représentation, tout élément de $x \in \mathcal{A}$ étant identifié à $\pi(x)$. Nous omettrons également tous les symboles relatifs au produit tensoriels : $\gamma^{n+1} \otimes id$ est identifié à γ^{n+1} , ...

A est une 1-forme hermitienne du produit tensoriel, elle peut donc s'écrire sous la forme

$$A = i\gamma^\mu \left(A_\mu + \mathcal{J} A_\mu \mathcal{J}^{-1} \right) + \gamma^{n+1} (H + \mathcal{J} H \mathcal{J}^{-1}), \quad (3.20)$$

où A_μ est une 1-forme antihermitienne d'espace-temps à valeurs dans l'algèbre \mathcal{A}_F et représentée sur \mathcal{H} et H est un champ scalaire hermitien à valeurs dans $\Omega_{\mathcal{D}_F}^1(\mathcal{A}_F)$. L'opérateur de Dirac covariant se réécrit

$$\mathcal{D}_{A_\mu, H} = i\gamma^\mu \left(\partial_\mu + \omega_\mu + A_\mu + \mathcal{J} A_\mu \mathcal{J}^{-1} \right) + \gamma^{n+1} (\mathcal{D}_F + H + \mathcal{J} H \mathcal{J}^{-1}). \quad (3.21)$$

Sous une transformation de jauge, le champ A_μ se transforme de manière habituelle

$$A_\mu \mapsto u A_\mu u^{-1} + u \partial_\mu u^{-1}. \quad (3.22)$$

Le champ scalaire H a une loi de transformation analogue

$$H \mapsto uHu^{-1} + u \left[\mathcal{D}_F, u^{-1} \right], \quad (3.23)$$

faisant intervenir la dérivée extérieure de l'espace discret.

Cependant, H n'intervient dans l'opérateur de Dirac covariant que par l'intermédiaire de la combinaison $\mathcal{D}_F + H + \mathcal{J}H\mathcal{J}^{-1}$. En utilisant la décomposition de l'opérateur de Dirac d'un triplet spectral fini, $\mathcal{D}_F = \Delta + \mathcal{J}\Delta\mathcal{J}^{-1}$, on peut écrire $\mathcal{D}_F + H + \mathcal{J}H\mathcal{J}^{-1}$ sous la forme $\Phi + \mathcal{J}\Phi\mathcal{J}^{-1}$, avec

$$\Phi = H + \Delta. \quad (3.24)$$

Puisque Δ est une 1-forme hermitienne, Φ est une 1-forme hermitienne et on peut écrire l'opérateur de Dirac covariant sans utiliser \mathcal{D}_F ,

$$\mathcal{D}_{A_\mu, \Phi} = i\gamma^\mu \left(\partial_\mu + \omega_\mu + A_\mu + \mathcal{J}A_\mu\mathcal{J}^{-1} \right) + \gamma^{n+1} \left(\Phi + \mathcal{J}\Phi\mathcal{J}^{-1} \right). \quad (3.25)$$

Puisque

$$u \left[\mathcal{D}_F, u^{-1} \right] = u \left[\Delta, u^{-1} \right] = u\Delta u^{-1} - \Delta, \quad (3.26)$$

le champ scalaire Φ se transforme de manière homogène,

$$\Phi \mapsto u\Phi u^{-1}. \quad (3.27)$$

Grâce à ce changement de variable, nous avons réussi à éliminer le terme inhomogène dans la loi de transformation du champ scalaire.

Conclusion Lorsque l'espace est le produit de l'espace-temps par un espace fini non commutatif, l'opérateur de Dirac covariant s'écrit sous la forme

$$\mathcal{D}_{A_\mu, \Phi} = i\gamma^\mu \left(\partial_\mu + \omega_\mu + \tilde{A}_\mu \right) + \gamma^{n+1} \tilde{\Phi}, \quad (3.28)$$

où ω_μ est la connexion spinorielle, $\tilde{A}_\mu = A_\mu + \mathcal{J}A_\mu\mathcal{J}^{-1}$ est un champ de jauge et $\tilde{\Phi} = \Phi + \mathcal{J}\Phi\mathcal{J}^{-1}$ un champ scalaire tel que $\tilde{\Phi}$ soit une 1-forme pour la géométrie de l'espace discret. Sous une transformation de jauge, on a

$$A_\mu \mapsto uA_\mu u^{-1} + u\partial_\mu u^{-1}, \quad \Phi \mapsto u\Phi u^{-1}. \quad (3.29)$$

3.1.3 Le carré de l'opérateur de Dirac

Pour pouvoir déterminer l'action spectrale à l'aide du noyau de la chaleur, nous devons mettre le carré de l'opérateur de Dirac covariant sous la forme

$$\left(\mathcal{D}_{A_\mu, \Phi} \right)^2 = -\Delta + E, \quad (3.30)$$

où E est un endomorphisme du fibré spinoriel et Δ un Laplacien généralisé [G].

Pour cela, écrivons l'opérateur de Dirac de la manière suivante,

$$\mathcal{D}_{A_\mu, \Phi} = i\gamma^\mu \nabla_\mu + \gamma^{n+1} \tilde{\Phi}, \quad (3.31)$$

où

$$\nabla_\mu = \partial_\mu + \omega_\mu + \tilde{A}_\mu \quad (3.32)$$

est la dérivée covariante des spineurs.

En utilisant les relations $\gamma^{n+1}\gamma^\mu + \gamma^\mu\gamma^{n+1} = 0$ et $(\gamma^{n+1})^2 = 1$, on obtient

$$\left(\mathcal{D}_{A_\mu, \Phi}\right)^2 = -\gamma^\mu \nabla_\mu \gamma^\nu \nabla_\nu + i\gamma^\mu \gamma^{n+1} D_\mu \tilde{\Phi} + \tilde{\Phi}^2, \quad (3.33)$$

où la dérivée covariante du champ scalaire Φ est donnée par

$$D_\mu \tilde{\Phi} = \partial_\mu \tilde{\Phi} + [\tilde{A}_\mu, \tilde{\Phi}]. \quad (3.34)$$

Le premier terme du second membre de (3.33) s'écrit

$$\gamma^\mu \nabla_\mu \gamma^\nu \nabla_\nu = \gamma^\mu \gamma^\nu \nabla_\mu \nabla_\nu + \gamma^\mu [\nabla_\mu, \gamma_\nu] \nabla_\nu. \quad (3.35)$$

En introduisant

$$\gamma^\mu \gamma^\nu = g^{\mu\nu} + \gamma^{\mu\nu}, \quad (3.36)$$

on obtient

$$\gamma^\mu \nabla_\mu \gamma^\nu \nabla_\nu = g^{\mu\nu} \nabla_\mu \nabla_\nu + \frac{1}{2} \Omega_{\mu\nu} \gamma^{\mu\nu} + \gamma^\mu [\nabla_\mu, \gamma_\nu] \nabla_\nu, \quad (3.37)$$

avec

$$\gamma^{\mu\nu} = \frac{1}{2} [\gamma^\mu, \gamma^\nu] \quad \text{et} \quad \Omega_{\mu\nu} = [\nabla_\mu, \nabla_\nu]. \quad (3.38)$$

Pour déterminer le commutateur $[\nabla_\mu, \gamma_\nu]$, il faut exprimer γ^μ et ω_μ à l'aide de la tétrade e_a^μ ,

$$\gamma^\mu = e_a^\mu \gamma^a \quad \text{et} \quad \omega_\mu = \frac{1}{4} \omega_{ab\mu} \gamma^{ab}, \quad (3.39)$$

où $\omega_{ab\mu}$ est la connexion de Levi-Civita exprimée en partie dans la base déterminée par la tétrade, γ^a les matrices de Dirac euclidiennes satisfaisant à $\gamma^a \gamma^b + \gamma^b \gamma^a = \delta^{ab}$ et $\gamma^{ab} = 1/2[\gamma^a, \gamma^b]$. Conformément à l'usage, nous réservons les indices grecs μ, ν, ρ, \dots pour les coordonnées locales et les indices latins a, b, c, \dots pour les coordonnées plates obtenues à l'aide de la tétrade. Le commutateur $[\nabla_\mu, \gamma_\nu]$ s'écrit

$$[\partial_\mu + \omega_\mu + \tilde{A}_\mu, \gamma_\nu] = \partial_\mu e_c^\nu \gamma^c + \frac{1}{4} \omega_{ab\mu} e_c^\nu [\gamma^{ab}, \gamma^c]. \quad (3.40)$$

En utilisant les propriétés des matrices de Dirac euclidiennes, il est facile de prouver que

$$[\gamma^{ab}, \gamma^c] = 2\delta^{bc} \gamma^a - 2\delta^{ac} \gamma^b. \quad (3.41)$$

On en déduit que

$$[\nabla_\mu, \gamma^\nu] = (\partial_\mu e_a^\nu + \omega_{ab\mu} e_b^\nu) \gamma^a. \quad (3.42)$$

La condition $\partial_\mu e_a^\nu + \omega_{ab\mu} e_b^\nu + \Gamma_{\mu\lambda}^\nu e_a^\lambda = 0$, qui exprime l'absence de torsion pour la connexion de Levi-Civita, nous permet d'écrire

$$[\nabla_\mu, \gamma^\nu] = -\Gamma_{\mu\lambda}^\nu \gamma^\lambda, \quad (3.43)$$

où $\Gamma_{\mu\nu}^\lambda = 1/2 g^{\kappa\lambda} (\partial_\mu g_{\kappa\nu} + \partial_\nu g_{\kappa\mu} - \partial_\kappa g_{\mu\nu})$ désigne les symboles de Christoffel.

Rassemblant tous ces résultats, on trouve

$$\gamma^\mu \nabla_\mu \gamma^\nu \nabla_\nu = g^{\mu\nu} \nabla_\mu \nabla_\nu - g^{\mu\nu} \Gamma_{\mu\nu}^\lambda \nabla_\lambda + \frac{1}{2} \gamma^{\mu\nu} \Omega_{\mu\nu}. \quad (3.44)$$

La dérivée covariante ∇_μ définit une connexion $\nabla : \mathcal{E} \rightarrow \mathcal{E} \otimes_{C^\infty(\mathcal{M})} \Omega^1(\mathcal{M})$ sur le fibré spinoriel \mathcal{E} par

$$\nabla(\Psi) = \nabla_\mu(\Psi) \otimes dx^\mu \quad (3.45)$$

pour tout $\Psi \in \mathcal{E}$. Par définition, l'opérateur

$$\Delta = g^{\mu\nu} \nabla_\mu \nabla_\nu - g^{\mu\nu} \Gamma_{\mu\nu}^\lambda \nabla_\lambda \quad (3.46)$$

est un laplacien généralisé associé à la connexion ∇ .

Pour terminer la décomposition de l'opérateur de Dirac, il nous reste à déterminer l'endomorphisme E . Définissons E par

$$E = -\frac{1}{2} \gamma^{\mu\nu} \Omega_{\mu\nu} + i \gamma^\mu \gamma^{n+1} D_\mu \tilde{\Phi} + \tilde{\Phi}^2. \quad (3.47)$$

Il est clair que E est un endomorphisme, puisque $\Omega_{\mu\nu} = [\nabla_\mu, \nabla_\nu]$ en est un, et que

$$\left(\mathcal{D}_{A_\mu, \Phi} \right)^2 = -\Delta + E. \quad (3.48)$$

Nous avons réussi à décomposer le carré de l'opérateur de Dirac en un laplacien généralisé et un endomorphisme du fibré spinoriel. Puisque cette décomposition est unique, il n'y a aucune ambiguïté sur la définition de E .

Afin de simplifier des calculs ultérieurs, écrivons explicitement la courbure $\Omega_{\mu\nu}$

$$\Omega_{\mu\nu} = [\nabla_\mu, \nabla_\nu] = \tilde{F}_{\mu\nu} + \partial_\mu \omega_\nu - \partial_\nu \omega_\mu + [\omega_\mu, \omega_\nu], \quad (3.49)$$

où $\tilde{F}_{\mu\nu} = \partial_\mu \tilde{A}_\nu - \partial_\nu \tilde{A}_\mu + [\tilde{A}_\mu, \tilde{A}_\nu]$ est la courbure du champ de jauge \tilde{A}_μ . Notons que, grâce à l'axiome de réalité, on a

$$\tilde{F}_{\mu\nu} = \partial_\mu \tilde{A}_\nu - \partial_\nu \tilde{A}_\mu + [\tilde{A}_\mu, \tilde{A}_\nu] = F_{\mu\nu} + \mathcal{J} F_{\mu\nu} \mathcal{J}^{-1}. \quad (3.50)$$

En utilisant la relation

$$[\gamma^{ab}, \gamma^{cd}] = 2 \left(\delta^{ad} \gamma^{bc} - \delta^{ac} \gamma^{bd} + \delta^{bc} \gamma^{ad} - \delta^{bd} \gamma^{ac} \right), \quad (3.51)$$

le terme gravitationnel s'écrit

$$\partial_\mu \omega_\nu - \partial_\nu \omega_\mu + [\omega_\mu, \omega_\nu] = \frac{1}{4} (\partial_\mu \omega_{ab\mu} - \partial_\nu \omega_{ab\nu} + \omega_{ac\mu} \omega_{cd\nu} - \omega_{ac\nu} \omega_{cd\mu}). \quad (3.52)$$

Puisque $\omega_{ab\mu}$ n'est autre que la connexion de Levi-Civita partiellement exprimée dans la base déterminée par la tétrade, le second membre de (3.52) est le tenseur de Riemann $R_{ab\mu\nu}$. On en déduit

$$\gamma^{\mu\nu} [\partial_\mu + \omega_\mu, \partial_\nu + \omega_\nu] = \frac{1}{4} \gamma^{\mu\nu} R_{ab\mu\nu} \gamma^{ab} = \frac{1}{4} R_{\kappa\lambda\mu\nu} \gamma^{\mu\nu} \gamma^{\kappa\lambda}. \quad (3.53)$$

Utilisant les propriétés de symétrie du tenseur de Riemann, on obtient

$$R_{\kappa\lambda\mu\nu} \gamma^{\mu\nu} \gamma^{\kappa\lambda} = 2\mathcal{R}, \quad (3.54)$$

où \mathcal{R} est la courbure scalaire, que nous choisissons positive pour la sphère. Ainsi, nous avons

$$E = -\frac{1}{4}\mathcal{R} - \frac{1}{2}\gamma^{\mu\nu}\tilde{F}_{\mu\nu} + i\gamma^\mu\gamma^{n+1}D_\mu\tilde{\Phi} + \tilde{\Phi}^2. \quad (3.55)$$

Conclusion Nous avons écrit le carré de l'opérateur de Dirac $\mathcal{D}_{A_\mu, \Phi}$ sous la forme $(\mathcal{D}_{A_\mu, \Phi})^2 = -\Delta + E$, où Δ est un laplacien généralisé associé à la connexion définie par la dérivée covariante $\nabla_\mu = \partial_\mu + \omega_\mu + \tilde{A}_\mu$ et E est un endomorphisme du fibré spinoriel donné par

$$E = -\frac{1}{4}\mathcal{R} - \frac{1}{2}\gamma^{\mu\nu}\tilde{F}_{\mu\nu} + i\gamma^\mu\gamma^{n+1}D_\mu\tilde{\Phi} + \tilde{\Phi}^2. \quad (3.56)$$

La courbure de la connexion ∇_μ est donnée par

$$\Omega_{\mu\nu} = \frac{1}{4}R_{ab\mu\nu}\gamma^{ab} + \tilde{F}_{\mu\nu}. \quad (3.57)$$

3.1.4 Action spectrale

Suivant le principe d'action spectrale, l'action bosonique ne dépend que du spectre de l'opérateur de Dirac covariant. Étant donné que $\mathcal{D}_{A_\mu, \Phi}$ contient les champs de Yang-Mills A_μ et scalaires Φ ainsi que la métrique $g_{\mu\nu}$, l'action obtenue décrira un modèle de Yang-Mills-Higgs couplé à la gravitation.

Si on considère que l'action fermionique est l'objet essentiel de la théorie des champs, l'idée d'une action bosonique qui ne dépend que du spectre de l'opérateur de Dirac est relativement naturelle. Par exemple, l'action effective obtenue en intégrant sur les champs de fermions nous donne un déterminant fonctionnel

$$\int [\mathcal{D}\bar{\Psi}][\mathcal{D}\Psi] e^{-\langle \bar{\Psi}, \mathcal{D}_{A_\mu, \Phi} \Psi \rangle} = \det \mathcal{D}_{A_\mu, \Phi}. \quad (3.58)$$

Après régularisation, par une fonction ζ par exemple, ce déterminant ne dépend que du spectre de l'opérateur de Dirac $\mathcal{D}_{A_\mu, \Phi}$. Ainsi, cette action effective satisfait au principe d'action spectrale.

De façon générale, nous écrirons l'action bosonique sous la forme

$$S = \text{Tr F} \left[\mathcal{D}^2 / \Lambda^2 \right], \quad (3.59)$$

où, pour simplifier, nous notons \mathcal{D} l'opérateur de Dirac covariant $\mathcal{D}_{A_\mu, \Phi}$. F est une fonction quelconque, mais supposée suffisamment régulière et à décroissance rapide à l'infini pour que la trace existe. De plus, pour obtenir une action positive, nous faisons l'hypothèse que $F(x) \geq 0$ si $x \geq 0$. Λ est un cut-off homogène à une masse de l'ordre de grandeur de la masse de Planck $m_P = 10^{19}$ GeV.

Puisque la masse de Planck est très grande par rapport à l'échelle d'énergie électrofaible $M_W = 80$ GeV, nous nous intéresserons uniquement au développement asymptotique de (3.59) lorsque $\Lambda \rightarrow \infty$. En dimension n , le développement asymptotique de cette fonctionnelle est donné par

$$\text{Tr F} \left[\mathcal{D}^2 / \Lambda^2 \right] = \sum_{0 \leq k \leq n/2} \Lambda^{n-2k} F_{2k} \int_{\mathcal{M}} a_{2k}(\mathcal{D}^2) \sqrt{g} d^n x + O(1/\Lambda^2), \quad (3.60)$$

où $a_{2k}(\mathcal{D}^2)$ désigne les coefficients de Seeley-de Witt qui interviennent dans le développement limité de

$$\mathrm{Tr} e^{-t\mathcal{D}^2} = \sum_{0 \leq k \leq n/2} t^{k-n/2} \int_{\mathcal{M}} a_{2k}(\mathcal{D}^2) \sqrt{g} d^n x + O(t) \quad (3.61)$$

quand $t \rightarrow 0$. Les nombres réels F_{2k} ne dépendent que de F et sont donnés par

$$F_{2k} = \frac{1}{\Gamma(n/2 - k)} \int_0^\infty t^{n/2-k-1} F(t) dt \quad \text{si } 2k < n, \quad F_n = F(0). \quad (3.62)$$

Cette relation peut être justifiée en écrivant F sous la forme d'une transformée de Laplace $F(s) = \int_0^\infty G(t) e^{-st}$, ce qui donne

$$\mathrm{Tr} F[\mathcal{D}^2/\Lambda^2] = \int_0^\infty \mathrm{Tr} e^{-\mathcal{D}^2/\Lambda^2} G(t) dt. \quad (3.63)$$

En insérant le développement limité (3.61), on obtient

$$\mathrm{Tr} F[\mathcal{D}^2/\Lambda^2] = \sum_{0 \leq k \leq n/2} \Lambda^{n-2k} F_{2k} \int_{\mathcal{M}} a_{2k}(\mathcal{D}^2) \sqrt{g} d^n x + O(1/\Lambda^2). \quad (3.64)$$

avec

$$F_{2k} = \int_0^\infty t^{k-n/2} G(t) dt. \quad (3.65)$$

En utilisant

$$\int_0^\infty s^{-p} F(s) ds = \Gamma(p+1) \int_0^\infty \frac{G(t)}{t^{p+1}} dt, \quad (3.66)$$

valide pour $Re(p) > -1$, on montre que

$$F_{2k} = \frac{1}{\Gamma(n/2 - k)} \int_0^\infty t^{n/2-k-1} F(t) dt \quad (3.67)$$

si $2k < n$, ce qui justifie notre résultat.

Les trois premiers coefficients de Seeley-de Witt sont donnés [G], à une dérivée totale près, en fonction de E et $\Omega_{\mu\nu}$ par

$$a_0(\mathcal{D}^2) = \frac{1}{(4\pi)^{n/2}} 2^{[n/2]} \mathrm{Tr}(1), \quad (3.68)$$

$$a_2(\mathcal{D}^2) = \frac{1}{(4\pi)^{n/2}} \left(\frac{1}{6} \mathcal{R} 2^{[n/2]} \mathrm{Tr}(1) - \mathrm{Tr} E \right), \quad (3.69)$$

$$\begin{aligned} a_4(\mathcal{D}^2) &= \frac{1}{(4\pi)^{n/2}} \left(\frac{1}{72} \mathcal{R}^2 2^{[n/2]} \mathrm{Tr}(1) - \frac{1}{180} R_{\mu\nu} R^{\mu\nu} 2^{[n/2]} \mathrm{Tr}(1) \right. \\ &\quad \left. + \frac{1}{180} R_{\mu\nu\rho\sigma} R^{\mu\nu\rho\sigma} 2^{[n/2]} \mathrm{Tr}(1) + \frac{1}{12} \mathrm{Tr} \Omega_{\mu\nu} \Omega^{\mu\nu} - \frac{1}{6} \mathcal{R} \mathrm{Tr} E + \frac{1}{2} \mathrm{Tr} E^2 \right). \end{aligned} \quad (3.70)$$

où $R_{\mu\nu\rho\sigma}$ est le tenseur de Riemann, $R_{\mu\nu}$ le tenseur de Ricci, \mathcal{R} la courbure scalaire et $\mathrm{Tr}(1)$ la dimension de l'espace \mathcal{H}_F .

Utilisant les expressions explicites de E et de $\Omega_{\mu\nu}$, nous obtenons

$$a_0(\mathcal{D}^2) = \frac{\mathrm{Tr}(1)}{(2\pi)^{\frac{n}{2}}}, \quad (3.71)$$

$$a_2(\mathcal{D}^2) = -\frac{1}{12} \frac{\text{Tr}(1)}{(2\pi)^{\frac{n}{2}}} \mathcal{R} - \frac{1}{(2\pi)^{\frac{n}{2}}} \text{Tr}(\tilde{\Phi}^2), \quad (3.72)$$

$$\begin{aligned} a_4(\mathcal{D}^2) &= \frac{1}{1440} \frac{\text{Tr}(1)}{(2\pi)^{\frac{n}{2}}} \left(5\mathcal{R}^2 - 8R_{\mu\nu}R^{\mu\nu} - 7R_{\kappa\lambda\mu\nu}R^{\kappa\lambda\mu\nu} \right) \\ &+ \frac{1}{2} \frac{1}{(2\pi)^{\frac{n}{2}}} \left(\text{Tr}(D_\mu \tilde{\Phi} D^\mu \tilde{\Phi}) + \text{Tr}(\tilde{\Phi}^4) \right) \\ &- \frac{1}{6} \frac{1}{(2\pi)^{\frac{n}{2}}} \text{Tr}(\tilde{F}_{\mu\nu} \tilde{F}^{\mu\nu}) + \frac{1}{12} \frac{1}{(2\pi)^{\frac{n}{2}}} \mathcal{R} \text{Tr}(\tilde{\Phi}^2). \end{aligned} \quad (3.73)$$

En dimension $n > 4$, l'action spectrale contient des termes en $a_6(\mathcal{D}^2)$, puisque ces derniers ne sont plus en facteur de puissances du cut-off qui tendent vers 0 quand Λ tend vers l'infini. Physiquement, l'action ainsi obtenue n'est pas acceptable car $a_6(\mathcal{D}^2)$ contient des termes d'ordre trop élevés tels que $\text{Tr}F^3$. Bien entendu, il est toujours possible de choisir une fonction F (non positive) telle que $F_{2k} = 0$ si $k > 2$, mais cela n'améliore pas les problèmes dus à la non renormalisabilité de la théorie en dimension $n > 4$. Par conséquent, même si les relations que nous obtenons sont données en dimension quelconque, nous ne devons pas perdre de vue que Λ n'est un cut-off naturel qu'en dimension 4.

Enfin, notons que puisque la fonction F est une fonction de cut-off qui doit limiter la trace aux valeurs propres inférieures à Λ , le choix le plus naturel est de prendre pour F la fonction caractéristique de l'intervalle $[0, 1]$. Cependant, cette fonction n'est pas régulière et nous ne pouvons pas appliquer la méthode précédente. Dans ce cas, il est nécessaire de recourir à des méthodes plus élaborées [ECV].

Conclusion *En utilisant le noyau de la chaleur, le développement asymptotique de l'action spectrale s'écrit, en dimension 4,*

$$\begin{aligned} \text{Tr}F \left[\mathcal{D}^2/\Lambda^2 \right] &= \Lambda^4 F_0 \int_{\mathcal{M}} a_0(\mathcal{D}^2) \sqrt{g} d^4x + \Lambda^2 F_2 \int_{\mathcal{M}} a_2(\mathcal{D}^2) \sqrt{g} d^4x \\ &+ \Lambda^0 F_4 \int_{\mathcal{M}} a_4(\mathcal{D}^2) \sqrt{g} d^4x + O(1/\Lambda^2) \end{aligned} \quad (3.74)$$

où F_0 , F_2 et F_4 sont des constantes reliées à la fonction F , $a_0(\mathcal{D}^2)$, $a_2(\mathcal{D}^2)$ et $a_4(\mathcal{D}^2)$ sont les coefficients de Seeley-de Witt et Λ est un cut-off de l'ordre de la masse de Planck. Cette action décrit un modèle de Yang-Mills-Higgs couplé à la gravitation \mathcal{R}^2 . En dimension $n > 4$, l'action spectrale contient des termes d'ordre supérieurs, non physiques.

3.1.5 Termes gravitationnels

Dans cette section, nous allons étudier quelques aspects spécifiques au secteur gravitationnel de la théorie en dimension 4. Les termes gravitationnels obtenus à l'aide de l'expansion de l'action spectrale sont de quatre types : un terme contenant une constante cosmologique, l'action d'Einstein-Hilbert, un couplage entre les champs scalaires et la courbure scalaire et des termes du second degré en $R_{\mu\nu\rho\sigma}$.

Commençons par simplifier ces derniers en introduisant l'invariant de Gauss-Bonnet,

$$\chi = R_{\kappa\lambda\mu\nu}R^{\kappa\lambda\mu\nu} - 4R_{\mu\nu}R^{\mu\nu} + \mathcal{R}^2, \quad (3.75)$$

qui est une dérivée totale en dimension 4. Les termes en \mathcal{R}^2 de l'action spectrale apparaissent par l'intermédiaire du coefficient $a_4(\mathcal{D}^2)$ et sont données par

$$\frac{1}{1440} \frac{\text{Tr}(1)}{(2\pi)^2} (5\mathcal{R}^2 - 8R_{\mu\nu}R^{\mu\nu} - 7R_{\kappa\lambda\mu\nu}R^{\kappa\lambda\mu\nu}) \quad (3.76)$$

En leur retranchant un terme proportionnel à χ , on obtient

$$5\mathcal{R}^2 - 8R_{\mu\nu}R^{\mu\nu} - 7R_{\kappa\lambda\mu\nu}R^{\kappa\lambda\mu\nu} - 11\chi = -6\mathcal{R}^2 + 36R_{\mu\nu}R^{\mu\nu} - 18R_{\kappa\lambda\mu\nu}R^{\kappa\lambda\mu\nu}. \quad (3.77)$$

Le second membre de (3.77) s'exprime à l'aide du carré du tenseur de Weyl. Ce dernier est défini, en dimension 4, par

$$C_{\kappa\lambda\mu\nu} = R_{\kappa\lambda\mu\nu} - \frac{1}{2} (g_{\mu\rho}R_{\nu\sigma} - g_{\mu\sigma}R_{\nu\rho} + g_{\nu\sigma}R_{\mu\rho} - g_{\nu\rho}R_{\mu\sigma}) + \frac{1}{6} (g_{\mu\rho}g_{\nu\sigma} - g_{\mu\sigma}g_{\nu\rho}) \mathcal{R}. \quad (3.78)$$

Son carré est donné par $C_{\kappa\lambda\mu\nu}C^{\kappa\lambda\mu\nu} = R_{\kappa\lambda\mu\nu}R^{\kappa\lambda\mu\nu} - 2R_{\mu\nu}R^{\mu\nu} + \frac{1}{3}\mathcal{R}^2$, ce qui nous permet d'écrire

$$5\mathcal{R}^2 - 8R_{\mu\nu}R^{\mu\nu} - 7R_{\kappa\lambda\mu\nu}R^{\kappa\lambda\mu\nu} = -18C_{\kappa\lambda\mu\nu}C^{\kappa\lambda\mu\nu} + 11\chi. \quad (3.79)$$

A une dérivée totale près, les termes en \mathcal{R}^2 sont

$$-\frac{1}{80} \frac{\text{Tr}(1)}{(2\pi)^2} C_{\kappa\lambda\mu\nu}C^{\kappa\lambda\mu\nu}. \quad (3.80)$$

L'action d'Einstein-Hilbert provient du coefficient $a_2(\mathcal{D}^2)$. En effet, outre un terme de masse pour les champs scalaires, celui-ci contient

$$-\frac{1}{12} \frac{\text{Tr}(1)}{(2\pi)^2} \mathcal{R}. \quad (3.81)$$

L'action d'Einstein-Hilbert s'écrit

$$S_{EH} = -\frac{1}{16\pi G} \int_{\mathcal{M}} d^4x \sqrt{g} \mathcal{R}, \quad (3.82)$$

où la constante de Newton est donnée, avant brisure spontanée de symétrie, par

$$G = \frac{3}{2} \frac{2\pi}{\text{Tr}(1)} F_2 \Lambda^2, \quad (3.83)$$

En utilisant G , nous pouvons réécrire le terme de Weyl sous la forme

$$S_W = \frac{3}{160\pi\mu^2 G^2} \int_{\mathcal{M}} d^4x \sqrt{g} C_{\kappa\lambda\mu\nu}C^{\kappa\lambda\mu\nu}, \quad (3.84)$$

où μ est une quantité homogène à une masse donné par

$$\mu = \sqrt{\frac{2F_2}{F_4}} \Lambda. \quad (3.85)$$

Nous verrons que μ pourra être interprété comme la "masse" des champs scalaires avant la brisure spontanée de symétrie.

Le coefficient $a_0(\mathcal{D}^2)$ génère un terme

$$\frac{\text{Tr}(1)}{(2\pi)^2} \int_{\mathcal{M}} d^4x \sqrt{g} \quad (3.86)$$

qui s'identifie, avant brisure spontanée de symétrie, à une constante cosmologique

$$\Lambda_c = \frac{1}{12} \frac{\text{Tr}(1)^2}{(2\pi)^4} \frac{F_0}{F_2} \Lambda_2, \quad (3.87)$$

de telle sorte que l'action d'Einstein-Hilbert avec constante cosmologique soit

$$S_{EHC} = \frac{1}{16\pi G} \int_{\mathcal{M}} d^4x \sqrt{g} (-\mathcal{R} + \Lambda_c). \quad (3.88)$$

Bien entendu, cette constante cosmologique peut être annulée en choisissant une fonction F telle que $F_0 = 0$. Cependant, cela nécessite l'emploi d'une fonction non positive [LR].

Enfin, nous avons un terme de couplage entre les champs scalaires et la gravitation donné par

$$\frac{1}{12} \frac{1}{(2\pi^2)} F_4 \mathcal{R} \text{Tr}(\tilde{\Phi}^2). \quad (3.89)$$

Nous verrons que, grâce à la normalisation des champs scalaires, ce terme est simplement

$$\frac{1}{6} \mathcal{R} \sum_{\text{scalaires}} \text{Tr}(\Phi^2), \quad (3.90)$$

où la somme est une somme sur tous les champs scalaires que contient la théorie. Il est à noter que dans certains cas ce terme peut menacer la brisure spontanée de symétrie [Es]. En effet, toutes les constantes sont données avant brisure spontanée de symétrie. Lorsque l'on développe la théorie au voisinage en fonction des champs scalaires physiques, il apparaît un décalage dans les constantes Λ_c , G et μ .

Terminons par quelques mots concernant l'unitarité et la renormalisabilité de cette théorie [BOS]. Bien que la théorie d'Einstein soit non renormalisable, l'incorporation de termes d'ordre supérieurs rend cette théorie renormalisable. En effet, si on incorpore à l'action d'Einstein-Hilbert les termes en $C_{\kappa\lambda\mu\nu} C^{\kappa\lambda\mu\nu}$ et en \mathcal{R}^2 , la théorie est renormalisable. Cependant, nous avons besoin de ces deux termes simultanément, alors que l'action spectrale ne nous fournit que le terme de Weyl. Nous n'obtenons donc pas une théorie renormalisable au sens strict du terme, car les corrections quantiques vont générer des contretermes en \mathcal{R}^2 . De plus, l'introduction des termes d'ordre supérieurs brise l'unitarité.

Conclusion *En dimension 4, le secteur gravitationnel de l'action spectrale contient un terme d'Einstein-Hilbert avec constante cosmologique*

$$S_{EHC} = \frac{1}{16\pi G} \int_{\mathcal{M}} d^4x \sqrt{g} (-\mathcal{R} + \Lambda_c), \quad (3.91)$$

un terme de Weyl

$$S_W = \frac{3}{160\pi\mu^2 G^2} \int_{\mathcal{M}} d^4x \sqrt{g} C_{\kappa\lambda\mu\nu} C^{\kappa\lambda\mu\nu}, \quad (3.92)$$

ainsi qu'un couplage entre la gravitation et les champs scalaires donné par (3.90). Les constantes G , Λ_c et μ sont données, avant brisure spontanée de symétrie, par les équations (3.83), (3.85) et (3.87). Cette théorie est non unitaire et n'est pas renormalisable au sens strict du terme, car les corrections quantiques engendrent un contreterme en \mathcal{R}^2 .

3.2 Théorie de jauge

3.2.1 Les fermions et leur représentation

Les transformations de jauge sont données par les éléments unitaires u de \mathcal{A} . u peut être considéré comme une application de \mathcal{M} dans le groupe G_F des éléments unitaires de \mathcal{A}_F . Puisque \mathcal{A}_F est une somme directe d'algèbres de matrices à coefficients dans les corps \mathbb{C} , \mathbb{R} et \mathbb{H} , G_F est un produit direct de groupes de Lie simples du type $U(n)$, $O(n)$ et $SP(n)$, qui sont les éléments unitaires des algèbres de matrices $M_n(\mathbb{C})$, $M_n(\mathbb{R})$ et $M_n(\mathbb{H})$. Par conséquent, le groupe de jauge est un produit direct de groupes de Lie compacts qui correspondent aux quatre séries infinies de la classification des algèbres de Lie semi-simples, les cinq algèbres de Lie exceptionnelles étant exclues.

Pour être une symétrie de l'action spectrale, le groupe des unitaires doit être représenté sur l'espace de Hilbert \mathcal{H} . L'action de l'unitaire u sur \mathcal{H} se fait par l'intermédiaire de la représentation $\tilde{\pi}$ définie par $\tilde{\pi}(u) = \pi(u)\mathcal{J}\pi(u)\mathcal{J}^{-1}$.

Par définition, \mathcal{H} est le produit tensoriel de l'espace de Hilbert des spineurs de carré intégrable sur \mathcal{M} par l'espace \mathcal{H}_F correspondant au triplet spectral fini. De même, π et \mathcal{J} sont les produits tensoriels des opérateurs correspondants et il nous suffit, pour étudier les lois de transformation des éléments de \mathcal{H} , de ne considérer que la partie correspondant au triplet spectral fini $(\mathcal{A}_F, \mathcal{H}_F, \mathcal{D}_F)$. Pour alléger nos équations, nous omettrons l'indice F jusqu'à la fin de ce chapitre.

Rappelons que si \mathcal{A} est une somme directe d'algèbres de matrices, $\mathcal{A} = \bigoplus_i M_{n_i}(\mathbb{K})$, l'espace de Hilbert se décompose en $\mathcal{H} = \bigoplus_{i,j} \mathcal{H}_{ij}$, où les indices i et j correspondent aux différentes représentations irréductibles des facteurs $M_{n_i}(\mathbb{K})$.

A cette décomposition de \mathcal{H} sont associées les décompositions de π et $\mathcal{J}\pi\mathcal{J}^{-1}$,

$$\pi(x) = \bigoplus_{i,j} x_i \otimes I_{m_{ij}} \otimes I_{n_j}, \quad (3.93)$$

$$\mathcal{J}\pi(x)\mathcal{J}^{-1} = \bigoplus_{i,j} I_{n_i} \otimes I_{m_{ij}} \otimes \bar{x}_j, \quad (3.94)$$

pour tout $y \in \mathcal{A}$. Un élément u du groupe $G = G_1 \times \dots \times G_N$ des unitaires de \mathcal{A} est donc représenté par

$$\tilde{\pi}(u) = \pi(u)\mathcal{J}\pi(u)\mathcal{J}^{-1} = \bigoplus_{i,j} u_i \otimes I_{m_{ij}} \otimes \bar{u}_j, \quad (3.95)$$

Par conséquent, les vecteurs de $\mathcal{H}_{ij} = \mathbb{C}^{n_i} \otimes \mathbb{C}^{|\mu_{ij}|} \otimes \mathbb{C}^{n_j}$ se transforment sous la représentation $n_i \otimes \bar{n}_j$ avec la multiplicité $|\mu_{ij}|$, où n_i désigne la représentation fondamentale de G_i ou sa complexe conjuguée.

Cette condition est particulièrement restrictive, car parmi toutes les représentations de G , nous ne pouvons construire que des produits tensoriels de deux représentations fondamentales de chacun des groupes simples G_i . Cela impose de très sévères contraintes sur les théories de grande unification [LMMS1]. Par exemple, le modèle de grande unification basé sur le groupe $SO(10)$ regroupe tous les fermions existant ainsi que le neutrino droit dans un multiplet de dimension 16. Ces fermions se transforment dans la représentation spinorielle de $SO(10)$ qui ne peut être obtenue à partir de sa représentation fondamentale.

Dans le but de construire de tels modèles en utilisant les outils de la géométrie non commutative, une autre approche a été développée dans [Wu]. Elle consiste à remplacer l'algèbre associative \mathcal{A} par une algèbre de Lie, représentée sur un espace de Hilbert, à partir de laquelle on peut reconstruire un calcul différentiel ainsi que les théories de jauge qui lui sont associées.

L'espace \mathcal{H} est équipé d'une graduation χ . Dans le cas du modèle standard, cet opérateur prend la valeur $+1$ pour les fermions droits et la valeur -1 pour les fermions gauches. C'est pourquoi on l'interprète généralement comme un opérateur de chiralité, les fermions de \mathcal{H}_{ij} étant considérés comme des fermions chiraux, encore appelés fermions de Weyl, d'hélicité droite si $\mu_{ij} > 0$ et d'hélicité gauche si $\mu_{ij} < 0$.

Cette interprétation de χ est controversée car, au sens strict du terme, l'espace de Hilbert des spineurs contient déjà, pour chaque particule, des composantes droite et gauche. Il semble donc que la distinction entre particules droites et gauches dans l'espace \mathcal{H} relatif au triplet spectral fini soit superflue et conduise à un doublement du nombre de particules [LMMS2].

Cependant, cette difficulté n'est pas propre à la géométrie non commutative. Elle apparaît dans les théories des champs contenant des fermions chiraux définis avec une signature euclidienne. En effet, avec une telle signature, l'action de Dirac est donnée par $\Psi^\dagger \mathcal{D} \Psi$ alors que dans l'espace de Minkowski, elle est $\bar{\Psi} \mathcal{D} \Psi$, avec $\bar{\Psi} = \Psi^\dagger \gamma^0$. Dans le premier cas, des fermions chiraux, i.e. satisfaisant à $\gamma^5 \Psi = \pm \Psi$, ont une action de Dirac nulle alors que ce n'est pas le cas en signature lorentzienne à cause de la présence de γ^0 . Pour écrire une action de Dirac non nulle dans l'euclidien pour des fermions de Weyl le doublement est nécessaire et nous considérerons que les fermions de \mathcal{H}_{ij} sont réellement des fermions chiraux.

Dans le triplet spectral du modèle standard, l'opérateur \mathcal{J} est un opérateur antilinéaire qui échange particules et antiparticules. Par conséquent, dans le cas général nous considérons que \mathcal{J} joue le rôle de la conjugaison de charge. Nous interprétons les éléments de $\mathcal{H}_{ji} = \mathcal{J} \mathcal{H}_{ij}$ comme les antiparticules de \mathcal{H}_{ij} .

En général, seuls les vecteurs de \mathcal{H}_{ii} peuvent être des particules de Majorana, qui se transforment nécessairement dans la représentation adjointe de G_i . La condition d'absence de fermions de Majorana est donnée par l'axiome de S^0 -réalité. En effet, celui-ci stipule qu'il existe un opérateur ϵ , hermitien et de carré 1, qui commute avec χ , \mathcal{D} et π et anticommute avec \mathcal{J} . Cette dernière relation permet de décomposer $\mathcal{H} = \mathcal{H}_+ \oplus \mathcal{H}_-$ suivant les valeurs propres de ϵ . On a $\mathcal{J} \mathcal{H}_+ = \mathcal{H}_-$ et $\mathcal{J} \mathcal{H}_- = \mathcal{H}_+$ ce qui nous amène à interpréter \mathcal{H}_+ comme l'espace des particules et \mathcal{H}_- comme celui des antiparticules. Puisque \mathcal{J} échange ces deux espaces, aucune particule n'est sa propre antiparticule.

Conclusion *Le groupe de jauge d'un modèle de Yang-Mills-Higgs construit à l'aide de la géométrie non commutative est un produit direct de groupes de Lie compacts du type $G = O(n_i)$, $U(n_i)$ et $SP(n_i)$. L'espace de Hilbert des fermions se décompose en*

$$\mathcal{H} = \bigoplus_{i,j} \mathcal{H}_{ij}, \quad (3.96)$$

où \mathcal{H}_{ij} contient des fermions chiraux se transformant sous le produit tensoriel $n_i \otimes \bar{n}_j$, n_i désignant la représentation fondamentale de G_i ou sa complexe conjuguée. A partir de la matrice de multiplicité du triplet spectral fini, on peut reconstruire la multiplicité de la représentation $n_i \otimes \bar{n}_j$ donnée par $|\mu_{ij}|$, ainsi que l'hélicité des fermions de \mathcal{H}_{ij} donnée par le signe de μ_{ij} . Les éléments de \mathcal{H}_{ji} sont les antiparticules de ceux de \mathcal{H}_{ij} et la condition de S^0 -réalité correspond à l'absence de fermions de Majorana.

3.2.2 Constantes de couplage non abéliennes

En plus du secteur gravitationnel, l'action spectrale contient un terme de Yang-Mills qui apparaît à travers le coefficient $a_4(\mathcal{D}^2)$. Plus précisément, l'action de Yang-Mills obtenue est,

en dimension n .

$$S_{YM} = -\frac{1}{6} \frac{1}{(2\pi)^{n/2}} F_4 \Lambda^{n-4} \int_{\mathcal{M}} d^4x \sqrt{g} \operatorname{Tr}(\tilde{F}_{\mu\nu} \tilde{F}^{\mu\nu}), \quad (3.97)$$

avec $\tilde{F}_{\mu\nu} = \partial_\mu \tilde{A}_\nu - \partial_\nu \tilde{A}_\mu + [\tilde{A}_\mu, \tilde{A}_\nu]$ et $\tilde{A}_\mu = A_\mu + \mathcal{J} A_\mu \mathcal{J}^{-1}$.

Par définition, A_μ est un élément antihermitien de l'algèbre \mathcal{A} représenté sur \mathcal{H} . On peut toujours écrire A_μ sous la forme

$$A_\mu = \bigoplus_{i,j} (g_i A_\mu^i + B_\mu^i) \otimes I_{m_{ij}} \otimes I_{n_j}, \quad (3.98)$$

où A_μ^i est un élément antihermitien de $M_{n_i}(\mathbb{K})$ tel que $\operatorname{Tr}(A_\mu^i) = 0$ et $B_\mu^i \in i\mathbb{R}$ un champ de jauge abélien. g_i est un nombre réel strictement positif qui joue le rôle d'une constante de couplage pour le champ de jauge non abélien A_μ^i . Cela nous permet d'écrire $F_{\mu\nu}$ et $\tilde{F}_{\mu\nu}$ sous la forme

$$F_{\mu\nu} = \bigoplus_{i,j} (g_i F_{\mu\nu}^i + G_{\mu\nu}^i) \otimes I_{m_{ij}} \otimes I_{n_j}, \quad (3.99)$$

$$\mathcal{J} F_{\mu\nu} \mathcal{J}^{-1} = \bigoplus_{i,j} I_{n_i} \otimes I_{m_{ij}} \otimes (g_i \overline{F}_{\mu\nu}^i + \overline{G}_{\mu\nu}^i), \quad (3.100)$$

avec

$$F_{\mu\nu}^i = \partial_\mu A_\nu^i - \partial_\nu A_\mu^i + g_i [A_\mu^i, A_\nu^i], \quad (3.101)$$

$$G_{\mu\nu}^i = \partial_\mu B_\nu^i - \partial_\nu B_\mu^i. \quad (3.102)$$

En remplaçant $F_{\mu\nu}$ et $\mathcal{J} F_{\mu\nu} \mathcal{J}^{-1}$ par leurs expressions dans $\operatorname{Tr}(\tilde{F}_{\mu\nu} \tilde{F}^{\mu\nu})$, on obtient

$$\operatorname{Tr}(\tilde{F}_{\mu\nu} \tilde{F}^{\mu\nu}) = \sum_{ij} 2g_i^2 |\mu_{ij}| n_j \operatorname{Tr}(F_{\mu\nu}^i F^{i\mu\nu}) + Q_{ij} G_{\mu\nu}^i G^{j\mu\nu}. \quad (3.103)$$

La matrice symétrique et positive Q_{ij} est donnée par

$$Q_{ij} = 2 \left(\sum_k m_{ik} n_i n_k \right) \delta_{ij} - 2 |\mu_{ij}| n_i n_j. \quad (3.104)$$

Le premier terme du second membre de (3.103) détermine l'action de Yang-Mills non abélienne, alors que le second terme correspond aux champs abéliens. Dans cette section, nous ne nous occuperons pas de ce dernier, car la discussion des champs de jauge abéliens est plus compliquée et sera traitée dans la partie suivante. L'action de Yang-Mills non abélienne peut s'écrire

$$-\frac{1}{6} \frac{1}{(2\pi)^{n/2}} F_4 \Lambda^{n-4} \sum_{i,j} 2g_i^2 |\mu_{ij}| n_j \int_{\mathcal{M}} d^4x \sqrt{g} \operatorname{Tr}(F_{\mu\nu}^i F^{i\mu\nu}). \quad (3.105)$$

Usuellement, les constantes de couplage non abéliennes sont normalisées de telle sorte que l'action de Yang-Mills soit

$$-\sum_i \frac{1}{2} \int_{\mathcal{M}} d^4x \sqrt{g} \operatorname{Tr}(F_{\mu\nu}^i F^{i\mu\nu}). \quad (3.106)$$

La comparaison avec l'expression obtenue dans (3.105) nous permet de déterminer les constantes de couplages explicitement,

$$g_i = (2\pi)^{n/4} \sqrt{\frac{3/2}{F_4 \Lambda^{n-4} \sum_j |\mu_{ij}| n_j}}. \quad (3.107)$$

Il en ressort que les constantes de couplage non abéliennes sont entièrement déterminées, à un facteur global F_4 par la matrice de multiplicité μ_{ij} .

Il convient de noter que ces relations font intervenir les constantes de couplage au niveau classique uniquement. A priori, il n'existe aucune identité de type Ward-Takahashi ou Slavnov-Taylor [IZ] qui nous assure que ces relations sont préservées au niveau quantique par le processus de renormalisation.

Dans le cas du modèle standard, le point de vue adopté consiste à considérer la théorie comme valide pour une valeur élevée de Λ , de l'ordre de la masse de Planck, et à utiliser les équations du groupe de renormalisation pour déterminer les constantes de couplage lorsque Λ est de l'ordre de l'énergie électrofaible [CIKS2].

Conclusion *Les constantes de couplage des champs de jauge non abéliens sont données explicitement en fonction de la matrice de multiplicité par*

$$g_i = (2\pi)^{n/4} \sqrt{\frac{3/2}{F_4 \Lambda^{n-4} \sum_j |\mu_{ij}| n_j}}. \quad (3.108)$$

3.2.3 Champs de jauge abéliens et conditions d'unimodularité

L'étude des champs de Yang-Mills abéliens est légèrement plus compliquée pour trois raisons. Tout d'abord, contrairement aux champs de non-abéliens, les diverses composantes $G_{\mu\nu}^i$ ne sont pas nécessairement orthogonales, c'est pourquoi l'action fait intervenir la matrice Q_{ij} . Ensuite, il apparaît que certains unitaires de l'algèbre, qui sont dans le noyau de l'application $u \mapsto \pi(u)\mathcal{J}^{-1}\pi(u)\mathcal{J}^{-1}$, n'ont pas de terme cinétique. De tels champs sont toujours abéliens et nous devons les identifier. Enfin, il arrive que certains champs de jauge abéliens doivent être éliminés par une condition d'unimodularité appliquée "à la main" pour des raisons physiques, comme par exemple l'annulation des anomalies dans le modèle standard. Par conséquent, nous devons adapter le formalisme de l'action spectrale de manière à pouvoir traiter ces trois aspects du problème.

Commençons par écrire l'action correspondant aux champs B_μ^i

$$-\frac{1}{6} \frac{1}{(2\pi)^{n/2}} F_4 \Lambda^{n-4} \sum_{i,j} Q_{ij} \int_{\mathcal{M}} d^4x \sqrt{g} \text{Tr}(G_{\mu\nu}^i G^{j\mu\nu}). \quad (3.109)$$

où Q_{ij} est une matrice symétrique et positive donnée par (3.104).

Paramétrons linéairement les N champs B_μ^i à l'aide de $N' \leq N$ champs C_μ^i , N désignant le nombre de facteurs simples dans la décomposition de l'algèbre qui donnent naissance à un champ de jauge abélien,

$$B_\mu^i = \sum_{j=1}^{N'} P_{ij} C_\mu^j, \quad (3.110)$$

où $P_{ij} \in M_{N \times N'}(\mathbb{R})$ est une matrice de rang N' . Nous avons choisi d'exprimer les champs B_μ^i à l'aide d'un nombre plus petit de champs C_μ^i , cette réduction du nombre de degrés de liberté nous permet d'éliminer certains des champs B_μ^i en leur imposant des contraintes linéaires.

A l'aide des nouvelles variables $H_{\mu\nu}^i = \partial_\mu C_\nu^i - \partial_\nu C_\mu^i$, la partie abélienne de l'action de Yang-Mills s'écrit

$$\frac{1}{6} \frac{1}{(2\pi)^{n/2}} F_4 \Lambda^{n-4} \sum_{i,j,k,l} P_{ki} P_{lj} Q_{kl} \int_{\mathcal{M}} d^4x \sqrt{g} H_{\mu\nu}^i H^{j\mu\nu}. \quad (3.111)$$

Celle-ci doit être identifiée à l'action de Yang-Mills usuelle donnée par

$$-\frac{1}{4} \sum_i \int_{\mathcal{M}} d^4x \sqrt{g} H_{\mu\nu}^i H^{i\mu\nu}. \quad (3.112)$$

Cela impose que les matrices P et Q satisfassent à

$$P^t Q P = \lambda I_{N'}, \quad (3.113)$$

avec

$$\lambda = \frac{3}{2} \frac{(2\pi)^{n/2}}{\lambda^{n-4} F_4}. \quad (3.114)$$

Les charges des différents fermions peuvent être déterminées en analysant la dérivé covariante $\partial_\mu + \tilde{A}_\mu$, où \tilde{A}_μ contient les champs C_μ^i ainsi que les éléments de matrice P_{ij} . Cela permet d'exprimer linéairement les charges en fonction des coefficients P_{ij} .

La relation (3.113) ne peut être satisfaite que si aucun des vecteurs colonne $(P_{ij})_{1 \leq i \leq N}$ n'appartient au noyau de Q . Les éléments du noyau de Q sont des champs dont le terme cinétique est identiquement nul.

Le terme cinétique des champs de jauge abéliens est proportionnel à

$$\text{Tr}(\tilde{G}_{\mu\nu} \tilde{G}^{\mu\nu}) = \text{Tr} \left(G_{\mu\nu} + \mathcal{J} G_{\mu\nu} \mathcal{J}^{-1} \right)^2. \quad (3.115)$$

Il ne peut s'annuler que pour des champs satisfaisant à

$$\tilde{B}_\mu = B_\mu + \mathcal{J} B_\mu \mathcal{J}^{-1} = 0. \quad (3.116)$$

En utilisant les expressions explicites de B_μ^j et de $\mathcal{J} B_\mu \mathcal{J}^{-1}$, on voit que ceci équivaut aux relations

$$B_\mu^i = B_\mu^j \quad (3.117)$$

pour $\mu_{ij} \neq 0$.

En particulier, tout champ de jauge abélien B_μ^i qui n'apparaît que sur la diagonale de la matrice de multiplicité (i.e. $\mu_{ij} = 0$ si $i \neq j$), n'a pas de terme cinétique. De même, si le modèle ne comprend que des algèbres complexes avec des représentations complexes, l'équation (3.117) admet une solution non triviale donnée par $B_\mu^i = \lambda_i$. Un tel champ appartient nécessairement au noyau de Q et n'a pas de terme cinétique. Dans le cas où le modèle contient des quaternions ou des représentations réelles, comme c'est le cas pour le modèle standard, un tel champ n'est plus nécessairement solution de (3.117).

Les champs qui satisfont à $B_\mu + \mathcal{J} B_\mu \mathcal{J}^{-1} = 0$ correspondent, au niveau infinitésimal, aux éléments du groupe de jauge situés dans le noyau de la représentation $u \mapsto \pi(u) \mathcal{J} \pi(u) \mathcal{J}^{-1}$. Par conséquent, il ne jouent absolument aucun rôle dans la théorie et peuvent être totalement ignorés.

Terminons cette section par une discussion du nombre de possibilités d'imposer des conditions d'unimodularité pour réduire de N à N' le nombre de champs de jauge abéliens. La matrice P_{ij} a NN' coefficients et elle satisfait à $1/2 N'(N' - 1)$ conditions, puisqu'elle permet de réduire une matrice symétrique à une matrice scalaire $N' \times N'$. De plus, toute rotation dans l'espace de dimension N' engendré par les champs C_μ^i laissera l'action invariante et n'a pas de signification physique. Comme il y a $1/2 N'(N' - 1)$ telles rotations, le nombre de paramètres indépendants jouant un rôle physique dans la matrice P est donné par

$$NN' - \frac{N'(N' + 1)}{2} - \frac{N'(N' - 1)}{2} = N'(N - N'). \quad (3.118)$$

Par exemple, dans le cas du modèle standard le groupe des unitaires de l'algèbre est $SU(2) \times U(1) \times U(3)$, alors que le groupe de jauge du modèle standard est $SU(2) \times U(1) \times SU(3)$. On vérifie qu'il n'y a pas de solutions non triviales aux équations (3.117), ce qui implique que nous devons éliminer un des facteurs $U(1)$. Puisque les quaternions ne contribuent pas au secteur abélien, nous avons $N = 2$ et $N' = 1$, donc il n'y a qu'un seul degré de liberté dans la manière d'éliminer le champ de jauge abélien superflu.

Conclusion *Le nombre de champs de jauge abéliens est réduit de N à N' par l'intermédiaire d'une matrice $N \times N'$. Cette matrice contient $N'(N - N')$ paramètres jouant un rôle physique à partir desquels on peut exprimer les charges des différents fermions de la théorie.*

3.2.4 Anomalies

Lorsque des fermions chiraux sont couplés à des théories de jauge ou à la gravitation, certaines des symétries présentes au niveau classique de la théorie ne sont plus des symétries de la théorie quantique (voir [Ber] et les références contenues à l'intérieur). Au cours de cette section, nous nous intéresserons essentiellement à deux types d'anomalies : les anomalies de jauge et les anomalies mixtes gravitationnelles [AW].

Ces dernières apparaissent lorsque des fermions de Weyl sont couplés à une théorie de jauge et au champ gravitationnel. La condition d'absence d'anomalie mixte s'exprime à l'aide du contenu fermionique de la théorie par

$$\sum_{\text{fermions droits}} \text{Tr}(T^a) - \sum_{\text{fermions gauches}} \text{Tr}(T^a) = 0, \quad (3.119)$$

où T^a désigne les générateurs de l'algèbre de Lie du groupe de jauge.

Dans le cadre des modèles que nous construisons, cette relation peut se mettre sous la forme

$$\text{Tr}_P(\chi \tilde{A}_\mu) = 0, \quad (3.120)$$

où Tr_P est la trace restreinte à l'espace des particules et \tilde{A}_μ un champ de jauge.

Pour simplifier notre discussion, supposons que le modèle satisfasse à la condition de S^0 -réalité, ce qui permet de séparer les particules et les antiparticules. Dans ce cas, la matrice de multiplicité se réécrit sous la forme $\mu_{ij} = \epsilon_{ij} + \epsilon_{ji}$, la composante ϵ_{ij} correspondant aux particules. Dans le cas général, seuls les champs de jauge abéliens contribuent à l'anomalie mixte et nous faisons l'hypothèse supplémentaire que ceux-ci sont donnés par un triplet spectral complexe. Dans le cas réel, il faut distinguer la représentation fondamentale de $M_n(\mathbb{C})$ de sa conjuguée complexe, ce qui ne change pas le principe du calcul mais nous oblige à introduire des notations relativement lourdes. Avec ces hypothèses, la relation (3.120) devient

$$\sum_i (\epsilon_{ij} - \epsilon_{ji}) n_i B_\mu^j = 0, \quad (3.121)$$

où B_μ désigne le champ abélien associé à A_μ (cf §3.2.2). La solution la plus simple de (3.121) consiste à choisir une matrice ϵ symétrique. Dans le cas contraire, la relation (3.121) est une relation linéaire qui doit être imposée aux champs de jauge abéliens, par exemple par l'intermédiaire de la matrice P que nous avons introduite au cours de la section précédente.

Le second type d'anomalies que nous allons étudier sont les anomalies de jauge. Celles-ci peuvent apparaître lorsque des fermions chiraux sont couplés à des champs de Yang-Mills et peuvent poser un problème particulièrement sérieux car elles menacent les identités de Slavnov

et mettent en péril la renormalisabilité de la théorie. La condition d'absence de ces anomalies est

$$\sum_{\text{fermions droits}} \text{Tr} \left(T^a \{ T^b, T^c \} \right) - \sum_{\text{fermions gauches}} \text{Tr} \left(T^a \{ T^b, T^c \} \right) = 0, \quad (3.122)$$

où $\{T^b, T^c\} = T^b T^c + T^c T^b$.

Nous cherchons à éliminer ces anomalies en utilisant une condition d'unimodularité, c'est-à-dire en imposant une ou plusieurs contraintes linéaires aux champs abéliens. Dans le cas du modèle standard, l'absence d'anomalie de jauge est équivalente à une condition d'unimodularité [AGM].

En général, la condition (3.122) est difficile à résoudre car elle est non linéaire. Cependant, pour nos modèles, elle se reformule en

$$\text{Tr}_P[\chi(\tilde{A}_\mu)^3] = 0. \quad (3.123)$$

De cette expression, il ressort que les matrices orthogonales et symplectique ne contribuent pas à l'anomalie car si une telle matrice est antihermitienne, ses éléments diagonaux sont nuls. Ceci est également vrai pour sa puissance troisième et (3.123) est vérifiée.

Les seules contributions à l'anomalie de jauge proviennent donc des matrices complexes. En supposant que le triplet spectral soit S^0 -réel et complexe, la relation (3.123) est équivalente au système suivant.

$$\sum_j n_j (\epsilon_{ij} - \epsilon_{ji}) = 0 \quad \text{si } n_i \geq 3, \quad (3.124)$$

$$\sum_j n_j (\epsilon_{ij} - \epsilon_{ji}) (B_\mu^i - B_\mu^j) = 0 \quad \text{si } n_i \geq 2, \quad (3.125)$$

$$\sum_{ij} n_i n_j (\epsilon_{ij} - \epsilon_{ji}) (B_\mu^i - B_\mu^j)^3 = 0. \quad (3.126)$$

Ces équations sont obtenues en remplaçant \tilde{A}_μ par son expression en fonction des champs de jauge abéliens B_μ^i et non abéliens A_μ^i et en imposant l'absence d'anomalie pour les champs non abéliens, car nous ne voulons éliminer que des champs abéliens,

Une fois de plus, il apparaît que si la matrice ϵ_{ij} est symétrique, ces relations sont satisfaites et il n'y a pas d'anomalie.

La première de ces relations est une contrainte rigide imposée à la matrice de multiplicité. Si elle n'est pas satisfaite, on ne peut obtenir un modèle sans anomalie par application d'une condition d'unimodularité. Remarquons qu'elle ne fait intervenir que les matrices d'ordre $n > 2$, car dans le cas $n = 2$, on est ramené au groupe $SU(2)$ qui ne contribue pas à l'anomalie puisque $\text{Tr}[(A_\mu)^3] = 0$ dans ce cas.

La seconde de ces relations est une contrainte linéaire qu'il faut imposer aux champs abéliens. Elle est donc équivalente à une condition d'unimodularité.

Enfin, la dernière relation est une contrainte d'ordre 3 qui n'est pas, en général, équivalente à une condition d'unimodularité. Dans le cas particulier du modèle standard, elle est donnée par la relation

$$\sum Y_R^3 - \sum Y_L^3 = 0 \quad (3.127)$$

entre les hypercharges Y_R des fermions droits et Y_L des fermions gauches.

Conclusion *La condition d'absence d'anomalies mixtes gravitationnelles (3.120) peut toujours être satisfaite par une condition d'unimodularité en imposant les contraintes linéaires (3.121)*

sur les champs abéliens. Ceci n'est plus le cas pour les anomalies de jauge (3.123), car la condition d'absence de telles anomalies impose, outre une condition d'unimodularité, des contraintes rigides sur la matrice de multiplicité et une relation cubique sur les champs abéliens.

3.3 Les champs scalaires

3.3.1 Les champs scalaires et leurs lois de transformation

L'opérateur de Dirac covariant $\mathcal{D}_{A_\mu, \Phi}$, contient, outre les champs de jauge A_μ que nous venons d'étudier, un champ scalaire Φ . Ce champ scalaire à la propriété particulière d'être à la fois une 0-forme pour la géométrie de l'espace-temps et une 1-forme pour la géométrie de l'espace interne. Plus précisément, c'est une fonction sur l'espace-temps à valeurs dans l'espace des 1-formes hermitiennes associées au triplet spectral fini. Puisque les dérivées par rapport au coordonnées n'interviennent pas dans la discussion qui suit, la dépendance en x de ce champ scalaire ne joue aucun rôle et nous nous concentrerons exclusivement sur la géométrie du triplet spectral fini et son interprétation physique.

En général, un élément $\Phi \in \Omega_{\mathcal{D}}^1(\mathcal{A})$ est une matrice de taille importante (90×90 dans le cas du modèle standard) dont beaucoup d'éléments de matrice entre les différents sous-espaces sont nuls. Pour interpréter Φ comme un champ scalaire, nous devons déterminer quels sont les éléments de matrice non nuls et les paramétrer par un certain nombre de matrices qui seront les véritables champs scalaires de la théorie.

Commençons par rappeler quelques résultats de la section 2.3.2 qui nous seront utiles. L'espace des 1-formes est donné par

$$\Omega_{\mathcal{D}}^1(\mathcal{A}) = \left\{ \sum_{ijkp} P_{ik}^* \left(\omega_{ij}^p \otimes M_{ij,k}^p \otimes I_{n_k} \right) P_{jk} \mid \omega_{ij}^p \in M_{n_i \times n_j}(\mathbb{C}) \right\}, \quad (3.128)$$

où $P_{ij} = \pi(1_i) \mathcal{J} \pi(1_j) \mathcal{J}^{-1}$, 1_i désignant l'unité de la sous-algèbre $M_{n_i}(\mathbb{K})$. Les matrices $M_{ij,k}^p$, satisfaisant à $(M_{ij,k}^p)^* = M_{ji,k}^p$, sont choisies telle que les vecteurs

$$M_{ij}^p = \left(M_{ij,1}^p, \dots, M_{ij,N}^p \right) \quad (3.129)$$

forment une base d'un certain sous-espace. L'indice p , qui varie de 1 à r_{ij} , permet de distinguer les multiplicités apparaissant dans les champs scalaires. De plus, il est toujours possible, par application du procédé de Gram-Schmidt, de supposer que ces matrices satisfont à

$$\sum_{k=1}^N \text{Tr} \left[(M_{ij,k}^p)^* M_{ij,k}^{p'} \right] n_k = X \delta_{p,p'}, \quad (3.130)$$

où $X > 0$ est un coefficient de normalisation.

En toute rigueur, ces résultats ne sont applicables que dans le cas d'un triplet spectral complexe. Lorsque la représentation est réelle, la même paramétrisation de l'espace des 1-formes est valide si les indices i, j et k distinguent les représentations irréductibles de \mathcal{A} . Bien entendu, dans ce cas les matrices ω_{ij}^p ne sont à coefficients complexes que si l'un au moins des indices i, j correspond à une représentation d'un facteur complexe. Si les deux indices correspondent à des représentations de facteur réels ou quaternioniques, les matrices sont réelles ou quaternionique et dans le cas mixte où un indice est quaternionique et l'autre réel, la matrice est quaternionique.

Enfin, si i est un indice réel ou quaternionique et j un indice complexe, $\theta_{i\bar{j}}$ est le conjugué complexe ou quaternionique de θ_{ij} .

Étant donné que Φ est une 1-forme hermitienne, on peut écrire

$$\Phi = \sum_{ijkp} P_{ik}^* \left(\Phi_{ij}^p \otimes M_{ij,k}^p \otimes I_{n_k} \right) P_{jk}, \quad (3.131)$$

où $\Phi_{ij}^p \in M_{n_i \times n_j}(\mathbb{K})$ satisfait à $(\Phi_{ij}^p)^* = \Phi_{ji}^p$.

Les champs Φ_{ij}^p sont identifiés comme les véritables champs scalaires de la théorie. Il portent trois indices, deux indices i et j correspondent aux représentation irréductibles de l'algèbre \mathcal{A} , alors que le troisième est un indice de multiplicité. Les deux indices i et j peuvent être interprétés diagrammatiquement : le champ Φ_{ij}^p correspond à l'ensemble des liens verticaux entre les sommets de la ligne i et les sommets de la ligne j .

L'opérateur de Dirac covariant contient également le champ $\mathcal{J}\Phi\mathcal{J}^{-1}$, qui s'exprime à l'aide des matrices Φ_{ij}^p par

$$\mathcal{J}\Phi\mathcal{J}^{-1} = \sum_{ijkp} P_{ki}^* \left(I_{n_k} \otimes \overline{M}_{ij,k}^p \otimes \overline{\Phi}_{ij}^p \right) P_{kj}, \quad (3.132)$$

Sur le plan diagrammatique, ses éléments de matrice correspondent aux différents liens horizontaux obtenus par symétrie par rapport à la diagonale des liens associés à Φ .

Sous la transformation de jauge déterminée par l'unitaire u , le champ Φ devient $u\Phi u^{-1}$. Si nous écrivons u à l'aide de ses composantes dans les facteurs simple du groupe de jauge, $u = (u_1, \dots, u_N)$, ce qui nous donne les lois de transformation des champs Φ_{ij}^p

$$\Phi_{ij} \mapsto u_i \Phi_{ij}^p u_j^{-1}. \quad (3.133)$$

Une fois encore, ces relations ne sont vraies en toute rigueur que dans le cas complexe. Dans le cas réel, elles restent valides si on suppose que u_i désigne la composante de u dans la représentation associée à l'indice i . Dans tous les cas, si nous notons n_i cette représentation, le champ Φ_{ij}^p appartient à la représentation $n_i \otimes \overline{n}_j$.

Rappelons que sur le diagramme associé au triplet spectral fini, les champs Φ_{ij}^p correspondent aux liens verticaux entre les lignes i et j . Étant donné que nous ne pouvons relier un sommet lui-même, nous ne pouvons relier une ligne à elle-même par un lien vertical. Par conséquent, il n'y a jamais de champ scalaire Φ_{ij}^p avec $i = j$, qui se transformerait dans la représentation adjointe $n_i \otimes \overline{n}_i$. En revanche, pour tous indices i et j distincts, on peut construire un modèle contenant des champs scalaires Φ_{ij} qui se transforment dans la représentation $n_i \otimes \overline{n}_j$.

Conclusion *La paramétrisation du champ scalaire Φ par des matrices $\Phi_{ij}^p \in M_{n_i \times n_j}(\mathbb{K})$ est donnée par la relation (3.131). Les champs Φ_{ij}^p se transforment sous les représentations $n_i \otimes \overline{n}_j$, à l'exception de la représentation adjointe $n_i \otimes \overline{n}_i$, l'indice p étant un indice de multiplicité qui distingue des champs ayant des lois de transformation identiques. Sur le diagramme, Φ_{ij}^p correspond aux liens verticaux entre les lignes i et j , alors que $\mathcal{J}\Phi\mathcal{J}^{-1}$, donné par (3.132) est formé des liens symétriques par rapport à la diagonale.*

3.3.2 Couplages de Yukawa

Le couplage de Yukawa entre le champ fermionique Ψ et le scalaire Φ est donné par

$$\langle \Psi, (\Phi + \mathcal{J}\Phi\mathcal{J}^{-1}) \Psi \rangle. \quad (3.134)$$

L'espace de Hilbert \mathcal{H} étant une somme directe orthogonale $\mathcal{H} = \bigoplus_{i,j} \mathcal{H}_{ij}$, où $\mathcal{H}_{ij} = P_{ij}\mathcal{H}$. En introduisant la relation de fermeture pour les projecteurs P_{ij} dans (3.134), le couplage de Yukawa s'écrit

$$\sum_{i,j,k,l} \langle P_{ij}\Psi, P_{ij}(\Phi + \mathcal{J}\Phi\mathcal{J}^{-1})P_{kl}\Psi \rangle \quad (3.135)$$

Par conséquent, on peut interpréter

$$P_{ij}(\Phi + \mathcal{J}\Phi\mathcal{J}^{-1})P_{kl} \quad (3.136)$$

comme un couplage de Yukawa entre les fermions de \mathcal{H}_{ij} et ceux de \mathcal{H}_{kl} .

En utilisant les relations (3.131) et (3.132), on peut expliciter ce couplage en fonction des champs scalaires Φ_{ij}^p

$$\begin{aligned} P_{ij}(\Phi + \mathcal{J}\Phi\mathcal{J}^{-1})P_{kl} &= \delta_{k,l} \sum_p \Phi_{ij}^p \otimes M_{ij,k}^p \otimes I_{n_k} \\ &+ \delta_{i,j} \sum_p I_{n_i} \otimes \overline{M}_{kl,i}^p \otimes \overline{\Phi}_{kl}^p. \end{aligned} \quad (3.137)$$

Sur le plan diagrammatique, ces termes sont les éléments de matrice de l'opérateur $\Phi + \mathcal{J}\Phi\mathcal{J}^{-1}$ entre les sous espaces \mathcal{H}_{ij} et \mathcal{H}_{kl} et correspondent aux liens entre les différents sommets. Un lien vertical entre les sommets de coordonnées (i, k) et (j, k) est associé à un couplage de Yukawa entre les fermions de \mathcal{H}_{ik} et de \mathcal{H}_{jk} et les champs scalaires Φ_{ij}^p . De même, un lien horizontal entre (k, i) et (k, j) correspond à un couplage de Yukawa entre les fermions de \mathcal{H}_{ki} et de \mathcal{H}_{kj} et les champs scalaires $\overline{\Phi}_{ij}^p$.

Conclusion *Les sommets du diagramme associé au triplet spectral fini correspondent à des fermions chiraux entre lesquels les liens symbolisent des couplages de Yukawa avec le champ scalaire correspondant. Les expressions explicites de ces couplages sont données par la relation (3.137).*

3.3.3 Le potentiel scalaire

le champ scalaire Φ n'apparaît dans le carré de l'opérateur de Dirac covariant que par l'intermédiaire de l'endomorphisme

$$E = -\frac{1}{4}\mathcal{R} - \frac{1}{2}\gamma^{\mu\nu}\tilde{F}_{\mu\nu} + i\gamma^\mu\gamma^{n+1}D_\mu\tilde{\Phi} + \tilde{\Phi}^2 \quad (3.138)$$

avec $\tilde{\Phi} = \Phi + \mathcal{J}\Phi\mathcal{J}^{-1}$. En utilisant les expressions explicites des coefficients $a_{2n}(\mathcal{D}^2)$ pour $n = 1, 2$ et 3 [G], il est facile de voir que les seuls termes qui vont contribuer au potentiel scalaire sont $\text{Tr}(E^n)$, tous les autres termes impliquant le scalaire sont des couplages entre celui-ci et d'autres champs. Chacun de ces trois termes donnera naissance à une contribution au potentiel scalaire qui est proportionnelle aux monômes $\text{Tr}(\tilde{\Phi})$, $\text{Tr}(\tilde{\Phi}^2)$ et $\text{Tr}(\tilde{\Phi}^3)$.

De façon générale, nous nous intéresserons aux monômes du type $\text{Tr}(\tilde{\Phi}^n)$, ce qui nous permet de construire le potentiel scalaire jusqu'en dimension 6.

En introduisant les éléments de matrice $\tilde{\Phi}_{ij}^{kl}$ de $\tilde{\Phi}$ définis par $\tilde{\Phi}_{ij}^{kl} = P_{ij}\tilde{\Phi}P_{kl}$, on a

$$\text{Tr}(\tilde{\Phi}^n) = \sum_{\substack{i_1, \dots, i_n \\ j_1, \dots, j_n}} \text{Tr}(\tilde{\Phi}_{i_1 j_1}^{i_2 j_2} \dots \tilde{\Phi}_{i_{n-1} j_{n-1}}^{i_n j_n} \tilde{\Phi}_{i_n j_n}^{i_1 j_1}). \quad (3.139)$$

Les éléments de matrices $\tilde{\Phi}_{ij}^{kl}$ correspondent à des liens entre les sommets (i, j) et (k, l) et la suite $(i_1, j_1) \rightarrow (i_2, j_2) \rightarrow \dots \rightarrow (i_n, j_n) \rightarrow (i_1, j_1)$ est une boucle de longueur n sur le diagramme. Par conséquent, le second membre de (3.139) s'interprète comme une somme sur toutes les boucles de longueur n du diagramme.

Bien entendu, cette somme contient des boucles du type $(i, k) \rightarrow (j, k) \rightarrow (i, k)$ obtenues en parcourant un chemin dans un sens puis dans l'autre. De même, nous devons pour le moment distinguer une boucle de celle parcourue dans le sens opposé, ainsi que des boucles ne différant que par leur point de départ.

Tous les liens du diagramme sont soit horizontaux, soit verticaux. Cela entraîne que toute boucle de longueur n est formée de r liens verticaux et de s liens horizontaux avec $r + s = n$. Puisqu'il ne peut y avoir de lien vertical entre sommets d'une même ligne ou de lien horizontal entre sommets d'une même colonne, les entiers r et s sont nécessairement pairs.

Les éléments de matrice de $\tilde{\Phi}$ sont donnés par

$$\tilde{\Phi}_{ij}^{kl} = \delta_{k,l} \sum_p \Phi_{ij}^p \otimes M_{ij,k}^p \otimes I_{n_k} + \delta_{i,j} \sum_p I_{n_i} \otimes \overline{M}_{kl,i}^p \otimes \overline{\Phi}_{kl}^p. \quad (3.140)$$

A toute boucle γ formée de r liens verticaux correspondant à la suite $i_1 \rightarrow i_2 \rightarrow \dots \rightarrow i_r$ et s liens horizontaux associés à $j_1 \rightarrow j_2 \rightarrow \dots \rightarrow j_s$ correspond un terme du potentiel scalaire donné par

$$\text{Tr} \left(\Phi_{i_1 i_2}^{p_1} \Phi_{i_2 i_3}^{p_2} \dots \Phi_{i_r i_1}^{p_r} \right) \text{Tr} \left(\overline{\Phi}_{j_1 j_2}^{q_1} \overline{\Phi}_{j_2 j_3}^{q_2} \dots \overline{\Phi}_{j_s j_1}^{q_s} \right) \lambda_\gamma^{p,q}. \quad (3.141)$$

Le coefficient $\lambda_\gamma^{p,q}$ est un nombre complexe qui dépend des multiplicités p et q et du détail de la suite formée par les sommets de γ . On peut l'écrire comme une trace,

$$\lambda_\gamma^{p,q} = \text{Tr} M_\gamma^{p,q}, \quad (3.142)$$

où $M_\gamma^{p,q}$ est une matrice construite à l'aide de γ , en multipliant, dans l'ordre déterminé par γ , les matrices

- $M_{i_m, i_{m+1}, j_m}^{p_m}$ pour chaque lien vertical entre (i_m, j_m) et (i_{m+1}, j_m) ,
- $\overline{M}_{j_n, j_{n+1}, i_n}^{q_n}$ pour chaque lien horizontal entre (i_n, j_n) et (i_n, j_{n+1}) .

Par exemple, s'il n'y a pas de multiplicité, à la suite

$$(i_1, j_1) \rightarrow (i_2, j_1) \rightarrow (i_3, j_1) \rightarrow (i_3, j_2) \rightarrow (i_2, j_2) \rightarrow (i_1, j_2) \rightarrow (i_1, j_1) \quad (3.143)$$

correspond le monôme

$$\text{Tr} (\Phi_{i_1 i_2} \Phi_{i_2 i_3} \Phi_{i_3 i_2} \Phi_{i_2 i_1}) \text{Tr} (\overline{\Phi}_{j_1 j_2} \overline{\Phi}_{j_2 j_1}) \quad (3.144)$$

affecté du coefficient

$$\text{Tr} \left(M_{i_1 i_2, j_1} M_{i_2 i_3, j_1} \overline{M}_{j_1 j_2, i_3} M_{i_3 i_2, j_2} M_{i_2 i_1, j_2} \overline{M}_{j_2 j_1, i_1} \right). \quad (3.145)$$

Pour simplifier nos notations, nous omettrons les indices de multiplicité p et q . Dans toute somme sur des champs scalaires, la somme sur p et q sera sous entendue.

Etant donné la loi de transformation des champs scalaires,

$$\Phi_{ij} \mapsto u_i \Phi_{ij} u_j^{-1}, \quad (3.146)$$

le potentiel invariant de jauge le plus général est une fonction polynomiale des variables

$$X_{i_1, \dots, i_n} = \text{Tr} (\Phi_{i_1 i_2} \Phi_{i_2 i_3} \dots \Phi_{i_n i_1}). \quad (3.147)$$

Puisque le champ ϕ_{ii} n'existe pas, l'entier n est pair.

En utilisant l'action spectrale, nous ne pouvons pas construire le potentiel scalaire le plus général compatible avec les lois de transformation (3.146). En effet, le terme du potentiel scalaire donné par (3.141) est un polynôme de degré au plus 2 en chacune des variables X_{i_1, \dots, i_n} .

Lorsque le potentiel est un polynôme de degré ≤ 4 en Φ , cela n'impose aucune contrainte sur la forme des monômes, car les monômes les plus généraux invariants de jauge sont 1 , $\text{Tr}(\Phi_{ij}\Phi_{ji})$, $\text{Tr}(\Phi_{ij}\Phi_{jk}\Phi_{kl}\Phi_{li})$ et $\text{Tr}(\Phi_{ij}\Phi_{ji})\text{Tr}(\Phi_{kl}\Phi_{lk})$, qui apparaissent tous dans le développement de l'action spectrale.

En revanche, les monômes de degré 6 les plus généraux sont $\text{Tr}(\Phi^6)$, $\text{Tr}(\Phi^4)\text{Tr}(\Phi^2)$ et $\text{Tr}(\Phi^2)^3$, alors que seuls les deux premiers peuvent apparaître dans l'action spectrale.

Afin de rendre plus facile la construction de modèles de Yang-Mills-Higgs, il est utile de donner des règles simplifiées pour la construction des monômes de degré inférieur ou égal à 4. En effet, le nombre de boucles de longueur donnée devient rapidement très grand lorsque le nombre de sommets augmente, mais la plupart de ces boucles se déduisent les une des autres par des transformations simples comme les changements d'orientation ou d'origine. De plus, la majorité de ces boucles sont en fait obtenues en parcourant un certain chemin dans un sens puis dans le sens opposé.

Commençons par le terme de masse. Celui-ci est obtenu à l'aide des boucles de longueur 2 qui sont toutes du type suivant :



Ces boucles correspondent directement aux liens non orientés du diagramme. Chacun de ces liens apporte une contribution

$$2n_k \text{Tr}(M_{ij,k} M_{ij,k}^*) \text{Tr}(\Phi_{ij} \Phi_{ij}^*) \quad (3.148)$$

au terme de masse. Bien entendu, nous avons omis les indices de multiplicité et (3.148) contient une somme sur toutes les multiplicités.

Si nous tenons compte de toutes les contributions au terme de masse pour le champ scalaire Φ_{ij}^p , celui-ci s'écrit

$$\sum_{k,p,q} 2n_k \text{Tr} \left(M_{ij,k}^p \left(M_{ij,k}^q \right)^* \right) \text{Tr}(\Phi_{ij}^p \left(\Phi_{ij}^q \right)^*). \quad (3.149)$$

Compte tenu de la relation (3.130) qui s'écrit

$$\sum_{k=1}^N \text{Tr} \left[\left(M_{ij,k}^p \right)^* M_{ij,k}^{p'} \right] n_k = X \delta_{p,p'}, \quad (3.150)$$

les termes de masse $\text{Tr}(\tilde{\Phi}^2) = 2\text{Tr}(\Phi^2)$ sont donnés par

$$\text{Tr}(\tilde{\Phi}^2) = 4X \sum_{\text{scalaires}} \text{Tr}(\Phi_{ij}^p \left(\Phi_{ij}^q \right)^*), \quad (3.151)$$

où la somme sur tous les champs scalaires correspond à une somme sur tous les indices de multiplicité p et toutes les paires (i, j) telles que le champ Φ_{ij} existe.

Ce coefficient X est déterminé par la normalisation du terme cinétique des champs scalaires. D'après le principe d'action spectrale, celui-ci est, en dimension n ,

$$\frac{1}{2} \frac{1}{(2\pi)^{\frac{n}{2}}} \text{Tr}(\partial_\mu \tilde{\Phi} \partial^\mu \tilde{\Phi}) F_4 \Lambda^{n-4}. \quad (3.152)$$

Il doit être identifié au terme cinétique usuel des scalaires

$$\sum_{\text{scalaires}} \frac{1}{2} \text{Tr}(\partial_\mu [\Phi_{ij}^p (\partial^\mu \Phi_{ij}^p)^*]), \quad (3.153)$$

ce qui donne

$$X = \frac{(2\pi)^{\frac{n}{2}}}{4\Lambda^{n-4}F_4}. \quad (3.154)$$

Le terme de masse des champs scalaires est donné par le coefficient $a_2(\mathcal{D}^2)$,

$$- \frac{1}{(2\pi)^{\frac{n}{2}}} F_2 \Lambda^{n-2} \text{Tr}(\tilde{\Phi}^2). \quad (3.155)$$

Compte-tenu de la condition de normalisation (3.154), cela donne

$$- \sum_{\text{scalaires}} \frac{1}{2} \mu^2 \text{Tr}(\Phi_{ij}^p (\Phi_{ij}^p)^*) \quad (3.156)$$

avec

$$\mu = \sqrt{\frac{2F_2}{F_4}} \Lambda. \quad (3.157)$$

Par conséquent, les champs scalaires ont tous des termes de masse identiques. Cependant, nous allons voir au cours de la section suivante qu'il y a toujours brisure spontanée de symétrie, ce terme n'est donc pas un véritable terme de masse. La brisure spontanée de symétrie peut entraîner des modifications des masses des scalaires, comme l'illustre l'exemple traité dans [Kr2].

La condition de normalisation (3.154) permet aussi de déterminer le couplage entre les champs scalaires et le tenseur de courbure donné par (3.89) en dimension $n = 4$,

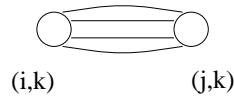
$$\frac{1}{12} \frac{1}{(2\pi)^{\frac{n}{2}}} F_4 \Lambda^{n-4} \mathcal{R} \text{Tr}(\tilde{\Phi}^2). \quad (3.158)$$

En utilisant l'expression explicite de $\text{Tr}(\tilde{\Phi}^2)$ et la condition de normalisation (3.154), on obtient

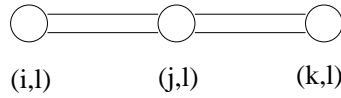
$$\frac{1}{12} \mathcal{R} \sum_{\text{scalaires}} \text{Tr}(\Phi_{ij}^p (\Phi_{ij}^p)^*), \quad (3.159)$$

ce qui démontre la relation (3.90).

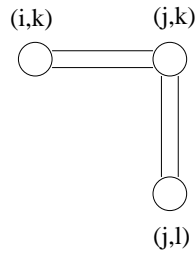
Les couplages quartiques des champs scalaires sont donnés par les boucles de longueur 4. L'analyse de tous les diagrammes possibles permet de nous ramener à une sommation sur les 5 types de sous-diagrammes suivants. Leur contribution au potentiel scalaire inclut un facteur numérique correspondant aux différentes possibilités de choix de l'orientation et de l'origine de la boucle.



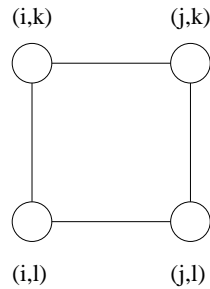
$$2n_k \text{Tr}(M_{ij,k}M_{ij,k}^*M_{ij,k}M_{ij,k}^*) \text{Tr}(\Phi_{ij}\Phi_{ij}^*\Phi_{ij}\Phi_{ij}^*) \quad (3.160)$$



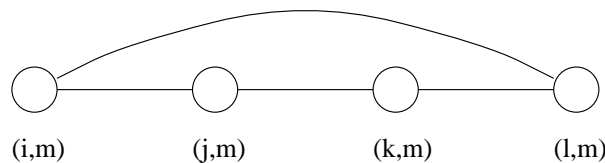
$$4n_k \text{Tr}(M_{ij,l}M_{jk,l}M_{jk,l}^*M_{ij,l}^*) \text{Tr}(\Phi_{ij}\Phi_{jk}\Phi_{jk}^*\Phi_{ij}^*) \quad (3.161)$$



$$4 \text{Tr}(M_{ij,k}\bar{M}_{kl,j}\bar{M}_{kl,j}^*M_{ij,k}^*) \text{Tr}(\Phi_{ij}\Phi_{ij}^*) \text{Tr}(\Phi_{kl}\Phi_{kl}^*) \quad (3.162)$$



$$8 \text{Tr}(M_{ij,k}\bar{M}_{kl,j}M_{ij,l}^*\bar{M}_{kl,i}^*) \text{Tr}(\Phi_{ij}\Phi_{ij}^*) \text{Tr}(\Phi_{kl}\Phi_{kl}^*) \quad (3.163)$$



$$8n_k \text{Tr}(M_{ij,m}M_{jk,m}M_{kl,m}M_{li,m}) \text{Tr}(\Phi_{ij}\Phi_{jk}\Phi_{kl}\Phi_{li}) \quad (3.164)$$

Il convient de remarquer que chacun de ces sous-diagrammes et leur symétrique par rapport à la diagonale donnent les mêmes termes. En effet, dans la cas général, un diagramme et son

symétrique ont des contributions complexes conjuguées l'une de l'autre. Puisque les matrices satisfont aux conditions de réalité

$$\Phi_{ij}^* = \Phi_{ji} \quad \text{et} \quad M_{ij,k}^* = M_{ji,k}, \quad (3.165)$$

la contribution du diagramme symétrique par rapport à la diagonale s'obtient simplement en changeant l'orientation. Pour les termes de degré 4, les règles précédentes sont indépendantes de l'orientation ce qui entraîne l'égalité des contributions d'un diagramme et de son symétrique.

Les couplages quartiques des champs scalaires sont donnés par le coefficient $a_4(\mathcal{D}^2)$, ils sont égaux à

$$\frac{1}{2} \frac{1}{(2\pi)^{n/2}} F_4 \Lambda^{n-4} \text{Tr}(\tilde{\Phi}^4), \quad (3.166)$$

ce qui entraîne que nous devons multiplier tous les couplages précédents par un facteur

$$\lambda = \frac{1}{2} \frac{1}{(2\pi)^{n/2}} F_4 \Lambda^{n-4}. \quad (3.167)$$

Conclusion *Les termes de degré n du potentiel scalaire s'écrivent comme une somme sur toutes les boucles de longueur n du diagramme associé au triplet spectral. Un potentiel de degré 4 s'écrit*

$$\begin{aligned} V(\Phi_{ij}) = & \sum_{ij} -\frac{1}{2} \mu^2 \text{Tr}(\Phi_{ij} \Phi_{ij}^*) \\ & + \sum_{ijkl} \kappa_{ijkl} \text{Tr}(\Phi_{ij} \Phi_{ij}^*) \text{Tr}(\Phi_{kl} \Phi_{kl}^*) + \sum_{ijkl} \lambda_{ijkl} \text{Tr}(\Phi_{ij} \Phi_{jk} \Phi_{kl} \Phi_{li}). \end{aligned} \quad (3.168)$$

μ est un terme de masse identique pour tous les scalaires et donné par (3.157). Les coefficients κ_{ijkl} et λ_{ijkl} sont donnés par une somme sur tous les 5 types de sous-diagrammes précédemment énumérés, à un facteur de proportionalité donné par (3.167) près.

3.3.4 Brisure spontanée de symétrie et masses

Dans le potentiel scalaire donné par (3.168), nous avons un terme de masse négatif alors que les constantes de couplages κ_{ijkl} et λ_{ijkl} sont positives, il y a donc brisure spontanée de symétrie. Cela apparait clairement si on écrit le potentiel sous la forme

$$V(\Phi) = -\frac{\mu'^2}{2} \text{Tr}(\tilde{\Phi}^2) + \frac{\lambda'}{4} \text{Tr}(\tilde{\Phi}^4). \quad (3.169)$$

En désignant par φ_i les valeurs propres de $\tilde{\Phi}$, le potentiel scalaire se met sous la forme

$$V(\Phi) = \sum_i V(\varphi_i), \quad (3.170)$$

avec

$$V(\varphi) = -\frac{1}{2} \mu'^2 \varphi^2 + \frac{\lambda'}{4} \varphi^4. \quad (3.171)$$

Le potentiel $V(\varphi)$ est caractéristique de la brisure de symétrie car il atteint son minimum lorsque

$$\varphi^2 = v^2 = \frac{6\mu'^2}{\lambda'} \neq 0. \quad (3.172)$$

Par conséquent il y a brisure spontanée de symétrie et la valeur moyenne dans le vide est donnée par le minimum qui, à priori, est atteint lorsque toutes les valeurs propres satisfont à (3.172).

Cependant, ces conditions ne peuvent pas être satisfaites car les valeurs propres de $\tilde{\Phi}$ ne sont pas forcément des variables indépendantes. En effet, $\tilde{\Phi}$ est une matrice de taille importante dont beaucoup d'éléments sont identiquement nuls, son spectre ne peut donc satisfaire à ces relations en général.

Pour mener à bien une étude détaillée de la brisure de symétrie, il faudrait exprimer le potentiel à l'aide des champs Φ_{ij} qui sont les variables indépendantes de la théorie et étudier ses extrema. Étant donné le nombre important de champs scalaires, ceci est impossible en pratique. Nous nous contenterons d'étudier quelques propriétés de la brisure de symétrie, sachant qu'il existe au moins une valeur V_{ij} des champs scalaires Φ_{ij} tel que le potentiel soit minimal.

En remplaçant Φ_{ij} par V_{ij} dans $\tilde{\Phi}$, on construit l'opérateur \tilde{V} . Le couplage de Yukawa entre les scalaires et les fermions est donné par $\langle \Psi, \tilde{\Phi} \Psi \rangle$, ce qui entraîne, après brisure de symétrie, que \tilde{V} est la matrice de masse des fermions.

En nous basant sur cette interprétation de \tilde{V} comme la matrice de masse des fermions nous allons montrer une inégalité générale entre masses des fermions et masses des bosons.

Pour cela, nous avons besoin du résultat intermédiaire suivant. Soit $V \in M_n(\mathbb{C})$ une matrice hermitienne dont la plus grande valeur propre en module est m . Alors pour toute matrice $A \in M_n(\mathbb{C})$ on a

$$\text{Tr}([A, V]^* [A, V]) \leq 4m^2 \text{Tr}(A^* A). \quad (3.173)$$

Ce résultat se montre en munissant l'espace vectoriel des matrices $M_n(\mathbb{C})$ du produit scalaire $(A, B) \mapsto \text{Tr}(A^* B)$. Pour ce produit scalaire, l'opérateur T_V défini par $T_V(A) = [V, A]$ est hermitien et on a $\text{Tr}([A, V]^* [A, V]) = \langle A, T_V^2 A \rangle$. Pour terminer, il nous suffit de remarquer que si e_i est une base orthogonale de vecteur propres de V tels que $V e_i = m_i e_i$, les matrices $e_i e_j^*$ forment une base orthonormale de $M_n(\mathbb{C})$ telle que

$$T_V(e_i e_j^*) = (m_i - m_j) e_i e_j^*. \quad (3.174)$$

l'inégalité (3.173) résulte alors de la majoration $(m_i - m_j)^2 \leq 4m^2$.

Appliquons cela au terme de masse des bosons de jauge. Celui-ci est donné par la dérivée covariante du champ scalaire $\tilde{\Phi}$ évaluée en remplaçant $\tilde{\Phi}$ par sa valeur moyenne dans le vide \tilde{V} . Le terme de masse des bosons de jauge est donné par

$$\frac{1}{2} \frac{1}{(2\pi)^{\frac{n}{2}}} \text{Tr}([\tilde{A}_\mu, \tilde{V}]^* [\tilde{A}^\mu, \tilde{V}]). \quad (3.175)$$

Par l'inégalité (3.173), ceci est majoré par

$$2m_f^2 \frac{1}{(2\pi)^{\frac{n}{2}}} \text{Tr} A_\mu^* A^\mu, \quad (3.176)$$

où m_f est la masse du fermion le plus lourd puisque \tilde{V} est la matrice de masse des fermions. Lorsque les champs de jauge non-abéliens A_μ^i et abéliens C_μ^i sont correctement normalisés, on a

$$\text{Tr}(\tilde{A}_\mu^* \tilde{A}^\mu) = \frac{3(2\pi)^{\frac{n}{2}}}{F_4 \Lambda^{n-4}} \left(\sum_{i=1}^N \text{Tr}(A_\mu^{i*} A^{i\mu}) + \sum_{i=1}^{N'} \frac{1}{2} C_\mu^{i*} C^{i\mu} \right). \quad (3.177)$$

ce qui entraîne

$$\frac{1}{2} \frac{\Lambda^{n-4} F_4}{(2\pi)^{\frac{n}{2}}} \text{Tr}([\tilde{A}_\mu, \tilde{V}]^* [\tilde{A}^\mu, \tilde{V}]) \leq 6M_f^2 \left(\sum_{i=1}^N \text{Tr}(A_\mu^{i*} A^{i\mu}) + \sum_{i=1}^{N'} \frac{1}{2} C_\mu^{i*} C^{i\mu} \right). \quad (3.178)$$

Le premier membre de cette inéquation (terme de masse) est une forme quadratique qui doit être diagonalisée dans une base qui préserve le second membre (terme cinétique). Les valeurs propres ainsi obtenues sont les carrés des masses des bosons, ce qui entraîne que la plus grande de ces masses m_b satisfait à

$$m_b^2 \leq 6m_f^2. \quad (3.179)$$

Bien entendu, dans cette inégalité m_b^2 et m_f^2 dépendent de Λ implicitement car le potentiel scalaire en dépend, ce qui entraîne une dépendance de la matrice V . Cette inégalité n'est donc valable seulement pour des énergies de l'ordre du cut-off $\Lambda \simeq 10^{19}$ Gev. En utilisant le flot du groupe de renormalisation, il est toutefois possible d'étudier les valeurs de $m_b^2(\Lambda)$ et $m_f^2(\Lambda)$ dans le cas où Λ est de l'ordre de l'énergie électrofaible.

Il convient de noter que cette inégalité ne fait intervenir que des arguments classiques. Aussi, si on considère l'action spectrale non pas comme une action effective mais comme une action classique qu'il convient de quantifier, rien ne nous assure que cette relation sera préservée par les corrections quantiques.

En général, la valeur moyenne V dans le vide du champ Φ brise les symétries non abéliennes auxquelles il est couplé. En effet, les symétries qui subsistent après la brisure spontanée de symétrie sont données par le stabilisateur de \tilde{V} . Par conséquent, ce sont les éléments du groupe de jauge qui satisfont à

$$u_i V_{ij} u_j^{-1} = V_{ij}. \quad (3.180)$$

Dans le cas d'un triplet spectral dont la représentation est complexe, u_i et u_j sont indépendants et la relation (3.180) ne peut être satisfaite, si $V_{ij} \neq 0$, par les éléments $u_i \in SU(n_i)$. En conséquence, dès que les lignes i et j du diagramme sont reliés par la valeur moyenne dans le vide du champ scalaire, les symétries non abéliennes correspondantes sont brisées.

Si nous avons un triplet spectral dont la représentation est seulement linéaire pour les réels, la situation est plus délicate car u_i et u_j ne sont pas nécessairement indépendants. Par exemple, il peut arriver que u_j soit le complexe conjugué de u_i . Dans ce cas la relation (3.180) s'écrit

$$u_i V_{ij} u_j^T = V_{ij}, \quad (3.181)$$

où u_j^T est la transposée de u_j . Cette relation est satisfaite, si V_{ij} est proportionnel à l'unité, par tous les éléments réels $u_i \in SO(n_i)$. Dans ce cas, la symétrie de jauge $SO(n_i)$ n'est pas brisée et le résultat précédent n'est plus valable.

Revenons à l'étude des symétries abéliennes et faisons à nouveau l'hypothèse que la représentation est complexe. Dans ce cas, chaque u_i contient un facteur abélien $e^{i\theta_i}$ avec $\theta_i \in \mathbb{R}$. Ces symétries ne sont pas brisées si et seulement si

$$V_{ij} e^{i(\theta_i - \theta_j)} = V_{ij}. \quad (3.182)$$

La relation (3.182) équivaut à l'égalité des phases θ_i et θ_j lorsque les lignes i et j sont reliés sur le diagramme déterminé par V . Pour chaque groupe de lignes qui sont reliées entre elles, il y a une symétrie $U(1)$ non brisée et un champ de jauge abélien de masse nulle.

Bien entendu, ceci n'est valable que dans le cas complexe. Si les algèbres sont réelles, (3.180) n'est plus équivalente à (3.182) dans le cas abélien. Cependant, on peut voir que pour le modèle standard, cela permet encore de recenser les symétries non brisées [Kr2].

Enfin, terminons par remarquer que si une ligne n'est reliée à aucune autre ligne, la symétrie de jauge associée est entièrement préservée par la brisure de symétrie, car les champs de jauge correspondant à cette ligne ne sont pas couplés aux champs scalaires.

Conclusion *Le potentiel donné par (3.168) entraîne toujours une brisure de symétrie. Lorsque deux lignes du diagramme sont reliées entre elles, c'est-à-dire que les champs de jauge correspondants sont couplés au champs scalaires, les symétries non abéliennes associées sont brisées, alors que pour chaque groupement de lignes uniquement reliées entre elles, une symétrie abélienne persiste. De plus, dans le cas où la symétrie est brisée la masse du boson le plus lourd m_b et celle du fermion le plus lourd m_f satisfont, au niveau classique, à l'inégalité (3.179).*

3.4 Le modèle standard

3.4.1 Le triplet spectral

Parmi tous les modèles qu'il est possible de construire à l'aide de la géométrie non commutative se trouve le modèle standard. Historiquement, celui-ci a été construit dans le cadre du modèle de Connes-Lott dans [CL] puis amélioré dans [C6] par l'incorporation des antiparticules. On pourra trouver une revue de cette construction dans [VG1], [Kast2] et [Schü], ainsi qu'une analyse des contraintes que cette construction impose aux théories de Yang-Mills-Higgs dans [IS]. Enfin, dans [CIKS1] une interprétation détaillée des contraintes numériques sur les masses et les constantes de couplage est donnée.

Contrairement à l'action spectrale, ces modèles ne permettaient pas de coupler le modèle standard à la gravité car il ne contenaient qu'une théorie de Yang-Mills sur un espace du type discret \times continu, élaborée en utilisant les méthodes décrites dans le chapitre 1.

Malgré tout, ils présentaient déjà deux caractéristiques fondamentales des modèles que nous venons d'étudier :

- l'espace est le produit de l'espace-temps ordinaire par un espace fini non commutatif décrit par un triplet spectral fini,
- le boson de Higgs est un champ de jauge associé à la géométrie de l'espace fini.

La seule différence fondamentale entre le modèle de Connes-Lott et ceux basés sur l'action spectrale est la définition de l'action, car dans le premier cas elle ne peut inclure la théorie de la gravitation.

Le triplet spectral $(\mathcal{A}, \mathcal{H}, \mathcal{D})$ correspondant au modèle standard doit être choisi de telle manière que le groupe de jauge soit obtenu comme le groupe des unitaires de \mathcal{A} . Puisque le groupe de jauge du modèle standard est $SU(2) \times U(1) \times SU(3)$, l'algèbre la plus adaptée est

$$\mathcal{A} = \mathbb{H} \oplus \mathbb{C} \oplus M_3(\mathbb{C}), \quad (3.183)$$

dont le groupe des unitaires est $SU(2) \times U(1) \times U(3)$. Il n'est pas possible d'obtenir exactement le groupe de jauge du modèle standard car alors le seul choix possible de l'algèbre est

$$\mathcal{A}' = \mathbb{H} \oplus M_3(\mathbb{C}), \quad (3.184)$$

qui nous oblige à avoir des leptons qui ne sont pas des singlets de couleur !

Si (3.183) est le choix le plus économique, nous devons tout de même éliminer un facteur $U(1)$ par une condition d'unimodularité.

L'espace de Hilbert est formé de toutes les particules et antiparticules du modèle standard, considérées comme des fermions de Weyl. Pour $N_f = 3$ générations de fermions, il y a en tout 90 particules qui se répartissent dans les 4 espaces suivants

$$\mathcal{H} = \mathcal{H}_L^P \oplus \mathcal{H}_R^P \oplus \mathcal{H}_L^A \oplus \mathcal{H}_L^A. \quad (3.185)$$

L'espace $\mathcal{H}_L^P = \mathbb{C}^{24}$ contient toutes les particules gauches, sa base est donnée par

$$\begin{pmatrix} u \\ d \end{pmatrix}_L, \begin{pmatrix} c \\ s \end{pmatrix}_L, \begin{pmatrix} t \\ b \end{pmatrix}_L, \begin{pmatrix} \nu_e \\ e \end{pmatrix}_L, \begin{pmatrix} \nu_\mu \\ \mu \end{pmatrix}_L, \begin{pmatrix} \nu_\tau \\ \tau \end{pmatrix}_L, \quad (3.186)$$

où nous avons omis les indices de couleur pour les quarks.

De même, $\mathcal{H}_R^P = \mathbb{C}^{21}$ est l'espace de Hilbert de toutes les particules droites dont une base est

$$(u)_R, (d)_R, (c)_R, (s)_R, (t)_R, (b)_R, (e)_R, (\mu)_R, (\tau)_R. \quad (3.187)$$

Les espaces \mathcal{H}_L^A et \mathcal{H}_R^A contiennent les antiparticules de \mathcal{H}_L^P et \mathcal{H}_R^P .

Puisque le modèle standard ne contient aucune particule de Majorana, le triplet spectral est S^0 -réel. La chiralité χ et la conjugaison de charge \mathcal{J} sont données par

$$\chi = \begin{pmatrix} -I_{24} & 0 & 0 & 0 \\ 0 & I_{21} & 0 & 0 \\ 0 & 0 & -I_{24} & 0 \\ 0 & 0 & 0 & I_{21} \end{pmatrix} \quad \mathcal{J} = \begin{pmatrix} 0 & 0 & I_{24} & 0 \\ 0 & 0 & 0 & I_{21} \\ I_{24} & 0 & 0 & 0 \\ 0 & I_{21} & 0 & 0 \end{pmatrix} C, \quad (3.188)$$

où C désigne l'opération de conjugaison complexe.

La représentation π est diagonale par blocs,

$$\pi = \pi_L^P \oplus \pi_R^P \oplus \pi_L^A \oplus \pi_R^A. \quad (3.189)$$

Dans les bases données par (3.186) et (3.187) ainsi que celles correspondant à leur antiparticules, ces blocs sont donnés par

$$\pi_L^P(a) = \text{diag}(a \otimes I_9, a \otimes I_3), \quad (3.190)$$

$$\pi_R^P(b) = \text{diag}(b I_9, \bar{b} I_9, \bar{b} I_3), \quad (3.191)$$

$$\pi_L^A(b, c) = \text{diag}(I_6 \otimes c, b I_6), \quad (3.192)$$

$$\pi_R^A(b, c) = \text{diag}(I_6 \otimes c, b I_3), \quad (3.193)$$

où $(a, b, c) \in \mathbb{H} \oplus \mathbb{C} \oplus M_3(\mathbb{C})$.

L'opérateur de Dirac est

$$\mathcal{D} = \begin{pmatrix} 0 & M & 0 & 0 \\ M^* & 0 & 0 & 0 \\ 0 & 0 & 0 & \bar{M} \\ 0 & 0 & \bar{M}^* & 0 \end{pmatrix}, \quad (3.194)$$

où M est la matrice de masse des fermions. Celle-ci s'écrit

$$M = \begin{pmatrix} \begin{pmatrix} M_u \otimes I_3 & 0 \\ 0 & M_d \otimes I_3 \end{pmatrix} & 0 \\ 0 & \begin{pmatrix} 0 \\ M_e \end{pmatrix} \end{pmatrix}, \quad (3.195)$$

avec

$$M_u = \text{diag}(m_u, m_c, m_t), \quad (3.196)$$

$$M_d = V_{CKM} \text{diag}(m_d, m_s, m_b), \quad (3.197)$$

$$M_e = \text{diag}(m_e, m_\mu, m_\tau). \quad (3.198)$$

Dans ce qui précède, m_p désigne la masse de la particule p et V_{CKM} est la matrice de Cabibbo-Kobayashi-Maskawa. Remarquons que les opérateurs \mathcal{D} et $\lambda\mathcal{D}$ donnent naissance à la même théorie lorsque λ est un réel non nul, compte-tenu de la condition de normalisation (3.154). Ceci implique que le triplet spectral $(\mathcal{A}, \mathcal{H}, \mathcal{D})$ ne contient aucune échelle absolue de masse, cette dernière étant introduite par l'intermédiaire du cut-off Λ .

Ceci termine notre description du triplet spectral fini associé au modèle standard. Il est assez facile de vérifier qu'il satisfait à tous les axiomes relatifs aux triplets spectraux finis. Ces axiomes peuvent également être utilisés pour sélectionner certaines extensions du modèle standard. Par exemple, dans [KP], un boson de jauge $U(1)$ supplémentaire a été introduit en choisissant une algèbre du type

$$\mathcal{A} = \mathbb{H} \oplus \mathbb{C} \oplus \mathbb{C} \oplus M_3(\mathbb{C}). \quad (3.199)$$

Les axiomes de la géométrie non commutative permettent alors de réduire drastiquement le nombre de solutions pour ce type d'extension.

Conclusion *Le triplet spectral associé au modèle standard est basé sur l'algèbre*

$$\mathcal{A} = \mathbb{H} \oplus \mathbb{C} \oplus M_3(\mathbb{C}). \quad (3.200)$$

L'espace de Hilbert est l'espace contenant tous les fermions et les antifermions sur lequel \mathcal{A} est représentée par (3.189). L'opérateur de Dirac \mathcal{D} est construit à l'aide des matrices de masse et de mélange des fermions (3.194).

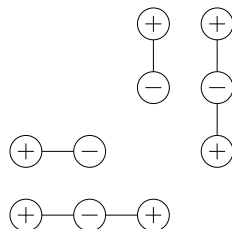
3.4.2 Matrice de multiplicité et diagramme

A partir de ce triplet spectral nous allons construire la matrice de multiplicité. Le triplet spectral est réel et nous avons 5 représentations irréductibles : les trois représentations fondamentales de \mathbb{H} , \mathbb{C} et $M_3(\mathbb{C})$ ainsi que les complexes conjuguées des deux dernières. Puisque la représentation complexe conjuguée de $M_3(\mathbb{C})$ n'intervient pas, nous avons seulement 4 représentations irréductibles. En repérant les entrées de la matrice de multiplicité par les représentations \mathbb{C} , \mathbb{H} , $\overline{\mathbb{C}}$ et $M_3(\mathbb{C})$, la matrice de multiplicité est

$$\mu = 3 \begin{pmatrix} 0 & 0 & 1 & 1 \\ 0 & 0 & -1 & -1 \\ 1 & -1 & 0 & 1 \\ 1 & -1 & 1 & 0 \end{pmatrix}. \quad (3.201)$$

Le facteur 3 correspond au nombre de générations de fermions et si on a N_g générations il est remplacé par N_g .

A partir des éléments de matrice de l'opérateur de Dirac, on construit le diagramme correspondant.



Les éléments de ce diagramme situés au-dessus de la diagonale correspondent aux particules alors que l'autre moitié est associée aux antiparticules. Puisque la matrice de multiplicité peut être mise sous la forme

$$\mu = \epsilon + \epsilon^* \tag{3.202}$$

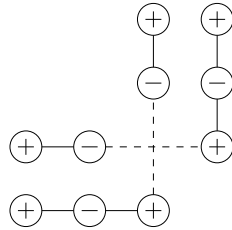
avec

$$\epsilon = 3 \begin{pmatrix} 0 & 0 & 1 & 1 \\ 0 & 0 & -1 & -1 \\ 0 & -0 & 0 & 1 \\ 0 & -0 & 0 & 0 \end{pmatrix}, \tag{3.203}$$

et qu'il n'y a aucun lien entre particules et antiparticules, le triplet spectral du modèle standard vérifie l'axiome de S^0 -réalité.

La première ligne verticale du diagramme est associée à un couplage des champs scalaires avec le doublet d'isospin des leptons gauches et le singlet des leptons droits. La ligne suivante décrit le couplage du champ scalaire avec les quarks. Les deux sommets \oplus correspondent au quarks droits (u, c, t) et (d, s, b) alors que le sommet \ominus est associé au doublet d'isospin des quarks gauches.

Ce diagramme n'est pas le plus général compatible avec les axiomes de la géométrie non commutative. En effet, on peut rajouter les liens suivants (en pointillés).



Ces liens préservent les axiomes de la géométrie non commutative, puisqu'ils sont verticaux ou horizontaux et ne relient que des sommets de types différents. Cependant, ils mélangent particules et antiparticules, ce qui entraîne que la S^0 -réalité n'est plus vérifiée.

Ils correspondent à un couplage de Yukawa entre les champs scalaires, les quarks (u, c, t) droits et les antileptons gauches ainsi qu'à son symétrisé par conjugaison de charge. Ce couplage a été étudié et interprété dans [PS2] en termes de leptosquarks.

Conclusion *La matrice de multiplicité, donnée par (3.201) et le diagramme associé au triplet spectral du modèle standard ont été construits. Cependant, ce diagramme n'est pas le diagramme le plus général compatible avec les axiomes de la géométrie non commutative et la matrice de multiplicité du modèle standard, car il est possible d'y ajouter un couplage du scalaire de Higgs avec les leptons et les antiquarks ainsi qu'avec les antileptons et les quarks.*

3.4.3 Dualité de Poincaré et neutrino massif

Dans cette section, nous allons vérifier en détail la validité de la dualité de Poincaré dans le cas du modèle standard. A partir de la matrice de multiplicité

$$\mu = 3 \begin{pmatrix} 0 & 0 & 1 & 1 \\ 0 & 0 & -1 & -1 \\ 1 & -1 & 0 & 1 \\ 1 & -1 & 1 & 0 \end{pmatrix}, \tag{3.204}$$

nous pouvons construire la matrice de la forme d'intersection \cap en utilisant les règles énoncés au cours de la section 2.6.3. Celle-ci est obtenue à partir de μ en additionnant les contributions des deux lignes (et colonnes) correspondant à l'algèbre \mathbb{C} en une seule ligne (et colonne) et en multipliant la ligne et la colonne associée au quaternions par 2. Nous obtenons la matrice suivante,

$$\cap = 6 \begin{pmatrix} 1 & -1 & 1 \\ -1 & 0 & -1 \\ 1 & -1 & 0 \end{pmatrix}, \quad (3.205)$$

dont le déterminant est non nul. Ainsi, la dualité de Poincaré est satisfaite dans le cas du modèle standard.

Incorporons au modèle standard un neutrino droit. Ce dernier ne doit être sujet à aucune interaction et doit être un singlet sous toutes les transformations de jauge. Aussi, la seule possibilité est de le mettre sur les termes diagonaux de la matrice de multiplicité qui correspondent aux deux facteurs \mathbb{C} . Ajoutons donc à un de ces deux termes la quantité ϵn , où $n \leq 3$ est le nombre de générations dans lequel nous voulons introduire ce neutrino et ϵ un facteur qui vaut 2 si ce neutrino droit est distinct de son antiparticule, et 1 si c'est un neutrino de Majorana.

Dans ce cas, la matrice de la forme d'intersection est donnée par

$$\cap = \begin{pmatrix} 6 + n\epsilon & -6 & 6 \\ -6 & 0 & -6 \\ 6 & -6 & 0 \end{pmatrix}, \quad (3.206)$$

dont le déterminant vaut

$$\det \cap = 6(-n\epsilon + 6). \quad (3.207)$$

Il s'annule si et si seulement si $n = 3$ et $\epsilon = 2$. Par conséquent, ajouter un neutrino droit distinct de son antiparticule dans les trois générations est incompatible avec la dualité de Poincaré. Par contre ajouter un tel neutrino dans une ou deux générations ou ajouter un neutrino droit de Majorana dans un nombre quelconque de générations n'est pas en contradiction avec la dualité de Poincaré.

Il y a des indications expérimentales d'oscillations de neutrinos. L'explication la plus simple est l'existence d'une matrice de masse pour les neutrinos comme pour les quarks. Il est important de noter qu'en géométrie non commutative des masses de Majorana pour les neutrinos sont exclues car l'opérateur de Dirac doit anticommute avec la chiralité. Pour les masses de Dirac, on a besoin de neutrinos droits, ce qui est en contradiction avec la dualité de Poincaré.

Conclusion *Dans le cas du modèle standard, la dualité de Poincaré est satisfaite pourvu qu'il n'y ait pas de neutrino droit distinct de son antiparticule dans les trois générations. Etant donné que les masses de Majorana sont exclues, cela nous empêche de construire un modèle comportant des neutrinos massifs dans les trois générations.*

3.4.4 Les bosons de jauge

Le groupe des unitaires de l'algèbre du modèle standard est $SU(2) \times U(1) \times U(3)$, il y a donc un champ $U(1)$ en excès qui doit être éliminé par une condition d'unimodularité. Cette condition d'unimodularité est obtenue en imposant la condition $\text{Tr}(A_\mu) = 0$ sur le champ de jauge [C7].

Si nous notons B_μ le champ abélien provenant du facteur \mathbb{C} et B'_μ celui de $M_3(\mathbb{C})$, la condition d'unimodularité impose

$$B'_\mu = \frac{1}{3}B_\mu. \tag{3.208}$$

Cette condition est équivalente à l'absence d'anomalies de jauge et gravitationnelle et permet de sélectionner les bonnes hypercharges.

Les constantes de couplage non abéliennes sont données par la relation (3.108)

$$g_i = (2\pi)^{n/4} \sqrt{\frac{3/2}{F_4 \Lambda^{n-4} \sum_j |\mu_{ij}| n_j}}. \tag{3.209}$$

Dans le cas du champ électrofaible $SU(2)$ on obtient, en dimension 4,

$$g_{SU(2)} = \pi \sqrt{\frac{F_4}{2}} \tag{3.210}$$

et dans le cas de $SU(3)$,

$$g_{SU(3)} = \pi \sqrt{\frac{F_4}{2}}. \tag{3.211}$$

Ces relations nous donnent des constantes de couplage $\sqrt{2}$ fois plus petites que celles obtenues dans [CC] ou dans [CIKS2]. Ceci s'explique par le fait que dans ces derniers articles, la trace est prise sur l'espace de Hilbert des particules uniquement, alors que nous avons pris la trace sur tout l'espace de Hilbert, qui contient particules et antiparticules. Cela revient simplement à changer la fonction F en $F/2$.

En déterminant explicitement la constante de couplage abélienne $g_{U(1)}$, on montre [CC] que

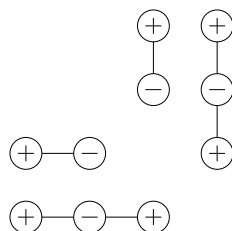
$$\frac{5}{3}g_{U(1)}^2 = g_{SU(2)}^2 = g_{SU(3)}^2. \tag{3.212}$$

De plus, en utilisant les équations du groupe de renormalisation, on peut donner ces constantes de couplages à l'échelle électrofaible [CIKS2].

Conclusion *Dans le cas du modèle standard, le nombre de champs de jauge abéliens est réduit de 2 à 1 en imposant la condition d'unimodularité $\text{Tr}(A_\mu) = 0$. Les constantes de couplage non abéliennes sont données par les relations (3.210) et (3.211).*

3.4.5 Le potentiel scalaire

Le potentiel scalaire peut être calculé en utilisant les méthodes que nous avons exposées. Pour cela, rappelons le diagramme associé au modèle standard.



Les sommets reliés par les lignes horizontales correspondent à l'espace des antiparticules. Puisque le triplet spectral est S^0 -réel, ces contributions sont identiques à celles de l'espace des particules et nous nous occuperons essentiellement de ces dernières.

La dernière ligne de ce diagramme, qui correspond aux champs de jauge $SU(3)$, n'est reliée à aucune autre ligne. Les champs correspondant ne sont pas couplés aux champs scalaires et restent sans masse.

Au lien entre la représentation fondamentale de \mathbb{H} et la représentation fondamentale de \mathbb{C} est associé un seul doublet de champs scalaires complexes,

$$\Phi = \begin{pmatrix} \phi_1 \\ \phi_2 \end{pmatrix}. \quad (3.213)$$

L'autre lien relie la représentation fondamentale de \mathbb{H} à la complexe conjuguée de \mathbb{C} , le champ scalaire correspondant est le conjugué quaternionique de Φ donné par

$$i\sigma_2\bar{\Phi} = \begin{pmatrix} -\bar{\phi}_2 \\ \bar{\phi}_1 \end{pmatrix}. \quad (3.214)$$

Enfin, les trois matrices M_u , M_d et M_e jouent le rôle des matrices $M_{ij,k}$. Notons qu'il n'y a pas de multiplicité car il n'y a qu'un seul doublet de champs scalaires complexes.

Bien entendu, le terme de masse est donné par

$$-\frac{1}{2}(\phi_1^2 + \phi_2^2), \quad (3.215)$$

avec

$$\mu = \sqrt{\frac{2F_2}{F_4}}\Lambda. \quad (3.216)$$

Notons que ce résultat est absolument identique à celui obtenu dans [Schü] car la condition de normalisation, qui porte sur un terme quadratique, ne joue aucun rôle ici.

Le calcul des termes d'ordre 4 se fait en recherchant toutes les boucles de longueur 4 sur le diagramme. Celles-ci peuvent être obtenues à partir des sous-diagrammes de longueur 1 et 2 en appliquant les règles exposées dans la section 3.3.3.

La contribution des sous-diagrammes de longueur 1 est

$$2 \times 2 \times (\text{Tr}(M_e M_e^* M_e M_e^* + 3M_u M_u^* M_u M_u^* + 3M_d M_d^* M_d M_d^*)) \times \text{Tr}(\Phi \Phi^* \Phi \Phi^*) \quad (3.217)$$

Le premier facteur 2 vient de la contribution des antiparticules alors que le second facteur est donné par les règles exposées dans la section 3.3.3.

La contribution de l'unique sous-diagramme de longueur 2 est proportionnelle à

$$\text{Tr} \left[\Phi \left(i\sigma_2 \bar{\Phi} \right)^* \Phi^* i\sigma_2 \bar{\Phi} \right]. \quad (3.218)$$

Celle-ci est nulle car on a toujours

$$\Phi^* i\sigma_2 \bar{\Phi} = 0. \quad (3.219)$$

En incorporant les facteurs dus à la géométrie de l'espace-temps et la condition de normalisation (3.154), on obtient le terme quadratique

$$\lambda \left((\phi_1)^2 + (\phi_2)^2 \right)^2, \quad (3.220)$$

avec

$$\lambda = \frac{\pi^2}{2F_4} \frac{Q}{L^2}. \quad (3.221)$$

Q et L sont définis par

$$L = \text{Tr} (M_e M_e^* + 3M_u M_u^* + 3M_d M_d^*) \quad (3.222)$$

$$Q = \text{Tr} \left[(M_e M_e^*)^2 + 3 (M_u M_u^*)^* + 3 (M_d M_d^*)^* \right]. \quad (3.223)$$

Nous obtenons un couplage qui est deux fois plus faible que celui obtenu dans [CIKS2]. Encore une fois, ceci est dû à la normalisation du terme cinétique.

Conclusion *Dans le cas du modèle standard, le potentiel de Higgs peut être calculé à l'aide d'une somme sur toutes les boucles de longueur 4. Le résultat donne un couplage qui est donné par (3.221)*

Chapitre 4

Le tore non commutatif

4.1 Le triplet spectral

4.1.1 L'algèbre

Dans ce dernier chapitre, nous allons construire et étudier en détail un triplet spectral $(\mathcal{A}, \mathcal{H}, \mathcal{D})$ construit à l'aide d'une algèbre non commutative qui est une déformation de l'algèbre des fonctions sur le tore. Ce triplet spectral est relativement simple à définir et nous permet, pour tout entier $n > 0$, de construire une géométrie non commutative de dimension n qui n'est pas simplement obtenue en considérant une algèbre de fonctions à valeurs matricielles.

De manière générale, on pourra trouver beaucoup d'informations concernant le tore non commutatif dans la revue de M. Rieffel [R4]. Cependant, la plupart des travaux sur le tore non commutatifs sont antérieurs à la notion de triplet spectral, aussi reformulerons-nous certains résultats assez anciens en utilisant ce langage.

Pour commencer, rappelons que l'algèbre des fonctions lisses sur le tore de dimension n peut être identifiée à l'algèbre des fonctions indéfiniment dérivables sur \mathbb{R}^n satisfaisant à la condition de périodicité $f(x + e_i) = f(x)$ pour tout $x \in \mathbb{R}^n$ et tout vecteur e_i de la base canonique de \mathbb{R}^n .

Cela revient à considérer que le tore T^n est le quotient de \mathbb{R}^n par la relation d'équivalence

$$x \mathcal{R} y \text{ si et seulement si } x - y = \sum_{i=1}^n p_i e_i, \quad (4.1)$$

avec $p_i \in \mathbb{Z}$. Bien entendu, il est toujours possible de remplacer la base canonique par n'importe quelle autre base de \mathbb{R}^n dans la relation précédente. Les deux algèbres de fonctions ainsi obtenues sont isomorphes et seule une structure supplémentaire (structure de variété complexe ou Riemannienne) permet de les distinguer.

De telles fonctions peuvent toujours être développées en série de Fourier,

$$f(x) = \sum_{p \in \mathbb{Z}^n} f_p e^{2\pi i p \cdot x} \quad \forall x \in \mathbb{R}^n, \quad (4.2)$$

avec

$$f_p = \frac{1}{(2i\pi)^n} \int_0^1 dx_1 \dots \int_0^1 dx_n f(x) e^{2i\pi p \cdot x}, \quad (4.3)$$

où $p = (p_1, \dots, p_n) \in \mathbb{Z}^n$ est un multiindice et $p \cdot x = p_1 x_1 + \dots + p_n x_n$.

Il est clair qu'une telle fonction est indéfiniment dérivable si et seulement si la suite f_p est à décroissance rapide, c'est-à-dire que $\lim_{k \rightarrow \infty} p_1^{k_1} \dots p_n^{k_n} f_p = 0$ lorsque $|p_1| + \dots + |p_n|$ tend vers l'infini, et cela pour $k = (k_1, \dots, k_n) \in \mathbb{Z}^n$.

De façon plus abstraite, nous pouvons considérer l'algèbre des fonctions lisses sur le tore comme l'algèbre involutive des séries formelles

$$f = \sum_{p \in \mathbb{Z}^n} f_p U^p, \quad (4.4)$$

où $(f_p)_{p \in \mathbb{Z}^n}$ est une suite à décroissance rapide et U^p sont des unitaires vérifiant la relation $U^p U^q = U^{p+q}$. Ces unitaires s'identifient à la base des modes de Fourier $(e^{ip \cdot x})_{p \in \mathbb{Z}^n}$ et on peut toujours considérer que $U^p = U_1^{p_1} \dots U_n^{p_n}$, où $(U_i)_{1 \leq i \leq n}$ est un système de générateurs unitaires satisfaisant à $U_i U_j = U_j U_i$.

Il est alors facile de définir le tore non commutatif en insérant dans la dernière relation un facteur de phase.

Définition 4.1.1 *Soit $\theta \in M_n(\mathbb{R})$ une matrice antisymétrique. On définit l'algèbre \mathcal{A}_θ comme étant l'algèbre involutive des séries formelles à décroissance rapide*

$$\sum_{p \in \mathbb{Z}^n} f_p U_1^{p_1} \dots U_n^{p_n}, \quad (4.5)$$

où $(U_i)_{1 \leq i \leq n}$ est un système d'unitaires qui vérifient

$$U_i U_j = e^{2i\pi\theta_{ij}} U_j U_i. \quad (4.6)$$

\mathcal{A}_θ est considérée comme l'algèbre des "fonctions" sur le tore non commutatif de dimension n . Si $n = 1$, on retrouve bien entendu l'algèbre des fonctions sur le cercle.

Nous n'avons pas encore introduit de norme sur cette algèbre pour nous assurer de la convergence des séries considérées. Bien que cela puisse être fait en introduisant une norme type "convergence uniforme", nous nous restreignons dans cette section à des considérations purement algébriques.

Il est commode d'introduire, pour tout $p \in \mathbb{Z}^n$, la notation $U^p = (U_1)^{p_1} \dots (U_n)^{p_n}$. Il est facile de montrer que l'on a

$$U^p U^q = e^{2i\pi\theta(p,q)} U^q U^p, \quad (4.7)$$

avec $\theta(p, q) = \theta_{\mu\nu} p^\mu q^\nu$. Par convention, toute sommation sur un indice grec $\lambda, \mu, \nu, \rho, \sigma, \dots$ répété en position basse et haute est sous-entendue. Lorsque le contraire n'est pas explicitement spécifié, nous utilisons la métrique euclidienne.

De plus, on montre que $U^p U^q = e^{2i\pi\chi(p,q)} U^{p+q}$, où χ est la matrice triangulaire supérieure obtenue en ne gardant que les éléments de θ situés au dessus de la diagonale. En vue de simplifier la relation précédente, définissons $V^p = e^{i\pi\chi(p,p)} U^p$. On montre alors que

$$\begin{aligned} V^p V^q &= e^{-i\pi(\chi(p,p) + \chi(q,q))} U^p U^q \\ &= e^{i\pi(\chi(p,p) + \chi(q,q) + 2\chi(p,q) - \chi(p+q, p+q))} V^{p+q} \\ &= e^{i\pi(\chi(p,q) - \chi(q,p))} V^{p+q} \\ &= e^{i\pi\theta(p,q)} V^{p+q}. \end{aligned} \quad (4.8)$$

Quitte à multiplier les unitaires U^p par une phase, nous obtenons la description suivante de \mathcal{A}_θ .

Proposition 4.1.1 *L'algèbre \mathcal{A}_θ est l'algèbre involutive des séries formelles*

$$\sum_{p \in \mathbb{Z}^n} f_p U^p, \quad (4.9)$$

où $(f_p)_{p \in \mathbb{Z}^n}$ est une suite à décroissance rapide de nombres complexes et $(U^p)_{p \in \mathbb{Z}^n}$ un système d'unitaires satisfaisant à

$$U^p U^q = e^{i\pi\theta(p,q)} U^{p+q}. \quad (4.10)$$

En particulier cette relation nous montre que U^{-p} est l'inverse de U^p .

Il est utile de noter $\theta(p)$ le vecteur de \mathbb{R}^n défini par $(\theta(p))_\mu = \theta_{\mu\nu} p^\nu$. En notant \cdot le produit scalaire de vecteurs de \mathbb{R}^n , nous avons $\theta(p, q) = \theta(p) \cdot q = -p \cdot \theta(q)$. Nous pouvons alors énoncer le résultat suivant.

Proposition 4.1.2 *Le centre de \mathcal{A}_θ est formé des séries formelles qui ne contiennent que les monômes U^p tels que $\theta(p) \in \mathbb{Z}^n$. Lorsqu'il est non trivial, il est isomorphe à l'algèbre des fonctions sur un tore de dimension $\leq n$.*

Démonstration:

Soit $f = \sum_p f_p U^p \in \mathcal{A}_\theta$ un élément central. Puisqu'il doit commuter avec U^q pour tout $q \in \mathbb{Z}^n$, on doit avoir $U^q f U^{-q} = f$, ce qui équivaut à $f_p e^{2i\pi\theta(p) \cdot q} = f_p \forall q \in \mathbb{Z}^n$. En conséquence, si $f_p \neq 0$ on doit avoir $\theta(p) \cdot q \in \mathbb{Z}$ pour tout q , ce qui équivaut à $\theta(p) \in \mathbb{Z}^n$ et démontre la première assertion.

Soit H le sous-ensemble de \mathbb{Z}^n formé des vecteurs p tels que $\theta(p) \in \mathbb{Z}^n$. Lorsque le centre de \mathcal{A}_θ est non trivial, H est un sous-groupe non trivial de \mathbb{Z}^n et on peut trouver un système $e_1, \dots, e_{n'}$ de générateurs de H linéairement indépendants avec $n' \leq n$. Par conséquent, le centre de \mathcal{A}_θ s'identifie avec l'algèbre engendré par les unitaires $U^{e_1}, \dots, U^{e_{n'}}$, qui n'est autre que l'algèbre des fonctions lisses sur un tore de dimension n' . \square

Lorsque le centre de \mathcal{A}_θ est trivial, on dit que \mathcal{A}_θ est non dégénérée. Dans ce cas, beaucoup de démonstrations se simplifient considérablement.

De manière générale, nous appelons trace sur une algèbre \mathcal{A} toute forme linéaire τ sur \mathcal{A} satisfaisant à $\tau(ab) = \tau(ba)$ pour tout $a, b \in \mathcal{A}$. De plus, si \mathcal{A} est une algèbre involutive, une trace est dite positive si $\tau(aa^*) \geq 0$ pour tout $a \in \mathcal{A}$ et fidèle si elle vérifie $\tau(aa^*) > 0$ lorsque $aa^* \neq 0$.

Proposition 4.1.3 *La forme linéaire τ définie sur \mathcal{A}_θ par*

$$\tau(U^p) = \delta(p), \quad (4.11)$$

où $\delta(p)$ est le symbole de Kronecker qui vaut 0 si $p \neq 0$ et 1 si $p = 0$, est une trace positive et fidèle appelé trace canonique. De plus, toute autre trace s'annule sur les unitaires U^p qui ne sont pas centraux.

Démonstration:

Par linéarité, il suffit de vérifier que $\tau(U^p U^q) = \tau(U^q U^p)$ ce qui est évident. De plus, si $f = \sum_p f_p U^p$, alors

$$\tau(ff^*) = \sum_{p \in \mathbb{Z}^n} |f_p|^2, \quad (4.12)$$

qui est positif et ne s'annule que si $f = 0$. Notons que puisque la suite f_p est à décroissance rapide, la série précédente est convergente. Enfin, si τ' est une trace quelconque sur \mathcal{A} , on doit avoir

$$\tau'(U^p) = \tau'(U^q U^p U^{-q}) = e^{2i\pi\theta(p, q)} \tau'(U^p) \forall q \in \mathbb{Z}^n, \quad (4.13)$$

ce qui implique que $\tau'(U^p) = 0$ si U^p n'est pas central. \square

Outre le cas non dégénéré, il est aussi intéressant d'étudier le cas où le centre est un tore de dimension maximale $n' = n$, que nous appellerons "cas rationnel".

Proposition 4.1.4 *Le centre de \mathcal{A}_θ est un tore de dimension $n' = n$ si et seulement si les coefficients de la matrice θ sont tous rationnels.*

Démonstration:

Si les nombres $\theta_{\mu\nu}$ sont rationnels, alors tous les vecteurs $(\epsilon_i)_{1 \leq i \leq n}$ de la base canonique de \mathbb{Z}^n vérifient $k\theta(\epsilon_i) \in \mathbb{Z}^n$ pour $k \in \mathbb{Z}$ bien choisi, aussi le centre est-il de dimension n .

Réciproquement, si le centre est un tore de dimension n , alors le sous-groupe H (voir la démonstration concernant le centre de \mathcal{A}_θ) est engendré par n vecteurs linéairement indépendants $(e_\mu)_{1 \leq \mu \leq n}$. Tout vecteur de \mathbb{Z}^n s'écrit donc comme combinaison linéaire à coefficients rationnels des vecteurs $(e_\mu)_{1 \leq \mu \leq n}$ ce qui nous montre que $\theta_{\mu\nu} = \theta(\epsilon_\mu) \cdot \epsilon_\nu$ est rationnel. \square

Lorsque θ est rationnel, comment peut-on interpréter les éléments de \mathcal{A}_θ qui ne sont pas centraux? Pour répondre à cette question, il est commode d'étudier d'abord le cas de la dimension 2. Dans ce cas, l'algèbre \mathcal{A}^θ est l'algèbre involutive engendrée par deux unitaires U_1 et U_2 satisfaisant à la relation

$$U_1 U_2 = q U_2 U_1, \quad q = e^{2i\pi \frac{M}{N}}, \quad (4.14)$$

où M et N sont deux entiers positifs premiers entre eux avec $M \in \{0, 1, \dots, N-1\}$. Le centre de \mathcal{A}_θ est l'algèbre involutive engendrée par $(U_1)^N$ et $(U_2)^N$ qui est isomorphe à l'algèbre des fonctions lisses sur le tore de dimension 2. Nous identifions $(U_1)^N$ et $(U_2)^N$ aux fonctions $x = (x_1, x_2) \mapsto e^{2i\pi x_1}$ et $x = (x_1, x_2) \mapsto e^{2i\pi x_2}$ définies sur le tore de longueur 1. Pour interpréter U_1 et U_2 dans ce formalisme, il est utile d'introduire deux matrices unitaires P et Q de taille N définies par

$$P = \begin{pmatrix} 1 & & & \\ & q & & \\ & & \ddots & \\ & & & q^{N-1} \end{pmatrix} \quad Q = \begin{pmatrix} & & & 1 \\ & & & \\ & & \ddots & \\ 1 & & & \end{pmatrix}^N, \quad (4.15)$$

où, par convention nous n'avons représenté que les éléments de matrice non nuls. Ces deux matrices vérifient $PQ = qQP$ ainsi que $P^N = Q^N = 1$ et engendrent toute l'algèbre des matrices $N \times N$ complexes.

Il est facile de représenter \mathcal{A}_θ en identifiant U_1 et U_2 aux fonctions $U_1(x) = e^{\frac{2i\pi x_1}{N}} P$ et $U_2(x) = e^{\frac{2i\pi x_2}{N}} Q$. Cependant, ces fonctions ne sont pas de période 1 et ne peuvent pas être considérées comme des fonctions définies sur le tore car on a

$$\begin{aligned} U_1(x_1 + 1, x_2) &= q U_1(x_1, x_2) & U_1(x_1, x_2 + 1) &= U_1(x_1, x_2) \\ U_2(x_1, x_2 + 1) &= q U_2(x_1, x_2) & U_2(x_1 + 1, x_2) &= U_2(x_1, x_2) \end{aligned} .$$

Au voisinage de chaque point, on peut considérer que \mathcal{A}_θ est une algèbre de fonctions à valeurs dans $M_N(\mathbb{C})$, mais cette propriété n'est vraie que localement. Cependant, \mathcal{A}_θ est un fibré vectoriel sur le tore usuel, dont la fibre est l'algèbre de matrice $M_N(\mathbb{C})$, et dont les lois de transformations sont précisées par les quatre relations précédentes. En utilisant la relation $PQ = qQP$, on peut réécrire les lois de transformations non triviales sous la forme

$$U_1(x_1 + 1, x_2) = Q^{-1} U_1(x_1, x_2) Q \quad U_2(x_1, x_2 + 1) = P U_2(x_1, x_2) P^{-1}. \quad (4.16)$$

Par conséquent, les fonctions de transition du fibré sont simplement obtenues par conjugaison avec des matrices unitaires et constantes.

Lorsque nous étudierons les théories de jauge, il nous sera utile de pouvoir interpréter ce fibré comme l'algèbre des endomorphismes d'un fibré vectoriel de fibre \mathbb{C}^N sur le tore usuel [R2].

Proposition 4.1.5 *Soient a et b deux entiers tels que $aM + bN = 1$. Alors \mathcal{A}_θ est l'algèbre des endomorphismes du fibré vectoriel de fibre \mathbb{C}^N sur T^2 dont les sections vérifient*

$$\psi(1, x_2) = \psi(0, x_2) \text{ et } \psi(x_1, 1) = U(x_1)\psi(x_1, 0) \forall (x_1, x_2) \in T^2, \quad (4.17)$$

avec

$$U(x_1) = \begin{pmatrix} & & 1 & & \\ & & & \ddots & \\ & & & & 1 \\ e^{-2i\pi ax_1} & & & & \end{pmatrix}. \quad (4.18)$$

En vue de généraliser cette description du cas rationnel à la dimension supérieure, nous avons besoin du lemme suivant, dont on pourra trouver la démonstration dans [Lang1].

Lemme 4.1.1 *Soit A une matrice antisymétrique $n \times n$ à coefficients entiers. Alors il existe une matrice $S \in SL_n(\mathbb{Z})$ (groupe des matrices à coefficients entiers dont le déterminant est 1) telle que $S^t A S$ soit une matrice diagonale par blocs constituée uniquement de 0 et de $n' \leq [n/2]$ blocs du type*

$$\begin{pmatrix} 0 & \lambda_i \\ -\lambda_i & 0 \end{pmatrix}, \quad (4.19)$$

où la suite $(\lambda_i)_{1 \leq i \leq n'}$ est une suite d'entiers telle que λ_i divise λ_{i+1} .

En nous basant sur ce lemme, nous allons montrer le résultat suivant.

Proposition 4.1.6 *Dans le cas rationnel, l'algèbre \mathcal{A}_θ est engendrée par un système de N unitaires V_m tels que les seules relations de commutations non triviales soient*

$$V_{2m-1}V_{2m} = e^{2i\pi \frac{M_m}{N_m}} V_{2m}V_{2m-1}, \quad (4.20)$$

pour tout entier m tel que $2m \leq n'$, où $n' \leq n$ est un entier positif.

Démonstration:

Puisque θ est une matrice à coefficients rationnels, il existe un entier N tels que $N\theta \in M_n(\mathbb{Z})$. En appliquant le lemme, on peut trouver une matrice $S \in SL_n(\mathbb{Z})$ telle que $NS^t\theta S = N\theta'$ soit diagonale par blocs formée de blocs 2×2 et de zéros.

Définissons les unitaires V_i par

$$V_i = U_1^{S_{i1}} U_2^{S_{i2}} \dots U_n^{S_{in}}, \quad (4.21)$$

ce qui implique que $V_i V_j = e^{2i\pi\theta'_{ij}} V_j V_i$ que les relations de commutations non triviales sont celles annoncées.

Enfin, puisque la matrice S appartient à $SL_n(\mathbb{Z})$, il est clair qu'elle est inversible et que son inverse est également une matrice à coefficients entiers. On peut donc inverser les relations précédentes,

$$U_i = V_1^{S_{i1}^{-1}} V_2^{S_{i2}^{-1}} \dots V_n^{S_{in}^{-1}}, \quad (4.22)$$

ce qui prouve que \mathcal{A}_θ est également engendrée par le système $(V_i)_{1 \leq i \leq n}$. \square

Cela permet de décrire \mathcal{A}_θ lorsque θ est rationnel par un fibré sur le tore de dimension n dont la fibre est une algèbre de matrice dont la dimension est le produit des dénominateurs $N = N_1 \dots N_n$ apparaissant dans la forme canonique de θ . Les seules fonctions de transition non triviales de ce fibré sont analogue à celles de la dimension 2.

Avant de clore cette étude purement algébrique des propriétés de \mathcal{A}_θ , il convient de faire deux remarques concernant l'origine géométrique de cette déformation de l'algèbre des fonctions sur le tore.

Tout d'abord, il apparaît que \mathcal{A}_θ est intimement liée à la quantification par déformation sur le tore usuel. En effet, la matrice antisymétrique θ peut être considérée, lorsque son déterminant est non nul, comme une forme symplectique sur le tore usuel. Le produit que nous avons défini correspond alors à la déformation du produit usuel associée à cette forme symplectique [R4].

En second lieu, il est intéressant de noter que cette algèbre peut être obtenue, en dimension 2, à l'aide d'un produit croisé [R1]. Considérons le produit croisé de l'algèbre $\mathcal{A} = C^\infty(S^1)$ des fonctions lisses sur le cercle par le groupe \mathbb{Z} agissant par une rotation d'angle $-\theta$. Dans ce cas, le produit croisé est l'algèbre \mathcal{A}'_θ engendrée par les couples (f, m) , où f est une fonction sur le cercle et $m \in \mathbb{Z}$. La structure d'espace vectoriel sur \mathcal{A}'_θ est déterminée par celle de $C^\infty(S^1)$ et le produit est

$$(f, m) \cdot (g, n) = (f \cdot g \circ (R_{m\theta})^{-1}, m + n), \quad (4.23)$$

où $R_{m\theta}$ est la rotation d'angle $m\theta$. Si nous notons U la fonction $x \mapsto e^{2i\pi x}$ définie sur le cercle, alors $U_1 = (U, 0)$ et $U_2 = (U, 1)$ sont deux générateurs unitaires de \mathcal{A}'_θ satisfaisant à

$$U_1 U_2 = e^{2i\pi\theta} U_2 U_1, \quad (4.24)$$

ce qui détermine un isomorphisme entre \mathcal{A}'_θ et \mathcal{A}_θ .

4.1.2 L'opérateur de Dirac et l'espace de Hilbert

La construction de l'espace de Hilbert \mathcal{H} associé à \mathcal{A}_θ repose essentiellement sur la construction GNS (voir Appendice A) pour l'état ϕ déterminé par la trace τ . Soit \mathcal{H} la complétion de l'espace vectoriel $\mathcal{A}_\theta \otimes \mathbb{C}^{2^{[n/2]}}$ muni du produit scalaire

$$\langle (a_1, \dots, a_{2^{[n/2]}}), (b_1, \dots, b_{2^{[n/2]}}) \rangle = \sum_{k=1}^{2^{[n/2]}} \tau((a_k)^* b_k). \quad (4.25)$$

\mathcal{A}_θ agit sur \mathcal{H} par multiplication à gauche et il est facile de voir, en utilisant les propriétés de la trace, que cette action π est une représentation d'algèbre involutive par des opérateurs bornés.

La complétion de l'espace précédent revient simplement à remplacer les suites à décroissance rapide de \mathcal{A}_θ par les suites de carré sommable, les vecteurs $U^p \otimes e_i$ formant une base hilbertienne de \mathcal{H} si $(e_i)_{1 \leq i \leq 2^{[n/2]}}$ est une base de $\mathbb{C}^{[n/2]}$.

Nous définissons sur \mathcal{H} une structure de bimodule en utilisant l'opérateur $J = C^*$, où C est la conjugaison de charge usuelle agissant sur les matrices de Dirac en dimension n et $*$ est l'involution de \mathcal{A}_θ .

Avant de définir l'opérateur de Dirac, commençons par donner l'analogie de la dérivation pour \mathcal{A}_θ . Si ∂_i est la dérivation qui vérifie $\partial_i(U_j) = 2i\pi\delta_{ij}$, son action sur les monômes est $\partial_i U^p = 2i\pi p_i U^p$. Ces dérivations sont parfaitement analogues aux dérivations par rapport aux coordonnées usuelles sur le tore. Cependant, il convient de remarquer que dans le cas non commutatif, si a est un élément de \mathcal{A}_θ qui n'est pas central et ∂ une dérivation, alors $a\partial$ n'est pas nécessairement une dérivation. Aussi est-il difficile de définir sur le tore non commutatif des dérivations qui soient analogues aux champs de vecteurs non constants, ce qui est à mettre en parallèle avec la difficulté que l'on rencontre pour construire des automorphismes de \mathcal{A}_θ non triviaux. De plus, cela implique qu'il n'est pas possible de construire l'analogie non commutatif du repère mobile et cela nous empêche de développer la théorie de la relativité générale sur le

tore non commutatif. Ceci est en accord avec le fait que l'algèbre \mathcal{A}_θ n'admet pas suffisamment d'automorphismes dans le cas non dégénéré [R4].

En notant $(\gamma^\mu)_{1 \leq \mu \leq n}$ les matrices de Dirac hermitiennes satisfaisant à

$$\gamma^\mu \gamma^\nu + \gamma^\nu \gamma^\mu = 2g^{\mu\nu}, \quad (4.26)$$

où $g^{\mu\nu}$ est la métrique euclidienne, nous définissons l'opérateur de Dirac par $\mathcal{D} = i\gamma^\mu \partial_\mu$. Bien entendu, cet opérateur est non borné car les dérivations ne sont pas définies sur tout \mathcal{H} mais seulement sur les suites à décroissance rapide. Le second membre de (4.26) peut toujours être remplacé par une matrice symétrique définie positive, dont les valeurs propres correspondent aux inverses des "rayons" des différents cercles constituant le tore. Pour simplifier nos notations nous supposons toujours que ces nombres sont égaux à 1, mais l'extension au cas général est évidente.

Puisque \mathcal{D} est formé de dérivations et que la structure de bimodule est donnée par la multiplication à gauche et à droite, il est facile de vérifier que la condition du premier ordre est satisfaite. De plus, si, lorsque n est pair on pose $\gamma = \gamma^{n+1}$, où γ^{n+1} est la chiralité des matrices de Dirac en dimension n , on vérifie aisément que l'axiome de réalité est aussi satisfait.

4.1.3 Vérification des axiomes

Nous avons déjà montré que les axiomes de réalité et la condition du premier ordre sont satisfaites. Nous allons maintenant vérifier tous les autres axiomes, à l'exception de la dualité de Poincaré car la vérification de cette dernière nécessite une description détaillée des modules projectifs sur \mathcal{A}_θ qui nous entrainerait trop loin [R3].

Le premier axiome que nous allons vérifier est l'axiome de la dimension. Pour cela remarquons que $\mathcal{D}^2 = \Delta I_{2^{n/2}}$ est analogue au Laplacien et que ses vecteurs propres sont donnés par les modes de Fourier $\Delta U^p = 4\pi^2 |p|^2 U_p$. Lorsque $\Lambda \rightarrow \infty$, le nombre de valeurs propres de Δ qui sont supérieures à Λ^2 est égal au nombre d'éléments de \mathbb{Z}^n satisfaisant à $|p| \leq \frac{\Lambda}{2\pi}$, ce qui équivaut au volume de la boule de rayon $\frac{\Lambda}{2\pi}$ qui est $V_n \frac{\Lambda^n}{(2\pi)^n}$, où V_n est le volume de la boule unité en dimension n . Par conséquent, si on note $(\lambda_k)_{k \in \mathbb{N}}$ la suite décroissante des valeurs propres de $ds = |\mathcal{D}|^{-n}$, on a

$$\lambda_k \underset{k \rightarrow +\infty}{\simeq} \frac{1}{\Gamma(n/2 + 1)(4\pi)^{n/2}} \frac{1}{k}, \quad (4.27)$$

ce qui prouve que l'axiome de dimension est satisfait.

De plus, on déduit de la relation précédente que

$$\lim_{N \rightarrow +\infty} \frac{1}{\log N} \sum_{k=1}^N \lambda_k = \frac{1}{\Gamma(n/2 + 1)(4\pi)^{n/2}}, \quad (4.28)$$

ce qui revient à dire que $\text{Tr}_\omega(ds^n)$ est indépendant de ω et est égal à $\left((4\pi)^{(n/2)} \Gamma(n/2 + 1)\right)^{-1}$. Enfin, lorsque nous modifions l'opérateur de Dirac de manière à introduire une métrique non triviale $g_{\mu\nu}$ de déterminant g , il est facile de vérifier que l'on obtient

$$\text{Tr}_\omega(ds^n) = \frac{\sqrt{g}}{\Gamma(n/2 + 1)(4\pi)^{n/2}}. \quad (4.29)$$

Pour tout $a \in \mathcal{A}$, a et $[\mathcal{D}, a] = i\gamma^\mu \partial_\mu a$ sont des opérateurs de multiplication par des éléments de \mathcal{A} , ils appartiennent donc aux domaines des dérivations $\delta^n = [|\mathcal{D}|^n, \cdot]$ puisque le domaine de toutes les puissances $|\mathcal{D}|^n$ est formé des éléments de $\mathcal{A} \otimes \mathbb{C}^{2^{\lfloor n/2 \rfloor}}$.

Pour montrer que l'axiome d'orientabilité est satisfait, nous devons exhiber un cycle de Hochschild c tel que $\pi(c) = \gamma$. Pour cela, introduisons

$$c = \sum_{\sigma \in S_n} \epsilon(\sigma) U_{\sigma(n)}^{-1} \dots U_{\sigma(1)}^{-1} \otimes U_{\sigma(1)} \otimes \dots \otimes U_{\sigma(n)}. \quad (4.30)$$

c est un cycle de Hochschild car

$$\begin{aligned} bc &= \sum_{i=1}^{N-1} (-1)^i \sum_{\sigma \in S_n} \epsilon(\sigma) U_{\sigma(n)}^{-1} \dots U_{\sigma(1)}^{-1} \otimes U_{\sigma^1} \otimes \dots \otimes U_{\sigma(i)} U_{\sigma(i+1)} \otimes \dots \otimes U_{\sigma(n)} \\ &\quad + \sum_{\sigma \in S_n} \epsilon(\sigma) U_{\sigma(n)}^{-1} \otimes \dots \otimes U_{\sigma(2)}^{-1} \otimes U_{\sigma(2)} \otimes \dots \otimes U_{\sigma(n)} \\ &\quad + \sum_{\sigma \in S_n} \epsilon(\sigma) (-1)^N U_{\sigma(n-1)}^{-1} \otimes \dots \otimes U_{\sigma(1)}^{-1} \otimes U_{\sigma(1)} \otimes \dots \otimes U_{\sigma(n-1)} \\ &= 0 \end{aligned} \quad (4.31)$$

car le premier terme du second membre de cette équation est identiquement nul (changer σ en $\sigma\tau_i$, où τ_i est la permutation qui échange i et $i+1$) alors que la somme des deux autres termes est aussi nulle (changer σ en $\sigma\tau$, où τ est la permutation circulaire).

Il est clair que

$$\begin{aligned} \pi(c) &= \sum_{\sigma \in S_n} (2i\pi)^n \epsilon(\sigma) \gamma^{\sigma(1)} \dots \gamma^{\sigma(n)} \\ &= (2i\pi)^n n! \gamma^1 \dots \gamma^n. \end{aligned} \quad (4.32)$$

Lorsque la dimension n est paire, la chiralité γ^{n+1} est définie par

$$\gamma^{n+1} = i^{n/2} \gamma^1 \dots \gamma^n, \quad (4.33)$$

ce qui montre que $c' = \frac{i^{n/2}}{(2i\pi)^n n!} c$ est un cycle de Hochschild tel que $\pi(c') = \gamma^{n+1}$ et prouve de la sorte la validité de l'axiome d'orientabilité. De même, lorsque $n = m+1$ est impair les matrices de Dirac en dimension n sont obtenues en adjoignant aux matrices de Dirac de la dimension m , la chiralité γ^{m+1} . En posant $c' = \frac{i^{[n/2]}}{(2i\pi)^n n!}$, on obtient $\pi(c') = 1$, ce qui vérifie l'axiome d'orientabilité en dimension impaire.

Afin de vérifier l'axiome de finitude, nous devons déterminer la trace de Dixmier de manière explicite pour tous les opérateurs de la forme $\pi(a)|\mathcal{D}|^{-n}$.

Proposition 4.1.7 *Pour tout $a \in \mathcal{A}_\theta$, on a*

$$\mathrm{Tr}_\omega(\pi(a)|\mathcal{D}|^{-n}) = \frac{1}{2^{n-[n/2]} \pi^{(n/2)} \Gamma(n/2 + 1)} \tau(a), \quad (4.34)$$

où τ est la trace canonique de \mathcal{A}_θ .

Démonstration:

Puisque le tore satisfait à l'axiome de régularité, il est clair que l'application $a \mapsto \mathrm{Tr}_\omega(\pi(a)|\mathcal{D}|^{-n})$ est une trace sur \mathcal{A}_θ [CGS]. Ainsi, elle s'annule sur tous les éléments non centraux et est proportionnelle à τ sur ces éléments. Le centre de \mathcal{A}_θ est isomorphe à l'algèbre des fonctions lisses sur un tore ordinaire et \mathcal{D} se réduit dans ce cas à l'opérateur de Dirac usuel. Aussi la trace de Dixmier est-elle dans ce cas proportionnelle à l'intégrale usuelle et s'annule sur tous les unitaires centraux U^p tels que $p \neq 0$. Ainsi, $a \mapsto \mathrm{Tr}_\omega(\pi(a)|\mathcal{D}|^{-n})$ est proportionnelle à la trace canonique

τ , le coefficient de proportionnalité étant déterminé par (4.29). \square

L'intersection \mathcal{H}^∞ des domaines des puissances de \mathcal{D} est formé des éléments de \mathcal{H} qui sont des suites à décroissance rapide. Par conséquent, $\mathcal{H}^\infty = \mathcal{A}^\theta \otimes \mathbb{C}^{2^{[n/2]}}$ est un module trivial sur \mathcal{A}_θ . De plus la relation (1.17) intervenant dans l'axiome de finitude s'écrit

$$\sum_{i=1}^{2^{[n/2]}} \tau(\xi^* a \zeta_i) = \text{Tr}_\omega \left((\xi, a \zeta) | \mathcal{D} |^{-n} \right) = \pi^{(n/2)} 2^{n-[n/2]} \Gamma(n/2 + 1) \tau((\xi, \zeta) a) \quad (4.35)$$

pour tous $\xi, \zeta \in \mathcal{H}^\infty$ et $a \in \mathcal{A}$. Puisque τ est fidèle, cela équivaut à

$$(\xi, \zeta) = \sum_{i=1}^{2^{[n/2]}} \xi^* \zeta_i \quad (4.36)$$

qui définit bien une forme hermitienne sur \mathcal{H}^∞ .

Nous avons vérifié que tous les axiomes de la géométrie non commutative sont satisfaits pour le tore non commutatif, à l'exception de la dualité de Poincaré, que nous admettons sans preuve.

4.1.4 Calcul différentiel

Afin de pouvoir étudier les théories de jauge sur le tore non commutatif, nous devons déterminer le calcul différentiel associé au triplet spectral $(\mathcal{A}, \mathcal{H}, \mathcal{D})$. Pour cela, commençons par étudier la représentation π de l'algèbre différentielle universelle donnée par

$$a_0 \delta a_1 \dots \delta a_p \mapsto \pi(a_0) [\mathcal{D}, a_1] \dots [\mathcal{D}, \pi(a_p)] = (i)^n \gamma^{\mu_1} \dots \gamma^{\mu_p} a_0 \partial_{\mu_1} a_1 \dots \partial_{\mu_p} a_p, \quad (4.37)$$

pour tout $a_0, a_1, \dots, a_p \in \mathcal{A}$. Réciproquement, tout produit de p matrices de Dirac $\gamma^{\mu_1} \dots \gamma^{\mu_p}$ est élément de $\pi(\Omega^p(\mathcal{A}))$ puisque

$$\pi(\delta U_1 \dots \delta U_p) = (-2\pi)^p \gamma^{\mu_1} \dots \gamma^{\mu_p}, \quad (4.38)$$

ce qui montre que

$$\pi(\Omega^p(\mathcal{A})) = \left\{ \omega_{\mu_1 \dots \mu_p} \gamma^{\mu_1} \dots \gamma^{\mu_p} \text{ avec } \omega_{\mu_1 \dots \mu_p} \in \mathcal{A}_\theta \right\}. \quad (4.39)$$

On montre alors par récurrence sur p qu'un élément quelconque ω de $\pi(\Omega^p(\mathcal{A}))$ s'écrit de manière unique sous la forme

$$\omega = \sum_{0 \leq 2k \leq \inf(p, n)} \sum_{\mu_1 < \dots < \mu_{\inf(p, n) - 2k}} \omega_{\mu_1 \dots \mu_{\inf(p, n) - 2k}} \gamma^{\mu_1 \dots \mu_{\inf(p, n) - 2k}}, \quad (4.40)$$

avec $\omega_{\mu_1 \dots \mu_k} \in \mathcal{A}_\theta$ complètement antisymétrique et

$$\gamma^{\mu_1 \dots \mu_k} = \frac{1}{k!} \sum_{\sigma \in S_k} \epsilon(\sigma) \gamma^{\mu_{\sigma(1)}} \dots \gamma^{\mu_{\sigma(k)}}. \quad (4.41)$$

Cette décomposition nous permet de déterminer $\pi(\mathcal{J})$ explicitement.

Lemme 4.1.2 *Les éléments de $\pi(\mathcal{J}) \cap \pi(\Omega^p(\mathcal{A}))$ sont les éléments de $\pi(\Omega^p(\mathcal{A}))$ qui se développent sur un nombre $k < p$ de matrices de Dirac.*

Démonstration:

Commençons par montrer que $1 \in \pi(\Omega^2(\mathcal{A}))$. En effet, si $U = U_1$, on a

$$U [\mathcal{D}, U^{-1}] + [\mathcal{D}, U] U^{-1} = 0 \quad (4.42)$$

ce qui implique que

$$1 = \frac{1}{8\pi^2} \left([\mathcal{D}, U] [\mathcal{D}, U^{-1}] + [\mathcal{D}, U^{-1}] [\mathcal{D}, U] \right). \quad (4.43)$$

Puisque J est un idéal bilatère, on conclut en multipliant 1 par n'importe quel élément de $\pi(\Omega^{p-2}(\mathcal{A}))$, qui est une somme de produits arbitraires d'au plus $p-2$ matrices de Dirac.

Réciproquement, si $c = \sum_i [\mathcal{D}, \pi(a_0^i)] \dots [\mathcal{D}, \pi(a_p^i)]$ avec $\sum_i \pi(a_0^i) [\mathcal{D}, \pi(a_1^i)] \dots [\mathcal{D}, \pi(a_p^i)] = 0$, on a

$$\begin{aligned} c &= \sum_i \partial_{\mu_0} a_0^i \dots \partial_{\mu_p} a_p^i \gamma^{\mu_0} \dots \gamma^{\mu_p} \\ &= \sum_i \left(\partial_{\mu_0} (a_0^i \partial_{\mu_1} a_1^i \dots \partial_{\mu_p} a_p^i) - a_0^i \partial_{\mu_0} (\partial_{\mu_1} a_1^i \dots \partial_{\mu_p} a_p^i) \right) \gamma^{\mu_0} \dots \gamma^{\mu_p} \\ &= - \sum_i a_0^i \partial_{\mu_0} (\partial_{\mu_1} a_1^i \dots \partial_{\mu_p} a_p^i) \gamma^{\mu_0} \dots \gamma^{\mu_p}. \end{aligned} \quad (4.44)$$

La règle de commutation des dérivations $[\partial_\mu, \partial_\nu] = 0$ permet alors de remplacer le produit $\gamma^\mu \gamma^\nu$ par sa partie symétrique, ce qui diminue de 2 le nombre de matrices de Dirac apparaissant dans l'expression de c . \square

On en déduit aisément que si $p > n$ alors $\pi(\Omega^p(\mathcal{A})) \subset \pi(J)$, ce qui implique que $\Omega_{\mathcal{D}}^p(\mathcal{A}) = 0$. De plus, tout élément de $\Omega_{\mathcal{D}}^p(\mathcal{A})$ a, pour $p \leq n$, un unique représentant formé de sommes de produits totalement antisymétrisés de p matrices de Dirac.

Par convention, nous choisissons dans chaque classe le représentant totalement antisymétrique, ce qui nous mène à l'identification de $\Omega_{\mathcal{D}}^p(\mathcal{A})$, pour $0 \leq p \leq n$ avec l'ensemble des éléments de la forme $\omega_{\mu_1, \dots, \mu_p} \gamma^{\mu_1} \dots \gamma^{\mu_p}$ où $\omega_{\mu_1, \dots, \mu_p} \in \mathcal{A}_\theta$ est totalement antisymétrique en μ_1, \dots, μ_p , alors que $\Omega_{\mathcal{D}}^p(\mathcal{A}) = 0$ pour $p > n$.

Par analogie avec le cas classique, nous notons dx^μ la 1-forme $i\gamma^\mu$ et nous écrivons le produit de matrices de Dirac sous la forme

$$dx^{\mu_1} \wedge \dots \wedge dx^{\mu_p} = \gamma^{\mu_1} \dots \gamma^{\mu_p}, \quad (4.45)$$

avec $\mu_1 < \dots < \mu_p$. On peut alors mettre n'importe quel élément ω de $\Omega_{\mathcal{D}}^p(\mathcal{A})$ sous la forme

$$\omega = \frac{1}{p!} \omega_{\mu_1 \dots \mu_p} dx^{\mu_1} \wedge \dots \wedge dx^{\mu_p}, \quad (4.46)$$

avec $\omega_{\mu_1 \dots \mu_p} \in \mathcal{A}$ totalement antisymétrique, ce qui nous permet d'obtenir une formulation du calcul différentiel qui est formellement analogue à celle du cas commutatif.

Proposition 4.1.8 *Si $\omega = \frac{1}{p!} \omega_{\mu_1 \dots \mu_p} dx^{\mu_1} \wedge \dots \wedge dx^{\mu_p} \in \Omega_{\mathcal{D}}^p(\mathcal{A})$ et $\eta = \frac{1}{q!} \eta_{\nu_1 \dots \nu_q} dx^{\nu_1} \wedge \dots \wedge dx^{\nu_q} \in \Omega_{\mathcal{D}}^q(\mathcal{A})$ sont deux formes différentielles alors la dérivée extérieure est donnée par*

$$d\omega = \frac{1}{p!} \partial_\nu \omega_{\mu_1 \dots \mu_p} dx^\nu \wedge dx^{\mu_1} \wedge \dots \wedge dx^{\mu_p}, \quad (4.47)$$

et le produit par

$$\omega \eta = \frac{1}{p!q!} \omega_{\mu_1 \dots \mu_p} \eta_{\nu_1 \dots \nu_q} dx^{\mu_1} \wedge \dots \wedge dx^{\mu_p} \wedge dx^{\nu_1} \wedge \dots \wedge dx^{\nu_q}. \quad (4.48)$$

Indiquons simplement le fil directeur de la démonstration, qui se fait en trois étapes. Nous devons d'abord exprimer ω et η à l'aide de matrices de Dirac. Nous effectuons alors les opérations en questions (dérivation et produit) et nous antisymétrisons entièrement le résultat. Puis nous écrivons le résultat en utilisant à nouveau les notations de l'algèbre extérieure.

Il est important de noter que dx^μ n'est pas la différentielle d'une quelconque coordonnée x^μ puisque nous n'avons jamais défini x^μ ! Seuls les symboles $dx^{\mu_1} \wedge \dots \wedge dx^{\mu_p}$ ont un sens : ils forment une base du \mathcal{A} -module libre $\Omega_{\mathcal{D}}(\mathcal{A})$. En particulier, les "produits" $dx^{\mu_1} \wedge \dots \wedge dx^{\mu_p}$ lorsque $1 \leq \mu_1 < \dots < \mu_p \leq n$ forment une base de $\Omega_{\mathcal{D}}^p(\mathcal{A})$, ce qui prouve que sa dimension est $C_n^p = \frac{n!}{p!(n-p)!}$.

Cela nous montre que $\Omega_{\mathcal{D}}^p(\mathcal{A})$ et $\Omega_{\mathcal{D}}^{n-p}(\mathcal{A})$ ont même dimension. En complète analogie avec le cas commutatif, nous définissons un isomorphisme de \mathcal{A} -modules entre $\Omega_{\mathcal{D}}^p(\mathcal{A})$ et $\Omega_{\mathcal{D}}^{n-p}(\mathcal{A})$ par

$$* (dx^{\mu_1} \wedge \dots \wedge dx^{\mu_p}) = \frac{1}{(n-p)!} \epsilon^{\mu_1 \dots \mu_p}{}_{\nu_1 \dots \nu_{n-p}} dx^{\nu_1} \wedge \dots \wedge dx^{\nu_{n-p}} \quad (4.49)$$

où ϵ est le tenseur complètement antisymétrique associé à la métrique euclidienne. Puisqu'il est absolument identique à celui défini dans le cas commutatif, il est clair que nous avons $*^2 \omega = (-1)^{p(n-p)} \omega$ pour tout $\omega \in \Omega_{\mathcal{D}}^p(\mathcal{A})$.

La trace canonique τ sur \mathcal{A}_θ est parfaitement analogue à l'intégrale sur le tore usuel de volume 1, puisque

$$\tau \left(\sum_{p \in \mathbb{Z}^n} a_p U^p \right) = a_0. \quad (4.50)$$

Aussi la noterons-nous dorénavant comme une intégrale : $\tau(a) = \int a$ pour tout $a \in \mathcal{A}_\theta$. Etant donné que la dérivée d'un élément de \mathcal{A}_θ ne contient plus de terme constant, l'intégrale d'une dérivée est nulle.

Lemme 4.1.3 *Pour tout $a \in \mathcal{A}_\theta$, on a*

$$\int \partial_\mu a = 0. \quad (4.51)$$

Ce résultat élémentaire s'avère d'une grande utilité car il permet d'intégrer par parties au niveau des éléments de l'algèbre,

$$\int a \partial_\mu (b) = - \int \partial_\mu (a) b \quad (4.52)$$

pour tous $a, b \in \mathcal{A}_\theta$.

Rappelons que la trace de Dixmier est reliée à la trace canonique \int par

$$\text{Tr}_\omega \left(\pi(a) |\mathcal{D}|^{-n} \right) = \frac{2^{[n/2]-n}}{\pi^{n/2} \Gamma(n/2 + 1)} \int a \quad (4.53)$$

pour tout $a \in \mathcal{A}$. Par linéarité, cela se généralise aux formes de degré supérieur en incluant une trace sur les matrices de Dirac. Si $\omega \in \pi(\Omega^p(\mathcal{A}))$, alors on peut l'écrire sous la forme $\omega_{\mu_1 \dots \mu_p} \gamma^{\mu_1} \dots \gamma^{\mu_p}$ et on a

$$\begin{aligned} \text{Tr}_\omega \left(\pi(\omega) |\mathcal{D}|^{-n} \right) &= \frac{1}{2^{[n/2]}} \text{Tr} (\gamma^{\mu_1} \dots \gamma^{\mu_p}) \text{Tr}_\omega \left(\pi(\omega_{\mu_1 \dots \mu_p}) |\mathcal{D}|^{-n} \right) \\ &= \frac{1}{2^n \pi^{n/2} \Gamma(n/2 + 1)} \text{Tr} (\gamma^{\mu_1} \dots \gamma^{\mu_p}) \int \omega_{\mu_1 \dots \mu_p}. \end{aligned} \quad (4.54)$$

Cela prouve que l'application

$$\langle \pi(\omega), \pi(\eta) \rangle = \text{Tr}_\omega \left(\pi(\omega) \pi(\eta)^* |\mathcal{D}|^{-n} \right) \quad (4.55)$$

defini un produit scalaire sur $\pi(\Omega^p(\mathcal{A}))$. En effet, puisque Tr_ω se réduit à la trace usuelle sur les matrices de Dirac et à la trace canonique sur \mathcal{A}_θ qui sont deux traces fidèles, il est clair que l'on ne peut avoir $\langle \pi(\omega), \pi(\omega) \rangle = 0$ sans avoir $\pi(\omega) = 0$. Puisque nous savons déjà (cf §1.2.1) que cette application est une forme sesquilinéaire hermitienne positive, nous avons montré que c'est un produit scalaire.

De plus, le choix d'un représentant totalement antisymétrique dans chaque classe correspond au choix du représentant orthogonal à tous les éléments de $\pi(\mathcal{J}) \cap \pi(\Omega^p(\mathcal{A}))$. En effet, le représentant totalement antisymétrique d'un élément de $\Omega_D^p(\mathcal{A})$ peut toujours se mettre sous la forme $\omega \gamma^{\mu_1} \dots \gamma^{\mu_p}$, avec $1 \leq \mu_1 < \dots < \mu_p \leq n$ et tout élément de $\pi(\mathcal{J}) \cap \pi(\Omega^p(\mathcal{A}))$ se développe sur une somme de produits de k matrices de Dirac du type $\gamma^{\nu_1} \dots \gamma^{\nu_k}$, où $k < p$ est un entier ayant même parité que p . Puisque $k < p$, il existe dans le produit $\gamma^{\mu_1} \dots \gamma^{\mu_p}$ une matrice γ^μ qui ne soit pas dans le produit $\gamma^{\nu_1} \dots \gamma^{\nu_k}$. Quitte à changer le signe du produit, nous pouvons supposer que cette matrice est γ^{μ_p} . On a alors

$$\begin{aligned} \text{Tr} \left((\gamma^{\mu_1} \dots \gamma^{\mu_p})^* \gamma^{\nu_1} \dots \gamma^{\nu_k} \right) &= \text{Tr} \left(\gamma^{\mu_p} \dots \gamma^{\mu_1} \gamma^{\nu_1} \dots \gamma^{\nu_k} \right) \\ &= (-1)^{p-1} \text{Tr} \left(\gamma^{\mu_{p-1}} \dots \gamma^{\mu_1} \gamma^{\mu_p} \gamma^{\nu_1} \dots \gamma^{\nu_k} \right) \\ &= (-1)^{p+k-1} \text{Tr} \left(\gamma^{\mu_{p-1}} \dots \gamma^{\mu_1} \gamma^{\nu_1} \dots \gamma^{\nu_k} \gamma^{\mu_p} \right) \\ &= -\text{Tr} \left(\gamma^{\mu_p} \dots \gamma^{\mu_1} \gamma^{\nu_1} \dots \gamma^{\nu_k} \right). \end{aligned} \quad (4.56)$$

Cela prouve que $\text{Tr} \left(\gamma^{\mu_p} \dots \gamma^{\mu_1} \gamma^{\nu_1} \dots \gamma^{\nu_k} \right) = 0$, ce qui implique que le représentant totalement antisymétrique est orthogonal à $\pi(\mathcal{J}) \cap \pi(\Omega^p(\mathcal{A}))$.

Enfin, montrons que le tore non commutatif est une "variété sans bord", ce qui nous permettra d'appliquer tous les résultats relatifs aux théories de Yang-Mills et de Chern-Simons

Proposition 4.1.9 *Le triplet spectral $(\mathcal{A}, \mathcal{H}, \mathcal{D})$ du tore non commutatif satisfait à la condition de fermeture.*

Démonstration:

Soit γ la chiralité de $(\mathcal{A}, \mathcal{H}, \mathcal{D})$ ($\gamma = \gamma^{n+1}$ si la dimension est paire et $\gamma = 1$ si la dimension est impaire). Par définition de la condition de fermeture, nous devons montrer que

$$\text{Tr}_\omega \left([\mathcal{D}, \pi(a_0)] \dots [\mathcal{D}, \pi(a_n)] |\mathcal{D}|^n \right) = 0 \quad (4.57)$$

pour tous $a_0, \dots, a_n \in \mathcal{A}$.

Commençons par étudier le cas de la dimension paire. Nous savons que

$$\gamma^{n+1} \gamma^{\mu_1} \dots \gamma^{\mu_n} = (-i)^{n/2} \epsilon^{\mu_1 \dots \mu_n}, \quad (4.58)$$

où $\epsilon^{\mu_1 \dots \mu_n}$ est le tenseur totalement antisymétrique tel que $\epsilon^{12 \dots n} = 1$. On en déduit que

$$\text{Tr} \left(\gamma^{n+1} \gamma^{\mu_1} \dots \gamma^{\mu_n} \right) = (-2i)^{n/2} \epsilon^{\mu_1 \dots \mu_n}. \quad (4.59)$$

En dimension impaire, nous avons aussi

$$\text{Tr} \left(\gamma^{n+1} \gamma^{\mu_1} \dots \gamma^{\mu_n} \right) = (-2i)^{[n/2]} \epsilon^{\mu_1 \dots \mu_n}. \quad (4.60)$$

En effet, si γ^{n+1} apparaît un nombre paire de fois dans la relation précédente, nous pouvons l'éliminer en utilisant $(\gamma^{n+1})^2 = 1$. Il nous reste un produit d'un nombre impair de matrices de Dirac en dimension paire $n - 1$ et la relation précédente est vérifiée puisque ces deux membres sont nuls. S'il y a un nombre impair de matrices égales à γ^{n+1} et si ce nombre est plus grand que 1, alors les deux membres de l'équation précédente sont identiquement nuls. Enfin, si une seule de ces matrices est égale à γ^{n+1} nous sommes ramenés à l'étude du cas pair.

En conséquence, nous avons

$$\begin{aligned} & \text{Tr}_\omega ([\mathcal{D}, \pi(a_0)] \dots [\mathcal{D}, \pi(a_n)] | \mathcal{D}^n) \\ &= \frac{(-2i)^{[n/2]}}{2^n \pi^{n/2} \Gamma(n/2+1)} \epsilon^{\mu_1 \dots \mu_n} \int \partial_{\mu_1} a_1 \dots \partial_{\mu_p} a_p \\ &= \frac{(-2i)^{[n/2]}}{2^n \pi^{n/2} \Gamma(n/2+1)} \epsilon^{\mu_1 \dots \mu_n} \int \left(\partial_{\mu_1} (a_1 \partial_{\mu_2} a_2 \dots \partial_{\mu_p} a_p) - a_1 \partial_{\mu_1} (\partial_{\mu_2} a_2 \dots \partial_{\mu_p} a_p) \right) \\ &= 0, \end{aligned} \tag{4.61}$$

où nous avons utilisé la relation $\int \partial_{\mu_1} = 0$ ainsi que la commutation des dérivations. \square

De plus, avec les notations que nous avons introduites, toute l'algèbre différentielle sur \mathcal{A}_θ est formellement identique à l'algèbre des formes différentielles usuelles.

Enfin, il découle de l'étude précédente et de la normalisation de \int que celle-ci coïncide avec l'intégrale \int .

Proposition 4.1.10 *Pour tout $a \in \mathcal{A}$, on a*

$$\int a ds^n = \int a \tag{4.62}$$

ainsi que

$$\int (\gamma a_0 da_1 \dots da_n) ds^n = \epsilon^{\mu_1 \dots \mu_n} \int (a_0 \partial_{\mu_1} a_1 \dots \partial_{\mu_n} a_n). \tag{4.63}$$

Par conséquent, l'utilisation de la notation \int ne présente pas d'utilité dans le cas du tore et nous la remplacerons par \int et, le cas échéant, par une contraction avec le tenseur totalement antisymétrique .

4.1.5 Les symétries et le tenseur énergie-impulsion

Dans le cas général, les symétries d'un espace non commutatif sont définies comme les automorphismes de l'algèbre des coordonnées. Pour étudier les symétries du tore non commutatif, il nous faut donc étudier les automorphismes de l'algèbre \mathcal{A}_θ . Nous ne déterminerons pas tous les automorphismes de \mathcal{A}_θ , mais nous allons simplement en donner quelques-uns et étudier leur signification en théorie des champs que l'on peut développer sur le tore non commutatif.

Puisque \mathcal{A}_θ est en général une algèbre non commutative, il est clair que l'on peut construire des automorphismes intérieurs. Ces derniers correspondent aux symétries de jauge sur lesquelles nous reviendrons dans les deux dernières parties de cette thèse.

L'étude du cas commutatif suggère l'existence de symétries de translation. En effet, le tore de dimension n peut être identifié au groupe $(S^1)^n$ qui agit sur lui-même par translation. Cette action translate toutes les fonctions sur le tore, aussi définissons-nous l'action de $\alpha \in (S^1)^n$ (considéré comme le quotient $\mathbb{R}^n / \mathbb{Z}^n$) sur les monômes de base de \mathcal{A}_θ par

$$T_\alpha(U^p) = e^{2i\pi\alpha \cdot p} U^p. \tag{4.64}$$

Le produit dans \mathcal{A}_θ est donné par $U^p U^q = e^{i\pi\theta(p,q)} U^{p+q}$ ce qui implique que T_α est un automorphisme de \mathcal{A}_θ car

$$T_\alpha(U^p)T_\alpha(U^q) = e^{2i\pi\alpha.(p+q)} U^p U^q = T_\alpha(U^p U^q), \quad (4.65)$$

ainsi que $T_\alpha T_{-\alpha} = T_{-\alpha} T_\alpha = 1$ pour tout $\alpha \in (S^1)^n$.

Au niveau infinitésimal, cette transformation correspond aux dérivations ∂_μ que nous avons introduites lors de la construction de l'opérateur de Dirac. En effet, lorsque $\delta\alpha$ tend vers 0 on a

$$T_{\delta\alpha}(U^p) = e^{2i\pi\delta\alpha.p} U^p = U^p + (\delta\alpha)^\mu U^p + O(\delta\alpha^2). \quad (4.66)$$

Dans le cas classique, une symétrie continue d'une théorie de champs donne naissance à un courant conservé. Pour étudier ce qui se passe sur le tore non commutatif, nous devons d'abord définir ce que nous entendons par champ sur le tore non commutatif.

Un champ scalaire sur le tore non commutatif est défini comme un élément Φ de \mathcal{A}_θ , ce qui est l'analogie d'un champ scalaire usuel qui est simplement une fonction à valeurs réelles ou complexes définie sur l'espace-temps. Bien entendu, cela se généralise à des champs scalaires portant un indice supplémentaire qui sont des matrices $(\Phi_i)_{1 \leq i \leq N} \in (\mathcal{A}^\theta)^N$ ou à des éléments d'un module projectif fini à droite sur \mathcal{A} , ce qui représente des champs ayant une topologie non triviale.

Considérons une fonction \mathcal{L} de $\mathcal{A}_\theta \times (\mathcal{A}_\theta)^n$, appelée lagrangien, et associons à tout champs scalaire Φ un nombre complexe $S[\Phi]$, appelé action de Φ , par

$$S[\Phi] = \int \mathcal{L}(\Phi, \partial_\mu \Phi). \quad (4.67)$$

Bien entendu, ces définitions sont identiques aux définitions classiques de la théorie des champs et nous allons déterminer les points critiques de la fonctionnelle S .

Pour les lagrangiens du type

$$\mathcal{L}(\Phi, \partial_\mu \Phi) = \frac{1}{2} g^{\mu\nu} \partial_\mu \Phi \partial_\nu \Phi - V(\Phi), \quad (4.68)$$

où $g^{\mu\nu}$ est une matrice positive et $V(\Phi)$ un polynôme en Φ , nous pouvons déterminer les équations d'Euler associées à la minimisation de l'action. Si nous ne faisons pas l'hypothèse précédente sur la forme de \mathcal{L} , le problème est nettement plus difficile à traiter et nous étudierons ultérieurement le problème des équations de Yang-Mills (cf §4.2.2).

Φ est un extremum de l'action si et seulement si, pour tout $\delta\Phi \in \mathcal{A}_\theta$, on a

$$S[\Phi + t\delta\Phi] - S[\Phi] = O(t^2) \quad (4.69)$$

lorsque $t \rightarrow 0$. On a

$$\begin{aligned} \frac{1}{2} \int g^{\mu\nu} \partial_\mu (\Phi + t\delta\Phi) \partial_\nu (\Phi + t\delta\Phi) - \frac{1}{2} \int g^{\mu\nu} \partial_\mu \Phi \partial_\nu \Phi = \\ t \int g^{\mu\nu} \partial_\mu \Phi \partial_\nu (\delta\Phi) + o(t^2) = \\ -t \int g^{\mu\nu} \partial_\mu \partial_\nu \Phi \delta\Phi + o(t^2), \end{aligned} \quad (4.70)$$

après intégration par parties. Puisque V est un polynôme que l'on écrit sous la forme

$$V(\Phi) = \sum_{k=0}^{k=p} a_k \Phi^k, \quad (4.71)$$

on a

$$V(\Phi + t\delta\Phi) = t \sum_{k=0}^{k=p} \sum_{l=0}^{k-1} a_k \Phi^l \delta\Phi \Phi^{k-1-l} + O(t^2). \quad (4.72)$$

Utilisant les propriétés de la trace, on a

$$\int V(\Phi + t\delta\Phi) = t \int V'(\Phi) \delta\Phi + O(t^2). \quad (4.73)$$

On en déduit que

$$S[\Phi + t\delta\Phi] - S[\Phi] = - \int (g^{\mu\nu} \partial_\mu \partial_\nu \Phi + V'(\Phi)) \delta\Phi + o(t^2). \quad (4.74)$$

Puisque (4.69) doit être vraie quelque soit $\delta\Phi$, on obtient

$$g^{\mu\nu} \partial_\mu \partial_\nu \Phi + V'(\Phi) = 0 \quad (4.75)$$

en utilisant la fidélité de la trace \int .

Cette équation est tout-à-fait similaire à l'équation classique d'un champ scalaire dans un potentiel. Cependant, nous avons eu besoin de la forme particulière du lagrangien pour obtenir ces équations. Dans le cas général, il n'est pas possible d'obtenir des équations du mouvement aussi simples, du fait de la non commutativité de $\delta\Phi$: nous devons tenir compte des commutateurs non triviaux qui apparaissent lorsque nous mettons $\delta\Phi$ à gauche, comme on peut s'en convaincre en étudiant le lagrangien plus général,

$$\mathcal{L}(\Phi, \partial_\mu \Phi) = \frac{1}{2} g^{\mu\nu}(\Phi) \partial_\mu \Phi \partial_\nu \Phi, \quad (4.76)$$

correspondant au modèle σ non linéaire.

Nous pouvons maintenant discuter les effets de l'invariance par translation sur le Lagrangien précédent. Dans le cas classique, le théorème de Noether nous montre que l'invariance par translation est à l'origine de la conservation du tenseur énergie-impulsion $\partial_\mu T^{\mu\nu} = 0$ avec $T_{\mu\nu} = \partial_\mu \Phi \partial_\nu \Phi - g^{\mu\nu} \mathcal{L}(\Phi, \partial_\lambda \Phi)$. En effet, on vérifie que cette équation est satisfaite en utilisant les équations du mouvement. Dans le cas du tore non commutatif, le même tenseur énergie-impulsion n'est pas conservé, car on a $\partial_\mu T^{\mu\nu} \neq 0$ avec

$$T^{\mu\nu} = \partial^\mu \Phi \partial^\nu \Phi - g^{\mu\nu} \left(\frac{1}{2} \partial_\rho \Phi \partial^\rho \Phi + V(\Phi) \right). \quad (4.77)$$

Ce tenseur-énergie impulsion n'est pas non plus symétrique. Si on le symétrise, on obtient un nouveau tenseur $\tilde{T}^{\mu\nu}$, donné par

$$\tilde{T}^{\mu\nu} = \frac{1}{2} (\partial^\mu \Phi \partial^\nu \Phi + \partial^\nu \Phi \partial^\mu \Phi) - g^{\mu\nu} \left(\frac{1}{2} \partial_\rho \Phi \partial^\rho \Phi + V(\Phi) \right). \quad (4.78)$$

On montre, en utilisant les équations du mouvement, que ce tenseur satisfait à la relation

$$\partial_\mu \tilde{T}^{\mu\nu} = \partial^\nu V(\Phi) - \frac{1}{2} (\partial^\nu \Phi V'(\Phi) + V'(\Phi) \partial^\nu \Phi). \quad (4.79)$$

En général, ce tenseur énergie-impulsion n'est pas conservé, mais lorsque la théorie est libre $V(\Phi) = \frac{m^2}{2} \Phi^2$, nous avons $\partial_\mu \tilde{T}^{\mu\nu} = 0$.

Nous ne pouvons pas en général déterminer un tenseur énergie-impulsion qui soit conservé car sa définition implique l'existence d'une métrique non triviale qui permette, dans le cas classique d'une variété riemannienne, de définir $T^{\mu\nu}$ indépendamment de l'invariance par translation par

$$T^{\mu\nu}(x) = \frac{\delta}{\delta g_{\mu\nu}(x)} \int_{\mathcal{M}} \sqrt{g} d^n x \mathcal{L}(\Phi, \partial\Phi). \quad (4.80)$$

Puisque nous n'avons pas de telle métrique sur le tore non commutatif, nous ne pouvons pas appliquer cette construction générale de $T_{\mu\nu}$.

Toutefois, il est possible de construire à partir du tenseur énergie-impulsion des charges conservées en adjoignant au tore non commutatif une coordonnée supplémentaire qui correspond au temps. Cela revient à considérer l'algèbre $C^\infty(\mathbb{R}) \otimes \mathcal{A}_\theta$, où $C^\infty(\mathbb{R})$ est l'algèbre des fonctions lisses sur \mathbb{R} , qui sont supposées décroître suffisamment vite à l'infini pour assurer la convergence des intégrales. Cela revient à dire que nous considérons des champs Φ qui sont des fonctions de t et qui se développent sur la base des modes de Fourier de \mathcal{A}_θ par

$$\Phi(t) = \sum_{p \in \mathbb{Z}^n} \Phi_p(t) U^p, \quad \forall t \in \mathbb{R}. \quad (4.81)$$

Si nous notons ∂_0 la dérivée par rapport au temps, la forme des équations du mouvement reste inchangée et nous définissons

$$P^\mu = \int T^{\mu 0}. \quad (4.82)$$

Bien entendu \int est la trace canonique sur \mathcal{A}_θ , qui est l'analogue de l'intégration sur les variables d'espace, ce qui implique que P^μ dépend a priori du temps t . Tout comme dans le cas classique, nous allons montrer que P^μ est une charge conservée.

Proposition 4.1.11 *Lorsque les équations du mouvement sont satisfaites, on a*

$$\frac{d}{dt} P^\mu = 0. \quad (4.83)$$

Démonstration:

La démonstration de ce résultat est purement algébrique car nous ne pouvons pas utiliser des concepts tels que "le flux à travers une surface fermée" dans le cas du tore non commutatif. Contentons-nous de calculer la dérivée par rapport au temps de P^μ dans le cas d'une métrique euclidienne, le cas général d'une métrique quelconque, mais constante se déduisant du cas euclidien par linéarité. En notant $\dot{\Phi}$ et $\ddot{\Phi}$ les dérivées par rapport au temps de Φ , on a

$$T^{0\mu} = \int \left(\dot{\Phi} \partial^\mu \Phi - \frac{g^{0\mu}}{2} \dot{\Phi} \dot{\Phi} - \frac{g^{0\mu}}{2} \sum_{i=1}^n \partial_i \Phi \partial_i \Phi + \frac{1}{2} V(\Phi) \right). \quad (4.84)$$

Lorsque $\mu = i \neq 0$ est une variable d'espace, on a simplement

$$T^{0i} = \int \dot{\Phi} \partial_i \Phi, \quad (4.85)$$

d'où

$$\frac{d}{dt} P^i = \int \left(\ddot{\Phi} \partial_i \Phi + \dot{\Phi} \partial_i \dot{\Phi} \right). \quad (4.86)$$

En utilisant l'équation du mouvement, $\partial_\mu \Phi \partial^\mu \Phi + V'(\Phi) = 0$, on élimine $\ddot{\Phi}$

$$\frac{d}{dt} P^i = \int \left(-\Delta(\Phi) \partial_i \Phi - V'(\Phi) \partial_i \Phi + \dot{\Phi} \partial_i \dot{\Phi} \right), \quad (4.87)$$

où $\Delta = \sum_i \partial_i \partial^i$ est le Laplacien. Puisque

$$\int \left(-V'(\Phi) \partial_i \Phi + \dot{\Phi} \partial_i \dot{\Phi} \right) = \int \left(-\partial_i V(\Phi) + \frac{1}{2} \partial_i (\dot{\Phi} \dot{\Phi}) \right) = 0, \quad (4.88)$$

il nous reste à montrer que

$$\int -\Delta(\Phi) \partial_i \Phi = 0. \quad (4.89)$$

En développant Φ sur les monômes

$$\Phi = \sum_{p \in \mathbb{Z}^n} \Phi_p U^p, \quad (4.90)$$

on obtient

$$\int -\Delta(\Phi) \partial_i \Phi = \sum_{p \in \mathbb{Z}^n} -(2\pi)^2 p_i p^2 \Phi_p \Phi_{-p} = 0 \quad (4.91)$$

en changeant p en $-p$.

Lorsque $\mu = 0$, on obtient

$$T^{00} = \frac{1}{2} \dot{\Phi} \dot{\Phi} - \frac{1}{2} \sum_{i=1}^n \partial_i \Phi \partial_i \Phi + V(\Phi). \quad (4.92)$$

On en déduit

$$\frac{d}{dt} \int T^{00} = 0, \quad (4.93)$$

après avoir éliminé $\ddot{\Phi}$ à l'aide des équations du mouvement. \square

Le second type de symétrie que nous allons discuter ici sont les symétries discrètes. Celles-ci sont l'analogie non commutatif des transformations modulaires du tore usuel, définies par l'action du groupe $SL_2(\mathbb{Z})$ sur le tore de dimension deux que nous identifions à $\mathbb{R}^2/\mathbb{Z}^2$.

Ces transformations s'étendent en géométrie non commutative de la manière suivante. A toute matrice à coefficients entiers de la forme,

$$\begin{pmatrix} a & b \\ c & d \end{pmatrix}, \quad \text{avec } ad - bc = 1, \quad (4.94)$$

on associe l'application de \mathcal{A}_θ dans elle-même donnée par

$$U_1 \mapsto V_1 = U_1^a U_2^b \quad \text{et} \quad U_2 \mapsto V_2 = U_1^c U_2^d. \quad (4.95)$$

En utilisant la relation $ad - bc = 1$, il est facile de voir que V_1 et V_2 satisfont les mêmes relations de commutation que U_1 et U_2 . De plus, cette matrice est inversible dans $SL_2(\mathbb{Z})$, ce qui prouve que l'application précédente est un automorphisme de \mathcal{A}_θ et correspond à une symétrie du tore non commutatif.

En dimension supérieure, toutes les transformations de $SL_n(\mathbb{Z})$ ne définissent pas des automorphismes de \mathcal{A}_θ . En effet, si M est une matrice de $SL_n(\mathbb{Z})$, alors, par analogie avec la dimension 2, nous définissons une application de \mathcal{A}_θ dans elle-même par

$$U^p \mapsto V^p = U^{Mp} \quad \forall p \in \mathbb{Z}^n. \quad (4.96)$$

Proposition 4.1.12 *L'application $U^p \mapsto V^p$ est un automorphisme si et seulement si $M^t \theta M - \theta \in M_n(\mathbb{Z})$.*

Démonstration:

Il suffit de remarquer que $V^p V^q = U^{Mp} U^{Mq} = e^{2i\pi\theta(Mp, Mq)} U^{p+q}$, ce qui implique que V^p et U^p satisfont aux mêmes relations de commutation si et seulement si $e^{2i\pi\theta(Mp, Mq)} = e^{2i\pi\theta(p, q)}$. Cela équivaut à dire que $\theta(Mp, Mq) - \theta(p, q) \in \mathbb{Z}$ quelque soient p et q , ce qui prouve la proposition précédente. \square

Cette démonstration nous montre aussi qu'il y a un isomorphisme entre les algèbres \mathcal{A}_θ et $\mathcal{A}_{M\theta}$. La réciproque est une question non résolue en dimension $n \geq 3$ [R4] : A quelles conditions sur θ et θ' les algèbres \mathcal{A}_θ et $\mathcal{A}_{\theta'}$ (ou leurs fermetures normiques) sont-elles isomorphes ? Certaines avancées concernant la Morita-équivalence de ces algèbres peuvent être trouvées dans [Schw].

Enfin, signalons que ces trois types d'automorphismes (automorphismes intérieurs, translations et automorphismes discrets) ainsi que leurs produits forment l'ensemble des automorphismes de \mathcal{A}_θ dans un certain nombre de cas [R4]. Cette remarque exclut la possibilité d'avoir suffisamment d'automorphismes pour développer une théorie de la gravitation, ces automorphismes devant jouer le rôle des difféomorphismes du tore usuel.

4.2 Théorie de Yang-Mills

4.2.1 Les champs de jauge

Nous allons maintenant aborder la construction des théories de jauge en utilisant le formalisme développé au cours du chapitre précédent. Pour avoir des relations plus familières, nous utilisons la notation $dx^{\mu_1} \wedge \dots \wedge dx^{\mu_p}$ pour désigner les éléments de base de l'espace des formes différentielles.

Avant de commencer notre étude, signalons que la plupart des propriétés de la théorie de Yang-Mills sur le tore non commutatif en dimension 2 ont été formulées dans [CR] et dans [Sp] en dimension supérieure. Cependant, cette formulation se base sur une toute autre définition de la théorie de Yang-Mills qui ne peut être généralisée pour des triplets spectraux quelconques. Nous allons reprendre cette étude à l'aide du formalisme développé au cours du chapitre 1, quitte à redémontrer des résultats connus.

Considérons un module projectif fini \mathcal{E} à droite sur $\mathcal{A} = \mathcal{A}_\theta$. Sans perte de généralité, nous supposons que \mathcal{E} est de la forme $e\mathcal{A}^N$, où $e \in M_N(\mathcal{A})$ satisfait à $e^2 = e = e^*$. De plus, la structure hermitienne canonique de \mathcal{A}^N induit sur \mathcal{E} une structure hermitienne.

Puisque $\Omega_{\mathcal{D}}^1(\mathcal{A})$ est formé des éléments de la forme $\omega_\mu dx^\mu$ avec $\omega_\mu \in \mathcal{A}$ et $dx^\mu = i\gamma^\mu$, l'action d'une connexion ∇ sur un élément quelconque $e\xi$ de \mathcal{E} , avec $\xi \in \mathcal{A}^N$, s'écrit

$$\nabla(e\xi) = (e\partial_\mu(e\xi) + eA_\mu e\xi) \otimes dx^\mu, \quad (4.97)$$

où $A_\mu \in M_N(\mathcal{A})$. Cette connexion est hermitienne si et seulement si la matrice A_μ est antihermitienne, ce que nous supposons toujours être le cas.

En utilisant la relation

$$F = edede + ed(eAe)e + eAeAe \quad (4.98)$$

qui nous donne la courbure d'une connexion comme une matrice de 2-formes (cf §1.3.2), nous pouvons, après avoir identifié les 2-formes avec les produits totalement antisymétriques, écrire

F sous la forme habituelle

$$F = \frac{1}{2}F_{\mu\nu}dx^\mu \wedge dx^\nu, \quad (4.99)$$

avec

$$F_{\mu\nu} = e\partial_\mu e\partial_\nu e - e\partial_\nu e\partial_\mu e + e\partial_\mu(eA_\nu e) - e\partial_\nu(eA_\mu e) + [eA_\mu e, eA_\nu e]. \quad (4.100)$$

Grâce aux propriétés des matrices de Dirac et à la commutation des dérivations, la courbure peut aussi s'écrire $F_{\mu\nu} = [\nabla_\mu, \nabla_\nu]$, où la dérivée covariante $\nabla_\mu : \mathcal{E} \mapsto \mathcal{E}$ est définie par la relation

$$\nabla(e\xi) = \nabla_\mu(e\xi) \otimes dx^\mu \quad (4.101)$$

pour tout $\xi \in \mathcal{A}^N$.

Lorsque \mathcal{A} est commutative (ce qui équivaut à $\theta \in M_n(\mathbb{Z})$), il n'existe pas de projecteur $e \in \mathcal{A}$. En effet, un tel élément est une fonction lisse sur le tore ordinaire qui ne prend que les valeurs 0 et 1, et qui ne peut être que constante en vertu de la connexité du tore. Toutefois lorsque \mathcal{A} est non commutative, il est possible de définir des projecteurs non triviaux dans \mathcal{A} appelés projecteurs de Power-Rieffel [R1].

Soient V_1 et V_2 deux éléments unitaires (par exemple des monômes U^p et U^q) de \mathcal{A} satisfaisant à la relation $U_1 V_2 = e^{2i\pi\lambda} V_2 V_1$ avec $\lambda \in]0, 1[$. Pour toute fonction lisse f du cercle dans \mathbb{R} dont les coefficients de Fourier sont notés a_k , nous définissons $f(U)$, pour $U \in \mathcal{A}$, par la relation

$$f(U) = \sum_{k \in \mathbb{Z}} a_k U^k. \quad (4.102)$$

Soit alors

$$e = f(V_1)V_2 + g(V_1) + (f(V_1)V_2)^* \quad (4.103)$$

où f et g sont deux fonctions lisses sur le cercle. Il est facile de montrer qu'il existe une infinité de fonctions f et g telles que e soit un projecteur. En particulier [C1], on peut construire une projection e telle que

$$\int e = \lambda \quad (4.104)$$

et

$$\frac{1}{2i\pi} \int e(\partial_1 e \partial_2 e - \partial_2 e \partial_1 e) = 1, \quad (4.105)$$

où nous avons noté ∂_1 et ∂_2 les deux dérivations définies par $\partial_i V_j = 2i\pi\delta_{ij}V_i$ pour $i, j \in \{1, 2\}$. Nous utiliserons cette projection ultérieurement lorsque nous étudierons les propriétés topologiques des champs de Yang-Mills (cf §4.2.3).

Lorsque la matrice θ est rationnelle, nous avons vu (cf §4.1.1) que \mathcal{A}_θ correspond à un fibré sur le tore usuel dont la fibre est une algèbre de matrices. Les fonctions de transition de ce fibré sont simplement données par la conjugaison par des matrices unitaires et constantes qui déterminent les lois de transformation des champs de jauge A_μ .

Ainsi, lorsque $\theta \in M_n(\mathbb{Q})$ la théorie de jauge basée sur le module trivial $\mathcal{E} = \mathcal{A}$ est une théorie de jauge sur le tore ordinaire, avec un fibré non trivial ayant des fonctions de transition constantes. L'étude de ce type de configurations sur le tore, avec des fonctions de transition constantes ou non, a été initiée dans [H] et est développée dans [Ba] et dans [LPR]. Nous n'étudierons pas plus avant le cas rationnel mais nous garderons présent à l'esprit que lorsque θ est rationnel la théorie de jauge est une théorie de jauge conventionnelle sur le tore commutatif.

4.2.2 Equations du mouvement et identités de Bianchi

Dans le cas du tore non commutatif, l'application

$$\langle \pi(\omega), \pi(\eta) \rangle = \text{Tr}_\omega \left(\pi(\omega)^* \pi(\eta) |D|^{-n} \right) \quad (4.106)$$

est un produit scalaire sur $\pi(\Omega^p(\mathcal{A}))$ et le choix du représentant totalement antisymétrique correspond à une projection orthogonale sur le supplémentaire orthogonal de $\pi(\mathcal{J})$ (cf §4.1.4).

Dans ce cas, l'action de Yang-Mills est donné par le carré de la norme de la courbure, et on a

$$S_{YM}[eA_\mu e] = -\frac{1}{2} \int \text{Tr} (F_{\mu\nu} F^{\mu\nu}) \quad (4.107)$$

car

$$F = \frac{1}{2} F_{\mu\nu} dx^\mu \wedge dx^\nu = \frac{1}{4} F_{\mu\nu} [i\gamma^\mu, i\gamma^\nu] \quad (4.108)$$

et

$$\text{Tr} ([i\gamma^\mu, i\gamma^\nu][i\gamma^\rho, i\gamma^\sigma]) = 2^{[n/2]} 4 (g^{\mu\sigma} g^{\nu\rho} - g^{\mu\rho} g^{\nu\sigma}). \quad (4.109)$$

Notons que le signe - dans l'action de Yang-Mills nous assure sa positivité, car $F_{\mu\nu}$ est antihermitien.

Puisque nous connaissons explicitement la courbure en fonction du champ de jauge $eA_\mu e$, il est possible de déterminer les équations du mouvement.

Proposition 4.2.1 *$eA_\mu e$ est un point stationnaire de l'action de Yang-Mills si et seulement si*

$$e\partial_\mu F^{\mu\nu} e + [eA_\mu e, F^{\mu\nu}] = 0, \quad (4.110)$$

avec

$$F_{\mu\nu} = e\partial_\mu e\partial_\nu e - e\partial_\nu e\partial_\mu e + e\partial_\mu (eA_\nu e)e - e\partial_\nu (eA_\mu e)e + [eA_\mu e, eA_\nu e]. \quad (4.111)$$

Démonstration:

La connexion définie par $eA_\mu e$ est un extremum de l'action si et seulement si

$$\frac{d}{dt} S_{YM}[eA_\mu e + t\delta A_\mu e]|_{t=0} = 0 \quad (4.112)$$

pour tout δA_μ . Au premier ordre en t , on a

$$S_{YM}[eA_\mu e + t\delta A_\mu e] - S_{YM}[eA_\mu e] = t\delta S = -t \int \text{Tr} (F_{\mu\nu} \delta F^{\mu\nu}) + o(t^2) \quad (4.113)$$

avec

$$\begin{aligned} \delta F_{\mu\nu} &= +e\partial_\mu (e\delta A_\nu e)e - e\partial_\nu (e\delta A_\mu e)e [e\delta A_\mu e, eA_\nu e] + [eA_\mu e, e\delta A_\nu e] \\ &= e [\partial_\mu + eA_\mu e, e\delta A_\nu e] e - e [\partial_\nu + eA_\nu e, e\delta A_\mu e] e. \end{aligned} \quad (4.114)$$

En posant $D_\mu(a) = [\partial_\mu + eA_\mu e, a]$ pour $a \in M_N(\mathcal{A})$, on a

$$\delta F_{\mu\nu} = eD_\mu(e\delta A_\nu e)e - eD_\nu(e\delta A_\mu e)e, \quad (4.115)$$

ce qui donne, puisque \int est une trace vérifiant la règle d'intégration par parties,

$$\delta S = 2 \int \text{Tr} (eD_\mu F^{\mu\nu} e\delta A_\nu). \quad (4.116)$$

Puisque $\delta S = 0$ doit être vrai quelque soit δA_ν et que la trace est fidèle, on obtient

$$eD_\mu F^{\mu\nu} e = 0, \quad (4.117)$$

ce qui est bien le résultat annoncé. \square

Dans le cas général d'un triplet spectral quelconque, il est clair que la même démarche ne peut être employée pour déterminer les équations du mouvement car notre démonstration repose sur les trois particularités suivantes du tore non commutatif :

1. l'expression explicite de l'action en fonction du champ de jauge A ,
2. la règle d'intégration par parties,
3. la fidélité de la trace définie par l'intégration des fonctions.

Ce résultat nous permet de montrer que les connexions à courbure constante, lorsqu'elle existent [R3], sont des solutions des équations de Yang-Mills.

Proposition 4.2.2 *Si le module \mathcal{E} admet une connexion à courbure constante, i.e. $F_{\mu\nu} = f_{\mu\nu}e$ avec $f_{\mu\nu} \in \mathbb{C}$, alors cette connexion est solution des équations du mouvement et on a*

$$f_{\mu\nu} = \frac{\int \text{Tr}(e\partial_\mu e\partial_\nu e - e\partial_\nu e\partial_\mu e)}{\int \text{Tr}e} \quad (4.118)$$

qui ne dépend que de la classe de \mathcal{E} dans le groupe $K_0(\mathcal{A})$.

Démonstration:

Si $eA_\mu e$ est une connexion à courbure constante, alors $e\partial_\mu F^{\mu\nu} e = f^{\mu\nu} e\partial_\mu e e = 0$ car $e^2 = e$ donne par dérivation $e(\partial_\mu e)e = 0$. De plus, $[eA_\mu e, F^{\mu\nu}] = f^{\mu\nu}[eA_\mu e, e] = 0$, ce qui prouve que $eA_\mu e$ satisfait aux équations du mouvement.

Puisque la courbure est $F_{\mu\nu} = f_{\mu\nu}e$, on a

$$\begin{aligned} f_{\mu\nu}e &= F_{\mu\nu} \\ &= e\partial_\mu e\partial_\nu e - e\partial_\nu e\partial_\mu e + e\partial_\mu(eA_\nu e)e - e\partial_\nu(eA_\mu e)e + [eA_\mu e, eA_\nu e]. \end{aligned} \quad (4.119)$$

En utilisant les propriétés de $\int \text{Tr}$ (intégration par parties et propriété de trace), on obtient

$$f_{\mu\nu} \int \text{Tr}e = \int \text{Tr}(e\partial_\mu e\partial_\nu e - e\partial_\nu e\partial_\mu e), \quad (4.120)$$

d'où

$$f_{\mu\nu} = \frac{\int \text{Tr}(e\partial_\mu e\partial_\nu e - e\partial_\nu e\partial_\mu e)}{\int \text{Tr}e}. \quad (4.121)$$

Enfin, les applications ϕ_0 et ϕ_2 définies par

$$\begin{aligned} \phi_0(a_0) &= \int \text{Tr}(a_0) \\ \phi_2(a_0, a_1, a_2) &= \int \text{Tr}(a_0(\partial_1 a_1 \partial_2 a_2 - \partial_2 a_1 \partial_1 a_2)) \end{aligned} \quad (4.122)$$

pour tous $a_0, a_1, a_2 \in \mathcal{A}$ sont des cocycles cycliques. En conséquence, $\phi_0(e)$ et $\phi_2(e, e, e)$ ne dépendent que de la classe du projecteur e dans le groupe $K_0(\mathcal{A})$. \square

En fait, la dernière partie de ce résultat s'étend sans difficulté à des connexions qui ne sont pas nécessairement à courbure constante :

Proposition 4.2.3 *Si $\mathcal{E} = e\mathcal{A}^N$ est un module ayant une connexion dont la courbure est $F_{\mu\nu}$, alors*

$$\int \text{Tr}F_{\mu\nu} = \int \text{Tr}(e(\partial_1 e \partial_2 e - \partial_2 e \partial_1 e)) \quad (4.123)$$

ne dépend que de la classe de e dans $K_0(\mathcal{A})$.

Par conséquent, nous pouvons interpréter $\int \text{Tr}F_{\mu\nu}$ comme une quantité topologique, car elle ne dépend pas du choix de la connexion A_μ et est stable par déformation..

Dans le cas commutatif, il est connu [LPR] que les quantités

$$\frac{1}{2i\pi} \int \text{Tr}F_{\mu\nu} \quad (4.124)$$

sont des nombres entiers. L'exemple suivant nous montre que ce n'est pas le cas en géométrie non commutative, même si ces nombres apparaissent comme des couplages entre la K -théorie et la cohomologie cyclique.

Exemple 4.2.1

Considérons le tore non commutatif de dimension 4 défini par la matrice

$$\theta = \begin{pmatrix} 0 & \theta' & 0 & 0 \\ -\theta' & 0 & 0 & 0 \\ 0 & 0 & 0 & -\theta'' \\ 0 & 0 & \theta'' & 0 \end{pmatrix}, \quad (4.125)$$

avec $\theta', \theta'' \in]0, 1[$.

Dans l'algèbre engendrée par les unitaires U_1 et U_2 (resp. U_3 et U_4), nous définissons, grâce à la construction de Power-Rieffel, un projecteur e' (resp. e'') satisfaisant aux relations $\int e' = \theta'$ et $\int e'(\partial_1 e' \partial_2 e' - \partial_2 e' \partial_1 e') = 2i\pi$ (resp. $\int e'' = \theta''$ et $\int e''(\partial_3 e'' \partial_4 e'' - \partial_4 e'' \partial_3 e'') = 2i\pi$).

Puisque e' et e'' commutent, $e = e'e''$ est un projecteur dans \mathcal{A}_θ qui vérifie

$$\frac{1}{2i\pi} \int \text{Tr}F_{\mu\nu} = \frac{1}{2i\pi} \int \text{Tr}(e(\partial_\mu e \partial_\nu e - \partial_\nu e \partial_\mu e)) = \theta_{\mu\nu}, \quad (4.126)$$

qui n'est pas entier en général. Bien entendu, en prenant $e = e'$ ou $e = e''$, $\frac{1}{2i\pi} \int \text{Tr}F_{\mu\nu}$ est entier.

Cette construction se généralise en dimension supérieure pour des matrices θ qui sont diagonales par blocs. Aussi $\frac{1}{2i\pi} \int \text{Tr}F_{\mu\nu}$ n'est-il pas nécessairement entier lorsque $n \geq 4$, contrairement au cas commutatif.

Toutefois, nous allons montrer (cf §4.2.4) qu'en dimension 4,

$$\frac{1}{32\pi^2} \epsilon^{\mu\nu\rho\sigma} \int \text{Tr}(F_{\mu\nu} F_{\rho\sigma}) \quad (4.127)$$

est toujours entier. ■

Terminons par l'étude des identités de Bianchi.

Proposition 4.2.4 *Sur le tore non commutatif, les identités de Bianchi s'écrivent*

$$[\nabla, F] = (e\partial_\mu(F_{\rho\sigma}) + [eA_\mu e, F_{\rho\sigma}]) dx^\mu \wedge dx^\rho \wedge dx^\sigma = 0. \quad (4.128)$$

Démonstration:

Rappelons que l'identité de Bianchi est définie comme étant la relation $[\nabla, F] = 0$ entre 3-formes à valeurs matricielles.

En utilisant les notations habituelles, l'action de F sur $e\xi \in e\mathcal{A}^N$ s'écrit

$$F(e\xi) = F_{\rho\sigma}\xi dx^\rho \wedge dx^\sigma. \quad (4.129)$$

Puisque $\nabla(e\xi) = (e\partial_\mu(e\xi) + eA_\mu e\xi) \otimes dx^\mu$, on en déduit que

$$[\nabla, F]e\xi = (e\partial_\mu(F_{\rho\sigma})e + [eA_\nu e, F_{\rho\sigma}])\xi \otimes dx^\mu \wedge dx^\rho \wedge dx^\sigma = 0, \quad (4.130)$$

ce qui est bien le résultat annoncé. \square

En dimension 4, $\epsilon_{\mu\nu\rho\sigma}dx^\nu \wedge dx^\rho \wedge dx^\sigma$ forment une base de l'espace des 3-formes pour $\mu = 1, \dots, 4$, ce qui nous permet d'écrire l'identité de Bianchi de la manière suivante,

$$\epsilon_{\mu\nu\rho\sigma} (e\partial_\nu F_{\rho\sigma}e + [eA_\nu e, F_{\rho\sigma}]) = 0. \quad (4.131)$$

Cela donne, en posant $\tilde{F}^{\mu\nu} = 1/2\epsilon^{\mu\nu\rho\sigma}F_{\rho\sigma}$,

$$e\partial_\mu \tilde{F}^{\mu\nu}e + [eA_\mu e, \tilde{F}^{\mu\nu}] = 0. \quad (4.132)$$

La comparaison de ces relations avec les équations du mouvement,

$$e\partial_\mu F^{\mu\nu}e + [eA_\mu e, F^{\mu\nu}] = 0, \quad (4.133)$$

nous montre que toute connexion self-duale, i.e. telle que $\tilde{F}_{\mu\nu} = F_{\mu\nu}$, est automatiquement solution des équations du mouvement, en complète analogie avec le cas classique.

4.2.3 Le spectre de dimension du tore non commutatif

En vue d'appliquer le théorème local de l'indice, nous devons étudier le spectre de dimension du tore non commutatif. Rappelons d'abord le résultat suivant [CM1].

Proposition 4.2.5 *Le spectre de dimension d'une variété compacte de dimension n munie d'une structure de spin est simple et inclus dans $\{0, 1, \dots, n\}$.*

En particulier, cela implique que le spectre de dimension du tore usuel est inclus dans $\{0, 1, \dots, n\}$. Montrons que ce résultat reste valide dans le cas non commutatif.

Proposition 4.2.6 *Le spectre de dimension du tore non commutatif de dimension n , muni de l'opérateur de Dirac $i\gamma^\mu\partial_\mu$, est simple et inclus dans $\{0, 1, \dots, n\}$.*

Démonstration:

Par définition du spectre de dimension, nous devons montrer que la fonction

$$\zeta_{b_1, \dots, b_r}^{m_1, \dots, m_r}(z) = \text{Tr} \left(\delta^{m_1}(b_1) \dots \delta^{m_r}(b_r) |\mathcal{D}|^{-2z} \right), \quad (4.134)$$

avec $b_i \in \mathcal{B}$, \mathcal{B} désignant l'algèbre engendrée par $\pi(\mathcal{A})$ et $[\mathcal{D}, \pi(\mathcal{A})]$, et où $\delta(b) = [|\mathcal{D}|, b]$, qui est holomorphe pour $\Re(z)$ assez grand, se prolonge analytiquement sur le plan complexe privé de $\{0, 1, \dots, n\}$.

Malheureusement, cette démonstration est assez longue et nous nous contentons d'en donner les principales étapes.

1. Puisque $[\mathcal{D}, \pi(a)] = i\gamma^\mu \partial_\mu a$ pour tout a et que $|\mathcal{D}|$ est un opérateur scalaire (il est diagonal dans l'espace $\mathbb{C}^{2^{\lfloor n/2 \rfloor}}$ sur lequel les matrices de Dirac sont représentées), on sépare la trace sur les matrices de Dirac pour se ramener au cas $b_i \in \mathcal{A}$.
2. On commence par étudier le cas où tous les b_i sont des monômes de base U^i . A un facteur de phase près, c'est la même chose que dans le cas commutatif. En utilisant [G]

$$|\mathcal{D}|^{-2z} = \frac{1}{\Gamma(z)} \int_0^\infty t^{z-1} e^{-t\mathcal{D}^2} dt, \quad (4.135)$$

on ramène le problème à la détermination d'un développement asymptotique de

$$\frac{1}{\Gamma(z)} \int_0^\infty t^{z-1} \text{Tr} \left(\delta^{m_1}(U^{p_1}) \dots \delta^{m_r}(U^{p_r}) e^{-t\mathcal{D}^2} \right) dt \quad (4.136)$$

lorsque $t \rightarrow 0$.

3. On montre que les coefficients du développement asymptotique précédent ont une croissance au plus polynomiale en p_1, \dots, p_r , ce qui nous permet de donner un développement asymptotique de

$$\frac{1}{\Gamma(z)} \int_0^\infty t^{z-1} \text{Tr} \left(\delta^{m_1}(b_1) \dots \delta^{m_r}(b_r) e^{-t\mathcal{D}^2} \right) dt. \quad (4.137)$$

4. On conclut en utilisant la même méthode que dans [G] pour prolonger analytiquement les fonctions précédentes.

□

Cela nous permet d'appliquer la formule locale de l'indice pour montrer l'intégralité de la borne inférieure de l'action de Yang-Mills ainsi que l'invariance de jauge de l'action de Chern-Simons à un multiple entier de $2i\pi$ près.

4.2.4 Une application du théorème de l'indice en dimension 4

Lorsqu'un triplet spectral de dimension 4 satisfait à la condition de fermeture, nous avons montré (cf §1.3.4) que l'action de Yang-Mills admet une borne inférieure donnée par

$$\int \gamma \text{Tr}(\text{edededede}) = \epsilon^{\mu\nu\rho\sigma} \int \text{Tr}(e\partial_\mu e\partial_\nu e\partial_\rho e\partial_\sigma e). \quad (4.138)$$

Dans le cas commutatif, cette quantité est un nombre entier que multiplie une constante numérique. En appliquant la formule locale de l'indice, nous allons montrer que ce résultat d'intégralité est encore valide pour le tore non commutatif de dimension 4.

Proposition 4.2.7

$$\int \gamma \text{Tr}(\text{edededede}) ds^4 = 8\pi^2 n. \quad (4.139)$$

avec $n \in \mathbb{Z}$

Démonstration:

Puisque le tore non commutatif de dimension 4 a un spectre de dimension simple et contenu dans $\{0, 1, 2, 3, 4\}$, nous pouvons lui appliquer le théorème de l'indice (cf §1.4.3), ce qui montre que

$$\phi_0(e) - 2\phi_2(e, e, e) + 12\phi_4(e, e, e, e, e) \quad (4.140)$$

est un entier si $e \in M_N(\mathcal{A})$ est une projection hermitienne. Bien entendu, nous appliquons le théorème de l'indice au triplet spectral $(M_N(\mathcal{A}), \mathcal{H} \otimes \mathbb{C}^N, \mathcal{D} \otimes I_N)$, qui a même spectre de dimension que $(\mathcal{A}, \mathcal{H}, \mathcal{D})$.

Etant donné que le spectre de dimension est simple, les cochaines ϕ_0 , ϕ_2 et ϕ_4 sont définies par

$$\phi_0 = \operatorname{Res}_{z=0} \frac{1}{z} \operatorname{Tr} (\gamma a_0 |\mathcal{D}|^{-2z}) \quad (4.141)$$

$$\begin{aligned} \phi_2(a_0, a_1, a_2) = \\ \sum_{0 \leq k_1+k_2 \leq 2} \frac{(-1)^{k_1+k_2} (k_1+k_2)!}{(k_1+1)(k_1+k_2+2)} \operatorname{Res}_{z=0} \operatorname{Tr} \left(\gamma a_0 (da_1)^{k_1} (da_2)^{k_2} |\mathcal{D}|^{-2(k_1+k_2+1+z)} \right) \end{aligned} \quad (4.142)$$

$$\phi_4(a_0, a_1, a_2, a_3, a_4) = \frac{1}{24} \operatorname{Res}_{z=0} \operatorname{Tr} (\gamma a_0 da_1 da_2 da_3 da_4 |\mathcal{D}|^{-4-2z}), \quad (4.143)$$

où $(da)^k = \nabla^k(da)$ avec $\nabla(da) = [\mathcal{D}^2, da]$.

Pour évaluer les traces précédentes, nous nous plaçons dans la base $(U_p \otimes \epsilon^i \otimes e^a)$ formée des produits tensoriels des monômes de Fourier U^p , d'une base $(\epsilon^i)_{1 \leq i \leq 4}$ de l'espace \mathbb{C}^4 sur lequel les matrices de Dirac agissent et d'une base orthonormale $(e^a)_{1 \leq a \leq N}$ de l'espace \mathbb{C}^N muni de sa structure hermitienne canonique. Puisque $\gamma = \gamma^5$ et $[\mathcal{D}, \pi(a)] = i\gamma^\mu \partial_\mu a$ pour tout $a \in \mathcal{A}$, nous allons séparer la trace sur les vecteurs de base de $\mathbb{C}^{2^{[n/2]}}$ de la trace sur les autres vecteurs. Par un abus de notations, nous noterons de la même manière toutes les traces. De plus nous notons $\Delta = \mathcal{D}^2$ l'analogue du laplacien, qui n'agit que sur les vecteurs U^p . Enfin, tout opérateur de multiplication par un élément de $M_N(\mathcal{A})$ n'agit que sur U^p et e^a , son action sur ϵ^i étant triviale.

Puisque $\gamma = \gamma^5$ et $\operatorname{Tr}(\gamma^5) = 0$, on a pour $\Re(z)$ assez grand

$$\operatorname{Tr} (\gamma a_0 |\mathcal{D}|^{-2z}) = \operatorname{Tr}(\gamma^5) \operatorname{Tr} (a_0 \Delta^{-z}) = 0 \quad (4.144)$$

ce qui implique que $\phi_0(e) = 0$. De même, pour $\Re(z)$ assez grand,

$$\begin{aligned} \sum_{k_1+k_2 \leq 2} \frac{(-1)^{k_1+k_2} (k_1+k_2)!}{(k_1+1)(k_1+k_2+2)} \operatorname{Tr} (\gamma^5 \gamma^\mu \gamma^\nu) \operatorname{Tr} \left(a_0 (\partial_\mu a_1)^{k_1} (\partial_\nu a_2)^{k_2} |\Delta|^{-(k_1+k_2+1+z)} \right) \\ = 0 \end{aligned}$$

car $\operatorname{Tr} (\gamma^5 \gamma^\mu \gamma^\nu) = 0$. On en déduit que $\phi_2(e, e, e) = 0$. Enfin, pour $\Re(z)$ assez grand,

$$\begin{aligned} \operatorname{Tr} (\gamma a_0 da_1 da_2 da_3 da_4 |\mathcal{D}|^{-4-2z}) = \\ \operatorname{Tr} (\gamma^5 \gamma^\mu \gamma^\nu \gamma^\rho \gamma^\sigma) \operatorname{Tr} (a_0 \partial_\mu a_1 \partial_\nu a_2 \partial_\rho a_3 \partial_\sigma a_4 \Delta^{-2-z}) = \\ -4\epsilon^{\mu\nu\rho\sigma} \operatorname{Tr} (a_0 \partial_\mu a_1 \partial_\nu a_2 \partial_\rho a_3 \partial_\sigma a_4 \Delta^{-2-z}), \end{aligned} \quad (4.145)$$

puisque $\gamma^5 = -\gamma^1 \gamma^2 \gamma^3 \gamma^4$. Pour évaluer $\operatorname{Tr} (a_0 \partial_\mu a_1 \partial_\nu a_2 \partial_\rho a_3 \partial_\sigma a_4 \Delta^{-2-z})$, nous nous plaçons dans la base $U^p \otimes e^a$. Cette base est orthonormale pour le produit scalaire

$$\langle U^p \otimes e^a, U^q \otimes e^b \rangle = \int (U^{p*} U^q) \operatorname{Tr} (e^{a*} e^b), \quad (4.146)$$

ce qui implique que si $A \in M_N(\mathcal{A})$ est une matrice agissant par multiplication sur \mathcal{A}^N et Δ est le Laplacien vérifiant $\Delta U^p = 4\pi^2 p^2 U^p$, on a

$$\begin{aligned} \langle U^p \otimes e^a, A \Delta^{-2-z} (U^p \otimes e^a) \rangle = \\ (4\pi^2 p^2)^{-2-z} \int (U^{p*} \operatorname{Tr} (e^{a*} A e^a) U^p) = \\ (4\pi^2 p^2)^{-2-z} \int \operatorname{Tr} (e^{a*} A e^a), \end{aligned} \quad (4.147)$$

où $\text{Tr}(A)$ désigne la trace de la matrice A à valeurs dans \mathcal{A} . On en déduit que

$$\begin{aligned} & \text{Tr}(a_0 \partial_\mu a_1 \partial_\nu a_2 \partial_\rho a_3 \partial_\sigma a_4 \Delta^{-2-z}) = \\ & \sum_{p,a} (4\pi^2 p^2)^{-2-z} \int \text{Tr}(e^{a^*} a_0 \partial_\mu a_1 \partial_\nu a_2 \partial_\rho a_3 \partial_\sigma a_4 e^a) = \\ & \text{Tr}(\Delta^{-2-z}) \int \text{Tr}(a_0 \partial_\mu a_1 \partial_\nu a_2 \partial_\rho a_3 \partial_\sigma a_4). \end{aligned}$$

$\text{Tr}(\Delta^{-2-z}) = \sum_p (4\pi^2 p^2)^{-2-z}$ est la fonction ζ usuelle associée au laplacien sur le tore euclidien. Cette fonction se prolonge analytiquement sur \mathbb{C} privé de l'origine et on a [G]

$$\text{Res}_{z=0} \text{Tr}(\Delta^{-2-z}) = \frac{1}{16\pi^2}. \quad (4.148)$$

On en déduit que

$$\phi_4(a_0, a_1, a_2, a_3, a_4) = \frac{1}{96\pi^2} \epsilon^{\mu\nu\rho\sigma} \int \text{Tr}(a_0 \partial_\mu a_1 \partial_\nu a_2 \partial_\rho a_3 \partial_\sigma a_4). \quad (4.149)$$

Puisque ϕ_0 et ϕ_2 sont nuls, le théorème de l'indice nous montre que $12\phi_4(e, e, e, e, e) \in \mathbb{Z}$, ce qui prouve que

$$\frac{1}{8\pi^2} \epsilon^{\mu\nu\rho\sigma} \int \text{Tr}(e \partial_\mu e \partial_\nu e \partial_\rho e \partial_\sigma e) = n \quad (4.150)$$

est un entier.

Etant donné que

$$\int \gamma(edededede) ds^4 = \epsilon^{\mu\nu\rho\sigma} \int \text{Tr}(e \partial_\mu e \partial_\nu e \partial_\rho e \partial_\sigma e), \quad (4.151)$$

on a

$$\int \gamma(edededede) ds^4 = 8\pi^2 n. \quad (4.152)$$

□

Cela nous montre que l'action de Yang-Mills est minorée par $8\pi^2|n|$,

$$\int \text{Tr}(F_{\mu\nu} F^{\mu\nu*}) \geq 16\pi^2|n|, \quad (4.153)$$

avec n entier. Ce résultat est tout-à-fait similaire à celui que l'on obtient dans le cas commutatif.

4.2.5 Invariance de jauge de l'action de Chern-Simons

De manière tout-à-fait analogue, nous allons étudier l'action de Chern-Simons sur le tore non commutatif de dimension 3. Commençons par rappeler que pour un triplet spectral de dimension 3 satisfaisant à la condition de fermeture, l'action de Chern-Simons est (cf §1.3.5)

$$S_{CS}[A] = \frac{k}{4\pi} \int \text{Tr}(K_1) ds^3, \quad (4.154)$$

où A est une 1-forme hermitienne à valeurs matricielles et K_1 est un représentant quelconque de la forme de Chern-Simons

$$K = AdA + \frac{2}{3} A^3. \quad (4.155)$$

Notons que nous avons introduit un facteur $k/4\pi$ supplémentaire par rapport à la définition donnée dans 1.3.5, où k est un nombre réel. Ce coefficient est une constante de couplage, dont l'intérêt apparaîtra ultérieurement.

Dans le cas du tore non commutatif, cette définition se simplifie car on peut construire explicitement la forme K .

Proposition 4.2.8 *L'action de Chern-Simons est donnée par*

$$S_{CS}[A_\mu] = \frac{k}{4\pi} \epsilon^{\lambda\mu\nu} \int \text{Tr} \left(A_\lambda \partial_\mu A_\nu + \frac{2}{3} A_\lambda A_\mu A_\nu \right). \quad (4.156)$$

Démonstration:

Avec les notations usuelles, on a

$$A = A_\mu dx^\mu, \quad (4.157)$$

d'où

$$K = \left(A_\lambda \partial_\mu A_\nu + \frac{2}{3} A_\lambda A_\mu A_\nu \right) dx^\lambda \wedge dx^\mu \wedge dx^\nu, \quad (4.158)$$

après avoir identifié K avec son représentant totalement antisymétrique.

Les matrices de Dirac en dimension 3 n'étant autres que les matrices de Pauli, on a

$$dx^\mu \wedge dx^\nu \wedge dx^\rho = \frac{1}{6} \sum_{\sigma \in \mathcal{S}_3} \epsilon(\sigma) i\gamma^{\sigma(\lambda)} i\gamma^{\sigma(\mu)} i\gamma^{\sigma(\nu)} = \epsilon^{\lambda\mu\nu}. \quad (4.159)$$

La normalisation de \int étant choisie de manière à éliminer tous les facteurs numériques, on a

$$\frac{k}{4\pi} \int K ds^3 = \frac{k}{4\pi} \epsilon^{\lambda\mu\nu} \int \text{Tr} \left(A_\lambda \partial_\mu A_\nu + \frac{2}{3} A_\lambda A_\mu A_\nu \right). \quad (4.160)$$

□

Le comportement de cette action sous une transformation de jauge est analogue au cas classique.

Proposition 4.2.9 *Sous une transformation de jauge $A_\mu \rightarrow uA_\mu u^{-1} + u\partial_\mu u^{-1}$ avec $u \in M_N(\mathcal{A})$ unitaire, l'action devient*

$$S_{CS}[uA_\mu u^{-1} + u\partial_\mu u^{-1}] = S_{CS}[A_\mu] + \frac{k}{12\pi} \epsilon^{\lambda\mu\nu} \int \text{Tr} \left(u\partial_\lambda u^{-1} u\partial_\mu u^{-1} u\partial_\nu u^{-1} \right) \quad (4.161)$$

avec

$$\epsilon^{\lambda\mu\nu} \int \text{Tr} \left(u\partial_\lambda u^{-1} u\partial_\mu u^{-1} u\partial_\nu u^{-1} \right) = 24\pi^2 n, \quad (4.162)$$

où n est un entier.

Démonstration:

Pour montrer la première partie de ce résultat, il suffit de remarquer que le tore non commutatif de dimension 3 satisfait à la condition de fermeture. Les résultats généraux sur l'action de Chern-Simons (cf §1.3.5) nous permettent alors d'écrire

$$S_{CS}[uAu^{-1} + udu^{-1}] = S_{CS}[A] + \frac{k}{12\pi} \int (udu^{-1})^3 ds^3. \quad (4.163)$$

En choisissant le représentant totalement antisymétrique de $(udu^{-1})^3$, on obtient

$$\frac{k}{12\pi} \int (udu^{-1})^3 ds^3 = \frac{k}{12\pi} \epsilon^{\lambda\mu\nu} \int \text{Tr} \left(u\partial_\lambda u^{-1} u\partial_\mu u^{-1} u\partial_\nu u^{-1} \right), \quad (4.164)$$

ce qui est bien le résultat annoncé.

Pour montrer la quantification de cette quantité, nous allons employer le théorème de l'indice en dimension 3. Puisque le spectre du tore non commutatif est simple, le théorème de l'indice nous montre que

$$\begin{aligned} n &= \tau_0(u[\mathcal{D}, u^{-1}]|\mathcal{D}|^{-1}) - \frac{1}{4}\tau_0\left(u\left[\mathcal{D}^2, [\mathcal{D}, u^{-1}]\right]|\mathcal{D}|^{-3}\right) \\ &+ \frac{1}{8}\tau_0\left(u\left[\mathcal{D}^2, \left[\mathcal{D}^2, [\mathcal{D}, u^{-1}]\right]\right]|\mathcal{D}|^{-5}\right) \\ &- \frac{1}{12}\tau_0\left(u[\mathcal{D}, u^{-1}][\mathcal{D}, u][\mathcal{D}, u^{-1}]|\mathcal{D}|^{-3}\right) \end{aligned} \quad (4.165)$$

est un entier car c'est l'indice d'un opérateur de Fredholm. τ_0 est le résidu de la trace ordinaire défini par

$$\tau_0(P) = \operatorname{Res}_{z=0} \operatorname{Tr}\left(P|\mathcal{D}|^{-2z}\right) \quad (4.166)$$

pour tout P appartenant à l'algèbre engendrée par $\pi(\mathcal{A})$, $[\mathcal{D}, \pi(\mathcal{A})]$ et $|\mathcal{D}|$.

Pour calculer ces résidus, nous allons employer essentiellement les mêmes méthodes que dans la section précédente. Bien entendu, nous travaillons avec le triplet spectral $(M_N(\mathcal{A}), \mathcal{H} \otimes \mathbb{C}^N, \mathcal{D} \otimes I_N)$ obtenu en considérant une algèbre de matrices à valeur dans le tore non commutatif. Introduisons la base $U^p \otimes \epsilon^i \otimes e^a$ formée des monômes de Fourier U^p , de la base canonique de l'espace \mathbb{C}^2 sur lequel les matrices de Pauli agissent et de la base canonique \mathbb{C}^N . Cette base est orthonormale pour le produit scalaire

$$\langle U^q \otimes \epsilon^j \otimes e^b, U^p \otimes \epsilon^i \otimes e^a \rangle = \operatorname{Tr}\left(\epsilon^{i*} \epsilon^j\right) \operatorname{Tr}\left(e^{a*} e^b\right) \int (U^{p*} U^q). \quad (4.167)$$

En dimension 3 les matrices de Dirac sont simplement les matrices de Pauli que nous notons toujours γ^μ pour $\mu = 1, 2, 3$. Pour tout unitaire $u \in M_N(\mathcal{A})$ on a $du^{-1} = i\gamma^\mu \partial_\mu u^{-1}$, où $\partial_\mu u^{-1}$ est la matrice obtenue en faisant agir la dérivation ∂_μ sur chacun des coefficients de u^{-1} . Pour $\Re(z)$ assez grand, $\operatorname{Tr}(u[\mathcal{D}, u^{-1}]|\mathcal{D}|^{-2z})$ est bien défini et on a

$$\operatorname{Tr}\left(u[\mathcal{D}, u^{-1}]|\mathcal{D}|^{-2z}\right) = i\operatorname{Tr}\left(\gamma^\mu\right) \sum_p \int \left(U^{p*} \operatorname{Tr}\left(u\partial_\mu u^{-1}\right) U^p\right) \left(4\pi^2 p^2\right)^{-z} = 0 \quad (4.168)$$

car $\operatorname{Tr}(\gamma^\mu) = 0$. Par conséquent, cette fonction se prolonge analytiquement en la fonction nulle sur tout le plan complexe et son résidu est nul. Donc a

$$\tau_0\left(u[\mathcal{D}, u^{-1}]|\mathcal{D}|^{-1}\right) = 0. \quad (4.169)$$

De la même manière, on montre que

$$\begin{aligned} \tau_0\left(u\left[\mathcal{D}^2, [\mathcal{D}, u^{-1}]\right]|\mathcal{D}|^{-3}\right) &= 0, \\ \tau_0\left(u\left[\mathcal{D}^2, \left[\mathcal{D}^2, [\mathcal{D}, u^{-1}]\right]\right]|\mathcal{D}|^{-5}\right) &= 0. \end{aligned} \quad (4.170)$$

En effet, pour $\Re(z)$ assez grand, les traces définissant ces résidus sont bien définies, et contiennent en facteur un terme du type $\operatorname{Tr}(\gamma^\mu)$ car \mathcal{D}^2 est un opérateur scalaire dans l'espace sur lequel agissent les matrices de Pauli. Ces traces sont donc identiquement nulles pour $\Re(z)$ assez grand et se prolongent analytiquement sur le plan complexe tout entier.

Reste à évaluer

$$\tau_0\left(u[\mathcal{D}, u^{-1}][\mathcal{D}, u][\mathcal{D}, u^{-1}]|\mathcal{D}|^{-3}\right) = \operatorname{Res}_{z=0} \operatorname{Tr}\left(u[\mathcal{D}, u^{-1}][\mathcal{D}, u][\mathcal{D}, u^{-1}]|\mathcal{D}|^{-3-2z}\right). \quad (4.171)$$

Lorsque $\Re(z)$ est assez grand, cette trace est bien définie et on a, en utilisant la base précédente,

$$\begin{aligned} & \text{Tr} (u[\mathcal{D}, u^{-1}][\mathcal{D}, u][\mathcal{D}, u^{-1}]|\mathcal{D}|^{-3-2z}) = \\ & \sum_{p \in \mathbb{Z}^3} \text{Tr} \left(i\gamma^\lambda i\gamma^\mu i\gamma^\nu \right) f \left(U^{p*} \text{Tr} (u\partial_\lambda u^{-1} \partial_\mu u \partial_\nu u^{-1}) U^p \right) |4\pi^2 p^2|^{-3/2-z} \\ & = 2\epsilon^{\lambda\mu\nu} \int \text{Tr} (u\partial_\lambda u^{-1} \partial_\mu u \partial_\nu u^{-1}) \text{Tr} \left(\Delta^{-3/2-z} \right), \end{aligned} \quad (4.172)$$

où Δ est le laplacien usuel sur le tore commutatif de dimension 3 muni de la métrique euclidienne. Ses valeurs propres sont $4\pi^2 p^2$ et la trace est évaluée dans la base de modes de Fourier.

La fonction $z \mapsto \text{Tr} (\Delta^{-z})$ est holomorphe sur \mathbb{C} privé de $3/2$ et son résidu est donné par [G]

$$\text{Res}_{z=0} \text{Tr} \left(\Delta^{-3/2-z} \right) = \frac{1}{4\pi^2}. \quad (4.173)$$

On en déduit que

$$\tau_0 \left(u[\mathcal{D}, u^{-1}][\mathcal{D}, u][\mathcal{D}, u^{-1}]|\mathcal{D}|^{-3} \right) = \frac{1}{2\pi^2} \epsilon^{\lambda\mu\nu} \int \text{Tr} \left(u\partial_\lambda u^{-1} \partial_\mu u \partial_\nu u^{-1} \right). \quad (4.174)$$

Étant donné que ce terme est le seul terme non trivial apparaissant dans le théorème de l'indice,

$$\frac{1}{12} \tau_0 \left(u[\mathcal{D}, u^{-1}][\mathcal{D}, u][\mathcal{D}, u^{-1}]|\mathcal{D}|^{-3} \right) \quad (4.175)$$

est un entier, ce qui prouve que

$$\epsilon^{\lambda\mu\nu} \int \text{Tr} \left(u\partial_\lambda u^{-1} \partial_\mu u \partial_\nu u^{-1} \right) = 24\pi^2 n \quad (4.176)$$

avec n entier. □

Par conséquent, si k est un entier la fonction $e^{iS_{CS}[A_\mu]}$ est invariante de jauge car sous une transformation de jauge

$$iS_{CS}[A_\mu] \rightarrow iS_{CS}[A_\mu] + 2ik\pi. \quad (4.177)$$

Cela implique que la fonction de partition du tore non commutatif

$$Z(\mathcal{A}_\theta) = \int [\mathcal{D}A_\mu] e^{iS_{CS}[A_\mu]} \quad (4.178)$$

est bien définie après fixation de la jauge.

Pour évaluer cette intégrale fonctionnelle, on se place en général dans l'approximation semi-classique : on écrit le champ A_μ sous la forme $A_\mu^0 + B_\mu$, où A_μ^0 est un champ satisfaisant aux équations du mouvement. On développe alors l'action au second ordre en B_μ , en incluant les termes de fixation de jauge, et on régularise l'intégrale fonctionnelle sur B_μ en utilisant l'invariant η [Wi].

Bien que nous n'allons pas effectuer ce calcul ici, cherchons les points critiques de l'action de Chern-Simons.

Proposition 4.2.10 *Les points critiques de l'action de Chern-Simons sont les connexions à courbure nulle.*

Démonstration:

Par définition, le champ de jauge A_μ est un point critique si et seulement si

$$\frac{d}{dt} S_{CS}[A_\mu + t\delta A_\mu]|_{t=0} = 0 \quad (4.179)$$

pour toute 1-forme hermitienne δA_μ à valeurs matricielles. Pour exprimer cette condition, nous faisons un développement limité au premier ordre en t de

$$S_{CS}[A_\mu + t\delta A_\mu]|_{t=0}. \quad (4.180)$$

On a

$$\begin{aligned} & \epsilon^{\lambda\mu\nu} (A_\lambda + t\delta A_\lambda) \partial_\mu (A_\nu + t\delta A_\nu) = \\ & \epsilon^{\lambda\mu\nu} A_\lambda \partial_\mu A_\nu + t (A_\lambda \partial_\mu \delta A_\nu + \delta A_\lambda \partial_\mu A_\nu) + O(t^2) \end{aligned} \quad (4.181)$$

ainsi que

$$\begin{aligned} & \epsilon^{\lambda\mu\nu} (A_\lambda + t\delta A_\lambda) (A_\mu + t\delta A_\mu) (A_\nu + t\delta A_\nu) = \\ & \epsilon^{\lambda\mu\nu} A_\lambda A_\mu A_\nu + t \epsilon^{\lambda\mu\nu} (\delta A_\lambda A_\mu A_\nu + A_\lambda \delta A_\mu A_\nu + A_\lambda A_\mu \delta A_\nu) + O(t^2). \end{aligned} \quad (4.182)$$

En utilisant les propriétés de trace de $\int \text{Tr}$, on obtient

$$S_{CS}[A_\mu + t\delta A_\mu] = S_{CS}[A_\mu] + t \epsilon^{\lambda\mu\nu} \int \text{Tr} (\delta A_\lambda F_{\mu\nu}), \quad (4.183)$$

avec

$$F_{\mu\nu} = \partial_\mu A_\nu - \partial_\nu A_\mu + [A_\mu, A_\nu]. \quad (4.184)$$

Puisque la trace est fidèle, le coefficient en t s'annule pour tout δA_λ si et seulement si $F_{\mu\nu} = 0$, ce qui prouve le résultat annoncé. \square

Cela achève notre discussion des propriétés classiques des théories de jauge sur le tore non commutatif.

4.3 Symétrie BRS et règles de Feynman

4.3.1 Généralités

Nous allons terminer en abordant l'étude de la quantification de la théorie de Yang-Mills sur le tore non commutatif. Notre approche est essentiellement perturbative et nous développerons tous les outils usuels de la théorie des champs : fixation de jauge, symétrie BRS et diagrammes de Feynman. Nous adoptons pour la théorie de Yang-Mills sur le tore non commutatif la même démarche que pour une théorie des champs ordinaire, ceci étant justifié par le fait que si θ est une matrice à coefficients rationnels, nous obtenons une théorie de Yang-Mills ordinaire.

Nous nous limitons à la théorie la plus simple qui consiste à prendre le module projectif trivial $\mathcal{E} = \mathcal{A}$, même si la discussion se généralise facilement à $\mathcal{E} = \mathcal{A}^N$. La connexion la plus générale sur ce module est donnée par

$$\nabla(\xi) = (\partial_\mu \xi + g A_\mu \xi) \otimes dx^\mu \quad (4.185)$$

pour tout $\xi \in \mathcal{A}$. $g > 0$ est une constante de couplage et cette connexion est supposée compatible avec la métrique, ce qui équivaut à dire que $(A_\mu)^* = -A_\mu$.

Les transformations de jauge sont données par les unitaires $u \in \mathcal{A}$ qui agissent sur ∇ par $u\nabla u^{-1}$, ce qui nous donne la loi de transformation du champ de jauge

$$A_\mu \mapsto uA_\mu u^{-1} + \frac{1}{g}u\partial_\mu u^{-1}. \quad (4.186)$$

Pour développer la théorie quantique des champs, nous nous plaçons dans l'espace des impulsions. Par conséquent, nous développons tous les champs sur les modes de Fourier U^p ,

$$A_\mu = \sum_{p \in \mathbb{Z}^n} A_\mu^p U^p \quad (4.187)$$

avec $\overline{A}_\mu^p = -A_\mu^{-p}$ car $(A_\mu)^* = -A_\mu$ et $(U^p)^* = U^{-p}$.

Pour simplifier nos notations, nous multiplions θ par π ce qui implique que la règle de multiplication s'écrit simplement $U^p U^q = e^{i\theta(p,q)} U^{p+q}$. Puisque $\partial_\mu U^p = 2i\pi p_\mu U^p$ et $[U^p, U^q] = 2i \sin \theta(p, q)$, la courbure

$$F_{\mu\nu} = \frac{1}{g} [\partial_\mu + gA_\mu, \partial_\nu + gA_\nu] = \partial_\mu A_\nu - \partial_\nu A_\mu + g[A_\mu, A_\nu] \quad (4.188)$$

se développe en série

$$F_{\mu\nu} = \sum_{p \in \mathbb{Z}^n} F_{\mu\nu}^p U^p \quad (4.189)$$

avec

$$F_{\mu\nu}^p = 2i\pi p_\mu A_\nu^p - 2i\pi p_\nu A_\mu^p + g \sum_{q+r=p} 2i \sin \theta(q, r) A_\mu^q A_\nu^r. \quad (4.190)$$

Nous avons vu (cf §4.2.2) que l'action de Yang-Mills est donnée par

$$S_{YM} = -\frac{1}{2} \int F_{\mu\nu} F^{\mu\nu}. \quad (4.191)$$

Afin de retrouver l'électrodynamique sur le tore lorsque $\theta = 0$, nous changeons la normalisation de l'action de Yang-Mills que nous prenons dorénavant comme étant égale à

$$S_{YM}[A_\mu] = -\frac{1}{4} \int F_{\mu\nu} F^{\mu\nu}. \quad (4.192)$$

Bien entendu, cette action est invariante sous les transformations de jauge déterminées par les unitaires de \mathcal{A} .

Tout comme en théorie de Yang-Mills ordinaire, nous considérons un système dynamique dont les variables de configuration sont les champs A_μ , ou de façon équivalente ses composantes A_μ^p dans la base de Fourier, et dont la dynamique est gouvernée par l'action de Yang-Mills. Pour être plus rigoureux, nous devrions considérer l'algèbre des fonctions sur le tore non commutatif de dimension $n - 1$ auxquelles on adjoint une dépendance temporelle. Nous obtenons ainsi une théorie de Yang-Mills non commutative formée avec l'algèbre $\mathcal{A}_\theta \otimes C^\infty(\mathbb{R})$, où $C^\infty(\mathbb{R})$ est l'algèbre des fonctions lisses sur \mathbb{R} et nous considérons les composantes de A_μ comme des fonctions dépendant du temps. L'action de Yang-Mills permet alors de déterminer les moments conjugués de A_μ^p et nous quantifions la théorie en remplaçant les variables A_μ^p et leurs moments conjugués par des opérateurs dont les règles de commutation sont dictées par les crochets de Poisson de la théorie classique.

A cause de la symétrie de jauge, ce procédé est très complexe à mettre en oeuvre. C'est pourquoi nous adoptons un procédé de quantification qui ne repose pas sur une théorie hamiltonienne, mais fait appel à la notion d'intégrale de chemin. Dans notre contexte, cette dernière est simplement donnée par une "somme sur toutes les variables de configurations" qui sont les modes de Fourier A_μ^p . Nous écrivons une telle somme comme un produit d'un grand nombre d'intégrales simples sur les nombres complexes A_μ^p et l'objet principal de notre étude est la fonctionnelle génératrice

$$Z[J_\mu] = \int [\mathcal{D}A_\mu] e^{-S_{YM}[A_\mu] + \int J^\mu A_\mu}, \quad (4.193)$$

où $J^\mu \in \mathcal{A}_\theta$ est un élément antihermitien. Nous supposons aussi que $Z[J_\mu]$ est normalisée par $Z[0] = 1$ et nous cherchons à déterminer un développement perturbatif de $Z[J_\mu]$ en complète analogie avec le cas commutatif.

Il est très important de remarquer qu'au-delà des apparentes similitudes avec la théorie classique, cet objet est très différent, car nous ne pouvons pas interpréter A_μ^p comme les modes de Fourier de champs de jauge définis au sens usuel. En effet, l'action que nous avons pour A_μ^p et les symétries de jauge associées ne peuvent pas être, lorsque θ est non dégénérée, interprétées en théorie des champs usuelle sans perdre le caractère local de la théorie.

Il est également remarquable que A_μ^0 ne soit pas une variable dynamique. En effet, A_μ^0 est la composante de A_μ sur l'unité de \mathcal{A}_θ , c'est donc un élément central qui annule les dérivations. Par conséquent, la courbure $F_{\mu\nu}$ ne dépend pas des variables A_μ^0 et la mesure $[\mathcal{D}A_\mu]$ est à considérer comme un produit de toutes les mesures dA_μ^p sauf dA_μ^0 . En conséquence, les modes zéro des champs de jauge disparaissent complètement de la théorie, ce dont nous discuterons ultérieurement lorsque nous aborderons l'étude des divergences infrarouges (cf §4.3.5).

La première difficulté majeure que nous rencontrons est la fixation de jauge. En effet, à cause de la symétrie de jauge, cette intégrale fonctionnelle ne peut pas avoir de sens si nous n'avons pas un procédé nous permettant de ne tenir compte qu'une seule fois des configurations qui sont équivalentes sous les transformations de jauge.

4.3.2 La fixation de jauge

Commençons par séparer dans l'action de Yang-Mills les termes quadratiques, cubiques et quartiques.

$$\begin{aligned} & -\frac{1}{4} \int F_{\mu\nu} F^{\mu\nu} = \\ & -\frac{1}{4} \int (\partial_\mu A_\nu - \partial_\nu A_\mu + g[A_\mu, A_\nu]) (\partial^\mu A^\nu - \partial^\nu A^\mu + g[A^\mu, A^\nu]) \\ & = -\frac{1}{4} \int (2\partial_\mu A_\nu \partial^\mu A^\nu - 2\partial_\mu A_\nu \partial^\nu A^\mu + 4g\partial_\mu A_\nu [A_\mu, A_\nu] + g^2[A_\mu, A_\nu][A^\mu, A^\nu]) \\ & = -\frac{1}{4} \int (-2A_\nu \partial^\mu \partial_\mu A^\nu + 2A_\nu \partial_\mu \partial^\nu A^\mu + 4g\partial_\mu A_\nu [A_\mu, A_\nu] + g^2[A_\mu, A_\nu][A^\mu, A^\nu]) \end{aligned} \quad (4.194)$$

après intégration par parties et utilisation de la propriété de trace de f . En développant toutes ces expressions à l'aide des modes de Fourier, on en déduit que

$$S_{YM}[A_\mu] = S_{YM}^{(2)}[A_\mu] + S_{YM}^{(3)}[A_\mu] + S_{YM}^{(4)}[A_\mu], \quad (4.195)$$

avec

$$\begin{aligned} S_{YM}^{(2)}[A_\mu] &= \frac{(2i\pi)^2}{2} (p^2 g_{\mu\nu} - p^\mu p^\nu) A_\mu^p A_\nu^{-p} \\ S_{YM}^{(3)}[A_\mu] &= 2\pi g \sum_{p,q,r} p^\mu \sin \theta(q, r) \delta(p+q+r) A_\mu^p A_\nu^q A_\rho^r \end{aligned}$$

$$S_{YM}^{(4)}[A_\mu] = g^2 \sum_{p,q,r,s} g^{\mu\rho} g^{\nu\sigma} \sin\theta(p,q) \sin\theta(r,s) \delta(p+q+r+s) A_\mu^p A_\nu^q A_\rho^r A_\sigma^s.$$

Seules les parties cubiques et quartiques dépendent du paramètre de déformation θ , la partie quadratique est similaire à celle que nous rencontrons en électrodynamique. Par conséquent, nous rencontrons ici le même problème que pour l'électrodynamique ou les théories de jauge en général : l'opérateur $p^2 g_{\mu\nu} - p^\mu p^\nu$ n'est pas inversible car $(p^2 g_{\mu\nu} - p^\mu p^\nu) p_\nu = 0$.

Pour rendre ce propagateur inversible, nous devons "fixer la jauge" en suivant toutes les étapes de la théorie des champs usuelle. Nous introduisons la condition de jauge de Lorentz par la relation $\partial_\mu A^\mu = 0$. Cela veut dire que la somme sur tous les champs A_μ apparaissant dans l'intégrale fonctionnelle ne devra se faire que sur le représentant de chaque orbite sous l'action du groupe de jauge qui satisfait à la condition $\partial_\mu A^\mu = 0$.

Ce procédé nous permet d'isoler dans l'intégrale fonctionnelle un facteur infini égal au volume du groupe de jauge. Pour cela, rappelons que si f est une fonction réelle ayant un seul zéro simple, on a

$$\int_{-\infty}^{\infty} dx f'(x) \delta(f(x)) = 1. \quad (4.196)$$

Cela se généralise aux fonctions définies sur \mathbb{R}^n en remplaçant la dérivée par le jacobien. Nous utilisons cette même identité en dimension infinie. Si u est un unitaire de \mathcal{A} et A_μ un champ de jauge, nous notons $A_\mu^u = u A_\mu u^{-1} + \frac{1}{g} u \partial^\mu u^{-1}$. Nous avons alors

$$\int du \Delta_{FP}(A_\mu^u) \delta(f(A_\mu^u)) = 1, \quad (4.197)$$

avec $f(A_\mu) = \partial_\mu A^\mu$ et $\Delta_{FP}(A_\mu^u)$ est le jacobien de la transformation $u \mapsto f(A_\mu^u)$, appelé déterminant de Faddeev-Popov. du désigne la mesure de Haar sur le groupe des unitaires de \mathcal{A} . Tout comme dans le cas classique, ce groupe n'est pas localement compact et cette mesure n'existe pas. Cependant, cette approche est heuristique et nous nous contentons de montrer que la théorie des champs sur le tore non commutatif peut être développée de la même manière que la théorie des champs habituelle.

La fonction de partition s'écrit donc

$$Z = \int [\mathcal{D}A_\mu] \int du \Delta_{FP}(A_\mu^u) \delta(f(A_\mu^u)) e^{-S_{YM}[A_\mu]}. \quad (4.198)$$

En utilisant l'invariance sous la transformation de jauge $A_\mu^u \mapsto A_\mu$, celle-ci se réécrit

$$Z = \int du \int [\mathcal{D}A_\mu] \Delta_{FP}(A_\mu) \delta(f(A_\mu)) e^{-S_{YM}[A_\mu]}, \quad (4.199)$$

ce qui nous permet d'isoler le volume $\int du$ du groupe de jauge. Bien entendu, il peut y avoir un problème d'ambiguïté de Gribov : il peut exister plusieurs solutions non équivalentes de jauge de cette contrainte. Tout comme dans le cas classique, nous admettons que ces solutions n'interviennent pas au niveau de la théorie des perturbations et nous n'en tenons pas compte.

Pour évaluer la fonction de partition à l'aide de la théorie des perturbation, nous devons transformer l'écriture de la fonction δ et du déterminant de Faddeev-Popov.

Afin d'éliminer la fonction δ , introduisons un champ auxiliaire B qui est un élément antihermitien de \mathcal{A} . Nous remplaçons la condition de jauge de Lorentz $\partial_\mu A^\mu = 0$ par la condition plus générale $g \partial_\mu A^\mu = B$. On montre alors que la dépendance du déterminant de Faddeev-Popov

en B correspond simplement à un changement de jauge et après normalisation par le facteur $\int du$, la fonction de partition s'écrit simplement

$$Z = \int [\mathcal{D}A_\mu] \Delta_{FP} (A_\mu^u) \delta(g\partial_\mu A^\mu - B) e^{-S_{YM}[A_\mu]}. \quad (4.200)$$

Nous simplifions encore Z en intégrant sur le champ auxiliaire B avec un poids gaussien $e^{\frac{1}{2\alpha}g^2 \int B^2}$, où α est un réel positif. Notre fonction de partition est donc

$$Z = \int [\mathcal{D}A_\mu] [\mathcal{D}B] \Delta_{FP} (A_\mu^u) \delta(g\partial_\mu A^\mu - B) e^{-S_{YM}[A_\mu] + \frac{1}{2\alpha}g^2 \int B^2}, \quad (4.201)$$

ce qui donne, après avoir effectué l'intégrale sur B ,

$$Z = \int [\mathcal{D}A_\mu] [\mathcal{D}B] \Delta_{FP} (A_\mu^u) \delta(g\partial_\mu A^\mu - B) e^{-S_{YM}[A_\mu] - S_{GF}[A_\mu]}, \quad (4.202)$$

où le terme de fixation de jauge est donné par

$$S_{GF}[A_\mu] = -\frac{1}{2\alpha} \int (\partial_\mu A^\mu)^2. \quad (4.203)$$

Le déterminant de Faddeev-Popov peut aussi se mettre sous la forme d'une intégrale fonctionnelle. En effet, c'est le jacobien de la transformation $u \mapsto \partial_\mu A^{u\mu}$, que l'on calcule au voisinage de l'identité. Si nous posons $u = e^\omega$, alors au premier ordre en ω , on a

$$uA_\mu u^{-1} + \frac{1}{g}u\partial_\mu u^{-1} = [\omega, A_\mu] - \frac{1}{g}\partial_\mu \omega. \quad (4.204)$$

d'où

$$f(A) = g\partial_\mu \left(uA_\mu u^{-1} + \frac{1}{g}u\partial_\mu u^{-1} \right) = g\partial^\mu [\omega, A_\mu] - \partial^\mu \partial_\mu \omega, \quad (4.205)$$

Si nous développons $f(A_\mu)$ et ω dans la base de Fourier, on obtient

$$f^p(A_\mu) = \sum_{q+r=p} g2i\pi p^\mu 2i \sin \theta(q, r) \omega^q A_\mu^r + 4\pi^2 p^2 \omega^p. \quad (4.206)$$

On en déduit que le déterminant de Faddeev-Popov est donné par

$$\Delta_{FP}[A_\mu] = \det M_{p,q} \quad (4.207)$$

avec

$$M_{p,q} = \frac{\partial f^p}{\partial \omega^q} = g2i\pi p^\mu 2i \sin \theta(q, p-q) A_\mu^{p-q} - 4\pi^2 p^2 \delta(p-q). \quad (4.208)$$

Pour terminer, nous allons réécrire ce déterminant en utilisant une intégrale sur des variables de Grassmann en suivant la méthode développée lors de la quantification des théories de Yang-Mills non abéliennes.

Remarquons que si C et \bar{C} sont deux variables de Grassmann et M un nombre complexe, alors on a

$$\int d\bar{C} dC e^{-\bar{C}MC} = M. \quad (4.209)$$

Ce résultat se généralise en dimension n de la manière suivante. Si C_i et \bar{C}_j sont un ensemble de $2n$ variables deux à deux anticommutantes et M_{ij} une matrice complexe, on a

$$\int \prod_i d\bar{C}_i dC_i e^{-\sum_{i,j} \bar{C}_i M_{ij} C_j} = \det M. \quad (4.210)$$

En dimension infinie, nous écrivons le déterminant précédent à l'aide d'une intégrale fonctionnelle

$$\int \prod_{p \neq 0} d\bar{C}_p dC_p e^{-\sum_{p,q} \bar{C}_p M_{pq} C_q} = \Delta_{FP}[A_\mu], \quad (4.211)$$

où C_p et \bar{C}_q sont des variables de Grassmann, appelés fantômes de Faddeev-Popov, satisfaisant aux relations d'anticommutation

$$\begin{aligned} C_p C_q + C_q C_p &= 0 \\ C_p \bar{C}_q + \bar{C}_q C_p &= 0 \\ \bar{C}_p \bar{C}_q + \bar{C}_q \bar{C}_p &= 0. \end{aligned} \quad (4.212)$$

Bien entendu, il n'y a pas de mode zéro pour les fantômes de Faddeev-Popov car ceux-ci n'apparaissent pas dans $M_{p,q}$ qui n'a pas de ligne $p = 0$ ou de colonne $q = 0$.

Pour simplifier notre écriture, introduisons

$$C = \sum_{p \neq 0} C_p U^p \quad (4.213)$$

et

$$\bar{C} = \sum_{p \neq 0} \bar{C}_p U^p \quad (4.214)$$

et définissons les opérations \int , ∂_μ et la multiplication par A_μ comme étant linéaires par rapport à C_p et \bar{C}_q . En définissant l'action de Faddeev-Popov comme étant

$$S_{FP}[A_\mu, \bar{C}, C] = \sum_{p,q} \bar{C}_p M_{pq} C_q = \int \bar{C} \partial^\mu (\partial_\mu C + g[A_\mu, C]), \quad (4.215)$$

on a

$$\Delta_{FP}[A_\mu] = \int [\mathcal{D}\bar{C}, C] e^{-S_{FP}[A_\mu, \bar{C}, C]}, \quad (4.216)$$

ce qui nous permet de réécrire la fonction de partition sous la forme

$$Z = \int [\mathcal{D}A_\mu][\mathcal{D}\bar{C}][\mathcal{D}C] e^{-S[A_\mu, \bar{C}, C]} \quad (4.217)$$

où $S[A_\mu, \bar{C}, C]$ est l'action de Yang-Mills contenant les termes de fixation de jauge et l'action de Faddeev-Popov

$$S[A_\mu, \bar{C}, C] = S_{YM}[A_\mu] + S_{GF}[A_\mu] + S_{FP}[A_\mu, \bar{C}, C]. \quad (4.218)$$

Il est important de noter que la partie quadratique en A_μ de cette action s'écrit

$$S^{(2)}[A_\mu] = \frac{1}{2} \int A_\nu \partial_\mu \partial^\mu A^\nu - \left(1 - \frac{1}{\alpha}\right) A_\mu \partial^\mu \partial^\nu A_\nu \quad (4.219)$$

puisque

$$S_{GF}[A_\mu] = -\frac{1}{2\alpha} \int (\partial_\mu A^\mu)^2 = \frac{1}{2\alpha} \int A_\mu \partial^\mu \partial^\nu A_\nu \quad (4.220)$$

après intégration par parties.

En composantes, cela s'écrit

$$S_{YM}^{(2)}[A_\mu] = \frac{(2i\pi)^2}{2} \left(p^2 g^{\mu\nu} - \left(1 - \frac{1}{\alpha} \right) p^\mu p^\nu \right) A_\mu^p A_\nu^{-p}. \quad (4.221)$$

L'opérateur $p^2 g^{\mu\nu} - \left(1 - \frac{1}{\alpha} \right) p^\mu p^\nu$ est inversible et son inverse est

$$\Delta_{\mu\nu}(\alpha) = \frac{g_{\mu\nu} - (1 - \alpha)p_\mu p_\nu}{p^2}. \quad (4.222)$$

Ainsi, la fixation de jauge nous a permis de construire une théorie ayant un propagateur bien défini $\Delta_{\mu\nu}$, ce qui est indispensable pour développer la théorie perturbative.

Bien entendu, toutes les intégrales fonctionnelles que nous avons écrites ainsi que la généralisation du déterminant et de la mesure de Haar en dimension infinie n'ont pas de signification mathématique bien claire. Notre seul but a été de montrer que les outils habituels de la théorie quantique des champs pouvaient être utilisés sur le tore non commutatif sans changement profond.

4.3.3 Symétrie BRS

L'action donnée par la relation (4.218) n'est plus invariante de jauge car nous avons incorporé le terme de fixation de jauge $S_{GF}[A_\mu]$. En complète analogie avec la symétrie BRS de la théorie des champs de Yang-Mills, nous allons montrer que cette action admet une symétrie résiduelle qui s'avère être de la plus haute importance lorsque l'on étudie la renormalisation de cette théorie.

La transformation *BRS* est donnée par son générateur s dont l'opération est définie par

$$s(A_\mu) = \frac{1}{g} \partial_\mu C + [A_\mu, C] \quad (4.223)$$

sur le champ de jauge. Bien entendu, cette relation doit être considérée comme une écriture compacte de la relation entre composantes, qui seule a un sens précis

$$s(A_\mu^p) = \frac{2i\pi p_\mu}{g} C^p + \sum_{q+r=p} 2i \sin \theta(q, r) A_\mu^q C^r. \quad (4.224)$$

Nous définissons l'action de s sur le fantôme de Faddeev-Popov par

$$s(C) = -\frac{1}{2} \{C, C\} = -C^2. \quad (4.225)$$

Cette relation est formellement analogue à l'action de la transformation BRS usuelle, mais elle doit être explicitée en composantes pour acquérir une réelle signification. Puisque le champ C se développe en $C = \sum_p C_p U^p$ où C_p est une suite de variables de Grassmann, on a

$$\frac{1}{2} \{C, C\} = \sum_{q,r} C_q C_r U^q U^r = \sum_{q,r} i \sin \theta(q, r) C_q C_r U^{q+r}. \quad (4.226)$$

On en déduit que

$$s(C_p) = - \sum_{q+r=p} i \sin \theta(q, r) C_q C_r. \quad (4.227)$$

La définition de $s(\overline{C})$ est plus délicate et requiert l'introduction d'un champ auxiliaire B . Remplaçons le terme de fixation de jauge $S_{GF}[A_\mu] = -\frac{1}{2\alpha} \int (\partial_\mu A^\mu)^2$ par

$$S_{GF}[A_\mu, B] = \int \left(\frac{\alpha g^2}{2} B^2 + g \partial_\mu B A^\mu \right). \quad (4.228)$$

Ce terme est équivalent, au niveau classique, au terme précédent car l'équation du mouvement pour le champ B nous donne simplement $B = \frac{1}{\alpha g} \partial_\mu A^\mu$ ce qui implique

$$S_{GF}[A_\mu, B] = \frac{1}{2\alpha} \int (\partial_\mu A^\mu)^2 + \frac{1}{\alpha} \int (\partial_\mu \partial_\nu A^\nu A^\mu)^2 = S_{GF}[A_\mu] \quad (4.229)$$

après intégration par parties, ce qui nous permet d'interpréter B comme un multiplicateur de Lagrange pour la condition de jauge de Lorentz.

De même, ces deux actions sont équivalentes au niveau quantique car on peut réécrire le terme de fixation de jauge à l'aide d'une intégration par parties

$$\begin{aligned} S_{GF}[A_\mu, B] &= \int \left(\frac{\alpha g^2}{2} B^2 - g B \partial_\mu A^\mu \right) \\ &= \frac{\alpha g^2}{2} \int \left(B - \frac{1}{\alpha g} \partial_\mu A^\mu \right)^2 - \frac{1}{2\alpha} \int (\partial_\mu A^\mu)^2. \end{aligned} \quad (4.230)$$

Par conséquent, l'intégrale fonctionnelle sur B est une intégrale gaussienne qui nous donne, à un facteur de normalisation indépendant des champs près,

$$\int [\mathcal{D}B] e^{-S_{GF}[A_\mu, B]} = e^{-S_{GF}[A_\mu]} \quad (4.231)$$

On peut alors achever la définition de s en posant $s(\overline{C}) = B$ et $s(B) = 0$, ce qui entraîne que cette transformation est nilpotente. En effet, on a $s(C) = -C^2$ donc

$$s^2(C) = -s(C)C + Cs(C) = C^3 - C^3 = 0. \quad (4.232)$$

De même,

$$\begin{aligned} s^2(A_\mu) &= s\left(\frac{1}{g} \partial_\mu C + [A_\mu, C]\right) \\ &= \frac{1}{g} \partial_\mu (s(C)) + s(A_\mu)C + A_\mu s(C) - s(C)A_\mu + Cs(A_\mu) \\ &= -\frac{1}{g} \partial_\mu (C^2) + \frac{1}{g} \partial_\mu CC + [A_\mu, C]C - A_\mu C^2 + C^2 A_\mu + \frac{1}{g} C \partial_\mu C + C[A_\mu, C] \\ &= 0. \end{aligned} \quad (4.233)$$

Il est important de remarquer que nous avons utilisé le fait que s est une transformation impaire

$$s(PQ) = s(P)Q \pm Ps(Q), \quad (4.234)$$

où on a le signe $-$ si P est un fantôme ou un antifantôme.

Finalement, nous allons montrer que l'action totale, incluant le déterminant de Faddeev-Popov et le terme de fixation de jauge, est invariante sous la transformation BRS. Commençons par étudier la loi de transformation de la courbure. Puisque

$$s(A_\mu) = \frac{1}{g} \partial_\mu C + [A_\mu, C] \quad (4.235)$$

on a

$$s(\partial_\mu A_\nu) = \frac{1}{g} \partial_\mu \partial_\nu C + [\partial_\mu A_\nu, C] + [A_\nu, \partial_\mu C] \quad (4.236)$$

et

$$\begin{aligned} s(g[A_\mu, A_\nu]) &= g[s(A_\mu), A_\nu] + g[A_\mu, s(A_\nu)] \\ &= [\partial_\mu C, A_\nu] + [A_\mu, \partial_\nu C] \\ &\quad + g[[A_\mu, C], A_\nu] + [A_\mu, [A_\nu, C]]. \end{aligned} \quad (4.237)$$

On en déduit que

$$s(F_{\mu\nu}) = [F_{\mu\nu}, C], \quad (4.238)$$

ce qui prouve que l'action de Yang-Mills est invariante sous cette transformation car

$$\begin{aligned} s(F_{\mu\nu} F^{\mu\nu}) &= \int (s(F_{\mu\nu}) F^{\mu\nu} + F_{\mu\nu} s(F^{\mu\nu})) \\ &= \int ([F_{\mu\nu}, C] F^{\mu\nu} + F_{\mu\nu} [F^{\mu\nu}, C]) \\ &= \int ([F_{\mu\nu} F^{\mu\nu}, C]) \\ &= 0 \end{aligned} \quad (4.239)$$

en utilisant la propriété de trace de \int .

La loi de transformation de l'action de Faddeev-Popov se détermine de la manière suivante,

$$\begin{aligned} s(\overline{C} \partial_\mu \partial^\mu C + g \overline{C} \partial_\mu [A^\mu, C]) &= \\ &B(\partial_\mu \partial^C + g \partial_\mu [A^\mu, C]) \\ &\quad + \overline{C} \partial_\mu \partial^\mu C^2 - \overline{C} \partial_\mu (C) \partial^\mu C - \overline{C} \partial_\mu (\partial^\mu C C) \\ &\quad - g \overline{C} \partial_\mu ([A^\mu, C] C - A^\mu C^2 + C[A^\mu, C] + C^2 A^\mu). \end{aligned} \quad (4.240)$$

On en déduit que

$$s(S_{FP}[A_\mu, \overline{C}, C]) = \int (B(\partial_\mu \partial^C + g \partial_\mu [A^\mu, C])), \quad (4.241)$$

car les termes des troisième et quatrième lignes de la relation précédente sont identiquement nuls.

Pour terminer, il nous suffit de déterminer la loi de transformation du terme de fixation de jauge $S_{GF}[A_\mu, B]$:

$$\begin{aligned} s\left(\frac{\alpha g^2}{2} B^2 - g B \partial_\mu A^\mu\right) &= -g B s(\partial_\mu A^\mu) \\ &= -B(\partial_\mu \partial^\mu C + g \partial_\mu [A^\mu, C]) \end{aligned} \quad (4.242)$$

Ceci est exactement le terme opposé à celui que nous avons rencontré dans l'étude de la transformation du terme de Faddeev-Popov. On en déduit que

$$s \left(S_{GF}[A_{\mu,B}] + S_{FP}[A_{\mu}, C, \overline{C}] \right) = 0, \quad (4.243)$$

ce qui prouve l'invariance de l'action totale sous la transformation BRS.

En conclusion, il semble important de noter que nous avons pu définir la transformation BRS et vérifier l'invariance de l'action totale, incluant les termes de fixation de jauge et le déterminant de Faddeev-Popov sur le tore non commutatif. Il est remarquable que toute cette construction se place sur un plan purement algébrique, car nous n'avons jamais été amené à utiliser la notion de point, que ce soit lors du procédé de fixation de jauge ou dans l'étude de la symétrie BRS.

4.3.4 Règles de Feynman

Pour construire la théorie quantique des champs perturbative sur le tore non commutatif, nous devons développer un procédé nous permettant de calculer à chaque ordre de la théorie des perturbations les valeurs moyennes de certaines observables. Plus précisément, si \mathcal{O} est une fonction de A_{μ} invariante de jauge, nous voulons calculer sa valeur moyenne définie par l'intégrale fonctionnelle

$$\langle \mathcal{O}(A_{\mu}) \rangle = \int [\mathcal{D}\overline{C}C][\mathcal{D}A_{\mu}] \mathcal{O}(A_{\mu}) e^{-S[A,C,\overline{C}]}, \quad (4.244)$$

où nous supposons l'intégrale fonctionnelle normalisée par la condition $\langle 1 \rangle = 1$. Il est souvent utile de calculer la valeur moyenne de fonctions du type $\mathcal{O}(A_{\mu}, C, \overline{C})$ qui dépendent aussi des fantômes de Faddeev-Popov.

Dans le cas du tore non commutatif, les variables sur lesquelles est prise la moyenne sont les nombres réels A_{μ}^p ainsi que les variables de Grassmann C_q et \overline{C}_r . Nous pouvons aussi, pour simplifier, supposer que la fonction $\mathcal{O}(A_{\mu}, C, \overline{C})$ se développe en série sur les monômes $A_{\mu_1}^{p_1} \dots A_{\mu_i}^{p_i} C_{q_1} \dots C_{q_j} \overline{C}_1 \dots \overline{C}_{r_k}$, ce qui ramène le calcul de sa valeur moyenne à celui de l'intégrale fonctionnelle

$$\int [\mathcal{D}\overline{C}DC][\mathcal{D}A_{\mu}] \left(A_{\mu_1}^{p_1} \dots A_{\mu_i}^{p_i} C_{q_1} \dots C_{q_j} \overline{C}_1 \dots \overline{C}_{r_k} \right) e^{-S[A,C,\overline{C}]}, \quad (4.245)$$

qui représente, en théorie des champs usuelle, la fonction de Green dans l'espace des impulsions.

Pour pouvoir calculer ces valeurs moyennes à tous les ordres de la théorie des perturbations, nous allons suivre la méthode usuelle de la théorie des champs en couplant les champs A_{μ} , C et \overline{C} aux sources J_{μ} , $\overline{\eta}$ et η . J^{μ} est un élément antihérmiteen de \mathcal{A} qui se couple à A_{μ} par

$$\int J^{\mu} A_{\mu} = \sum_p J^{\mu-p} A_{\mu}^p. \quad (4.246)$$

De même, η et $\overline{\eta}$ sont des sources pour les antifantômes et les fantômes qui se développent en série à l'aide de variables de Grassmann

$$\eta = \sum_p \eta_p U^p \quad \overline{\eta} = \sum_p \overline{\eta}_p U^p, \quad (4.247)$$

où η_p et $\overline{\eta}_p$ sont des variables de Grassmann qui anticommulent entre elles ainsi qu'avec toutes les autres variables de Grassmann. Le couplage avec C et \overline{C} se fait selon

$$\int \overline{\eta} C = \sum_p \overline{\eta}_{-p} C_p \quad (4.248)$$

et

$$\int \bar{C}\eta = \sum_p \bar{C}_p \eta_{-p}. \quad (4.249)$$

En introduisant la fonctionnelle génératrice

$$Z[J_\mu, \eta, \bar{\eta}] = \int [\mathcal{D}\bar{C}\mathcal{D}C][\mathcal{D}A_\mu] e^{-S[A_\mu, C, \bar{C}] + \int J_\mu A^\mu + \int \bar{\eta} C + \bar{C}\eta}, \quad (4.250)$$

que nous supposons normalisée par $Z[0] = 1$, on peut, par simple dérivation par rapport aux composantes des sources J_μ^{-p} , η_{-q} (dérivation à gauche) et $\bar{\eta}_{-r}$ (dérivation à droite) calculer la valeur moyenne de n'importe quelle observable. En effet, ces opérations de dérivations sont respectivement équivalentes à l'insertion dans l'intégrale fonctionnelle définissant la fonctionnelle génératrice des termes A_μ^p , C_q et \bar{C}_q .

Nous séparons alors l'action en une partie quadratique,

$$S_{quad}[A_\mu, C, \bar{C}] = \frac{(2i\pi)^2}{2} \sum_p \left((p^2 g_{\mu\nu} - (1 - \alpha)p^\mu p^\nu) A_\mu^p A_\nu^{-p} + p^2 \bar{C}_{-p} C_p \right) \quad (4.251)$$

qui décrit une théorie libre et une partie non quadratique associée aux interactions

$$\begin{aligned} S_{int}[A_\mu, C, \bar{C}] &= 2\pi g \sum_{p,q,r} p^\mu \sin \theta(q, r) \delta(p + q + r) A_\mu^p A_\nu^q A_\rho^r \\ &\quad + 2\pi g \sum_{p,q,r} p^\mu \sin \theta(q, r) \delta(p + q + r) \bar{C}^p A_\mu^q C^r \\ &\quad + g^2 \sum_{p,q,r,s} g^{\mu\rho} g^{\nu\sigma} \sin \theta(p, q) \sin \theta(r, s) \delta(p + q + r + s) A_\mu^p A_\nu^q A_\rho^r A_\sigma^s. \end{aligned}$$

Cela nous permet d'écrire la fonctionnelle génératrice $Z[J_\mu, C, \bar{C}]$ à l'aide de dérivées de la fonctionnelle génératrice des champs libres

$$Z_0[J_\mu, C, \bar{C}] = \int [\mathcal{D}\bar{C}, C][\mathcal{D}A_\mu] e^{-S_{quad}[A_\mu, C, \bar{C}]}, \quad (4.252)$$

car on a,

$$Z[J_\mu, C, \bar{C}] = e^{-S_{int}[\frac{\partial}{\partial J_\mu}, \frac{\partial}{\partial C}, \frac{\partial}{\partial \bar{C}}]} Z_0[J_\mu, C, \bar{C}]. \quad (4.253)$$

Cette relation est formelle et nous permet, tout comme en théorie des champs usuelle, d'écrire n'importe quelle fonction de Green tout ordre de la théorie des perturbations à l'aide de quelques règles simples appelés règles de Feynman.

Ces règles permettent de construire des diagrammes associées à chaque fonction de Green et chacun de ces diagrammes correspond à une somme sur toutes les impulsions. Nous ne décrivons pas ici la méthode permettant d'effectuer ces calculs et nous nous bornons à donner les règles de Feynman pour la théorie de Yang-Mills sur le tore non commutatif, leur dérivation à partir des expressions de $S_{quad}[A_\mu, C, \bar{C}]$ et de $S_{int}[A_\mu, C, \bar{C}]$ étant similaire à la démarche employée en théorie des champs usuelle.

Les propagateurs s'obtiennent en inversant les opérateurs apparaissant dans la définition de l'action quadratique. Puisque l'inverse de $p^2 g^{\mu\nu} - (1 - \frac{1}{\alpha})p^\mu p^\nu$ est

$$\frac{1}{p^2} \left(g_{\mu\nu} - (1 - \alpha) \frac{p_\mu p_\nu}{p^2} \right), \quad (4.254)$$

nous associons au diagramme représentant le propagateur du champ A_μ



la quantité

$$-\frac{4\pi^2}{p^2} \left(g_{\mu\nu} - (1 - \alpha) \frac{p_\mu p_\nu}{p^2} \right) \delta(p + q). \quad (4.255)$$

De même, au propagateur des fantômes

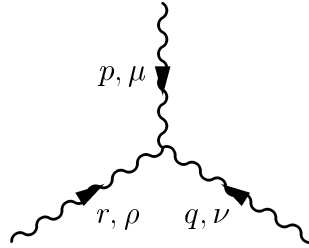


est associé

$$-\frac{4\pi^2}{p^2} \delta(p + q). \quad (4.256)$$

Ces propagateurs ne dépendent pas du paramètre de déformation θ et sont absolument identiques aux propagateurs usuels.

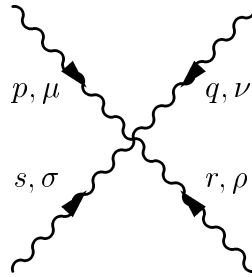
L'interaction à trois champs de jauge est donnée par le diagramme



auquel est associé

$$-4\pi g ((p - r)_\nu g_{\mu\rho} + (q - p)_\rho g_{\mu\nu} + (r - q)_\mu g_{\nu\rho}) \sin \theta(p, q) \delta(p + q + r). \quad (4.257)$$

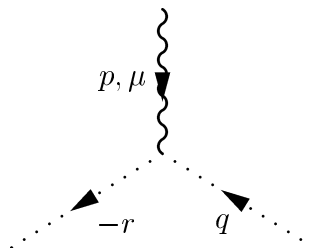
L'interaction de quatre bosons de jauge



est donnée par

$$\begin{aligned} & -16\pi^2 g^2 ((g_{\mu\rho} g_{\nu\sigma} - g_{\mu\sigma} g_{\nu\rho}) \sin \theta(p, q) \sin \theta(r, s) \\ & + (g_{\mu\sigma} g_{\nu\rho} - g_{\mu\nu} g_{\rho\sigma}) \sin \theta(p, r) \sin \theta(s, q) \\ & (g_{\mu\nu} g_{\rho\sigma} - g_{\mu\rho} g_{\nu\sigma}) \sin \theta(p, s) \sin \theta(q, r)) \delta(p + q + r + s). \end{aligned}$$

Enfin, l'interaction des bosons de jauge et des fantômes



nous donne

$$4\pi g r_\mu \sin \theta(p, q) \delta(p + q + r). \quad (4.258)$$

Si les propagateurs de la théorie de Yang-Mills sur le tore non commutatif sont ceux de la théorie de Yang-Mills usuelle, il n'en va pas de même pour les interactions. Celles-ci sont totalement nouvelles et leur dépendance en les impulsions est non polynômiale, ce qui signifie que nous avons une théorie des champs non locale. En effet, nous avons écrit le lagrangien dans l'espace de Fourier, mais il est impossible d'écrire son équivalent à l'aide de fonctions sur le tore usuel sans avoir des interactions entre les valeurs des champs en des endroits différents de l'espace. Cette non localité des interactions est le seul fait véritablement nouveau de cette théorie des champs ; il est à relier directement à l'impossibilité de définir la notion de point lorsque l'algèbre est non commutative.

Toutefois, lorsque θ est rationnel, nous savons que nous obtenons une théorie de jauge $U(N)$ avec une topologie non triviale. Dans ce cas, la théorie est évidemment locale car la fonction $\sin \theta(p, q)$ est périodique en p et en q , ce qui implique que $\sin \theta(p, q)$ ne prend qu'un nombre fini de valeurs. Il est alors possible d'écrire les règles de Feynman à l'aide des impulsions sur le tore usuel, qui sont les indices p tels que $\theta(p, q) \in 2i\pi\mathbb{Z}$ pour tout $q \in \mathbb{Z}^n$, et d'un indice ne prenant qu'un nombre fini de valeurs et jouant le rôle de l'indice de l'algèbre de Lie de $SU(N)$.

4.3.5 Vers une théorie quantique

Avec ces règles de Feynman, nous disposons d'un procédé permettant de calculer à n'importe quel ordre de la théorie des perturbations les fonctions de Green et donc les valeurs moyennes d'observables quelconques. Bien entendu, toutes les règles de la théorie des champs usuelle s'appliquent. Pour calculer à un ordre donné une fonction de Green, il faut sommer toutes les contributions des diagrammes de Feynman dont les pattes externes correspondent à cette fonction de Green.

Puisque nous sommes sur l'analogie non commutatif du tore, à chaque diagramme de Feynman contenant au moins une boucle est associée une somme sur toutes les impulsions $p \in \mathbb{Z}^n$, qui remplace l'intégrale sur les impulsions que nous rencontrons en théorie des champs usuelle.

Faute de temps, nous allons nous limiter à donner les principaux résultats de cette théorie quantique, en renvoyant le lecteur intéressé à [KrW2] pour une étude complète et une démonstration des résultats que nous allons énoncer.

Tout d'abord, il s'avère que les séries que nous rencontrons dans le calcul des diagrammes de Feynman sont tout aussi divergentes qu'en théorie des champs usuelle, du moins à une boucle. En effet, lorsque θ est rationnel, cette théorie est une théorie de Yang-Mills avec un groupe de jauge $SU(N)$ qui mène à des séries divergentes dans le calcul de certains diagrammes de Feynman. Le calcul explicite de quelques exemples simples, comme la correction à une boucle du propagateur du champ de jauge, nous montre que même si θ est non dégénéré, nous obtenons le même type de divergence. Des résultats similaires ont été obtenus dans [VG2] et cela nous montre que même si on modifie profondément la structure de l'espace-temps en introduisant des relations de commutation non triviales entre les coordonnées, cela ne suffit pas à régulariser les divergences ultraviolettes de la théorie.

Cependant, en utilisant l'inégalité $|\sin \theta(p, q)| \leq 1$ et le théorème de Weinberg sur la convergence des graphes de Feynman [IZ], on montre aisément que tout diagramme de Feynman convergent par comptage de puissance dans la théorie conventionnelle est convergent sur le tore non commutatif. Se pose alors naturellement le problème de la renormalisation de cette théorie

ainsi que de l'influence du paramètre de déformation θ sur les diverses équations rencontrées en théorie de la renormalisation.

Comme conjecturé dans [CDS], il s'avère que cette théorie est renormalisable. La preuve de la renormalisabilité repose essentiellement sur la symétrie BRS et l'utilisation d'un procédé de régularisation préservant cette dernière. Puisque nous ne pouvons pas utiliser la régularisation dimensionnelle, nous avons recours à la méthode des "hautes dérivées covariantes" [FS], qui nous permet de régulariser tous les diagrammes ayant au moins deux boucles. Les diagrammes restant sont régularisés par la méthode de Pauli-Villars et nous construisons ainsi, ordre par ordre, les contretermes de la théorie en utilisant la symétrie BRS. Il est remarquable que tout ceci est formellement analogue aux méthodes de la théorie des champs usuelle; même si notre objet d'étude est très différent, nous procédons comme si c'était un champ de Yang-Mills ordinaire.

Toutefois, ce procédé de régularisation n'est pas adapté au calcul pratique des contretermes. Dans [KrW2], nous déterminons les contretermes à une boucle dans le schéma de renormalisation minimal MS en utilisant une fonction ζ généralisée. Ces contretermes sont indépendants du paramètre de déformation θ et identiques à ceux rencontrés en théorie des champs usuelle.

Il est remarquable que cette théorie soit absolument dépourvue de divergences infrarouges. En effet, sur un espace compact ces dernières sont essentiellement dues au mode zéro du champ qui nous donne une divergence du type $1/p$ pour $p = 0$ dans toute série représentant un diagramme de Feynman. Puisque ce mode zéro se découple complètement de la théorie, il ne se propage pas et disparaît complètement. En conséquence, les sommes se font uniquement sur les impulsions non nulles et il n'y a aucune divergence infrarouge. Sur le plan physique, ceci peut être aisément interprété dans le cas rationnel de la manière suivante. Puisque les divergences infrarouges correspondent à des divergences à grande échelle sur l'espace, celles-ci sont sensibles à la topologie nontriviale du fibré décrivant la théorie de jauge $SU(N)$ associée, alors que les divergences ultraviolettes apparaissent à petite échelle et ne peuvent pas distinguer deux théories qui sont localement identiques.

Conclusion

En suivant les principes généraux de la géométrie non commutative édictés par A. Connes, il est possible de généraliser une grande partie des concepts géométriques rencontrés en physique théorique. Cela inclut, par exemple, la notion de symétrie de jauge et la théorie de Yang-Mills, ainsi que les diverses propriétés topologiques de ces objets.

Au cours de cette thèse, nous avons utilisé ces nouvelles idées géométriques de deux manières très différentes.

D'un côté, nous avons construit des géométries non commutatives très simples en prenant le produit tensoriel de la géométrie de l'espace-temps ordinaire par un triplet spectral fini. La géométrie résultante décrit simplement le produit de l'espace-temps par un espace discret, qui est assimilé à l'espace interne de la théorie, et nous permet d'interpréter le boson de Higgs comme une connexion sur cet espace discret.

En appliquant la construction que nous avons décrite, nous avons obtenu une théorie de Yang-Mills-Higgs couplée à la gravitation. Notre point de départ est un triplet spectral $(\mathcal{A}, \mathcal{H}, \mathcal{D})$, qui ne contient, outre la structure géométrique de l'espace-temps, que des informations relatives au secteur fermionique de la théorie. En effet, le triplet spectral fini décrivant l'espace interne du modèle en question se compose de

- une algèbre \mathcal{A} , qui est associée à un unique groupe de jauge à des facteurs abéliens près ;
- l'espace de Hilbert \mathcal{H} qui est simplement un espace vectoriel regroupant tous les fermions ;
- l'opérateur de Dirac qui décrit la structure des couplages de Yukawa ;
- un opérateur de chiralité χ et un opérateur de conjugaison de charge \mathcal{J} qui permettent de distinguer fermions droits et fermions gauches ainsi que leurs antiparticules ;
- une représentation π de \mathcal{A} sur \mathcal{H} qui est associée à la représentation fermionique du groupe de jauge.

Ces 6 objets \mathcal{A} , \mathcal{H} , \mathcal{D} , χ , \mathcal{J} et π sont fortement contraints par les axiomes de la géométrie non commutative. Par conséquent, le secteur fermionique des théories de Yang-Mills-Higgs que nous construisons, qui est en correspondance directe avec les 6 objets précédents, est lui aussi fortement contraint.

De plus, lorsque ce dernier est fixé, le secteur bosonique est entièrement déterminé. Les champs de jauge et leurs représentations apparaissent directement comme des éléments de \mathcal{A} représentés par π alors que les champs scalaires sont déterminés par le calcul, car ce sont des connexions associées à la théorie de jauge sur la composante discrète de l'espace-temps.

Ainsi nous reconstruisons des modèles de Yang-Mills-Higgs et nous mettons l'accent sur les contraintes imposées à ces modèles. Bien entendu, le modèle standard entre dans la classe des modèles que nous pouvons construire, et nous utilisons ainsi la géométrie non commutative pour réduire l'arbitraire sur les paramètres entrant dans sa description.

Bien que l'étude de ce type d'exemple soit maintenant des plus classiques, il reste un certain nombre de points obscurs en relation avec le triplet spectral du modèle standard.

Tout d'abord, puisque nous avons mis l'accent sur la réduction de l'arbitraire inhérent à la construction du modèle standard, nous devons appliquer cette logique jusqu'au bout et essayer de réduire encore la liberté de choix que nous avons en géométrie non commutative.

En tout premier lieu, ceci concerne la condition d'unimodularité. En effet, la construction du modèle standard en géométrie non commutative introduit un facteur $U(1)$ additionnel dans le groupe de jauge. La réduction de ce dernier se fait par l'intermédiaire d'une condition d'unimodularité, qui reste pour l'instant introduite *ad hoc*, même si elle est équivalente à l'absence d'anomalie.

En second lieu, il est évident que l'opérateur de Dirac contient lui aussi un arbitraire important car toutes les masses et les éléments de la matrice de Cabibbo-Kobayashi-Maskawa sont indéterminés. La détermination de contraintes vérifiables expérimentalement sur ces éléments de matrice ne peut se faire à l'aide des axiomes précédents et fait nécessairement appel à une théorie extérieure. Dans [C7], il a été suggéré que le modèle standard pouvait receler une symétrie quantique. Un groupe quantique aux racines de l'unité devrait jouer, pour l'espace fini, le rôle du groupe spinoriel et la covariance de l'opérateur de Dirac par rapport à ce groupe quantique pourrait être à l'origine de contraintes sur les masses des fermions.

D'après le principe d'action spectrale, ce sont les valeurs propres de l'opérateur de Dirac qui sont les véritables variables dynamiques de la théorie. Cela peut être considéré comme le point de départ d'une nouvelle formulation de la théorie de la gravitation. Par exemple, dans [LR], les crochets de Poisson des valeurs propres de l'opérateur de Dirac, considérées comme des fonctionnelles dépendant de la tétrade ont été calculés.

Si cette approche a le mérite de nous fournir des contraintes qui pourront être vérifiées expérimentalement, nous nous sommes bornés à utiliser des triplets spectraux obtenus comme produits tensoriels de la géométrie ordinaire de l'espace-temps par des triplets spectraux finis.

D'un autre côté, nous pouvons aussi utiliser la géométrie non commutative pour construire des objets réellement nouveaux en théorie des champs, mais sans véritable signification en ce qui concerne la phénoménologie des particules élémentaires.

Par exemple, nous avons construit l'action de Chern-Simons pour tout triplet spectral de dimension 3 satisfaisant à la condition de fermeture. Cette construction peut être considérée comme un exemple de généralisation de théorie des champs ordinaire que l'on peut obtenir à l'aide de la géométrie non commutative.

Dans le même ordre d'idée, l'application des méthodes générales de la géométrie non commutative au tore non commutatif permet de construire des théories de jauge ayant des propriétés très similaires à celles des théories de jauge ordinaires. Cependant, elles sont d'essence radicalement différente car nous ne pouvons plus les associer à une variété.

A ce titre, l'exemple du tore non commutatif est particulièrement frappant. Bien que la théorie de jauge sur ce dernier corresponde, dans l'espace des moments, à une théorie ayant des interactions non locales, il est remarquable qu'on puisse lui appliquer les méthodes usuelles de la théorie quantique des champs quasiment sans aucun changement.

Rappelons que nous avons vérifié la symétrie BRS et donné les diagrammes de Feynman permettant le développement perturbatif de cette théorie. Il apparaît clairement que les propagateurs des bosons de jauge et des fantômes de Faddeev-Popov sont identiques à ceux que l'on obtient en théorie des champs ordinaire. Les interactions des bosons de jauge entre eux ainsi qu'avec les fantômes sont non locales car elles ont une dépendance non polynômiale en les impulsions.

Nous disposons alors de tous les outils permettant de développer la théorie perturbative sur le tore non commutatif. Il s'avère que tout diagramme de cette théorie converge si et seulement si il converge en théorie des champs usuelle. Par conséquent, la théorie de Yang-Mills sur le tore non commutatif est tout aussi divergente dans l'ultraviolet que la théorie de Yang-Mills usuelle (du moins à une boucle) et on peut montrer, en utilisant les méthodes usuelles de la théorie des champs, que c'est une théorie renormalisable. Par contre, la théorie de Yang-Mills est parfaitement finie dans l'infrarouge car le mode zéro se découple totalement.

Bien que ce travail soit le premier exemple de théorie quantique des champs développée en géométrie non commutative qui ne corresponde pas directement à une théorie déjà connue dans le cadre de la physique des particules, il est clair que cet exemple est très particulier et ne saurait être considéré comme générique.

Il semble donc nécessaire de construire d'autres géométries non commutatives, par exemple en utilisant la notion de produit croisé qui nous permet d'obtenir le tore non commutatif comme cas particulier, et de développer sur ces "espaces non commutatifs" une théorie quantique des champs comme la théorie de Yang-Mills ou celle de Chern-Simons.

Annexe A

Algèbres d'opérateurs

Cette appendice résume les concepts essentiels de la théorie des algèbres d'opérateurs dont nous avons besoin dans cette thèse. Il est évidemment très incomplet et ne vise qu'à rappeler brièvement les notions indispensables à la compréhension des pages précédentes. Nous renvoyons le lecteur intéressé par un exposé complet à [BR] ou [C5].

A.1 Algèbres involutives et états

Les algèbres employées dans ce qui précède sont destinées à remplacer l'algèbre des fonctions à valeurs complexes définies sur un espace \mathcal{X} . Tout comme en mécanique quantique, une fonction est remplacée par un opérateur et nous devons être capables d'identifier les analogues des fonctions réelles. Cela nous amène à introduire le concept suivant :

Définition A.1.1 *Une algèbre involutive est une algèbre associative \mathcal{A} munie d'une application antilinéaire $*$ de \mathcal{A} dans \mathcal{A} telle que $(x^*)^* = x$ et $(xy)^* = y^*x^*$ pour tous $x, y \in \mathcal{A}$.*

Dans une telle algèbre, il est possible de définir la positivité ou l'unitarité.

Définition A.1.2 *Un élément x d'une algèbre involutive \mathcal{A} est dit*

- positif s'il existe $y \in \mathcal{A}$ tel que $x = yy^*$;*
- unitaire si $xx^* = x^*x = 1$ (définition valable lorsque \mathcal{A} est unitaire).*

L'analogie avec la mécanique quantique nous amène à concevoir \mathcal{A} comme une algèbre d'observables. En mécanique quantique nous voulons associer un nombre à chacune de ces observables qui n'est autre que la valeur moyenne de cette observable. Dans le cas général, on introduit la notion d'état.

Définition A.1.3 *Un état sur une algèbre involutive \mathcal{A} est une forme linéaire ϕ sur \mathcal{A} telle que $\phi(1) = 1$ et $\phi(xx^*) \geq 0$ pour tout $x \in \mathcal{A}$.*

Un état doit être considéré comme l'analogie de la matrice densité ρ . En général, ρ correspond à un état de mélange mais on peut identifier une classe de matrices densité correspondant à des états purs du système en considération.

Définition A.1.4 *Un état est pur s'il ne peut être écrit comme combinaison linéaire convexe de deux états.*

Avant de passer à la suite, étudions deux exemples simples.

L'exemple le plus simple est l'algèbre de matrices $\mathcal{A} = M_N(\mathbb{C})$. Toute forme linéaire ϕ sur \mathcal{A} peut toujours se mettre sous la forme

$$\phi(x) = \text{Tr}(\rho x) \quad \forall x \in \mathcal{A}, \quad (\text{A.1})$$

où ρ est une matrice $N \times N$.

Il est alors facile de vérifier que ϕ est un état si et seulement si ρ est une matrice positive de trace 1. Pour que cet état soit pur, il faut et suffit que ρ soit une matrice de rang 1. Un tel projecteur est donné par un vecteur unitaire de \mathbb{C}^N et deux tels vecteurs définissent le même état si et seulement si ils se déduisent l'un de l'autre par multiplication par une phase.

Les états de l'algèbre des fonctions continues sur un espace topologique compact \mathcal{X} sont donnés par les mesures de probabilité sur X . La correspondance entre une mesure μ et un état ϕ est

$$\phi(f) = \int_{\mathcal{X}} f d\mu \quad f \in \mathcal{A}. \quad (\text{A.2})$$

ϕ est un état pur si et seulement si μ est une mesure de Dirac ; les états purs de \mathcal{A} sont donc en correspondance directe avec les points de \mathcal{X} .

A partir d'une algèbre involutive \mathcal{A} et d'un état ϕ sur \mathcal{A} , il est toujours possible de construire un espace de Hilbert \mathcal{H} sur lequel \mathcal{A} admet une représentation involutive. Cette construction est appelé construction GNS du nom de ses auteurs Gelfand, Naimark et Segal.

Proposition A.1.1 *Soit \mathcal{A} une algèbre involutive, ϕ un état sur \mathcal{A} et \mathcal{J} l'ensemble des $x \in \mathcal{A}$ tels que $\phi(xx^*) = 0$. Alors \mathcal{J} est un idéal à gauche de \mathcal{A} et le complété \mathcal{H} de \mathcal{A}/\mathcal{J} est un espace de Hilbert dont le produit scalaire est défini par $\langle x, y \rangle = \phi(y^*x)$. De plus, l'application qui à $a \in \mathcal{A}$ associe l'opérateur $\pi_\phi(a)$ sur \mathcal{H} défini par $\pi_\phi(a)[x] = ax$ pour tout $x \in \mathcal{H}$ est une représentation involutive de \mathcal{A} sur \mathcal{H} .*

A partir de cette construction, on peut caractériser l'irréductibilité de la représentation.

Définition A.1.5 *La représentation π_ϕ est irréductible si et seulement si ϕ est un état pur.*

Nous allons considérer des classes plus particulières d'algèbres involutives qui sont les algèbres de von Neumann, les C^* -algèbres et l'algèbre des opérateurs compacts. Elles correspondent aux généralisations non commutatives des fonctions mesurables, des fonctions continues et des infinitésimaux.

A.2 Algèbres de von Neumann

Commençons par donner la définition d'une algèbre de von Neumann.

Définition A.2.1 *Soit \mathcal{H} un espace de Hilbert. Une algèbre de von Neumann \mathcal{M} est une sous-algèbre involutive de l'algèbre des opérateurs bornés sur \mathcal{H} qui est stable par limite faible.*

On dit que la suite $(T_n)_{n \in \mathbb{N}}$ d'opérateurs bornés converge faiblement vers l'opérateur borné T si et seulement si

$$\lim_{n \rightarrow +\infty} \langle x, T_n y \rangle = \langle x, T y \rangle \quad (\text{A.3})$$

pour tous vecteurs x et y de \mathcal{H} .

Le théorème suivant permet de caractériser algébriquement les algèbres de von Neumann.

Théorème A.2.1 *Une sous-algèbre involutive de l'algèbre des opérateurs bornés sur un espace de Hilbert est une algèbre de von Neumann si et seulement si elle coïncide avec son bicommutant.*

Le commutant d'un ensemble \mathcal{B} d'opérateurs bornés est formé des opérateurs bornés qui commutent avec tout élément de \mathcal{B} . Son bicommutant est le commutant de son commutant. En général, on note \mathcal{B}' le commutant de \mathcal{B} et \mathcal{B}'' son bicommutant.

Bien que la théorie des algèbres de Von Neuman forme un chapitre fondamental de la physique mathématique, nous passons sous silence certains de ses aspects les plus fondamentaux, comme la classification des facteurs, et nous nous bornons à énoncer le théorème de Tomita-Takesaki. Ce résultat est essentiel pour la compréhension des axiomes de la géométrie non commutative.

Définition A.2.2 *Un vecteur ξ de \mathcal{H} est dit séparateur si les vecteurs $\mathcal{M}\xi$ obtenus par l'action de \mathcal{M} sont denses dans \mathcal{H} . Un vecteur ξ est cyclique si les vecteurs $\mathcal{M}'\xi$ sont denses dans \mathcal{H} .*

Avec cette définition, nous pouvons énoncer le

Théorème A.2.2 *Si \mathcal{M} est une algèbre de von Neumann admettant un vecteur cyclique et séparateur ξ , alors l'opérateur antilinéaire de domaine $\mathcal{M}\xi$ défini par $x\xi \mapsto x^*\xi$ pour tout $x \in \mathcal{M}$ est fermable. Sa fermeture S admet une décomposition polaire $S = \mathcal{J}\Delta^{1/2}$, où \mathcal{J} est une involution antiunitaire et Δ un opérateur positif. De plus, on a*

$$\mathcal{J}\mathcal{M}\mathcal{J}^{-1} = \mathcal{M}' \quad \text{et} \quad \Delta^{it}x\Delta^{-it} \in \mathcal{M} \quad (\text{A.4})$$

pour tous $x \in \mathcal{M}$ et $t \in \mathbb{R}$.

Ainsi, \mathcal{J} permet de définir un isomorphisme entre une algèbre de Von Neuman et son commutant. C'est sous cette forme qu'il apparaît dans la formulation des axiomes de la géométrie non commutative.

A.3 C^* -algèbres

Pour pouvoir définir une version non commutative de la topologie, nous devons coder l'information relative à la structure d'espace topologique sur un espace \mathcal{X} à l'aide d'une certaine sous-algèbre de l'algèbre des fonctions sur \mathcal{X} .

Cela nous amène à introduire la notion de C^* -algèbre.

Définition A.3.1 *Une C^* -algèbre est une algèbre de Banach involutive dont la norme vérifie $\|x\|^2 = \|xx^*\|$ pour tout $x \in \mathcal{A}$.*

La norme d'une telle algèbre est entièrement déterminée par sa structure algébrique.

Proposition A.3.1 *Dans une C^* -algèbre \mathcal{A} , la norme est donnée par*

$$\|x\|^2 = \sup_{\lambda \in \mathbb{C}} \{|\lambda| \mid xx^* - \lambda \text{ non inversible}\} \quad (\text{A.5})$$

pour tout $x \in \mathcal{A}$.

Un premier exemple de C^* -algèbre est donné par l'algèbre des opérateurs bornés sur un espace de Hilbert.

Définition A.3.2 *L'algèbre $\mathcal{B}(\mathcal{H})$ des opérateurs bornés sur un espace de Hilbert \mathcal{H} est une C^* -algèbre dont la norme est donnée par*

$$\|T\| = \sup_{\Psi \in \mathcal{H}, \|\Psi\|=1} \|T\Psi\|. \quad (\text{A.6})$$

En général, nous partons d'une algèbre involutive engendrée par certaines relations de commutation, comme par exemple l'algèbre apparaissant dans la définition du tore non commutatif. A partir d'une telle algèbre, il est toujours possible de définir une C^* -algèbre.

Proposition A.3.2 *Soit \mathcal{A} une algèbre involutive et $(\pi_i)_{i \in I}$ une famille de représentations de \mathcal{A} sur un espace de Hilbert \mathcal{H} telle que pour tout $x \in \mathcal{A}$, la quantité $\|x\|$ définie par*

$$\|x\| = \sup_{i \in I} \|\pi_i(x)\| \quad (\text{A.7})$$

soit finie. Alors l'application $x \in \mathcal{A} \mapsto \|x\| \in \mathbb{R}^+$ définit une norme de C^ -algèbre sur \mathcal{A}/\mathcal{J} , où \mathcal{J} est l'intersection des noyaux des représentations π_i .*

Un autre exemple important de C^* -algèbre est fourni par l'algèbre des fonctions continues sur un espace compact.

Proposition A.3.3 *Soit \mathcal{X} un espace topologique compact et $C(\mathcal{X})$ l'algèbre des fonctions continues sur \mathcal{X} à valeurs complexes. $C(\mathcal{X})$ est une C^* -algèbre dont la norme est définie par*

$$\|f\| = \sup_{x \in \mathcal{X}} |f(x)| \quad (\text{A.8})$$

pour toute fonction $f \in C(\mathcal{X})$.

Cet exemple est le prototype de la C^* -algèbre commutative. En fait, nous allons voir qu'il n'y en a pas d'autre.

Définition A.3.3 *Soit \mathcal{A} une C^* -algèbre et χ une forme linéaire sur \mathcal{A} . On dit que χ est un caractère de \mathcal{A} si χ est un morphisme d'algèbres involutives de \mathcal{A} dans \mathbb{C} .*

Cette définition nous permet d'énoncer le résultat suivant, du à Gelfand et Naimark.

Théorème A.3.1 *Soit \mathcal{A} une C^* -algèbre commutative admettant une unité et \mathcal{X} l'ensemble des caractères de \mathcal{A} . Alors \mathcal{X} est un espace topologique compact pour la topologie définie par la convergence simple et l'application qui à $x \in \mathcal{A}$ associe la fonction f_x de \mathcal{X} dans \mathbb{C} définie par $f_x(\chi) = \chi(x)$ pour tout $\chi \in \mathcal{X}$ est un isomorphisme entre les C^* -algèbres \mathcal{A} et $C(\mathcal{X})$.*

Ce résultat s'étend aux C^* -algèbres commutatives n'admettant pas d'unité en remplaçant l'espace compact \mathcal{X} par un espace localement compact et l'algèbre $C(\mathcal{X})$ par l'algèbre $C^0(\mathcal{X})$ des fonctions continues décroissant à l'infini. Cependant, nous nous limiterons toujours à l'étude des algèbres avec unité.

Ce résultat est fondamental et il pose la première pierre de la géométrie non commutative car il nous permet de définir la donnée d'un espace topologique non commutatif comme étant celle d'une C^* -algèbre non commutative.

Dans le cas commutatif, on peut caractériser certaines propriétés de l'espace topologique sous-jacent à l'aide de la C^* -algèbre des fonctions continues :

Proposition A.3.4 *La C^* -algèbre $C(\mathcal{X})$ est séparable si et seulement si l'espace topologique \mathcal{X} est métrisable.*

Nous reviendrons sur les conséquences de ce résultat lors de l'étude du couplage de la K-théorie avec la cohomologie cyclique.

A.4 Opérateurs compacts et trace de Dixmier

La géométrie non commutative permet de définir de façon satisfaisante la notion d'infiniment petit qui est si utile en physique. En règle générale, un infiniment petit est une quantité qui doit être inférieure à tout nombre réel strictement positif. Bien entendu, un infinitésimal ne peut être un nombre réel sans être identiquement nul, ce qui ne présente aucun intérêt. L'analyse non standard résout le problème en introduisant des nombres réels "non standard" qui apparaissent uniquement comme des intermédiaires de calcul. Cependant, une telle approche n'est pas entièrement satisfaisante car il est impossible d'exhiber un seul nombre "non standard".

Toutefois, si on remplace les nombres par des opérateurs agissant sur un certain espace de Hilbert, il est naturel de définir les infiniment petits comme les opérateurs compacts.

Définition A.4.1 Soient \mathcal{H} un espace de Hilbert et T un opérateur sur \mathcal{H} . Par définition, T est compact si l'adhérence de l'image de la boule unité de \mathcal{H} par T est une partie compacte de \mathcal{H} .

Ces opérateurs forment un ensemble stable par les opérations usuelles, ce qui est indispensable dans les calculs pratiques.

Proposition A.4.1 Les opérateurs compacts forment un idéal de l'algèbre des opérateurs bornés.

On peut caractériser les opérateurs compacts de plusieurs manières différentes.

Théorème A.4.1 Soient \mathcal{H} un espace de Hilbert et T un opérateur sur \mathcal{H} . Les propositions suivantes sont équivalentes :

1. T est un opérateur compact,
2. la suite décroissante $(\lambda_n)_{n \in \mathbb{N}}$ des valeurs propres de $\sqrt{T^*T}$ tend vers 0,
3. pour tout $\epsilon > 0$, il existe un sous-espace E de \mathcal{H} de dimension finie tel que la restriction de T au supplémentaire orthogonal de E soit de norme inférieure à ϵ ,
4. T est limite uniforme d'une suite d'opérateurs de rang fini et la distance entre T et le sous-espace des opérateurs de rang n est donné par λ_n .

Ce théorème justifie l'analogie entre opérateurs compacts et infinitésimaux : alors qu'un infinitésimal doit vérifier $|x| < \epsilon$ pour tout $\epsilon > 0$, un opérateur compact vérifie $\|T\| < \epsilon$ sauf peut-être sur un sous-espace de dimension finie.

En étudiant la suite des valeurs propres d'un opérateur compact, on peut définir des infinitésimaux de tout ordre.

Définition A.4.2 Soient \mathcal{H} un espace de Hilbert, T un opérateur compact sur \mathcal{H} et α un nombre réel strictement positif. On dit que T est un infinitésimal d'ordre α si la suite $(\lambda_n)_{n \in \mathbb{N}}$ des valeurs propres de $|T| = \sqrt{T^*T}$ satisfait à $\lambda_n = O(n^{-\alpha})$.

Il est possible de montrer que les infinitésimaux obéissent aux règles de calcul usuelles. Par exemple, si T_1 et T_2 sont des infinitésimaux d'ordres α_1 et α_2 , leur produit $T_1 T_2$ est un infinitésimal d'ordre $\alpha_1 + \alpha_2$.

Puisqu'un opérateur généralise une fonction, un opérateur compact doit être considéré comme une fonction à valeurs infinitésimales. On veut pouvoir intégrer une telle fonction pour obtenir un nombre fini. A priori, le meilleur candidat pour l'intégration est simplement la trace, les opérateurs compacts ayant une trace sont définis comme intégrables et leur trace est leur

intégrale. Toutefois, cette définition n'est pas la bonne car elle ne nous permet pas de retrouver l'intégrale usuelle dans le cas commutatif.

Pour cela, nous allons définir, sur l'idéal des infinitésimaux d'ordre 1, une fonctionnelle qui possède les propriétés de la trace et se réduit à l'intégrale usuelle dans le cas commutatif.

Cette construction fait appel à la trace de Dixmier et nécessite quelques préliminaires techniques.

Sur l'espace des suites bornées de nombres réels, soit \lim_ω une forme linéaire satisfaisant aux conditions suivantes :

1. $\lim_\omega(a_n)$ est la limite de la suite $(\alpha_n)_{n \in \mathbb{N}}$ si elle converge,
2. $\lim_\omega(a_n) \geq 0$ si $\alpha_n \geq 0$,
3. $\lim_\omega(\alpha_1, \alpha_1, \alpha_2, \alpha_2, \alpha_3, \alpha_3, \dots) = \lim_\omega(\alpha_n)$.

On peut alors utiliser une telle forme linéaire pour associer à tout infinitésimal d'ordre 1 un nombre complexe.

Définition A.4.3 Soient $T \geq 0$ un infinitésimal d'ordre 1, $(\lambda_n)_{n \in \mathbb{N}^*}$ la suite décroissante de ses valeurs propres et \lim_ω une forme linéaire sur l'espace des suites bornées de nombre réels satisfaisant aux propriétés précédentes. On définit la trace de Dixmier par

$$\mathrm{Tr}_\omega(\mathrm{T}) = \lim_\omega \left(\left(\frac{\lambda_1 + \dots + \lambda_N}{\log N} \right)_N \right). \quad (\text{A.9})$$

On étend Tr_ω par linéarité aux infinitésimaux d'ordre 1 non positifs.

Lorsque la suite $(\lambda_n)_{n \in \mathbb{N}}$ converge, on a

$$\mathrm{Tr}_\omega(\mathrm{T}) = \lim_{N \rightarrow +\infty} \frac{\lambda_1 + \dots + \lambda_N}{\log N}. \quad (\text{A.10})$$

En règle générale, la trace de Dixmier vérifie les propriétés suivantes.

Proposition A.4.2

1. Soit T un infinitésimal d'ordre 1 et S un opérateur borné. Alors $\mathrm{Tr}_\omega(\mathrm{ST}) = \mathrm{Tr}_\omega(\mathrm{TS})$.
2. Si $T \geq 0$ alors $\mathrm{Tr}_\omega(\mathrm{T}) \geq 0$.
3. La trace de Dixmier ne dépend que de la structure d'espace vectoriel topologique de \mathcal{H} et non du produit scalaire sous-jacent.
4. La trace de Dixmier s'annule sur les infinitésimaux d'ordre > 1 .

Dans la plupart des cas, cette fonctionnelle dépend de la définition de \lim_ω . Cependant, on peut parfois calculer Tr_ω à l'aide d'une fonction ζ généralisée définie par $\zeta(s) = \mathrm{Tr}(\mathrm{P}^s)$.

Proposition A.4.3 Soient $T \geq 0$ un infinitésimal d'ordre 1 et $s > 1$ un réel. Alors $\mathrm{Tr}(\mathrm{T}^s)$ est bien définie et si

$$\lim_{s \rightarrow 1^+} (s - 1) \mathrm{Tr}(\mathrm{T}^s), \quad (\text{A.11})$$

existe, elle est égale à $\mathrm{Tr}_\omega(\mathrm{T})$

Terminons en étudiant le cas particulier des opérateurs pseudodifférentiels qui nous montre comment la trace de Dixmier s'insère dans un contexte géométrique.

Commençons par donner la définition d'un opérateur pseudodifférentiel sur \mathbb{R}^n . Soit \mathcal{S} l'espace de Schwartz des fonctions à décroissance rapide ainsi que leurs dérivées sur \mathbb{R}^n . Toute fonction $f \in \mathcal{S}$ peut s'écrire à l'aide de sa transformée de Fourier

$$f(x) = \int_{\mathbb{R}^n} d^n k \hat{f}(k) e^{ikx}, \quad \forall x \in \mathbb{R}^n, \quad (\text{A.12})$$

avec

$$\hat{f}(k) = \frac{1}{(2\pi)^n} \int_{\mathbb{R}^n} d^n x f(x) e^{-ikx}, \quad \forall k \in \mathbb{R}^n. \quad (\text{A.13})$$

L'application transformée de Fourier $f \mapsto \hat{f}$ définit un isomorphisme de \mathcal{S} sur lui-même.

Définition A.4.4 *Un opérateur pseudodifférentiel d'ordre $d \in \mathbb{Z}$ sur \mathbb{R}^n est un opérateur linéaire P qui à $f \in \mathcal{S}$ associe la fonction $P \cdot f$ définie par*

$$P \cdot f(x) = \int_{\mathbb{R}^n} d^n k \sigma(x, k) \hat{f}(k) e^{ikx}, \quad \forall x \in \mathbb{R}^n, \quad (\text{A.14})$$

où σ est une fonction sur $\mathbb{R}^n \times \mathbb{R}^n$ appelée symbole de P et satisfaisant à

$$|\partial_x^\alpha \partial_k^\beta \sigma(x, k)| \leq C_{\alpha, \beta} (1 + |k|)^{d-\beta}, \quad (\text{A.15})$$

pour tous $\alpha, \beta \in \mathbb{N}^n$ et où $C_{\alpha, \beta}$ est une constante positive.

Pour toute fonction f de n variables et tout $\alpha \in \mathbb{N}^n$, nous avons utilisé la notation

$$\partial_x^\alpha f = \frac{\partial^{\alpha_1 + \dots + \alpha_n} f}{\partial x^{\alpha_1} \dots \partial x^{\alpha_n}}. \quad (\text{A.16})$$

Puisque \mathcal{S} est dense dans $L^2(\mathbb{R}^n)$, on peut considérer que P est un opérateur sur l'espace de Hilbert $L^2(\mathbb{R}^n)$ de domaine dense.

Avant d'appliquer aux opérateurs différentiels le formalisme précédent, il convient de remarquer que les opérateurs pseudodifférentiels sont en général définis entre les espaces des sections de deux fibrés vectoriels sur une variété $[G]$. Nous nous sommes contentés de donner une définition simplifiée valable pour des fibrés triviaux de rang 1 au-dessus de \mathbb{R}^n . Cette définition peut être généralisée à des fibrés de rang quelconque au-dessus de \mathbb{R}^n en prenant un symbole à valeurs matricielles. On étend alors la définition d'un opérateur pseudodifférentiel sur une variété quelconque en utilisant des coordonnées locales.

Un opérateur pseudodifférentiel P est dit classique si son symbole admet un développement asymptotique du type

$$\sigma(x, k) \simeq \sum_{i \in \mathbb{N}} a_{d-i}(x, k), \quad (\text{A.17})$$

où $a_{d-i}(x, k)$ est une fonction homogène de degré $d - i$ de k .

Nous pouvons maintenant introduire le résidu de Wodzicki.

Définition A.4.5 *Soit \mathcal{M} une variété compacte de dimension n munie d'une métrique riemannienne, E un fibré vectoriel complexe sur \mathcal{M} et A un opérateur pseudodifférentiel classique agissant sur les sections de E . Le résidu de Wodzicki de A est défini par*

$$\mathcal{W}(A) = \text{Res}_{s=0} \text{Tr}(A \Delta^{-s}), \quad (\text{A.18})$$

où Δ est un laplacien généralisé.

Cette définition utilise la notion de laplacien généralisé :

Définition A.4.6 Soit \mathcal{M} une variété compacte de dimension n munie d'une métrique riemannienne g , E un fibré vectoriel complexe sur \mathcal{M} et $\nabla : E \rightarrow E \otimes_{C^\infty(\mathcal{M})} \Omega^1(\mathcal{M})$ une connexion sur E . Une application Δ de l'espace des sections de E dans lui-même est un laplacien généralisé associé à ∇ si Δ s'écrit en coordonnées locales

$$\Delta = -g^{\mu\nu} \nabla_\mu \nabla_\nu + g^{\mu\nu} \Gamma_{\mu\nu}^\lambda \nabla_\lambda \quad (\text{A.19})$$

où l'action de ∇ sur une section Ψ est donnée par $\nabla(\Psi) = \nabla_\mu \Psi \otimes dx^\mu$ et où $\Gamma_{\mu\nu}^\lambda$ désigne la connexion de Levi-Civita.

Les opérateurs pseudodifférentiels classiques forment une algèbre et on montre le résultat suivant (voir [Kass] pour une revue).

Théorème A.4.2 L'application $A \mapsto \text{Res}(A)$ est une trace sur l'algèbre des opérateurs pseudodifférentiels classiques. Lorsque \mathcal{M} est une variété connexe de dimension $n > 1$, cette trace est unique à un facteur de normalisation près.

Cette trace peut être reliée à la trace de Dixmier [C3].

Théorème A.4.3 Soit A un opérateur pseudodifférentiel d'ordre $-n$. Alors la trace de Dixmier $\text{Tr}_\omega(A)$ est bien définie et on a

$$\text{Tr}_\omega(A) = \frac{2}{n} \mathcal{W}(A). \quad (\text{A.20})$$

En général, le résidu ne se calcule pas en utilisant les fonctions ζ généralisées, mais en utilisant son expression intégrale à l'aide du $a_{-n}(x, k)$ [Kass]. On en déduit aisément que la trace de Dixmier combinée avec l'opérateur de Dirac nous permet de retrouver l'intégrale usuelle :

Proposition A.4.4 Soit \mathcal{M} une variété riemannienne compacte de dimension n munie d'une structure de spin et soit \mathcal{D} l'opérateur de Dirac associé. Pour toute fonction $f \in C^\infty(\mathcal{M})$, $f|\mathcal{D}|^{-n}$ est un opérateur pseudodifférentiel d'ordre $-n$ et on a

$$\text{Tr}_\omega(f|\mathcal{D}|^{-n}) = \lambda_n \int_{\mathcal{M}} f \sqrt{g} d^n x, \quad (\text{A.21})$$

avec

$$\lambda_n = \frac{2^{[n/2]-n/2}}{(2\pi)^{n/2} \Gamma(n/2 + 1)}. \quad (\text{A.22})$$

Cela achève notre discussion de la trace de Dixmier et de ses applications en géométrie non commutative. Nous renvoyons à [Kast1] et [KW] pour les applications de cette théorie à la relativité générale.

Annexe B

K-théorie

En géométrie usuelle, la K-théorie se propose de classifier les fibrés vectoriels au-dessus d'un espace topologique \mathcal{X} fixé. Pour cela, on associe à chaque espace une série de groupes abéliens et à chaque fibré au-dessus de cet espace un élément de ces groupes. Bien que de nature très différente, ces groupes sont assez similaires aux groupes d'homotopie qui sont bien connus des physiciens. Alors que ces derniers n'ont pas de généralisation immédiate en géométrie non commutative, la K-théorie peut être formulée de manière purement algébrique et joue ainsi un rôle très important dans notre contexte. Nous allons donner les définitions de base de cette formulation algébrique dans le cas des C^* -algèbres, en renvoyant à [We] pour une construction détaillée.

B.1 Fibrés vectoriels en géométrie non commutative

Commençons par rappeler la définition d'un fibré vectoriel en géométrie ordinaire.

Définition B.1.1 *Soit \mathcal{X} un espace topologique. Un fibré vectoriel sur \mathcal{X} , appelé la base du fibré, est un triplet $(\mathcal{E}, \mathcal{X}, \pi)$, où \mathcal{E} est un espace topologique appelé espace total et $\pi : \mathcal{E} \rightarrow \mathcal{X}$ une application continue et surjective telle que $\pi^{-1}(x)$ soit muni d'une structure d'espace vectoriel de dimension finie pour tout $x \in \mathcal{X}$. De plus, ce fibré est dit localement trivial s'il existe un recouvrement ouvert $(U_i)_{i \in I}$ tel que $\pi^{-1}(U_i)$ soit isomorphe à $U_i \times F$, où F est un espace vectoriel de dimension finie.*

Par la suite, nous ne considérerons que des fibrés vectoriels localement triviaux, aussi entendrons-nous l'expression "localement trivial".

Afin de généraliser cette notion en géométrie non commutative, nous devons donner quelques définitions purement algébriques [Lang2].

Définition B.1.2 *Soit \mathcal{A} une algèbre et \mathcal{E} un \mathcal{A} -module à droite. On dit que \mathcal{E} est un \mathcal{A} -module à droite de type fini et projectif si*

1. \mathcal{E} est engendré par un nombre fini d'éléments en tant que \mathcal{A} -module à droite,
2. il existe un autre \mathcal{A} -module à droite \mathcal{E}' telle que la somme directe $\mathcal{E} \oplus \mathcal{E}'$ soit isomorphe au \mathcal{A} -module à droite trivial \mathcal{A}^N .

On montre alors le résultat suivant, que nous avons utilisé lors de notre étude des théories de Yang-Mills.

Proposition B.1.1 *Tout module projectif fini à droite sur \mathcal{A} est isomorphe à un module du type $e\mathcal{A}^N$, où $e \in M_N(\mathcal{A})$ est une projection.*

L'introduction de la notion de module projectif se justifie par le théorème de Serre-Swan, qui permet de relier modules projectifs et fibrés vectoriels :

Théorème B.1.1 *Si \mathcal{X} est un espace topologique compact et si $\mathcal{A} = C^0(\mathcal{X})$ est l'algèbre des fonctions continues sur \mathcal{X} à valeurs complexes, alors les modules des sections des fibrés vectoriels sur \mathcal{X} sont les modules projectifs de type fini sur l'algèbre \mathcal{A} .*

Il est utile de remarquer que l'on construit explicitement cet isomorphisme en utilisant une partition de l'unité telle qu'au-dessus de chacun des ouverts la composant, le fibré est trivial.

Ainsi, les modules projectifs sur une algèbre généralisent les espaces de sections de fibrés vectoriels en géométrie non commutative.

B.2 Le groupe $K_0(\mathcal{A})$

Pour construire les groupes de K-théorie dans ce contexte algébrique, commençons par introduire une relation d'équivalence sur l'ensemble des modules projectifs sur une algèbre donnée.

Définition B.2.1 *Deux modules projectifs finis sur une algèbre \mathcal{A} sont équivalents s'ils sont isomorphes, éventuellement après addition d'un module trivial \mathcal{A}^N .*

En utilisant la partition de l'unité apparaissant dans la démonstration du théorème de Serre-Swan, il est clair que les fibrés vectoriels triviaux sont en correspondance biunivoque avec les modules triviaux \mathcal{A}^N . Cette relation d'équivalence est donc la même que celle introduite en géométrie usuelle.

Proposition B.2.1 *Muni de la somme directe, les classes d'équivalence de modules projectifs finis forment un semi-groupe abélien $K_0^+(\mathcal{A})$.*

A partir de ce semi-groupe on construit un groupe à l'aide du procédé employé lors du passage des entiers naturels \mathbb{N} aux entiers relatifs \mathbb{Z} .

Définition B.2.2 $K_0(\mathcal{A})$ est le groupe abélien $(K_0^+(\mathcal{A}) \times K_0^+(\mathcal{A})) / \simeq$, où \simeq est la relation d'équivalence définie sur $K_0^+(\mathcal{A}) \times K_0^+(\mathcal{A})$ par

$$(x, y) \simeq (x', y') \text{ si et seulement si } x + y' = y + x'. \quad (\text{B.1})$$

Ainsi, nous avons associé à chaque algèbre un groupe abélien $K_0(\mathcal{A})$. Par la suite, nous appliquerons cette construction à des C^* -algèbres qui généralisent l'algèbre des fonctions continues sur un espace compact.

B.3 Groupes d'ordre supérieurs et périodicité de Bott

De la même manière, il est possible de construire de manière purement algébrique les groupes d'ordre supérieurs. Bien que cette construction soit relativement ardue, elle se simplifie considérablement dans le cas des C^* -algèbres.

La première étape consiste à introduire la suspension.

Définition B.3.1 *Soit \mathcal{A} une C^* -algèbre et $C^0(\mathbb{R})$ la C^* -algèbre des fonctions continues sur \mathbb{R} qui tendent vers 0 en $\pm\infty$. Par définition, la suspension de \mathcal{A} est $S\mathcal{A} = C^0(\mathbb{R}) \otimes \mathcal{A}$.*

Bien entendu, il est possible d'itérer ce procédé et de définir $S^n(\mathcal{A})$ par $S^n(\mathcal{A}) = S(S^{n-1}(\mathcal{A}))$.

Définition B.3.2 *Soit \mathcal{A} une C^* -algèbre. Les groupes de K -théorie d'ordre supérieurs sont définis par $K_n(\mathcal{A}) = K_0(S^n \mathcal{A})$.*

En fait, il s'avère que ces groupes sont isomorphes à $K_0(\mathcal{A})$ si n est pair et à $K_1(\mathcal{A})$ si n est impair. De plus $K_0(\mathcal{A})$ et $K_1(\mathcal{A})$ admettent une description simple en termes de groupes d'homotopie.

Pour tout entier N , notons $\mathcal{U}_N(\mathcal{A})$ le groupe des éléments unitaires de $M_N(\mathcal{A})$. L'application

$$u \in \mathcal{U}_N(\mathcal{A}) \mapsto \begin{pmatrix} u & 0 \\ 0 & 1 \end{pmatrix} \in \mathcal{U}_{N+1}(\mathcal{A}) \quad (\text{B.2})$$

définit une inclusion de $\mathcal{U}_N(\mathcal{A})$ dans $\mathcal{U}_{N+1}(\mathcal{A})$. A l'aide de cette inclusion on définit

$$\mathcal{U}_\infty(\mathcal{A}) = \bigcup_{N \in \mathbb{N}} \mathcal{U}_N(\mathcal{A}). \quad (\text{B.3})$$

On montre alors le

Théorème B.3.1 *Avec les notations précédentes, on a*

$$K_0(\mathcal{A}) = \pi_1(\mathcal{U}_\infty(\mathcal{A})) \quad \text{et} \quad K_1(\mathcal{A}) = \pi_0(\mathcal{U}_\infty(\mathcal{A})). \quad (\text{B.4})$$

Ainsi, le groupe $K_1(\mathcal{A})$ mesure le défaut de connexité du groupe $\mathcal{U}_\infty(\mathcal{A})$.

B.4 Calcul fonctionnel holomorphe

La théorie précédente s'applique remarquablement bien aux C^* -algèbres. Cependant, ces dernières correspondent aux algèbres de fonctions continues alors que nous sommes intéressés, en particulier lors de l'étude du couplage avec la cohomologie cyclique, par des algèbres de fonctions lisses. Pour passer de l'un à l'autre, on utilise la notion de pré C^* -algèbre, qui se base sur le calcul fonctionnel holomorphe [C5].

Définition B.4.1 *Soient \mathcal{A} une C^* -algèbre avec unité et a un élément de \mathcal{A} . Le spectre de a est l'ensemble des $\lambda \in \mathbb{C}$ tel que $a - \lambda 1$ ne soit pas inversible.*

Les formules de Cauchy permettent de définir l'image de x par une fonction holomorphe sur le spectre de x .

Définition B.4.2 *Soient \mathcal{A} une C^* -algèbre, a un élément de \mathcal{A} et f une fonction à valeurs complexes et holomorphe sur le spectre de a . On définit $f(a)$ par*

$$f(a) = \frac{1}{2i\pi} \int_{\Gamma} \frac{f(z)}{z - a} dz, \quad (\text{B.5})$$

où Γ est n'importe quelle courbe fermée simple orientée dans le sens positif et entourant le spectre de a .

On introduit alors la notion de pré C^* -algèbre.

Définition B.4.3 *Une pré C^* -algèbre est une sous-algèbre dense d'une C^* -algèbre qui est stable par calcul fonctionnel holomorphe.*

Les algèbres que nous rencontrons dans notre étude des triplets spectraux $(\mathcal{A}, \mathcal{H}, \mathcal{D})$ sont munies d'une structure de pré C^* -algèbre qui permet de construire une C^* -algèbre représentée sur \mathcal{H} .

Proposition B.4.1 *Soit \mathcal{A} une pré C^* -algèbre. Alors, toute représentation involutive de \mathcal{A} dans un espace de Hilbert est continue et s'étend de manière unique en une représentation de C^* -algèbre.*

Enfin le résultat suivant nous autorise à travailler avec des pré C^* -algèbres.

Proposition B.4.2 *Soient \mathcal{A} une C^* -algèbre et \mathcal{B} une sous-algèbre dense de \mathcal{A} , stable par calcul fonctionnel holomorphe. Alors l'inclusion de \mathcal{B} dans \mathcal{A} induit un isomorphisme entre $K_0(\mathcal{A})$ et $K_0(\mathcal{B})$.*

Cela justifie le fait que nous travaillons avec des algèbres de fonctions lisses plutôt qu'avec des C^* -algèbres qui sont d'un maniement plus délicat.

Annexe C

Cohomologie cyclique

Enfin, nous terminons en donnant les quelques rudiments de cohomologie cyclique indispensables à la compréhension de certains de nos résultats concernant l'action de Yang-Mills ou celle de Chern-Simons. Le livre de référence sur le sujet est incontestablement [Lo], mais la lecture de certains passages de [C5] se révèle indispensable pour l'étude du couplage avec la K-théorie.

C.1 Cohomologie cyclique

La définition suivante caractérise de manière purement algébrique les propriétés des formes différentielles et de leur intégration.

Définition C.1.1 *Un cycle de dimension n sur une algèbre \mathcal{A} est un quadruplet (Ω, π, d, f) où*

1. $\Omega = \bigoplus_{k=0}^n \Omega^k$ est une algèbre graduée,
2. π est une représentation de \mathcal{A} dans Ω^0 ,
3. $d : \Omega^k \rightarrow \Omega^{k+1}$ est une application linéaire satisfaisant à $d^2 = 0$, à $d(\Omega^n) = 0$ ainsi qu'à la règle de Leibniz graduée $d(\omega\xi) = d\omega\xi + (-1)^p\omega d\xi$ pour tous $\omega \in \Omega^p$ et $\xi \in \Omega^q$,
4. $f : \Omega^n \rightarrow \mathbb{C}$ est une forme linéaire telle que $f d\omega = 0$ si $\omega \in \Omega^{n-1}$, et $f \omega\xi = (-1)^{pq} f \xi\omega$, pour tous $\omega \in \Omega^p$ et $\xi \in \Omega^q$ tels que $p + q = n$.

Cela nous mène à la définition du caractère d'un cycle.

Définition C.1.2 *Le caractère d'un cycle de dimension n est l'application multilinéaire définie sur \mathcal{A}^{n+1} par*

$$\tau(a_0, a_1, \dots, a_n) = \int \pi(a_0) d(\pi(a_1)) \dots d(\pi(a_n)). \quad (\text{C.1})$$

En fait, il s'avère que le caractère d'un cycle vérifie certaines propriétés qui sont à la base de la cohomologie cyclique.

Proposition C.1.1 *Une application $(n+1)$ -linéaire τ sur \mathcal{A} est le caractère d'un cycle sur \mathcal{A} si et seulement si*

$$\tau(a_0, a_1, \dots, a_n) = (-1)^n \tau(a_n, a_0, \dots, a_{n-1}) \quad (\text{C.2})$$

pour tous $a_0, a_1, \dots, a_n \in \mathcal{A}$ et

$$\sum_{k=0}^n (-1)^k \tau(a_0, a_1, \dots, a_k a_{k+1}, \dots, a_{n+1}) + (-1)^{n+1} \tau(a_{n+1} a_0, a_1, \dots, a_n) = 0 \quad (\text{C.3})$$

pour tous $a_0, a_1, \dots, a_{n+1} \in \mathcal{A}$.

Avant de définir la cohomologie cyclique dans un cadre plus abstrait, rappelons la définition d'un bimodule.

Définition C.1.3 Soient \mathcal{A} et \mathcal{B} deux algèbres et \mathcal{M} un espace vectoriel. On dit que \mathcal{M} est un $(\mathcal{A}, \mathcal{B})$ -bimodule si \mathcal{A} agit à gauche et \mathcal{B} à droite sur \mathcal{M} et si ces deux actions commutent.

La proposition suivante est facile à vérifier.

Proposition C.1.2 Soient \mathcal{A} un algèbre, \mathcal{M} un bimodule sur \mathcal{A} et $C^n(\mathcal{A}, \mathcal{M})$ l'espace vectoriel des applications multilinéaires de \mathcal{A}^n dans \mathcal{M} . L'application $b : C^n(\mathcal{A}, \mathcal{M}) \rightarrow C^{n+1}(\mathcal{A}, \mathcal{M})$ définie par

$$bT(a_1, \dots, a_{n+1}) = a^1 T(a_2, \dots, a_{n+1}) + \sum_{i=1}^n (-1)^i T(a_1, \dots, a_i a_{i+1}, \dots, a_{n+1}) + (-1)^{n+1} T(a_1, \dots, a_n) a_{n+1} \quad (\text{C.4})$$

pour tous $T \in C^n(\mathcal{A}, \mathcal{M})$ et $a_1, \dots, a_{n+1} \in \mathcal{A}$ vérifie

$$b^2 = 0. \quad (\text{C.5})$$

Nous définissons alors la cohomologie de Hochschild de la manière suivante.

Définition C.1.4 La cohomologie du complexe

$$C^0(\mathcal{A}, \mathcal{M}) \xrightarrow{b} C^1(\mathcal{A}, \mathcal{M}) \xrightarrow{b} \dots \xrightarrow{b} C^n(\mathcal{A}, \mathcal{M}) \xrightarrow{b} C^{n+1}(\mathcal{A}, \mathcal{M}) \xrightarrow{b} \dots \quad (\text{C.6})$$

est la cohomologie de Hochschild à valeurs dans le bimodule \mathcal{M} .

De même, nous avons une version duale de la proposition précédente :

Proposition C.1.3 Soit \mathcal{A} une algèbre, \mathcal{M} un bimodule sur \mathcal{A} et $C_n(\mathcal{A}, \mathcal{M})$ le produit tensoriel $\mathcal{M} \otimes \mathcal{A}^{\otimes n}$, L'application $b : C_n(\mathcal{A}, \mathcal{M}) \rightarrow C_{n-1}(\mathcal{A}, \mathcal{M})$ définie par

$$b(m \otimes a_1 \otimes \dots \otimes a_n) = m a_1 \otimes a_2 \otimes \dots \otimes a_n + \sum_{i=1}^{n-1} (-1)^i m \otimes a_1 \otimes \dots \otimes a_i a_{i+1} \otimes \dots \otimes a_n + (-1)^n a_n m \otimes a_1 \otimes \dots \otimes a_n \otimes a_{n-1} \quad (\text{C.7})$$

pour tous $m \in \mathcal{M}$ et $a_1, \dots, a_n \in \mathcal{A}$ vérifie

$$b^2 = 0. \quad (\text{C.8})$$

Cela nous mène à la définition de l'homologie de Hochschild.

Définition C.1.5 L'homologie du complexe

$$\dots \xrightarrow{b} C_n(\mathcal{A}, \mathcal{M}) \xrightarrow{b} C_{n-1}(\mathcal{A}, \mathcal{M}) \xrightarrow{b} \dots \xrightarrow{b} C_0(\mathcal{A}, \mathcal{M}) \xrightarrow{b} \{0\} \quad (\text{C.9})$$

est appelée homologie de Hochschild à valeurs dans le bimodule \mathcal{M} .

Ces définitions utilisant des bimodules sont très générales. Nous avons déjà rencontré l'homologie de Hochschild à valeurs dans un bimodule lors de la formulation de l'axiome d'orientabilité. En particulier, il est facile de vérifier que l'homologie de Hochschild d'une algèbre de matrices est égale à celle de \mathbb{C} qui est triviale, ce qui est une obstruction à l'existence de triplets spectraux finis de dimension $n > 0$.

Considérons l'espace vectoriel \mathcal{M} formé de toutes les applications linéaires ϕ de \mathcal{A} dans \mathbb{C} muni de la structure de bimodule définie par

$$a\phi b(x) = \phi(bxa) \quad (\text{C.10})$$

pour tous $a, b, x \in \mathcal{A}$. Nous identifions une applications linéaire ϕ de \mathcal{A} dans \mathcal{M} à une forme $n + 1$ linéaire sur \mathcal{A} grâce à la relation

$$\phi(a_0, a_1, \dots, a_n) = \phi(a_0)(a_1, \dots, a_n) \quad (\text{C.11})$$

pour tous $a_0, \dots, a_n \in \mathcal{A}$.

Le cas particulier de la cohomologie cyclique à valeurs dans ce bimodule est celui que nous avons considéré dans cette thèse. Il nous mène à la définition de la cohomologie cyclique.

Définition C.1.6 Soit $C_\lambda^n(\mathcal{A})$ l'espace de formes multilinéaires $\phi : \mathcal{A}^n \rightarrow \mathbb{C}$ satisfaisant à la condition

$$\phi(a_0, a_1, \dots, a_n) = (-1)^n \phi(a_1, \dots, a_n, a_0). \quad (\text{C.12})$$

La cohomologie du complexe

$$C_\lambda^0(\mathcal{A}) \xrightarrow{b} C_\lambda^1(\mathcal{A}) \xrightarrow{b} \dots \xrightarrow{b} C_\lambda^n(\mathcal{A}) \xrightarrow{b} C_\lambda^{n+1}(\mathcal{A}) \xrightarrow{b} \dots \quad (\text{C.13})$$

est la cohomologie cyclique de \mathcal{A} . Les éléments de $C_\lambda^n(\mathcal{A})$ situés dans le noyau de b sont appelés cocycles cycliques.

En général, on note $HC^n(\mathcal{A})$ les groupes de cohomologie cyclique. Par définition, on a

$$HC^n(\mathcal{A}) = Z_\lambda^n / B_\lambda^n, \quad (\text{C.14})$$

où $Z_\lambda^n(\mathcal{A})$ (resp. B_λ^n) sont formés des éléments de $C_\lambda^n(\mathcal{A})$ situés dans le noyau de b (resp. dans l'image de b). De même, on note $H^n(\mathcal{A}, \mathcal{A}^*)$ les groupes de cohomologie de Hochschild correspondant au bimodule $\mathcal{M} = \mathcal{A}^*$ formé des formes linéaires sur \mathcal{A} .

Le complexe de la cohomologie cyclique est donc un sous-complexe du complexe de la cohomologie de Hochschild précédente. L'étude des relations entre ces deux complexes est à l'origine de l'opérateur de périodicité.

C.2 La cohomologie cyclique périodique

Si \mathcal{A} et \mathcal{B} sont deux algèbres et si $(\Omega_{\mathcal{A}}, \pi_{\mathcal{A}}, d_{\mathcal{A}}, f_{\mathcal{A}})$ et $(\Omega_{\mathcal{B}}, \pi_{\mathcal{B}}, d_{\mathcal{B}}, f_{\mathcal{B}})$ sont des cycles de dimension $n_{\mathcal{A}}$ et $n_{\mathcal{B}}$ sur \mathcal{A} et \mathcal{B} , on définit de manière naturelle un cycle (Ω, π, d, f) de dimension $n = n_{\mathcal{A}} + n_{\mathcal{B}}$ sur $\mathcal{A} \otimes \mathcal{B}$ par

1. $\Omega^k = \bigoplus_{i+j=k} \Omega_{\mathcal{A}}^i \otimes \Omega_{\mathcal{B}}^j$ et $\pi = \pi_{\mathcal{A}} \otimes \pi_{\mathcal{B}}$,
2. $d = d_{\mathcal{A}} \otimes 1 + (-1)^i 1 \otimes d_{\mathcal{B}}$ sur $\Omega_{\mathcal{A}}^i \otimes \Omega_{\mathcal{B}}^j$,
3. $f = f_{\mathcal{A}} \otimes f_{\mathcal{B}}$ en tant que forme linéaires sur $\Omega^n = \Omega_{\mathcal{A}}^{n_{\mathcal{A}}} \otimes \Omega_{\mathcal{B}}^{n_{\mathcal{B}}}$.

Cette notion correspond aux formules usuelles relatives aux formes différentielles sur un produit de deux variétés. Puisqu'il y a une relation biunivoque entre caractères de cycles et cocycles cycliques, on obtient le résultat suivant.

Proposition C.2.1 Soit ϕ_a le caractère du cycle $(\Omega_A, \pi_A, d_A, f_A)$ et ϕ_B celui de $(\Omega_B, \pi_B, d_B, f_B)$. Alors le caractère du cycle (Ω, π, d, f) est un cocycle cyclique de dimension $n_A + n_B$ sur $\mathcal{A} \otimes \mathcal{B}$ noté $\phi_A \# \phi_B$.

Ce produit, appelé "cup product" en anglais, joue un rôle important en cohomologie cyclique. Par exemple, il peut être utilisé pour étendre un cocycle cyclique ϕ de dimension n sur une algèbre \mathcal{A} à un cocycle cyclique $\tilde{\phi}$ sur $M_N(\mathcal{A})$. En effet, la trace est un cocycle cyclique de dimension 0 sur $M_N(\mathbb{C})$, ce qui prouve que $\tilde{\phi} = \text{Tr} \# \phi$ est un cocycle cyclique de dimension n sur $M_N(\mathcal{A}) = M_N(\mathbb{C}) \otimes \mathcal{A}$. Sur les produits tensoriels $\mu_0 \otimes a_0, \dots, \mu_n \otimes a_n$ de $M_N(\mathbb{C}) \otimes \mathcal{A}$, la valeur de $\tilde{\phi}$ est

$$\tilde{\phi}(\mu_0 \otimes a_0, \dots, \mu_n \otimes a_n) = \text{Tr}(\mu_1 \dots \mu_n) \phi(a_0, \dots, a_n), \quad (\text{C.15})$$

ce que nous utilisons lors de l'étude des théories de jauge.

Abordons maintenant la définition de la cohomologie cyclique périodique. La proposition suivante, facile à vérifier, nous donne la cohomologie cyclique de l'algèbre \mathbb{C} .

Proposition C.2.2 La cohomologie cyclique de \mathbb{C} est donnée par $H^n(\mathbb{C}) = \mathbb{C}$ si n est pair et $H^n(\mathbb{C}) = \{0\}$ si n est impair.

Notons σ le générateur de $HC^2(\mathbb{C})$ normalisé par $\sigma(1, 1, 1)$. Remarquons que dans [C2], la normalisation est $\sigma(1, 1, 1) = 2i\pi$, ce qui entraîne l'apparition de facteurs $2i\pi$ supplémentaires. Nous ici adoptons les conventions de [C5].

Définition C.2.1 L'opérateur de périodicité $S : HC^n(\mathcal{A}) \rightarrow HC^{n+2}(\mathcal{A})$ est défini par

$$S(\phi) = \sigma \# \phi \quad (\text{C.16})$$

pour tout cocycle cyclique ϕ de dimension n .

Bien entendu, il faut vérifier la cohérence de cette définition, en particulier il faut s'assurer que l'image d'un bord est encore un bord. Nous renvoyons à [C5] pour une construction détaillée.

L'opérateur de périodicité permet de préciser la relation entre la cohomologie de Hochschild et la cohomologie cyclique. En effet, toute classe de cohomologie cyclique détermine une classe de cohomologie de Hochschild, ce qui définit une inclusion $I : HC(\mathcal{A}) \rightarrow H(\mathcal{A}, \mathcal{A}^*)$ de la cohomologie cyclique dans la cohomologie de Hochschild. En général, cette dernière est plus facile à calculer et il est utile de caractériser l'information perdue lors du passage de la cohomologie cyclique à la cohomologie de Hochschild.

Proposition C.2.3 Le noyau de $I : HC^{n+1}(\mathcal{A}) \rightarrow H^{n+1}(\mathcal{A}, \mathcal{A}^*)$ est égal à l'image de $S : HC^{n-1}(\mathcal{A}) \rightarrow HC^{n+1}(\mathcal{A})$.

Les éléments que nous avons perdus lors du passage à la cohomologie de Hochschild sont donc exactement les images des cocycles cycliques de dimension inférieure.

L'opérateur de périodicité permet aussi de définir la cohomologie cyclique périodique. En effet, on peut toujours inclure $HC^n(\mathcal{A})$ dans $HC^{n+2}(\mathcal{A})$ en l'identifiant avec $S(HC^n(\mathcal{A}))$.

Définition C.2.2 Soit

$$HC^{\text{paire}}(\mathcal{A}) = \bigcup_{n \in \mathbb{N}} HC^{2n}(\mathcal{A}) \quad (\text{C.17})$$

et

$$HC^{\text{impaire}}(\mathcal{A}) = \bigcup_{n \in \mathbb{N}} HC^{2n+1}(\mathcal{A}). \quad (\text{C.18})$$

Les groupes de cohomologie $HC^{\text{paire}}(\mathcal{A})$ et $HC^{\text{impaire}}(\mathcal{A})$ forment la cohomologie cyclique périodique.

Cette dernière joue un rôle fondamental en géométrie non commutative car c'est elle qui se couple à la K-théorie. De plus, elle admet une description simplifiée à l'aide d'un bicomplexe.

Pour définir ce bicomplexe, introduisons un nouvel opérateur $B : H^n(\mathcal{A}, \mathcal{A}^*) \rightarrow HC^{n-1}(\mathcal{A})$. Pour toute forme n -linéaire ϕ de $\mathcal{A}^{\otimes n}$ dans \mathcal{A} , nous définissons

$$B\phi(a_0, a_1, \dots, a_{n-1}) = AB_0\phi(a_0, a_1, \dots, a_{n-1}) \quad (\text{C.19})$$

avec

$$\begin{aligned} B_0\phi(a_0, a_1, \dots, a_{n-1}) &= \phi(1, a_0, a_1, \dots, a_{n-1}) \\ &- (-1)^n \phi(a_0, a_1, \dots, a_{n-1}, 1), \end{aligned} \quad (\text{C.20})$$

et A est défini sur toute application multilinéaire Ψ de $\mathcal{A}^{\otimes(n+1)}$ dans \mathcal{A} par

$$A\Psi(a_0, \dots, a_n) = \sum_{j=0}^n (-1)^{nj} \psi(a_j, a_{j+1}, \dots, a_n, a_0, \dots, a_{j-1}). \quad (\text{C.21})$$

La proposition suivante relie B à l'opérateur b apparaissant dans la définition de la cohomologie de Hochschild.

Proposition C.2.4 *B vérifie $B^2 = 0$ et $bB + Bb = 0$ sur l'espace $C^n(\mathcal{A}, \mathcal{A}^*)$ formé de toutes les application multilinéaires de $\mathcal{A}^{\otimes n}$ dans \mathcal{A}^* .*

Par conséquent, les deux différentielles b et B peuvent servir à définir un bicomplexe.

Théorème C.2.1 *Si m et n sont deux entiers relatifs, définissons $C^{n,m}(\mathcal{A})$ comme étant l'espace des formes $(n - m)$ linéaires de \mathcal{A} dans \mathcal{A}^* si $n - m \geq 0$ et par $C^{n,m}(\mathcal{A}) = 0$ si $n < m$. Soient d_1 et d_2 les deux applications définies pour tous $m, n \in \mathbb{Z}$ par*

$$d_1 : C^{n,m}(\mathcal{A}) \rightarrow C^{n+1,m}(\mathcal{A}), \quad d_1 = (n - m + 1)b \quad (\text{C.22})$$

$$d_2 : C^{n,m}(\mathcal{A}) \rightarrow C^{n,m+1}(\mathcal{A}), \quad d_2 = \frac{1}{n - m}B, \quad (\text{C.23})$$

d_2 étant nulle si $m = n$. Ces deux applications vérifient $(d_1)^2 = 0$, $(d_2)^2 = 0$ et $d_1d_2 + d_2d_1 = 0$ et définissent un bicomplexe dont la cohomologie totale est égale à la cohomologie cyclique périodique.

En d'autres termes, on peut reconstruire la cohomologie cyclique périodique à l'aide d'un bicomplexe, ce qui s'avère fondamental dans la démonstration de la formule locale de l'indice en géométrie non commutative.

Il est important de noter que les différentielles de ce bicomplexe sont proportionnelles à b et B mais non identiques à ces derniers. Cela a pour conséquence l'apparition d'un facteur de normalisation lors du passage de la cohomologie cyclique périodique au bicomplexe déterminé par $(b.B)$.

C.3 Couplage avec la K-théorie

La cohomologie cyclique périodique se couple à la K-théorie. Ce couplage généralise, dans le cadre de la géométrie non commutative, les quantités topologiques apparaissant en physique théorique, comme par exemple le nombre d'instantons.

Donnons les principaux résultats relatifs à ce couplage, en commençant par rappeler un résultat que nous avons déjà rencontré (C.15).

Proposition C.3.1 *Si τ est un cocycle cyclique sur \mathcal{A} , alors $\tilde{\tau}$ défini sur $M_N(\mathcal{A}) = \mathcal{A} \otimes M_N(\mathbb{C})$ par*

$$\tilde{\tau}(a_0 \otimes m_0, a_1 \otimes m_1, \dots, a_N \otimes m_N) = \tau(a_0, a_1, \dots, a_N) \operatorname{Tr}(m_0 m_1 \dots m_N) \quad (\text{C.24})$$

est un cocycle cyclique.

Cela permet d'étendre tout cocycle sur \mathcal{A} à un cocycle sur $M_N(\mathcal{A})$, ce qui est indispensable si on veut appliquer les résultats suivants aux théories de jauge non abéliennes.

Dans le cas pair, le couplage entre la cohomologie cyclique périodique et le groupe $K_0(\mathcal{A})$ est donné par le

Théorème C.3.1 *Soit τ un cocycle cyclique de degré $2m$ sur \mathcal{A} et $e \in M_N(\mathcal{A})$ une projection hermitienne. La quantité*

$$\frac{1}{m!} \tilde{\tau}(e, e, \dots, e) \quad (\text{C.25})$$

ne dépend que de la classe de τ dans $HC^{paire}(\mathcal{A})$ et de celle de e dans $K_0(\mathcal{A})$.

De même, dans le cas impair, $HC^{impaire}(\mathcal{A})$ se couple à $K_1(\mathcal{A})$.

Théorème C.3.2 *Soit τ un cocycle cyclique de degré $2m+1$ sur \mathcal{A} et $u \in M_N(\mathcal{A})$ un unitaire. Alors*

$$\frac{1}{\sqrt{2i} 2^n \Gamma(n/2 + 1)} \tilde{\tau}(u - 1, u^{-1} - 1, \dots, u - 1, u^{-1} - 1) \quad (\text{C.26})$$

ne dépend que de la classe de τ dans $HC^{impaire}(\mathcal{A})$ et de celle de u dans $K_1(\mathcal{A})$.

Lorsque τ est fixé, ces quantités ne dépendent que de la classe de e ou de u en K-théorie, ce qui prouve qu'elles sont stables par déformation.

Lorsque \mathcal{A} est une C^* -algèbre séparable, ce qui correspond dans le cas commutatif aux espace topologiques métrisables, on a le résultat suivant :

Corollaire C.3.1 *Lorsque l'algèbre \mathcal{A} est séparable, les fonctions $e \mapsto \tilde{\tau}(e, e, \dots, e)$ et $\tilde{\tau}(u - 1, u^{-1} - 1, \dots, u - 1, u^{-1} - 1)$ ne prennent qu'un nombre dénombrable de valeurs.*

Toutefois, cela ne montre pas que ces couplages sont entiers. En général, l'intégralité résulte uniquement du couplage avec le caractère de Chern.

Bibliographie

- [A] Atzmon E. *Distances on a one-dimensional lattice from noncommutative geometry*, Lett.Math.Phys. **37** 341-348, hep-th/9507002 (1995)
- [AGM] Alvarez E., Gracia-Bondía J.M. et Martín C. P. *Anomaly cancellation and the gauge group of the standard model in NCG*, Phys.Lett. **B364** 33-40 hep-th/9506115 (1995)
- [AW] Alvarez-Gaumé L. et Witten E. *Gravitational anomalies*, Nucl.Phys. **B234** 269 (1984)
- [Ba] van Baal P *Twisted boundary conditions : a non perturbative probe for pure non-abelian gauge theories*, Thèse de doctorat de l'université d'Utrecht (1984)
- [Ber] Bertlmann R. *Anomalies in quantum field theories*, Clarendon Press (1996)
- [Bel] Bellissard J. *K-theory of C^* -algebras in solid state physics*, Lecture notes in physics **237** 99-156 (1986)
- [BLG] Bimonte C., Lizzi F. et Sparano G. *Distances on a lattice from noncommutative geometry*, Phys.Lett. **B341** hep-lat/9404007 (1994)
- [BBRT] Birmingham D, Blau M, Rakowski et Thompson G. *Topological field theory*, Phys. Rep. **209** 131-340 (1991)
- [BR] Bratelli O. et Robinson D.W. *Operators algebras and quantum statistical mechanics*, vol. I et II, Springer-Verlag (1979) et (1991)
- [BOS] Buchbinder I.L., Odintsov S.D. et Shapiro I.L. *Effective action in quantum gravity*, Institute of Physics Publishing (1992)
- [CIKS1] Carminati L., Iochum B., Kastler D. et Schücker T. *The noncommutative constraints on the standard model à la Connes* J. Math. Phys. **38** 1269-1280 hep-th/9604169 (1996)
- [CIKS2] Carminati L., Iochum B., Kastler D. et Schücker T. *On Connes' new principle of relativity : Can spinors hear the forces of space-time ?* Actes de la Conférence "Operator algebras and quantum field theory" , International Press hep-th/9612228 (1996)
- [CC] Chamseddine A. et Connes A. *The spectral action principle*, Commun. Math. Phys. **186** 731-750 hep-th/9606001 (1996)
- [CP] Chari V. et Pressley A. *A guide to quantum groups*, Cambridge University Press (1994)
- [CGS] Cipriani F., Guido D., and Scarlatti S. *A remark on trace properties of K-cycles*, Jour. Oper. Theory **35** 179-189 funct-an/9506003 (1995)
- [C1] Connes A. *C^* -algebres et géométrie différentielle* C.R. Acad. Sci. Paris Série A **290** 599-604 (1980)
- [C2] Connes A. *Noncommutative differential geometry*, Publ. Math. IHES **62** 257-360 (1985)

- [C3] Connes A. *The action functional in noncommutative geometry*, Commun.Math.Phys. **117** 673-683 (1988)
- [C4] Connes A. *Noncommutative geometry and physics*, Ecole d'été de Physique Théorique des Houches 1992, North Holland publishing (1995).
- [C5] Connes A. *Noncommutative geometry*, Academic Press (1994)
- [C6] Connes A. *Noncommutative geometry and reality* Jour.Math.Phys. **36** 6194-6231 (1995)
- [C7] Connes A. *Gravity coupled with matter and the foundation of non commutative geometry*, Comm. in Math. Phys. **182** 155-177, hep-th/9603053 (1996)
- [CL] Connes A. et Lott J. *Particle models and noncommutative geometry* Nucl. Phys. B (Proc.Suppl.) **8** 29-47 (1990)
- [CM1] Connes A. et Moscovici H. *The local index formula in noncommutative geometry*, Geom. Functional Ana. **5** 174-243 (1995)
- [CM2] Connes A. et Moscovici H. *Hopf algebras, cyclic cohomology and transverse index theory*, math/9806109 (1998)
- [CK] Connes A. et Kreimer D. *Hopf algebras, renormalization and noncommutative geometry*, hep-th/9808042 (1998)
- [CR] Connes A. et Rieffel M. *Yang-Mills for Non-commutative Two-tori*, Contemp. Math. **62**, pg 237-266 (1987)
- [CDS] Connes A., Douglas M. et Schwarz A. *Matrix theory compactification on tori*, J.High Energy Phys. **2** hep-th/9711162 (1997)
- [DFR] Doplicher S., Fredenhagen K. and Roberts J.E. *The quantum structure of space-time at the Planck scale and quantum fields*, Comm. Math. Phys. **172** 187-220 (1995)
- [DiM] Dimakis A. et Müller-Hoissen F. *Some aspects of noncommutative geometry and physics*, physics/9712004
- [DuM] Dubois-Violette M. et Masson T. *On the first order operators in bimodules*, Lett. Math. Phys. **37** 467 q-alg/9507028
- [Ed] Edminister J. *Electric circuits, Schaum's outline series*, McGraw-Hill (1965)
- [Es] Esposito-Farese G. *Transformation conforme et potentiel de Higgs* Colloque "Géométrie non commutative et interactions fondamentales", Marseille (1997)
- [ECV] Estrada R., Gracia-Bondía J., Várilly J. *On summability of distributions and spectral geometry*, Comm. Math. Phys. **191** 219-248 funct-an/9702001 (1997)
- [FS] Faddeev L.D. et Slavnov A.A. *Gauge fields, introduction to quantum theory*, Addison-Wesley (1991)
- [G] Gilkey P. *Invariance theory, the heat equation and the Atiyah-Singer index theorem*, Publish or Perish (1984)
also available at <http://www.emis.de/monographs/gilkey/index.html>
- [H] 't Hooft G. *Some twisted self-dual solutions for the Yang-Mills equations on the hypertorus*, Commun. Math. Phys. **81**, pg 267-275 (1981)
- [IS] Iochum B. et Schücker T. *Yang-Mills-Higgs versus Connes-Lott*, Commun. Math. Phys. **178** 1-26 hep-th/9501142 (1995)
- [IZ] Itzykson C. et Zuber J-B. *Quantum field theory*, McGraw-Hill (1985)

- [J] Jones V. *Fusion en algèbres de von Neumann et groupes de lacets*, Séminaire Bourbaki, Astérisque **237** (1995)
- [KW] Kalau W. et Walze M. *Gravity, noncommutative geometry and the Wodzicki residue*, J. Geom. Phys. **16** (1995) 327 gr-qc/9312031 (1993)
- [Kass] Kassel C. *Le résidu non commutatif*, Séminaire Bourbaki, Astérisque **177-178** (1989)
- [Kast1] Kastler D. *The Dirac operator and gravitation*, Comm. Math. Phys. **85** 99-120 (1995)
- [Kast2] Kastler D. *A sketch of Alain Connes' noncommutative geometry and application to fundamental physical interactions*, Ecole d'été "Noncommutative geometry and applications", Lisbonne septembre 1997 (1997)
- [KS] Kastler D et Schücker T. *The standard model à la Connes-Lott*, J. Geom. Phys. **24** 1-19 hep-th/9412185 (1994)
- [KT] Kastler D. et Testard D. *Quantum forms of tensor products*, Commun. Math. Phys. **155** 135-142 (1993)
- [Kr1] Krajewski T. *Classification of finite spectral triples*, Journ.Geom.Phys. **28** 1-30 hep-th/9701081 (1997)
- [Kr2] Krajewski T. *Constraints on the scalar potential from spectral action principle* à paraître dans Jour. Math. Phys. hep-th/9803199 (1998)
- [Kr3] Krajewski T. *Gauge invariance of the Chern-Simons action in noncommutative geometry*, Conférence ISI GUCCIA "Quantum groups, noncommutative geometry and fundamental physical interactions", Palerme décembre 1997, math-ph/9810015 (1998)
- [KP] Krajewski T. et Pris I. *Towards a Z' gauge boson in noncommutative geometry*, Lett. Math. Phys. **39** 187-202 hep-th/9607005 (1996)
- [KrW1] Krajewski T. et Wulkenhaar R. *On Kreimer's Hopf algebra structure of Feynman graphs*, à paraître dans Eur. Phys. Jour. hep-th/9805098 (1998)
- [KrW2] Krajewski T. et Wulkenhaar R. *Perturbative quantum gauge fields on the noncommutative torus*, hep-th/9903187, (1999)
- [Lang1] Lang S. *Introduction to algebraic and abelian functions*, Springer-Verlag (1982)
- [Lang2] Lang S. *Algebra*, Addison-Wesley (1995)
- [Land] Landi G. *An introduction to noncommutative spaces and their geometries*, Lecture Notes in Physics, Springer-Verlag hep-th/97801078 (1997)
- [LR] Landi G. et Rovelli C. *General relativity in terms of Dirac eigenvalues*, Phys. Rev. Lett. **78** 3051-3054 gr-qc/9612034 (1996)
- [LPR] Lebedev D.R., Polikarpov M.I., Rosly A.A. *Gauge Fields on the Continuum and Lattice Tori*, Nucl. Phys. B **325**, 138-160 (1989)
- [LMMS1] Lizzi F., Mangano G., Miele G. et Sparano G. *Constraints on Unified Gauge Theories from Noncommutative Geometry* Mod. Phys. Lett. **A11** 2561-2572 hep-th/9603095 (1996)
- [LMMS2] Lizzi F., Mangano G., Miele G. et Sparano G. *Fermion Hilbert space and fermion doubling in the noncommutative geometry approach to gauge theory*, Phys. Rev. **D55** 6357-6366 hep-th/9610035 (1996)
- [Lo] Loday J.L. *Cyclic homology*, Springer-Verlag (1992)

- [Ma] Madore J. *An Introduction to Noncommutative Differential Geometry and its Physical Applications*, Cambridge University Press (1995).
- [Mo] Moscovici H. *Eigenvalue inequalities and Poincare duality in noncommutative geometry* Commun. Math. Phys. **184**, 619-628 (1997)
- [N] Nakahara M. *Geometry, topology and physics*, Graduate student series in physics, Institut of Physics Publishing (1990)
- [PS1] Paschke M., Sitarz A. et Scheck F. *Discrete spectral triples and their symmetries*, Jour. Math. Phys. **39** 6191 q-alg/9612029 (1996)
- [PS2] Paschke M. et Sitarz A. *Can (noncommutative) geometry accomodate leptquarks*, à paraître dans Phys. Rev. **D** hep-th/9709009 (1997)
- [P] Pflaum M. *Quantum groups on fibre bundles*, Comm. Math. Phys. **166** 279-316 hep-th/9401085 (1994)
- [R1] Rieffel M. *C^* -algebras associated with irrational rotations*, Pacific J. Math. **93** 415-429 (1981)
- [R2] Rieffel M. *The cancellation theorem for projective modules over irrational rotation C^* -algebras* Proc. London Math. Soc. **47**, pg 285-302 (1983)
- [R3] Rieffel M. *Projective modules over higher-dimensional noncommutative tori*, Can. J. Math. **40**, pg 257-338 (1988)
- [R4] Rieffel M. *Non-commutative Tori -A case study of Non-commutative Differentiable Manifolds* Contemp. Math. **105**, 191-211 (1991)
- [Schr] Schröder H. *K-theory for real C^* -algebras and applications*, Pitman Research Notes in Mathematics Series **290**, Langman Scientific and Technical (1993)
- [Schü] Schücker T. *Geometries and forces*, Ecole d'été "Noncommutative geometry and applications", Lisbonne septembre 1997 hep-th/9712095 (1997)
- [Schw] Schwarz A. *Morita equivalence and duality*, Nuclear Physics **B534**, 720-738, hep-th/980534 (1998)
- [Sh] Shifman M. *Instantons in gauge theory*, World Scientific (1994)
- [Si] Simon B. *Trace ideals and their applications*, London Math. Soc. Lect. Notes in Math. **575** 128-138 (1977)
- [Sp] Spera M. *A symplectic approach to Yang-Mills theory for non commutative tori* Can. Jour. Math. **44** 368-387 (1992).
- [SZ] Schücker T. et Zylinski J-M. *The Connes-Lott model building kit*, J. Geom. Phys. **16** 205, hep-th/9312186 (1993)
- [VG1] Várilly J. et Gracia-Bondía J. *Connes' noncommutative differential geometry and the standard model*, J. Geom. Phys. **12** 223-301 (1993)
- [VG2] Várilly J. et Gracia-Bondía J. *On the ultraviolet behavior of quantum fields over noncommutative manifolds*, hep-th/9804001 (1998)
- [VW] Vafa C. et Witten E. *Eigenvalue inequalities for fermions in gauge theories*, Comm. Math. Phys. **95** 257-276 (1984)
- [V] Várilly J *An introduction to noncommutative geometry*, Ecole d'été "Noncommutative geometry and applications", Lisbonne septembre 1997 physics/97090045 (1997)

-
- [Wa] Walze M. *Nichtkommutative Geometrie und Gravitation*, Thèse de l'université de Mayence (1996)
- [We] Wegge-Olsen N.E. *K-theory and C*-algebras*, Oxford Science publication (1993)
- [Wi] Witten E. *Quantum field theory and the Jones polynomial*, Comm. Math. Phys. **121**, 351-399 (1989)
- [Wu] Wulkenhaar R. *SO(10) unification in noncommutative geometry revisited*, à paraître dans Int. Jour. Mod. Phys. **A** hep-th/9804046 (1998)